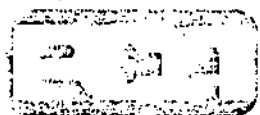


E 341

Tel: 6104600

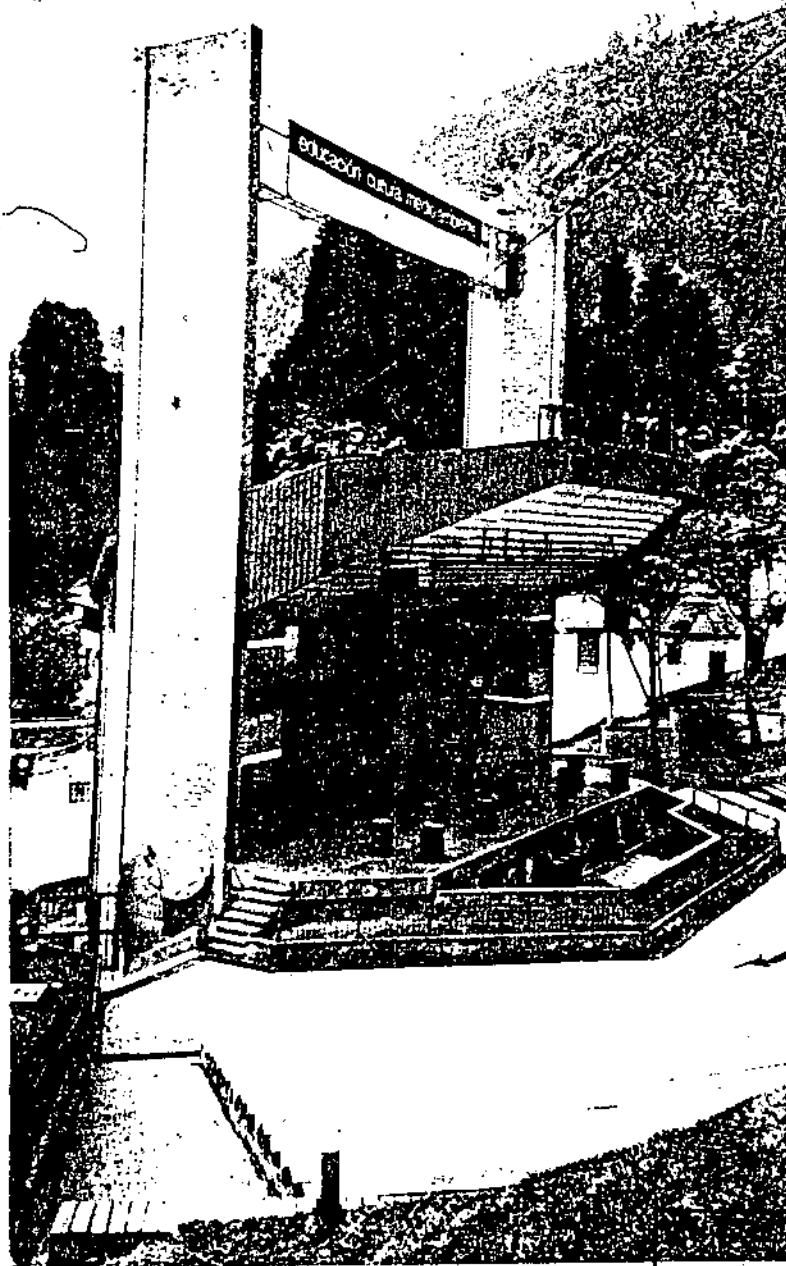


PROYECTISTAS CIVILES ASOCIADOS

ESTUDIO DE VULNERABILIDAD SISMICA

TEATRO LA MEDIA TORTA

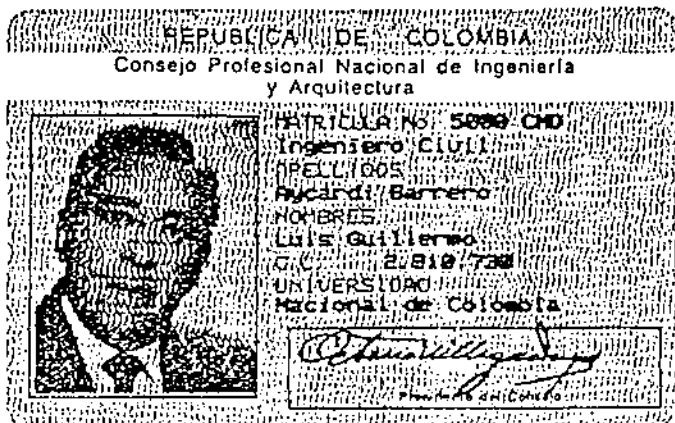
INSTITUTO DE CULTURA Y TURISMO



ESTUDIOS URBANOS, S.A.

001 1750

Febrero de 2001



RECIBIDO
C. 104 2000

CURADURIA URBANA No. 1
001 1750

INTRODUCCION A LA MEMORIA DE CALCULOS**ESTUDIO DE VULNERABILIDAD SISMICA****TEATRO LA MEDIA TORTA****INSTITUTO DISTRITAL DE CULTURA Y TURISMO****I. INTRODUCCION**

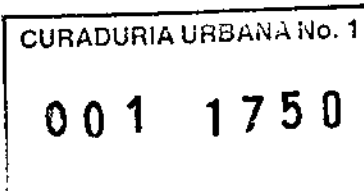
Esta memoria de cálculos estructurales corresponde al estudio de vulnerabilidad sismica del edificio **Teatro La Media Torta**, ubicado en la Avenida Circunvalar con Calle 17 de la Ciudad de Bogotá.

II. DESCRIPCIÓN

La edificación principal consta de tres niveles, el primer nivel está destinado a la zona administrativa del teatro, en el segundo piso se encuentra el estar de los artistas y los camerinos, y el tercer nivel es el escenario; sobre este nivel se levantan dos torres laterales que llegan hasta el nivel 24.90 y sobre las cuales se apoya una cubierta central de forma irregular, con estructura metálica y tejas de asbesto cemento.

La estructura la conforman pórticos de concreto reforzado en una sola dirección, con luces que varían entre 2.25 m y 4.50 m. Las columnas son cuadradas de sección 25x25 cm.

El entrepiso típico lo conforman placas aligeradas, armadas en una dirección y con una altura de 35 cm. La cimentación está constituida por zapatas aisladas, con vigas



de amarre de 25x50cm y contempla muros de contención en los costados sur, occidental y oriental. La cimentación se encuentra en dos niveles de fundación.

Las torres mencionadas tienen forma triangular en planta y están constituidas por tres columnas y viguetas perimetrales de 12x30cm, sobre las cuales se apoya mampostería de fachada. Adicionalmente cuentan con un sistema de diagonales a partir del nivel 11.60 hasta el nivel 24.90 constituidas por dos ángulos de 2"x2"x3/16".

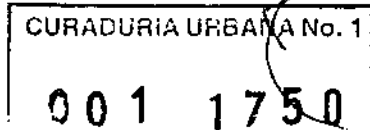
III. ESTADO ACTUAL DE LA ESTRUCTURA

La Norma NSR-98 prescribe en A.10.2.2 que el estado de los sistemas estructurales debe calificarse de acuerdo con los siguientes aspectos:

- *Calidad del diseño y construcción original*
- *Estado de la estructura*

De acuerdo con un análisis cualitativo basado en las visitas realizadas al proyecto, en las inspecciones a los elementos estructurales y en el estudio de los planos del diseño original podemos anotar que la calidad del diseño y la construcción de la estructura se califican como buenas. Así mismo, el estado actual de la estructura se califica como bueno.

De acuerdo con la tabla A.10-1 de la NSR-98, los coeficientes de reducción de resistencia tienen un valor de 0.90 para ambos parámetros.



IV. ALCANCE DEL ESTUDIO

El proceso de evaluación, diagnóstico y reforzamiento de la estructura del edificio **Teatro la Media Torta** sigue lo ordenado por la ley 400 de 1997 y sus decretos reglamentarios 33 de 1998 (Norma NSR-98) y 34 de 1999, el cual dedica los capítulos A-10 a la actualización de edificaciones existentes.

V. METODOLOGIA PARA EL DESARROLLO DEL ESTUDIO

El presente estudio se desarrolló de acuerdo con la planeación y los procedimientos que se exponen a continuación.

A. CARACTERIZACION DE LA AMENAZA SISMICA PARA BOGOTA

La Norma NSR-98. La norma NSR-98, promulgada por el Decreto 33 de 1998, estableció en su Apéndice A-3 que la amenaza sísmica para la ciudad de Bogotá es intermedia y que los coeficientes para efectos de calcular las fuerzas están dados por $Aa = 0.20$ y $Ad = 0.04$. Por su parte, el Estudio de Amenaza Sísmica que sirvió de base para las determinaciones de la norma en este sentido concluyó que las zonas más propicias estadísticamente para contribuir a la amenaza sísmica de la ciudad son la Falla Frontal de la Cordillera Oriental en un 68%, seguida de las fallas del Magdalena Medio, particularmente la Falla Salinas en un 28%; no se puede olvidar en este contexto la Zona de Subducción y la Zona de Benniof, que pueden producir sismos lejanos capaces de excitar los suelos blandos de la ciudad y producir en ellos amplificaciones considerables, tanto en magnitud como en duración.

Espectros de diseño. Para la realización de este estudio se consideró el espectro correspondiente a la Norma NSR-98.





PROYECTISTAS CIVILES ASOCIADOS.

B. PROCEDIMIENTO PARA LA MODELACION DE LA ESTRUCTURA

Este estudio de Vulnerabilidad Sísmica y Reforzamiento Estructural de la edificación se desarrolló siguiendo las actividades que se describen a continuación.

1. Recopilación de información existente

Para la realización del estudio nos fueron suministrados los siguientes documentos:

- Proyecto estructural elaborado por el ING. JOSE HUGO MARTINEZ T. y constituido por 21 planos con fecha de mayo de 1980.
- Proyecto arquitectónico actualizado elaborado por el ARQ. GERMÁN LUQUE y constituido por 11 planos con fecha de septiembre de 2000.
- Estudio de suelos elaborado por la firma LUIS FERNANDO OROZCO Y CIA de julio 28 de 1997

2. Elaboración de los modelos

Con base en la información recopilada, se elaboró un modelo de la edificación actual, el cual se analizó bajo las combinaciones de carga recomendadas en el Título B de la norma NSR-98. Estas combinaciones incluyen tanto las fuerzas de gravedad como las fuerzas de sismo. Con la ayuda del programa ETABS, se llevó a cabo un análisis elástico dinámico de la estructura, el cual permitió determinar las solicitudes impuestas por las diferentes combinaciones de carga sobre cada uno de los elementos estructurales.



PROYECTISTAS CIVILES ASOCIADOS

De acuerdo con las configuraciones existentes, para las diferentes placas de entrepiso, los análisis estructurales se desarrollaron con la opción de diafragma rígido.

En cuanto á las cargas de gravedad, se llevó a cabo su cuantificación de acuerdo con las densidades de masa de los materiales indicados en el capítulo B de la Norma NSR-98, con lo cual se realizaron los diferentes avalúos de carga presentados en las memorias de cálculo.

Los análisis sísmicos de la estructura se llevaron a cabo utilizando el método de análisis dinámico elástico (Modal).

Para la verificación de las derivas y la determinación de las solicitudes en los diferentes elementos estructurales se utilizó un coeficiente de importancia $I = 1.1$ correspondiente al grupo de uso II para edificaciones de ocupación especial.

Con respecto al coeficiente de capacidad de disipación de energía R' , se supuso un valor de **4.0** de acuerdo con las características de refuerzos existentes, configuraciones geométricas y estado general de la estructura.

Para la resistencia del concreto, se usó en los modelos el valor especificado en los planos existentes del diseño original, previa verificación con los resultados obtenidos en los ensayos de los núcleos extraídos.

C. ESTUDIO DE VULNERABILIDAD SISMICA

Para las estructuras existentes, el estudio de vulnerabilidad sísmica se refiere a la comprobación de si el comportamiento de las estructuras es satisfactorio a la luz de



PROYECTISTAS CIVILES ASOCIADOS

las normas vigentes en la actualidad, en cuanto al diseño sismo resistente. En el presente estudio, se siguieron los lineamientos de la norma NSR-98 expuestos en los capítulos A-10 y A-12.

A partir del estudio de vulnerabilidad sísmica, se determinaron los índices de sobre-esfuerzo, los índices de flexibilidad y los índices de vulnerabilidad con el fin de identificar los puntos, zonas o elementos más vulnerables, a tener en cuenta en el reforzamiento de la estructura.

D. DEFINICION Y PROCEDIMIENTO DE EVALUACION DE LOS INDICES DE VULNERABILIDAD ESPECIFICOS DE CADA ELEMENTO Y GLOBAL DE LA ESTRUCTURA

Con la información de las secciones originales de los elementos y sus refuerzos, se determinaron las capacidades o resistencias últimas tanto para los esfuerzos de corte como para los de flexión y flexo-compresión en columnas; las resistencias existentes fueron afectadas por los valores de ϕ_c y ϕ_e , los cuales dependen de la calidad del diseño y construcción y del estado actual de la estructura. Con los resultados de las solicitudes obtenidas de los análisis elásticos dinámicos de los modelos y las capacidades actuales de cada uno de los elementos, se calcularon los **índices de sobre-esfuerzo** de los elementos y de las estructuras con el fin de determinar los puntos o zonas vulnerables a tener en cuenta en el reforzamiento final. Se define como índice de sobre-esfuerzo para cualquier elemento estructural el máximo cociente entre las solicitudes obtenidas del análisis estructural y las resistencias existentes efectivas. El **índice de sobre-esfuerzo general** o de toda la

estructura es el mayor valor de los índices de sobre-esfuerzo de los elementos que puedan poner en peligro la estabilidad del edificio.

Adicionalmente se calcularon los **índices de flexibilidad de los pisos**, los cuales se definen como el máximo cociente entre las derivas obtenidas del análisis estructural y las derivas máximas permitidas por la norma NSR-98. El **índice de flexibilidad general** o de toda la estructura es entonces el mayor valor de los índices de flexibilidad de todos los pisos del edificio.

Finalmente se calcularon los **índices de vulnerabilidad**. Estos se definen de dos maneras:

- Como el inverso del índice de sobre-esfuerzo general de la estructura, lo cual indica la fracción de resistencia que tendría una estructura nueva construida de acuerdo con los requisitos de la NSR-98.
- Como el inverso del índice de flexibilidad general de la estructura, lo cual indica la fracción de la rigidez que tendría una estructura nueva construida de acuerdo con los requisitos de la norma NSR-98.

Con los índices mencionados anteriormente, se presentó un diagnóstico del estado actual de la estructura. Una vez conocidos los puntos, zonas o elementos más vulnerables de la edificación, se procedió a estudiar, analizar y diseñar el reforzamiento final con el que se elaboraron los planos de construcción que contienen todos los detalles estructurales que garantizan la seguridad estructural y la adecuada ejecución de la rehabilitación del Teatro La Media Torta.



PROYECTISTAS CIVILES ASOCIADOS

E. SISTEMA DE CLASIFICACION DE LOS RESULTADOS OBTENIDOS A PARTIR DE LOS INDICES DE VULNERABILIDAD Y MECANISMO DE DECISION PARA LA DEFINICION DE ALTERNATIVAS DE INTERVENCION

De acuerdo con los resultados obtenidos del estudio de vulnerabilidad, se estudiaron una serie de alternativas para la estructura al obtener índices de sobreesfuerzo y/o flexibilidad mayores que la unidad. Dichas alternativas son de varios tipos:

- Aumento de sección y refuerzo de algunas vigas y/o columnas.
- Construcción de muros estructurales de concreto reforzado (pantallas) adosados a la estructura existente.

La última alternativa se consideró más efectiva para el actual estudio.

F. PROCEDIMIENTO PARA LA TOMA DE DECISIONES Y EL DISEÑO DE LA ALTERNATIVA DE SOLUCION FINAL

Para escoger la alternativa de reforzamiento más apropiada, el modelo estructural original de la edificación se modificó teniendo en cuenta los nuevos elementos de rigidez. Se analizaron bajo las combinaciones de fuerzas de gravedad y fuerzas sísmicas requeridas para la nueva estructura, hasta garantizar la seguridad y el adecuado comportamiento estructural de la edificación.



PROYECTISTAS CIVILES ASOCIADOS

Una vez escogida la alternativa de reforzamiento definitiva, teniendo en cuenta economía, eficiencia estructural, arquitectura y menor traumatismo posible, se llevó a cabo un modelo definitivo de la estructura reforzada, al cual se le hizo un análisis dinámico elástico mediante el programa ETABS 610.

Nuevamente se calcularon los índices de flexibilidad y de sobre-esfuerzo de la estructura modificada definitiva con el fin de verificar que sí cumplen con las exigencias de la norma NSR-98.

De acuerdo con las solicitudes obtenidas a partir del análisis dinámico elástico final, se procedió a diseñar los elementos de reforzamiento necesarios para cumplir con los requisitos de diseño y las restricciones de desplazamiento exigidos por la norma NSR-98.

Finalmente se procedió a elaborar la memoria de cálculos y a llevar a nivel de planos de construcción las obras de reforzamiento recomendadas. En estos planos, se indican todos los detalles que se requieren para la interpretación cabal de todas las obras a ejecutar. Los planos se realizaron en AUTOCAD y se entregan los originales y una copia magnética de los mismos, así como el original de las memorias de cálculo.

VI. CONCLUSIONES

Una vez llevado a cabo el análisis de la estructura actual para las diferentes combinaciones de carga que involucran fuerzas de sismo, de acuerdo con el título B de la Norma NSR-98, se obtuvieron índices de flexibilidad hasta de **0.93** para los niveles inferiores y de **1.78** en las torres considerando las diagonales mencionadas en la descripción estructural; dicho índice llega hasta **2.6** si no se consideran las diagonales.

Los índices de sobreesfuerzo obtenidos tuvieron valores hasta de 2.0 para flexo-compresión en las columnas; en fuerza cortante para columnas estuvieron por debajo de la unidad, en flexión para las vigas hasta de 1.80 y en fuerza cortante hasta de 1.27. Lo mencionado anteriormente se presenta en los cuadros correspondientes en las memorias de cálculo.

La estructura actual en las placas de los niveles 3.20 y 6.00 no cuenta con vigas de rigidez en el sentido paralelo al armado de las viguetas y las vigas principales no cuentan con el refuerzo transversal mínimo exigido por la actual Norma NSR-98. Las columnas cumplen con las dimensiones y refuerzo exigido por la mencionada norma.

De acuerdo con lo anterior se consideró necesario reforzar la actual estructura mediante la adición de nuevos elementos que garanticen una adecuada rigidez ante la ocurrencia de posibles eventos sísmicos. Al analizar la estructura modificada se obtuvieron índices de flexibilidad en los niveles 3.20 y 6.00 hasta de 0.09. Para las torres los índices llegaron hasta 1.67 en el nivel 24.90 para el sentido X, en el sentido Y todos niveles arrojan índices por debajo de la unidad.

El número de columnas con índices de sobre-esfuerzo por encima de la unidad bajó sustancialmente quedando solamente una columna de cada torre con índice de



PROYECTISTAS CIVILES ASOCIADOS

flexo-compresión con valores de 1.59 y 1.40, para las vigas los índices también bajaron notoriamente, obteniéndose sólo un valor de 1.27 para la viga 16 del nivel 6.00. Lo mencionado anteriormente se presenta en los cuadros correspondientes en las memorias de cálculo.

No se consideró indispensable reforzar la estructura de las torres laterales ante los valores de flexibilidad presentados, teniendo en cuenta sus dimensiones, sus características especiales y ante todo sus condiciones de uso.

VII. RECOMENDACIONES

Finalmente se recomienda la adición de siete pantallas de concreto reforzado descritas a continuación:

- Pantallas Tipo 1 (2u). Localizadas en los ejes 2 y 5 entre los ejes A y B, desde la cimentación hasta el nivel 11.60
- Pantalla Tipo 2 (1u). Localizadas en el eje C entre los ejes 3 y 4, desde el nivel 3.20 hasta el nivel 6.00, la cual nace sobre el actual muro de contención.
- Pantallas Tipo 3 (2u). Localizadas en los ejes 1 y 6 entre los ejes C y B, desde el nivel 6.00 hasta el nivel 11.60
- Pantallas Tipo 4 (2u). Localizadas entre los ejes 1, 2, 5, 6 entre los ejes C y B, desde el nivel 6.00 hasta el nivel 11.60



PROYECTISTAS CIVILES ASOCIADOS

Las pantallas mencionadas se encuentran localizadas en los planos anexos al presente informe, en ellos se presentan los diseños correspondientes y los detalles para su anclaje a la estructura existente.

Con el fin de garantizar el adecuado comportamiento de las diagonales de las dos torres laterales, se recomienda mejorar el mecanismo de anclaje a la estructura de concreto de acuerdo con los detalles presentados para las estructuras metálicas.

Muros en la Superficie

Con relación a los muros en mampostería que actualmente conforman las jardineras y cambios de nivel en la zona superior de las graderías se recomienda reforzarlos mediante la adición de una estructura de concreto, la cual se presenta en el plano 3.

El análisis de la estructura metálica y las correspondientes recomendaciones se presenta en un informe independiente.

VIII. NORMAS

Se siguieron las recomendaciones dadas en la Normas Colombianas de Diseño y Construcción Sismo-Resistente (Ley 400 de 1997, decretos 33 de 1998 y 34 de 1999).

*Estabilidad en los elementos fijos
ejecución talud → sur*



PROYECTISTAS CIVILES ASOCIADOS

**MEMORIAS DE CALCULO
ANALISIS ESTRUCTURAL**



PROYECTISTAS CIVILES ASOCIADOS

INDICE DE LA MEMORIA DE CÁLCULOS

| | | |
|----|-----------------------|---|
| 1. | INTRODUCCIÓN | |
| 2. | CÁLCULO DE DENSIDADES | 1 |
| 3. | AVALÚO DE CARGAS | 6 |

ESTRUCTURA ACTUAL

| | | |
|----|--|----|
| 4. | ANÁLISIS SÍSMICO | 16 |
| 5. | CHEQUEO DE DERIVAS E ÍNDICES DE FLEXIBILIDAD | 25 |
| 6. | ÍNDICES DE SOBRE-ESFUERZO FLEXO-COMPRESIÓN EN COLUMNAS | 31 |
| 7. | ÍNDICES DE SOBRE-ESFUERZO CORTANTE EN COLUMNAS | 43 |
| 8. | ÍNDICES DE SOBRE-ESFUERZO EN VIGAS | 47 |

ESTRUCTURA MODIFICADA

| | | |
|-----|--|-----|
| 9. | ANÁLISIS SÍSMICO | 52 |
| 10. | CHEQUEO DE DERIVAS E ÍNDICES DE FLEXIBILIDAD | 61 |
| 11. | ÍNDICES DE SOBRE-ESFUERZO FLEXO-COMPRESIÓN EN COLUMNAS | 71 |
| 12. | ÍNDICES DE SOBRE-ESFUERZO CORTANTE EN COLUMNAS | 83 |
| 13. | ÍNDICES DE SOBRE-ESFUERZO EN VIGAS | 87 |
| 14. | DISEÑO DE MUROS ADICIONALES | 92 |
| 15. | DISEÑO DE MUROS PARTE ALTA | 100 |
| 16. | ANEXOS | 103 |



| | | | | | | | |
|------|--|---------|--------|--------|----------|--|-----|
| Obra | ESTUDIO DE VULNERABILIDAD TEATRO LA MEDIA TORTA | Nº | 2666 | Fecha | 31/01/01 | | |
| Item | CALCULO DE DENSIDADES | Calculó | A.P.B. | Revisó | J.E.B. | | 001 |

FT-04-11
Revision No. 1

CALCULO DE DENSIDADES

N +3.20

Vigas y columnas

Volumen de Vigas = 3.428 m³

Volumen de columnas = 11.419 m³ (Incluye pantallas)

Volumen de muros fachada = 11.110 m³

Area de la placa = 157.74 m²

$$\rho_{\text{ vigas}} = \frac{3.428 \times 2.4 \text{ T/m}^3}{157.74 \text{ m}^2} = 0.052 \text{ T/m}^2$$

$$\rho_{\text{ columnas}} = \frac{11.419 \times 2.4 \text{ T/m}^3}{157.74 \text{ m}^2} = 0.174 \text{ T/m}^2$$

$$\rho_{\text{ muros }} = \frac{11.11 \times 1.6 \text{ T/m}^3}{157.74 \text{ m}^2} = 0.113 \text{ T/m}^2$$

PCA

| | | | | | | | |
|------|--|---------|---------------|--------|-----------------|--|------------|
| Obra | ESTUDIO DE VULNERABILIDAD TEATRO LA MEDIA TORTA | Nº | 2666 | Fecha | 31/01/01 | | |
| Item | CALCULO DE DENSIDADES | Calculó | A.P.B. | Revisó | J.E.B. | | 002 |

FT-04-11
Revision No. 1**CALCULO DE DENSIDADES*****N +6.00*****Vigas y columnas**

$$\text{Volumen de Vigas} = 10.356 \text{ m}^3$$

$$\text{Volumen de columnas} = 4.90 \text{ m}^3$$

$$\text{Volumen de muros fachada} = 8.111 \text{ m}^3$$

$$\text{Area de la placa} = 240.72 \text{ m}^2$$

$$\rho_{\text{ vigas}} = \frac{10.356 \times 2.4 \text{ T/m}^3}{240.72 \text{ m}^2} = 0.103 \text{ T/m}^2$$

$$\rho_{\text{ columnas}} = \frac{4.9 \times 2.4 \text{ T/m}^3}{240.72 \text{ m}^2} = 0.049 \text{ T/m}^2$$

$$\rho_{\text{ muros }} = \frac{8.111 \times 1.6 \text{ T/m}^3}{240.72 \text{ m}^2} = 0.054 \text{ T/m}^2$$



| | | | | | | | |
|-----------|--|---------|--------|--------|----------|--|-----|
| Obra | ESTUDIO DE VULNERABILIDAD TEATRO LA MEDIA TORTA | Nº | 2666 | Fecha | 31/01/01 | | |
| Item + | CALCULO DE DENSIDADES | Calculó | A.P.B. | Revisó | J.E.B. | | 003 |

FT-04-11
Revision No. 1

CALCULO DE DENSIDADES

N +8.80

Corresponde a uno de los diafragmas

Vigas y columnas

$$\text{Volumen de Vigas} = 1.351 \text{ m}^3$$

$$\text{Volumen de columnas} = 1.050 \text{ m}^3$$

$$\text{Volumen de muros fachada} = 6.748 \text{ m}^3$$

$$\text{Area de la placa} = 17.84 \text{ m}^2$$

$$\rho_{\text{ vigas}} = \frac{1.351 \times 2.4 \text{ T/m}^2}{17.84 \text{ m}^2} = 0.182 \text{ T/m}^2$$

$$\rho_{\text{ columnas}} = \frac{1.050 \times 2.4 \text{ T/m}^2}{17.84 \text{ m}^2} = 0.141 \text{ T/m}^2$$

$$\rho_{\text{ muros }} = \frac{6.748 \times 1.6 \text{ T/m}^2}{17.84 \text{ m}^2} = 0.605 \text{ T/m}^2$$



| | | | | | |
|------|--|----------------|----------------|--|-----|
| | ESTUDIO DE VULNERABILIDAD Obra, TEATRO LA MEDIA TORTA | Nº 2666 | Fecha 31/01/01 | | |
| Item | CALCULO DE DENSIDADES | Calculó A.P.B. | Revisó J.E.B. | | 094 |

FT-04-11
Revision No. 1

CALCULO DE DENSIDADES

N +14.40

Corresponde a uno de los diafragmas

Vigas y columnas

Volumen de Vigas = 0.424 m³

Volumen de columnas = 0.525 m³

Volumen de muros fachada = 3.510 m³

Area de la placa = 4.44 m²

$$\rho_{\text{vistas}} = \frac{0.424 \times 2.4 \text{ T/m}^3}{4.44 \text{ m}^2} = 0.229 \text{ T/m}^2$$

$$\rho_{\text{columnas}} = \frac{0.525 \times 2.4 \text{ T/m}^3}{4.44 \text{ m}^2} = 0.284 \text{ T/m}^2$$

$$\rho_{\text{muros fachada}} = \frac{3.51 \times 1.6 \text{ T/m}^3}{4.44 \text{ m}^2} = 1.265 \text{ T/m}^2$$



| | | | | | |
|------|--|---------|--------|--------|----------|
| Obra | ESTUDIO DE VULNERABILIDAD TEATRO LA MEDIA TORTA | Nº | 2666 | Fecha | 31/01/01 |
| Item | CALCULO DE DENSIDADES | Calculó | A.P.B. | Revisó | J.E.B. |

005

FT-04-11
Revision No. 1CALCULO DE DENSIDADES

N+24.90

Corresponde a uno de los diafragmas

Vigas y columnas

$$\text{Volumen de Vigas} = 0.424 \text{ m}^3$$

$$\text{Volumen de columnas} = 0.197 \text{ m}^3$$

$$\text{Volumen de muros fachada} = 1.682 \text{ m}^3$$

$$\text{Area de la placa} = 4.44 \text{ m}^2$$

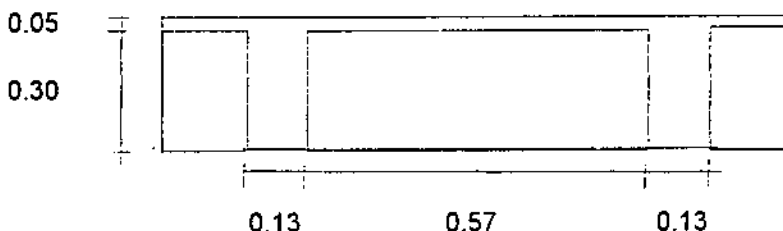
$$\rho_{\text{vistas}} = \frac{0.424 \times 2.4 \text{ T/m}^3}{4.44 \text{ m}^2} = 0.229 \text{ T/m}^2$$

$$\rho_{\text{columnas}} = \frac{0.197 \times 2.4 \text{ T/m}^3}{4.44 \text{ m}^2} = 0.106 \text{ T/m}^2$$

$$\rho_{\text{muros fachada}} = \frac{1.682 \times 1.6 \text{ T/m}^3}{4.44 \text{ m}^2} = 0.606 \text{ T/m}^2$$

PCA

| | | | | | |
|------|--|---------|---------------|--------|---------------|
| Obra | ESTUDIO DE VULNERABILIDAD TEATRO LA MEDIA TÓRTA | Nº | 2666 | Fecha | 31/01/01 |
| Item | AVALUO DE CARGAS | Calculó | A.P.B. | Revisó | J.E.B. |

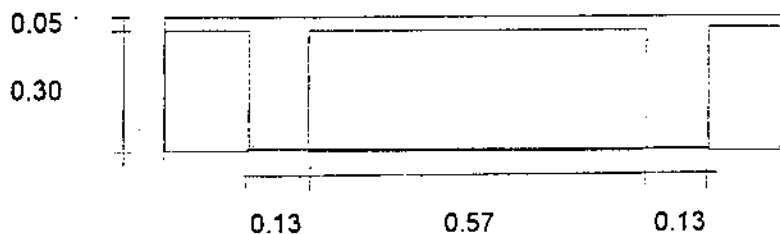
006FT-04-11
Revision No. 1**AVALUO DE CARGAS****N +3.20**Placa 0.05 x 2.4 T/m³ 0.120 T/m²Viguetas 0.13 x 0.30 x 2.4 T/m³ 0.164 T/m²
 0.57Acabados _____ 0.100 T/m²Muros _____ 0.166 T/m²C.M.= 0.550 T/m²C.V.= 0.350 T/m²

C.U. = 1.4 C.M. + 1.7 C.V.

C.U. = 1.37 T/m² (Carga Ultima)
Para cargar las viguetasρ vigas = 0.052 T/m²ρ columnas = 0.174 T/m²ρ muros = 0.113 T/m²C.R. = 1.24 T/m² (Carga Real)C.S. = 0.89 T/m² (Carga Muerta Total para Análisis Sismico)

| | | | | | |
|------|--|---------|---------------|--------|---------------|
| Obra | ESTUDIO DE VULNERABILIDAD TEATRO LA MEDIA TORTA | Nº | 2666 | Fecha | 31/01/01 |
| Item | AVALUO DE CARGAS | Calculó | A.P.B. | Revisó | J.E.B. |

007

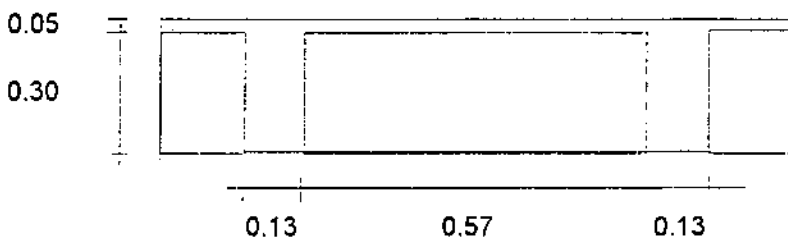
FT-04-11
Revision No. 1**AVALUO DE CARGAS****N +6.00**Placa 0.05 x 2.4 T/m³ 0.120 T/m²Viguetas 0.13 x 0.30 x 2.4 T/m³ 0.164 T/m²
 0.57Acabados _____ 0.100 T/m²Muros _____ 0.065 T/m²C.M.= 0.449 T/m²C.V.= 0.350 T/m²

C.U. = 1.4 C.M. + 1.7 C.V.

C.U. = 1.22 T/m² (Carga Ultima)
Para cargar las viguetasp vigas = 0.103 T/m²p columnas = 0.049 T/m²p muros = 0.054 T/m²C.R. = 1.01 T/m² (Carga Real)C.S. = 0.66 T/m² (Carga Muerta Total para Análisis Sísmico)

| | | | | | |
|------|--|---------|--------|--------|----------|
| Obra | ESTUDIO DE VULNERABILIDAD TEATRO LA MEDIA TORTA | Nº | 2666 | Fecha | 31/01/01 |
| Item | AVALUO DE CARGAS | Calculó | A.P.B. | Revisó | J.E.B. |

008

FT-04-11
Revision No. 1**AVALUO DE CARGAS*****N +8.80 ZONA ESCALERA***Placa $0.05 \times 2.4 \text{ T/m}^3$ _____ 0.120 T/m²Viguetas $0.13 \times 0.30 \times 2.4 \text{ T/m}^3$ _____ 0.164 T/m²
 0.57Acabados _____ 0.100 T/m²Muros _____ 0.213 T/m²
 _____C.M.= 0.597 T/m²C.V.= 0.350 T/m²

C.U. = 1.4 C.M. + 1.7 C.V.

C.U. = 1.43 T/m² (Carga Ultima)
Para cargar las viguetasρ vigas = 0.118 T/m²ρ columnas = 0.092 T/m²ρ muros = 0.393 T/m²C.R. = 1.55 T/m² (Carga Real)C.S. = 1.20 T/m² (Carga Muerta Total para Análisis Sismico)

PCA

| | | | | | |
|------|--|---------|--------------|--------|-----------------|
| Obra | ESTUDIO DE VULNERABILIDAD TEATRO LA MEDIA TORTA | Nº | 2666 | Fecha | 31/01/01 |
| Item | AVALUO DE CARGAS | Calculó | A.P.B | Revisó | J.E.B. |

009FT-04-11
Revision No. 1**AVALUO DE CARGAS*****N +8.80 - ZONA PLACA MACIZA***Placa $0.12 \times 2.4 \text{ T/m}^3$ _____ 0.288 T/m²Acabados _____ 0.100 T/m²C.M.= 0.388 T/m²C.V.= 0.350 T/m²

C.U. = 1.4 C.M. + 1.7 C.V.

C.U. = 1.14 T/m² (Carga Ultima)
Para cargar las viguetasρ vigas = 0.036 T/m²ρ columnas = 0.017 T/m²ρ muros = 0.019 T/m²C.R. = 0.81 T/m² (Carga Real)C.S. = 0.46 T/m² (Carga Muerta Total para Análisis Sísmico)



| | | | | | | | |
|------|--|---------|--------|--------|----------|--|-----|
| Obra | ESTUDIO DE VULNERABILIDAD TEATRO LA MEDIA TORTA | Nº | 2666 | Fecha | 31/01/01 | | |
| Item | AVALUO DE CARGAS | Calculó | A.P.E. | Revisó | J.E.B. | | 010 |

FT-04-11
Revision No. 1

CARGA TOTAL PARA ANÁLISIS SISMICO N+8.80

Area Zona de placa Maciza : 6.28

Area Zona de escalera : 11.56

C.S. Zona de placa maciza : 0.46

C.S. Zona de escalera: 1.20

C.S. Total N+8.80: 0.94

Nota : las cuantías de vigas, columnas y muros que aparecen en los avalúos de carga son proporcionales a las áreas de cada zona, por lo tanto, su ponderación corresponde a las cuantías presentadas en el cálculo de densidades del nivel +8.80



| | | | | |
|----------------------------------|------------------------------|----------------|---------------|---------------|
| ESTUDIO DE VULNERABILIDAD | | | | |
| Obra | TEATRO LA MEDIA TORTA | Nº | 2666 | Fecha |
| Item | AVALUO DE CARGAS | Calculó | A.P.B. | Revisó |

T-04-11

Revision No. 1

AVALUO DE CARGAS

N+17.20 a N+22.80

Corresponde a uno de los diafragmas de cada nivel.

Los niveles +17.20, +20.00 y +22.80 tienen viguetas perimetrales sin placa aligerada o maciza. Las cargas que soportan corresponden a la densidad de dichas viguetas, las columnas y los muros de fachada.

La masa correspondiente a las vigas será incluida en el programa ETABS en las características del material. Para el cálculo de la masa correspondiente a columnas y muros se utilizarán los siguientes pesos:

$$\text{Columnas : } 3 \times 2.80 \text{ m} \times 0.25 \text{ m} \times 0.25 \text{ m} \times 2.4 \text{ T/m}^3 = 1.26 \text{ Ton}$$

$$\text{Muros : } 8.45 \text{ m} \times 2.80 \text{ m} \times 0.15 \text{ m} \times 1.6 \text{ T/m}^3 = 5.68 \text{ Ton}$$

Total cargas : 6.9384 Ton

Masa total: 707.28 Kg



| | | | | | | | |
|------|--|---------|--------|--------|----------|--|-----|
| Obra | ESTUDIO DE VULNERABILIDAD TEATRO LA MEDIA TORTA | Nº | 2666 | Fecha | 31/01/01 | | |
| Item | AVALUO DE CARGAS | Calculó | A.P.B. | Revisó | J.E.B. | | 012 |

FT-04-11
Revision No. 1

AVALUO DE CARGAS

CUBIERTA

Estructura metálica _____ 0.015 T/m²

Teja _____ 0.018 T/m²

Cieloraso _____ 0.005 T/m²

Equipos e iluminación _____ 0.025 T/m²

C.M. = 0.063 T/m²

C.V. = 0.050 T/m²

C.R. = 0.113 T/m² (Carga Real)

C.S. = 0.063 T/m² (Carga Muerta Total para Análisis Sísmico)

La masa correspondiente a la cubierta se repartirá en los apoyos de las vigas metálicas en los niveles +14.40 y +11.60, de acuerdo con las reacciones arrojadas por SAP2000.



| | | | | | |
|------|--|---------|--------|--------|----------|
| Obra | ESTUDIO DE VULNERABILIDAD TEATRO LA MEDIA TORTA | : N° | 2666 | Fecha | 31/01/01 |
| Item | AVALUO DE CARGAS | Calculó | A.P.B. | Revisó | J.E.B. |

013

FT-04-11
Revision No. 1MASA DE LA CUBIERTA $N +14.40 \text{ y } N +11.60$ Peso cubierta: 0.063 T/m² x 240.72 m² = 15.17 Ton

Reacción C.M en N+14.40: 5.56 Ton

Reacción C.M en N+11.60: 2.87 Ton

Masa adicional debida a cubierta:

$$N +14.40: 5.56 \times 1000 / 9.81 = 567 \text{ Kg}$$

$$N +11.60: 2.87 \times 1000 / 9.81 = 293 \text{ Kg}$$

Adicionalmente, en el nivel +11.60 se tiene la masa correspondiente a los muros fachada:

Muros : 16.15 m x 2.80 m x 0.15 m x 1.6 T/m³ = 10.85 Ton

Masa debida a muros fachada: 1106.3 Kg

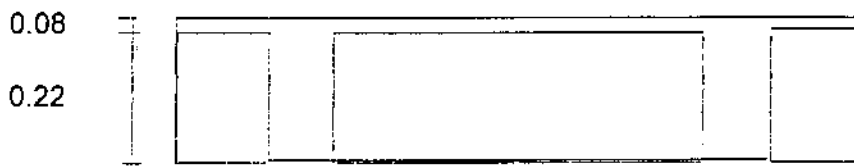
Masa total adicional en el N+11.60 : 1399 Kg

Estos valores corresponden a uno de los diafragmas de cada nivel

PCA

| | | | | | |
|------|--|---------|---------------|--------|---------------|
| Obra | ESTUDIO DE VULNERABILIDAD TEATRO LA MEDIA TORTA | Nº | 2666 | Fecha | 31/01/01 |
| Item | AVALUO DE CARGAS | Calculó | A.P.B. | Revisó | J.E.B. |

014

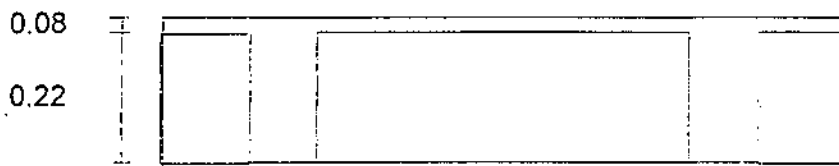
FT-04-11
Revision No. 1**AVALUO DE CARGAS*****N +14.40***Placa **0.08 x 2.4 T/m³** **0.192 T/m²**Acabados **0.100 T/m²**C.M.= **0.292 T/m²**C.V.= **0.200 T/m²**

C.U. = 1.4 C.M. + 1.7 C.V.

C.U. = **0.75 T/m²** (Carga Ultima)
Para cargar las viguetasp. vigas = **0.229 T/m²**p. columnas = **0.284 T/m²**p. muros = **1.265 T/m²**C.R. = **2.27 T/m²** (Carga Real)C.S. = **2.07 T/m²** (Carga Muerta Total para Análisis Sismico)

PCA

| | | | | | |
|------|--|---------|---------------|--------|---------------|
| Obra | ESTUDIO DE VULNERABILIDAD TEATRO LA MEDIA TORTA | Nº | 2666 | Fecha | 31/01/01 |
| Item | AVALUO DE CARGAS | Calculó | A.P.B. | Revisó | J.E.B. |

015FT-04-11
Revision No. 1**AVALUO DE CARGAS*****N +24.90***Placa $0.08 \times 2.4 \text{ T/m}^3$ 0.192 T/m²Acabados 0.100 T/m²C.M. = 0.292 T/m²C.V. = 0.200 T/m²

C.U. = 1.4 C.M. + 1.7 C.V.

C.U. = 0.75 T/m² (Carga Ultima)
Para cargar las viguetasp vigas = 0.229 T/m²p columnas = 0.106 T/m²p muros = 0.606 T/m²C.R. = 1.43 T/m² (Carga Real)C.S. = 1.23 T/m² (Carga Muerta Total para Análisis Sísmico)



PROYECTISTAS CIVILES ASOCIADOS

ANALISIS ESTRUCTURA ACTUAL



| | | | | | |
|------|--|---------|--------|--------|----------|
| Obra | ESTUDIO DE VULNERABILIDAD TEATRO LA MEDIA TORTA | Nº | 2666 | Fecha | 01/01/31 |
| Item | ANÁLISIS SISMICO ESTRUCTURA ACTUAL | Calculó | A.P.B. | Revisó | J.E.B. |

016

FT-04-11
Revision No. 1

El Análisis Sísmico se realizará por el método del Análisis Dinámico.

El programa de análisis estructural ETABS realiza directamente el análisis dinámico utilizando el Espectro Elástico de Diseño construido con los siguientes parámetros:

$$A_a = 0.20 \quad S = 1.00 \quad I = 1.10$$

El espectro se encuentra en el archivo: **SPBG1011**

Zona de Amenaza Sísmica : **Intermedia**

Sistema Estructural: **Pórticos de concreto (DMO)**

| Pesos para el Análisis Sísmico: | ton/m2 | Area (m ²) | Cubierta y muros | Masa |
|---------------------------------|-------------|------------------------|------------------|-------|
| N +24.90 | 1.23 | 4.44 | | 558 |
| N +22.80 | | | 707 | 707 |
| N +20.00 | | | 707 | 707 |
| N +17.20 | | | 707 | 707 |
| N +14.40 | 2.07 | 4.44 | 567 | 1504 |
| N +11.60 | | | 1399 | 1399 |
| N +8.80 | 0.94 | 17.84 | | 1709 |
| N +6.00 | 0.66 | 240.72 | | 16078 |
| N +3.20 | 0.89 | 157.74 | | 14291 |

$$\text{Torsión Accidental: } e = 0.05 \quad L$$

Centro de masas:

| | | | |
|------------|-------------|----------------|--------------|
| X= 0.59 m | N +24.90 | Lx (m) = 2.00 | |
| Y= 8.25 m | Diáfragma 1 | Ly (m) = 3.75 | |
| X= 18.91 m | N +24.90 | Lx (m) = 2.00 | |
| Y= 8.25 m | Diáfragma 2 | Ly (m) = 3.75 | |
| X= 0.59 m | N +14.40 | Lx (m) = 2.00 | |
| Y= 8.25 m | Diáfragma 1 | Ly (m) = 3.75 | |
| X= 18.91 m | N +14.40 | Lx (m) = 2.00 | |
| Y= 8.25 m | Diáfragma 2 | Ly (m) = 3.75 | |
| X= 1.93 m | N +8.80 | Lx (m) = 4.75 | e x = 0.24 m |
| Y= 4.63 m | Diáfragma 1 | Ly (m) = 8.25 | e y = 0.41 m |
| X= 17.57 m | N +8.80 | Lx (m) = 4.75 | e x = 0.24 m |
| Y= 4.63 m | Diáfragma 2 | Ly (m) = 8.25 | e y = 0.41 m |
| X= 9.72 m | N +6.00 | Lx (m) = 19.75 | e x = 0.99 m |
| Y= 5.09 m | | Ly (m) = 14.63 | e y = 0.73 m |
| X= 9.75 m | N +3.20 | Lx (m) = 19.75 | e x = 0.99 m |
| Y= 3.85 m | | Ly (m) = 10.13 | e y = 0.51 m |



| | | | | | | | |
|------|--|---------|--------|--------|----------|--|--|
| Obra | ESTUDIO DE VULNERABILIDAD TEATRO LA MEDIA TORTA | Nº | 2666 | Fecha | 01/01/31 | | |
| Item | ANÁLISIS SISMICO ESTRUCTURA ACTUAL | Calculó | A.P.B. | Revisó | J.E.B. | | |

017

FT-04-11
Revision No. 1**Análisis Sísmico por Fuerza Horizontal Equivalente:**

Análisis por el método de la Fuerza Horizontal Equivalente para ajustar el valor del cortante dinámico en la base (según A.5.4.5 – NSR - 98)

$$Aa = 0.20 \quad S = 1.00 \quad I = 1.10$$

$$Ta = Cthn^{(3/4)} \quad Ct = 0.08 \quad (\text{Pórticos de concreto Reforzado})$$

$$Ta = 0.88 \text{ seg}$$

$$Sa = 1.2Aa S I / T \quad Sa = 2.5Aa I \quad \begin{matrix} Sa \\ Sa \end{matrix} = \begin{matrix} 0.30 \\ 0.55 \end{matrix} \quad \begin{matrix} (N+8.80 \text{ a } 24.90) \\ (N+3.20 \text{ y } 6.00) \end{matrix}$$

$$Sa = 0.30 \quad Sa = 0.55 \quad V = 203.3 \text{ ton}$$

| NIVEL | W(ton) | Alt. piso | h(m) |
|----------|--------|-----------|-------|
| N +24.90 | 11.0 | 2.10 | 24.60 |
| N +22.80 | 13.9 | 2.80 | 22.50 |
| N +20.00 | 13.9 | 2.80 | 19.70 |
| N +17.20 | 13.9 | 2.80 | 16.90 |
| N +14.40 | 18.4 | 2.80 | 14.10 |
| N +11.60 | 27.4 | 2.80 | 11.30 |
| N +8.80 | 33.5 | 2.80 | 8.50 |
| N +6.00 | 157.7 | 2.80 | 5.70 |
| N +3.20 | 140.2 | 3.20 | 2.90 |

$$\text{Total} \quad 429.9$$

Cortantes Dinámicos en la Base. (Vtj) :

$$Vtx = 77.2 \text{ ton} \quad (\text{Ver página siguiente})$$

$$Vty = 85.8 \text{ ton}$$

Regularidad de la Estructura: 2 (1: Regular, 2: Irregular)

Si la estructura es regular, el cortante dinámico en la base no puede ser menor que el 80 % del cortante calculado por Fuerza Horizontal Equivalente (Vs) - (según A.5.4.5 b -- NSR - 98)

Factores de Ajuste :

$$F_x = 203.3 / 77.2 = 2.63$$

$$F_y = 203.3 / 85.8 = 2.37$$

$$F_x = 2.63 \quad (\text{Definitivo})$$

$$F_y = 2.37 \quad (\text{Definitivo})$$



| | | | |
|------|--|----------------|----------------|
| Obra | ESTUDIO DE VULNERABILIDAD TEATRO LA MEDIA TORTA | Nº * 2666 | Fecha 01/01/31 |
| Item | CENTROS DE MASA ESTRUCTURA ACTUAL | Calculó A.P.B. | Revisó J.E.B. |

018

FT-04-11
Revision No. 1**PROYECTISTAS CIVILES ASOCIADOS****PROGRAM:ETABS/FILE:12666\TACTUAL.STR****TEATRO LA MEDIA TORTA - ESTRUCTURA ACTUAL****ANALISIS SISMICO - DINAMICO****COORDINATES OF CENTERS OF CUMULATIVE MASS & CENTERS OF RIGIDITY**

| STORY LEVEL | DIAPHRAGM NUMBER | MASS | /---CENTER OF MASS--- | | /---CENTER OF RIGIDITY--- | |
|----------------|---------------------|-----------|-----------------------|------------|---------------------------|------------|
| | | | ORDINATE-X | ORDINATE-Y | ORDINATE-X | ORDINATE-Y |
| N24.90 | 1 | 561.702 | 0.59 | 6.251 | 0.953 | 5.921 |
| | 2 | 561.702 | 18.914 | 6.254 | 18.592 | 5.984 |
| N22.80 | 1 | 633.794 | 0.589 | 6.241 | 0.583 | 6.167 |
| | 2 | 633.794 | 18.914 | 6.244 | 18.917 | 6.167 |
| N20.00 | 1 | 705.886 | 0.588 | 6.234 | 0.583 | 6.167 |
| | 2 | 705.886 | 18.914 | 6.237 | 18.917 | 6.167 |
| N17.20 | 1 | 777.978 | 0.588 | 6.227 | 0.583 | 6.167 |
| | 2 | 777.978 | 18.915 | 6.23 | 18.917 | 6.167 |
| N14.40 | 1 | 2290.351 | 0.589 | 6.242 | 1.183 | 5.434 |
| | 2 | 2290.351 | 18.912 | 6.243 | 18.314 | 5.444 |
| N11.60 | 1 | 2433.011 | 0.687 | 6.111 | 2.25 | 4 |
| | 2 | 2427.929 | 18.822 | 6.124 | 17.333 | 4.148 |
| N8.80 | 1 | 4142.011 | 1.2 | 5.5 | 2.103 | 4.554 |
| | 2 | 4136.929 | 18.305 | 5.507 | 17.4 | 4.56 |
| N6.00 | 1 | 20220.011 | 7.975 | 5.969 | 9.758 | 6.461 |
| N3.20 | 1 | 34511.011 | 8.71 | 5.092 | 9.75 | 6.151 |

PCA

| | | | | | | |
|------|--|---------|---------------|--------|-----------------|------------|
| Obra | ESTUDIO DE VULNERABILIDAD TEATRO LA MEDIA TORTA | Nº | 2666 | Fecha | 01/01/31 | |
| Item | CENTROS DE MASA ESTRUCTURA ACTUAL | Calculó | A.P.B. | Revisó | J.E.B. | 019 |

FT-04-11
Revision No. 1

| | | Originales | | Modificados | |
|--------|---|------------|-------|-------------|-------|
| N24.90 | 1 | X = | 0.59 | X = | 0.59 |
| | | Y = | 6.25 | Y = | 6.25 |
| N24.90 | 2 | X = | 18.91 | X = | 18.91 |
| | | Y = | 6.25 | Y = | 6.25 |
| N14.40 | 1 | X = | 0.59 | X = | 0.59 |
| | | Y = | 6.25 | Y = | 6.25 |
| N14.40 | 2 | X = | 18.91 | X = | 18.91 |
| | | Y = | 6.25 | Y = | 6.25 |
| N8.80 | 1 | X = | 1.93 | X = | 1.69 |
| | | Y = | 4.63 | Y = | 5.04 |
| N8.80 | 2 | X = | 17.57 | X = | 17.81 |
| | | Y = | 4.63 | Y = | 5.04 |
| N6.00 | | X = | 9.72 | X = | 8.73 |
| | | Y = | 6.09 | Y = | 5.36 |
| N3.20 | | X = | 9.75 | X = | 8.76 |
| | | Y = | 3.85 | Y = | 3.34 |

- + Centro de masas
- x Centro de rigidez

El centro de masas se desplazara como lo muestra la figura, para cumplir con la torsión accidental.



| | | | | | | | |
|------|--|---------|--------|--------|----------|--|-----|
| Obra | ESTUDIO DE VULNERABILIDAD TEATRO LA MEDIA TORTA | Nº | 2666 | Fecha | 01/01/31 | | |
| Item | PARTICIPACION DE MASAS ESTRUCTURA ACTUAL | Calculó | A.P.B. | Revisó | J.E.B. | | 020 |

FT-04-11
Revision No. 1

PROYECTISTAS CIVILES ASOCIADOS

PROGRAM:ETABS/FILE:12666\TACTUAL.EIG

TEATRO LA MEDIA TORTA - ESTRUCTURA ACTUAL

ANALISIS SISMICO - DINAMICO

EFFECTIVE MASS FACTORS

| MODE | X - TRASLATION | | Y - TRASLATION | | Z - ROTATION | |
|--------|----------------|----------|----------------|----------|--------------|----------|
| NUMBER | % MASS | < % SUM> | % MASS | < % SUM> | % MASS | < % SUM> |
| 1 | 15.93 | 15.9> | 0.03 | 0.0> | 0.00 | < 0.0> |
| 2 | 0.16 | 16.1> | 2.96 | 3.0> | 0.00 | < 0.0> |
| 3 | 0.02 | 16.1> | 28.22 | 31.2> | 0.00 | < 0.0> |
| 4 | 2.27 | 18.4> | 0.25 | 31.4> | 0.00 | < 0.0> |
| 5 | 28.59 | 47.0> | 0.00 | 31.4> | 0.00 | < 0.0> |
| 6 | 0.00 | 47.0> | 24.36 | 55.8> | 0.00 | < 0.0> |
| 7 | 0.00 | 47.0> | 2.56 | 58.4> | 0.00 | < 0.0> |
| 8 | 11.62 | 58.6> | 0.00 | 58.4> | 0.00 | < 0.0> |
| 9 | 1.40 | 60.0> | 0.00 | 58.4> | 0.00 | < 0.0> |
| 10 | 0.00 | 60.0> | 3.20 | 61.6> | 0.00 | < 0.0> |
| 11 | 0.00 | 60.0> | 0.44 | 62.0> | 0.00 | < 0.0> |
| 12 | 1.55 | 61.5> | 0.00 | 62.0> | 0.00 | < 0.0> |
| 13 | 0.16 | 61.7> | 0.00 | 62.0> | 0.00 | < 0.0> |
| 14 | 0.00 | 61.7> | 0.23 | 62.2> | 0.00 | < 0.0> |
| 15 | 0.00 | 61.7> | 35.92 | 98.2> | 0.00 | < 0.0> |
| 16 | 0.00 | 61.7> | 0.00 | 98.2> | 0.71 | < 0.7> |
| 17 | 0.00 | 61.7> | 0.00 | 98.2> | 0.64 | < 1.4> |
| 18 | 36.44 | 98.2> | 0.00 | 98.2> | 0.00 | < 1.4> |



| | | | | | |
|------|--|----------------|----------------|--|-----|
| Obra | ESTUDIO DE VULNERABILIDAD TEATRO LA MEDIA TORTA | Nº 2666 | Fecha 01/01/31 | | |
| Item | CORTANTE DINAMICO ESTRUCTURA ACTUAL | Calculó A.P.B. | Revisó J.E.B. | | 021 |

FT-04-11
Revision No. 1

PROYECTISTAS CIVILES ASOCIADOS

PROGRAM:ETABS/FILE:126661TACTUAL.STR

TEATRO LA MEDIA TORTA - ESTRUCTURA ACTUAL

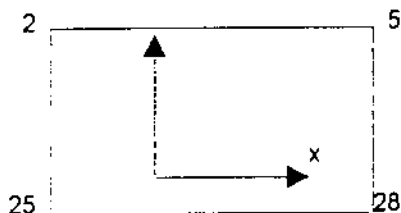
ANALISIS SISMICO - DINAMICO

DYNAMIC RESPONSE SPECTRUM BASE SHEARS

| MODE No. | /-----D1-----/ | | /-----D2-----/ | |
|-------------|----------------|-------------|----------------|-------------|
| | DIRECTION-X | DIRECTION-Y | DIRECTION-X | DIRECTION-Y |
| 1 | 20742.841 | 827.402 | 827.402 | 33.004 |
| 2 | 213.433 | -920.511 | -920.511 | 3970.059 |
| 3 | 41.095 | 1489.144 | 1489.144 | 53961.135 |
| 4 | 4406.925 | -1452.442 | -1452.442 | 478.699 |
| 5 | 59623.177 | -277.891 | -277.891 | 1.295 |
| 6 | 5.364 | 518.504 | 518.504 | 50117.226 |
| 7 | 2.214 | -106.065 | -106.065 | 5080.098 |
| 8 | 20658.588 | -23.73 | -23.73 | 0.027 |
| 9 | 2486.451 | -116.626 | -116.626 | 5.47 |
| 10 | 1.07 | 74.278 | 74.278 | 5155.521 |
| 11 | 0.876 | -24.001 | -24.001 | 657.828 |
| 12 | 2276.81 | 4.03 | 4.03 | 0.007 |
| 13 | 219.448 | -0.992 | -0.992 | 0.004 |
| 14 | 0.002 | -0.73 | -0.73 | 302.413 |
| 15 | 0 | 0.276 | 0.276 | 34747.575 |
| 16 | 0.003 | -0.07 | -0.07 | 1.599 |
| 17 | 0.001 | 0.037 | 0.037 | 1.088 |
| 18 | 33817.17 | -0.02 | -0.02 | 0 |
| CQC | 77172.76 | 675.827 | 675.827 | 85751.686 |

| | | | | | |
|------|--|---------|---------------|--------|-----------------|
| Obra | ESTUDIO DE VULNERABILIDAD TEATRO LA MEDIA TORTA | Nº | 2666 | Fecha | 01/01/31 |
| Item | IRREGULARIDAD TORSIONAL ESTRUCTURA ACTUAL | Calculo | A.P.B. | Revisó | J.E.B. |

022

FT-04-11
Revision No. 1**Esquema Estructural - Identificación de Nudos Para Revisión de la Irregularidad Torsional****REVISION DE LA IRREGULARIDAD TORSIONAL**

D = Deriva del análisis.

SISMO EN X Caso de Carga: 2

Columna Eje Vertical:

| | 5 | 28 | | 2 | 25 | | | |
|---------|------------|------------|-----------------------------------|----|------------|------------|--|----|
| | Δ1 (cm) | Δ2 (cm) | $\frac{(\Delta 1 + \Delta 2)}{2}$ | | Δ1 (cm) | Δ2 (cm) | $\frac{(\Delta 1 + \Delta 2)}{2} \times 1.2$ | |
| N +6.00 | 1.97 | 2.31 | 2.57 | OK | 1.99 | 2.33 | 2.59 | OK |
| N +3.20 | 0.00 | 0.02 | 0.01 | NO | 0.00 | 0.02 | 0.01 | NO |

SISMO EN Y Caso de Carga: 4

Columna Eje Vertical:

| | 2 | 5 | | 25 | 28 | | | |
|---------|------------|------------|-----------------------------------|----|------------|------------|--|----|
| | Δ1 (cm) | Δ2 (cm) | $\frac{(\Delta 1 + \Delta 2)}{2}$ | | Δ1 (cm) | Δ2 (cm) | $\frac{(\Delta 1 + \Delta 2)}{2} \times 1.2$ | |
| N +6.00 | 2.54 | 2.30 | 2.90 | OK | 2.50 | 2.26 | 2.85 | OK |
| N +3.20 | 0.00 | 0.00 | 0.00 | NO | 0.04 | 0.04 | 0.04 | OK |



| | | | | | |
|------|--|---------|--------|--------|----------|
| Obra | ESTUDIO DE VULNERABILIDAD TEATRO LA MEDIA TORTA | Nº | 2666 | Fecha | 01/01/31 |
| Item | CHEQUEO DE IRREGULARIDADES ESTRUCTURA ACTUAL | Calculó | A.P.B. | Revisó | J.E.B. |

023

FE-09-11
Revision Nro:

IRREGULARIDADES EN PLANTA - (Ver Página A-41 - NSR-98)

| Parametro | Si | No |
|------------------------------------|----|----|
| Irregularidad Torsional | x | |
| Retrocesos en las Esquinas | | x |
| Discontinuidades en el Diafragma | | x |
| Desplazamiento del Plano de Acción | | x |
| Sistemas no Paralelos | | x |

| Factor de Reducción |
|---------------------|
| 0.9 |
| 0.9 |
| 0.9 |
| 0.8 |
| 0.9 |

 $\phi p = 0.9$

(Si existen varias irregularidades se escoge el menor valor de p)

IRREGULARIDADES EN ALTURA - (Ver Página A-42 - NSR-98)

| Parametro | Si | No |
|------------------------------------|----|----|
| Piso Flexible | | x |
| Distribución de Masas | x | |
| Geométrica | x | |
| Desplazamiento del Plano de Acción | | x |
| Piso Débil | | x |

| Factor de Reducción |
|---------------------|
| 0.9 |
| 0.9 |
| 0.9 |
| 0.8 |
| 0.8 |

 $\phi a = 0.9$

(Si existen varias irregularidades se escoge el menor valor de a)

Materiales:

Concreto:

$$f_c = 210 \text{ kg/cm}^2 \quad \text{Columnas y pantallas}$$

$$E_c = \frac{\text{[Diagrama de momento flexionante]}}{\text{[Diagrama de longitud]}} = 178720$$

Acero:

$$f_y = 4200 \text{ kg/cm}^2$$

$$E_s = 2 \times 106 \text{ kg/cm}^2$$



| | | | | |
|------|--|--------------------------|--------------------------|------------|
| Obra | ESTUDIO DE VULNERABILIDAD TEATRO LA MEDIA TORTA | Nº 2666 | Fecha 01/01/31 | 024 |
| Item | COMBINACIONES DE CARGA ESTRUCTURA ACTUAL | Calculó A.P.B. | Revisó J.E.B. | |

FT-04-11
Revision No. 1

Factores - Resultado
Análisis Sismico **Fx = 2.63**
 Fy = 2.37

Combinaciones de Carga:

CHEQUEO DE LA DERIVA

| | | |
|---------------------------|------|------|
| 1. 1.40 C.M. + 1.70 C.V. | | |
| 2. 1.05 C.M. + 1.28 C.V.+ | 2.63 | S.X. |
| 3. 1.05 C.M. + 1.28 C.V.- | 2.63 | S.X. |
| 4. 1.05 C.M. + 1.28 C.V.+ | 2.37 | S.Y. |
| 5. 1.05 C.M. + 1.28 C.V.- | 2.37 | S.Y. |
| 6. 0.90 C.M. + | 2.63 | S.X. |
| 7. 0.90 C.M. - | 2.63 | S.X. |
| 8. 0.90 C.M. + | 2.37 | S.Y. |
| 9. 0.90 C.M. - | 2.37 | S.Y. |

C.M. = Carga Muerta

C.V. = Carga Viva

S.X. = Fuerzas Sismicas Elásticas en X

S.Y. = Fuerzas Sismicas Elásticas en Y

R o = 4.00 (Porticos de concreto - DMO)

$\phi a = 0.90$

$\phi p = 0.90$ (Ver Página siguiente)

R = 3.24

DISEÑO DE VIGAS Y COLUMNAS

| | | |
|---------------------------|------|--------|
| 1. 1.40 C.M. + 1.70 C.V. | | |
| 2. 1.05 C.M. + 1.28 C.V.+ | 0.81 | + 0.22 |
| 3. 1.05 C.M. + 1.28 C.V.+ | 0.81 | - 0.22 |
| 4. 1.05 C.M. + 1.28 C.V.- | 0.81 | + 0.22 |
| 5. 1.05 C.M. + 1.28 C.V.- | 0.81 | - 0.22 |
| 6. 1.05 C.M. + 1.28 C.V.+ | 0.24 | + 0.73 |
| 7. 1.05 C.M. + 1.28 C.V.- | 0.24 | + 0.73 |
| 8. 1.05 C.M. + 1.28 C.V.+ | 0.24 | - 0.73 |
| 9. 1.05 C.M. + 1.28 C.V.- | 0.24 | - 0.73 |
| 10. 0.90 C.M. + | 0.81 | + 0.22 |
| 11. 0.90 C.M. + | 0.81 | - 0.22 |
| 12. 0.90 C.M. - | 0.81 | + 0.22 |
| 13. 0.90 C.M. - | 0.81 | - 0.22 |
| 14. 0.90 C.M. + | 0.24 | + 0.73 |
| 15. 0.90 C.M. - | 0.24 | + 0.73 |
| 16. 0.90 C.M. + | 0.24 | - 0.73 |
| 17. 0.90 C.M. - | 0.24 | - 0.73 |



| | | | | | |
|------|--|---------|---------------|--------|-----------------|
| Obra | ESTUDIO DE VULNERABILIDAD TEATRO LA MEDIA TORTA | Nº | 2666 | Fecha | 01/01/31 |
| Item | CHEQUEO DE DERIVAS ESTRUCTURA ACTUAL | Calculó | A.P.B. | Revisó | J.E.B. |

025FT-04-11
Revision No. 1

$$\Delta_a = \sqrt{(\delta_{x1} - \delta_{x2})^2 + (\delta_{y1} - \delta_{y2})^2}$$

 Δ_a = Deriva del análisis. Δ_p = Deriva permitida.
(0.01 h)**SISMO EN X**Columna Eje Vertical:
Caso de Carga:**9****2**

| | Alt. piso | d x (m) | d y (m) | Δ_a (cm) | Δ_p (cm) | | % |
|----------|-------------|-------------------|-------------------|--------------------------------------|--------------------------------------|----|------|
| N +24.90 | 2.10 | 0.2840 | 0.0955 | 3.17 | 2.10 | NO | 1.51 |
| N +22.80 | 2.80 | 0.2530 | 0.0887 | 4.30 | 2.80 | NO | 1.53 |
| N +20.00 | 2.80 | 0.2110 | 0.0797 | 3.69 | 2.80 | NO | 1.32 |
| N +17.20 | 2.80 | 0.1750 | 0.0714 | 3.42 | 2.80 | NO | 1.22 |
| N +14.40 | 2.80 | 0.1420 | 0.0626 | 3.65 | 2.80 | NO | 1.30 |
| N +11.60 | 2.80 | 0.1070 | 0.0523 | 4.79 | 2.80 | NO | 1.71 |
| N +8.80 | 2.80 | 0.0654 | 0.0286 | 4.97 | 2.80 | NO | 1.78 |
| N +6.00 | 2.80 | 0.0203 | 0.0077 | 2.15 | 2.80 | OK | 0.77 |
| N +3.20 | 3.20 | 0.0001 | 0.0001 | 0.02 | 3.20 | OK | 0.00 |

SISMO EN YColumna Eje Vertical:
Caso de Carga:**9****4**

| | Alt. piso | d x (m) | d y (m) | Δ_a (cm) | Δ_p (cm) | | % |
|----------|-------------|-------------------|-------------------|--------------------------------------|--------------------------------------|----|------|
| N +24.90 | 2.10 | 0.1500 | 0.1760 | 2.42 | 2.10 | NO | 1.15 |
| N +22.80 | 2.80 | 0.1310 | 0.1610 | 3.28 | 2.80 | NO | 1.17 |
| N +20.00 | 2.80 | 0.1050 | 0.1410 | 2.84 | 2.80 | NO | 1.02 |
| N +17.20 | 2.80 | 0.0830 | 0.1230 | 2.87 | 2.80 | NO | 1.02 |
| N +14.40 | 2.80 | 0.0607 | 0.1050 | 2.84 | 2.80 | NO | 1.02 |
| N +11.60 | 2.80 | 0.0402 | 0.0853 | 3.39 | 2.80 | NO | 1.21 |
| N +8.80 | 2.80 | 0.0195 | 0.0585 | 3.70 | 2.80 | NO | 1.32 |
| N +6.00 | 2.80 | 0.0011 | 0.0264 | 2.60 | 2.80 | OK | 0.93 |
| N +3.20 | 3.20 | 0.0000 | 0.0004 | 0.04 | 3.20 | OK | 0.01 |

| | | | |
|------|--|--------------------------|--------------------------|
| Obra | ESTUDIO DE VULNERABILIDAD TEATRO LA MEDIA TORTA | Nº 2666 | Fecha 01/01/31 |
| Item | CHEQUEO DE DERIVAS ESTRUCTURA ACTUAL | Calculó A.P.B. | Revisó J.E.B. |

026FT-04-11
Revision No. 1

$$\Delta_a = \sqrt{(\delta_{x1} - \delta_{x2})^2 + (\delta_{y1} - \delta_{y2})^2}$$

 Δ_a = Deriva del análisis. Δ_p = Deriva permitida.
(0.01 h)

| <u>SISMO EN X</u> | | Columna Eje Vertical: | | 14 | Δ_a (cm) | Δ_p (cm) | % |
|-------------------|-------------|-----------------------|---------------|-----------|--------------------|--------------------|----------|
| | | Caso de Carga: | 2 | 2 | | | |
| Alt. piso | d x (m) | d y (m) | | | | | |
| N +24.90 | 2.10 | 0.2680 | 0.0887 | 3.17 | 2.10 | NO | 1.51 |
| N +22.80 | 2.80 | 0.2370 | 0.0821 | 4.00 | 2.80 | NO | 1.43 |
| N +20.00 | 2.80 | 0.1980 | 0.0734 | 3.41 | 2.80 | NO | 1.22 |
| N +17.20 | 2.80 | 0.1650 | 0.0650 | 3.17 | 2.80 | NO | 1.13 |
| N +14.40 | 2.80 | 0.1340 | 0.0586 | 3.30 | 2.80 | NO | 1.18 |
| N +11.60 | 2.80 | 0.1020 | 0.0506 | 4.62 | 2.80 | NO | 1.65 |
| N +8.80 | 2.80 | 0.0620 | 0.0275 | 4.65 | 2.80 | NO | 1.66 |
| N +6.00 | 2.80 | 0.0203 | 0.0068 | 2.13 | 2.80 | OK | 0.76 |
| N +3.20 | 3.20 | 0.0001 | 0.0001 | 0.02 | 3.20 | OK | 0.00 |
| <u>SISMO EN Y</u> | | Columna Eje Vertical: | | 14 | Δ_a (cm) | Δ_p (cm) | % |
| | | Caso de Carga: | 4 | 4 | | | |
| Alt. piso | d x (m) | d y (m) | | | | | |
| N +24.90 | 2.10 | 0.1360 | 0.1580 | 2.28 | 2.10 | NO | 1.09 |
| N +22.80 | 2.80 | 0.1180 | 0.1440 | 2.97 | 2.80 | NO | 1.06 |
| N +20.00 | 2.80 | 0.0952 | 0.1250 | 2.69 | 2.80 | OK | 0.96 |
| N +17.20 | 2.80 | 0.0752 | 0.1070 | 2.45 | 2.80 | OK | 0.87 |
| N +14.40 | 2.80 | 0.0554 | 0.0926 | 2.44 | 2.80 | OK | 0.87 |
| N +11.60 | 2.80 | 0.0373 | 0.0762 | 3.16 | 2.80 | NO | 1.13 |
| N +8.80 | 2.80 | 0.0179 | 0.0513 | 3.40 | 2.80 | NO | 1.21 |
| N +6.00 | 2.80 | 0.0011 | 0.0218 | 2.15 | 2.80 | OK | 0.77 |
| N +3.20 | 3.20 | 0.0000 | 0.0004 | 0.04 | 3.20 | OK | 0.01 |



| | | | | |
|------|--|----------------|----------------|-----|
| Obra | ESTUDIO DE VULNERABILIDAD TEATRO LA MEDIA TORTA | Nº 2666 | Fecha 01/01/31 | |
| Item | CHEQUEO DE DERIVAS ESTRUCTURA ACTUAL | Calculo A.P.B. | Reviso J.E.B. | 027 |

FT-04-11
Revision No. 1

$$\Delta_a = \sqrt{(\delta_{x1} - \delta_{x2})^2 + (\delta_{y1} - \delta_{y2})^2}$$

Δ_a = Deriva del análisis.

Δ_p = Deriva permitida.
(0.01 h)

| SISMO EN X | | Columna Eje Vertical: Caso de Carga: | | 17 | | | |
|------------|-------------|---|-------------------|--------------------|--------------------|----|------|
| | Alt. piso | d x (m) | d y (m) | Δ_a (cm) | Δ_p (cm) | | % |
| N +24.90 | 2.10 | 0.2420 | 0.0955 | 3.27 | 2.10 | NO | 1.56 |
| N +22.80 | 2.80 | 0.2100 | 0.0888 | 4.20 | 2.80 | NO | 1.50 |
| N +20.00 | 2.80 | 0.1690 | 0.0798 | 3.70 | 2.80 | NO | 1.32 |
| N +17.20 | 2.80 | 0.1330 | 0.0714 | 2.94 | 2.80 | NO | 1.05 |
| N +14.40 | 2.80 | 0.1050 | 0.0626 | 2.69 | 2.80 | OK | 0.96 |
| N +11.60 | 2.80 | 0.0801 | 0.0525 | 3.55 | 2.80 | NO | 1.27 |
| N +8.80 | 2.80 | 0.0539 | 0.0286 | 3.87 | 2.80 | OK | 1.38 |
| N +6.00 | 2.80 | 0.0213 | 0.0077 | 2.25 | 2.80 | OK | 0.80 |
| N +3.20 | 3.20 | 0.0002 | 0.0001 | 0.02 | 3.20 | OK | 0.01 |
| SISMO EN Y | | Columna Eje Vertical: Caso de Carga: | | 17 | | | |
| | Alt. piso | d x (m) | d y (m) | Δ_a (cm) | Δ_p (cm) | | % |
| N +24.90 | 2.10 | 0.1460 | 0.1760 | 2.61 | 2.10 | NO | 1.24 |
| N +22.80 | 2.80 | 0.1240 | 0.1620 | 3.51 | 2.80 | NO | 1.25 |
| N +20.00 | 2.80 | 0.0952 | 0.1420 | 3.26 | 2.80 | NO | 1.16 |
| N +17.20 | 2.80 | 0.0687 | 0.1230 | 2.87 | 2.80 | NO | 1.02 |
| N +14.40 | 2.80 | 0.0464 | 0.1050 | 2.68 | 2.80 | OK | 0.96 |
| N +11.60 | 2.80 | 0.0280 | 0.0855 | 3.05 | 2.80 | NO | 1.09 |
| N +8.80 | 2.80 | 0.0139 | 0.0585 | 3.46 | 2.80 | NO | 1.24 |
| N +6.00 | 2.80 | 0.0009 | 0.0264 | 2.60 | 2.80 | OK | 0.93 |
| N +3.20 | 3.20 | 0.0000 | 0.0004 | 0.04 | 3.20 | OK | 0.01 |



| | | | | | |
|------|--|---------|--------|--------|----------|
| Obra | ESTUDIO DE VULNERABILIDAD TEATRO LA MEDIA TORTA | Nº | 2666 | Fecha | 01/01/31 |
| Item | CHEQUEO DE DERIVAS ESTRUCTURA ACTUAL | Calculó | A.P.B. | Revisó | J.E.B. |

028

FT-04-11
Revision No. 1

$$\Delta_a = \sqrt{(\delta_{x1} - \delta_{x2})^2 + (\delta_{y1} - \delta_{y2})^2}$$

 $\Delta\alpha$ = Deriva del análisis. $\Delta\rho$ = Deriva permitida.
(0.01 h)

| <u>SISMO EN X</u> | | Columna Eje Vertical: Caso de Carga: | | 18 | 2 | | |
|-------------------|-------------|---|-------------------|------------------------|----------------------|----|------|
| | Alt. piso | <i>d x</i> (m) | <i>d y</i> (m) | $\Delta\alpha$ (cm) | $\Delta\rho$ (cm) | % | |
| N +24.90 | 2.10 | 0.2340 | 0.0887 | 3.17 | 2.10 | NO | 1.51 |
| N +22.80 | 2.80 | 0.2030 | 0.0822 | 4.09 | 2.80 | NO | 1.46 |
| N +20.00 | 2.80 | 0.1630 | 0.0736 | 3.70 | 2.80 | NO | 1.32 |
| N +17.20 | 2.80 | 0.1270 | 0.0652 | 2.82 | 2.80 | NO | 1.01 |
| N +14.40 | 2.80 | 0.0996 | 0.0586 | 2.59 | 2.80 | OK | 0.92 |
| N +11.60 | 2.80 | 0.0750 | 0.0506 | 3.35 | 2.80 | NO | 1.19 |
| N +8.80 | 2.80 | 0.0508 | 0.0275 | 3.60 | 2.80 | NO | 1.29 |
| N +6.00 | 2.80 | 0.0213 | 0.0068 | 2.22 | 2.80 | OK | 0.79 |
| N +3.20 | 3.20 | 0.0002 | 0.0001 | 0.02 | 3.20 | OK | 0.01 |
| <u>SISMO EN Y</u> | | Columna Eje Vertical: Caso de Carga: | | 18 | 4 | | |
| | Alt. piso | <i>d x</i> (m) | <i>d y</i> (m) | $\Delta\alpha$ (cm) | $\Delta\rho$ (cm) | % | |
| N +24.90 | 2.10 | 0.1350 | 0.1580 | 2.52 | 2.10 | NO | 1.20 |
| N +22.80 | 2.80 | 0.1140 | 0.1440 | 3.28 | 2.80 | NO | 1.17 |
| N +20.00 | 2.80 | 0.0873 | 0.1250 | 3.01 | 2.80 | NO | 1.08 |
| N +17.20 | 2.80 | 0.0624 | 0.1080 | 2.61 | 2.80 | OK | 0.93 |
| N +14.40 | 2.80 | 0.0413 | 0.0926 | 2.40 | 2.80 | OK | 0.86 |
| N +11.60 | 2.80 | 0.0238 | 0.0762 | 2.80 | 2.80 | OK | 1.00 |
| N +8.80 | 2.80 | 0.0111 | 0.0513 | 3.12 | 2.80 | NO | 1.11 |
| N +6.00 | 2.80 | 0.0009 | 0.0218 | 2.15 | 2.80 | OK | 0.77 |
| N +3.20 | 3.20 | 0.0000 | 0.0004 | 0.04 | 3.20 | OK | 0.01 |

| | | | | | |
|------|--|---------|--------|--------|----------|
| Obra | ESTUDIO DE VULNERABILIDAD TEATRO LA MEDIA TORTA | Nº | 2666 | Fecha | 01/01/31 |
| Item | CHEQUEO DE DERIVAS ESTRUCTURA ACTUAL | Calculó | A.P.B. | Revisó | J.E.B. |

029

FT-04-11
Revision No. 1

$$\Delta_a = \sqrt{(\delta_{x1} - \delta_{x2})^2 + (\delta_{y1} - \delta_{y2})^2}$$

 Δ_a = Deriva del análisis. Δ_p = Deriva permitida.
(0.01 h)

| <u>SISMO EN X</u> | | Columna Eje Vertical: Caso de Carga: | | 25 | | | |
|-------------------|-------------|---|-------------------|--------------------|--------------------|----|------|
| | Alt. piso | <i>d x</i> (m) | <i>d y</i> (m) | Δa (cm) | Δp (cm) | | % |
| N +11.60 | 2.80 | 0.0530 | 0.0209 | 1.15 | 2.80 | OK | 0.41 |
| N +8.80 | 2.80 | 0.0440 | 0.0137 | 2.29 | 2.80 | OK | 0.82 |
| N +6.00 | 2.80 | 0.0231 | 0.0043 | 2.33 | 2.80 | OK | 0.83 |
| N +3.20 | 3.20 | 0.0002 | 0.0001 | 0.02 | 3.20 | OK | 0.01 |
| <u>SISMO EN Y</u> | | Columna Eje Vertical: Caso de Carga: | | 25 | | | |
| | Alt. piso | <i>d x</i> (m) | <i>d y</i> (m) | Δa (cm) | Δp (cm) | | % |
| N +11.60 | 2.80 | 0.0289 | 0.0699 | 2.20 | 2.80 | OK | 0.79 |
| N +8.80 | 2.80 | 0.0149 | 0.0529 | 3.06 | 2.80 | NO | 1.09 |
| N +6.00 | 2.80 | 0.0016 | 0.0253 | 2.50 | 2.80 | OK | 0.89 |
| N +3.20 | 3.20 | 0.0000 | 0.0004 | 0.04 | 3.20 | OK | 0.01 |
| <u>SISMO EN X</u> | | Columna Eje Vertical: Caso de Carga: | | 28 | | | |
| | Alt. piso | <i>d x</i> (m) | <i>d y</i> (m) | Δa (cm) | Δp (cm) | | % |
| N +11.60 | 2.80 | 0.0481 | 0.0206 | 1.02 | 2.80 | OK | 0.36 |
| N +8.80 | 2.80 | 0.0412 | 0.0131 | 2.05 | 2.80 | OK | 0.73 |
| N +6.00 | 2.80 | 0.0231 | 0.0035 | 2.31 | 2.80 | OK | 0.83 |
| N +3.20 | 3.20 | 0.0002 | 0.0001 | 0.02 | 3.20 | OK | 0.01 |
| <u>SISMO EN Y</u> | | Columna Eje Vertical: Caso de Carga: | | 28 | | | |
| | Alt. piso | <i>d x</i> (m) | <i>d y</i> (m) | Δa (cm) | Δp (cm) | | % |
| N +11.60 | 2.80 | 0.0196 | 0.0647 | 1.93 | 2.80 | OK | 0.69 |
| N +8.80 | 2.80 | 0.0090 | 0.0486 | 2.67 | 2.80 | OK | 0.96 |
| N +6.00 | 2.80 | 0.0016 | 0.0229 | 2.26 | 2.80 | OK | 0.81 |
| N +3.20 | 3.20 | 0.0000 | 0.0004 | 0.04 | 3.20 | OK | 0.01 |



| | | | | | |
|------|--|---------|---------------|--------|-----------------|
| Obra | ESTUDIO DE VULNERABILIDAD TEATRO LA MEDIA TORTA | Nº | 2666 | Fecha | 01/01/31 |
| Item | CHEQUEO DE DERIVAS ESTRUCTURA ACTUAL | Calculó | A.P.B. | Revisó | J.E.B. |

030FT-04-11
Revision No. 1

$$\Delta_a = \sqrt{(\delta_{x1} - \delta_{x2})^2 + (\delta_{y1} - \delta_{y2})^2}$$

 $\Delta\alpha$ = Deriva del análisis. $\Delta\rho$ = Deriva permitida.
(0.01 h)

| <u>SISMO EN X</u> | | Columna Eje Vertical: Caso de Carga: | | 2 | 2 | | | |
|-------------------|-------------|---|-------------------|------------------------|----------------------|----|------|--|
| | Alt. piso | <i>d x</i> (m) | <i>d y</i> (m) | $\Delta\alpha$ (cm) | $\Delta\rho$ (cm) | % | | |
| N +6.00 | 2.80 | 0.0194 | 0.0043 | 1.99 | 2.80 | OK | 0.71 | |
| N +3.20 | 3.20 | 0.0000 | 0.0000 | 0.00 | 3.20 | OK | 0.00 | |
| <u>SISMO EN Y</u> | | Columna Eje Vertical: Caso de Carga: | | 2 | 2 | | | |
| | Alt. piso | <i>d x</i> (m) | <i>d y</i> (m) | $\Delta\alpha$ (cm) | $\Delta\rho$ (cm) | % | | |
| N +6.00 | 2.80 | 0.0019 | 0.0253 | 2.54 | 2.80 | OK | 0.91 | |
| N +3.20 | 3.20 | 0.0000 | 0.0000 | 0.00 | 3.20 | OK | 0.00 | |
| <u>SISMO EN X</u> | | Columna Eje Vertical: Caso de Carga: | | 5 | 2 | | | |
| | Alt. piso | <i>d x</i> (m) | <i>d y</i> (m) | $\Delta\alpha$ (cm) | $\Delta\rho$ (cm) | % | | |
| N +6.00 | 2.80 | 0.0194 | 0.0035 | 1.97 | 2.80 | OK | 0.70 | |
| N +3.20 | 3.20 | 0.0000 | 0.0000 | 0.00 | 3.20 | OK | 0.00 | |
| <u>SISMO EN Y</u> | | Columna Eje Vertical: Caso de Carga: | | 5 | 4 | | | |
| | Alt. piso | <i>d x</i> (m) | <i>d y</i> (m) | $\Delta\alpha$ (cm) | $\Delta\rho$ (cm) | % | | |
| N +6.00 | 2.80 | 0.0019 | 0.0229 | 2.30 | 2.80 | OK | 0.82 | |
| N +3.20 | 3.20 | 0.0000 | 0.0000 | 0.00 | 3.20 | OK | 0.00 | |



| | | | | | | | |
|------|--|---------|--------|--------|----------|--|-----|
| Obra | ESTUDIO DE VULNERABILIDAD TEATRO LA MEDIA TORTA | Nº | 2666 | Fecha | 01/01/31 | | |
| Item | I.S. FLEXO-COMPRESIÓN EN COLUMNAS ESTRUCTURA ACTUAL | Calculó | A.P.B. | Revisó | J.E.B. | | 031 |

N +24.90

| COL ID | COLUMN MAJOR X {m} | SIZE MINOR {m} | STR PT | PU (T) | MMAJ (T-m) | MMIN (T-m) | COMBO | RATIO | dc | pe | IS | |
|-----------|--------------------------|----------------------|-----------|------------|---------------|---------------|--------|------------|--------------|------------|------------|--------------|
| 9 | 0.25 | 0.25 | RR-3- 3 | TOP BOT | 0 0 | 0 0 | 1 0 | <6> <6> | 0.29 0.22 | 0.9 0.9 | 0.9 0.9 | 0.36 0.27 |
| 14 | 0.25 | 0.25 | RR-3- 3 | TOP BOT | -1 -1 | 0 0 | 1 0 | <6> <6> | 0.26 0.20 | 0.9 0.9 | 0.9 0.9 | 0.32 0.25 |
| 15 | 0.25 | 0.25 | RR-3- 3 | TOP BOT | -1 -1 | 0 0 | 0 0 | <2> <2> | 0.23 0.16 | 0.9 0.9 | 0.9 0.9 | 0.28 0.20 |
| 16 | 0.25 | 0.25 | RR-3- 3 | TOP BOT | 1 1 | 0 0 | 0 0 | <2> <2> | 0.20 0.14 | 0.9 0.9 | 0.9 0.9 | 0.25 0.17 |
| 17 | 0.25 | 0.25 | RR-3- 3 | TOP BOT | 0 0 | 0 0 | 1 0 | <2> <2> | 0.22 0.17 | 0.9 0.9 | 0.9 0.9 | 0.27 0.21 |
| 18 | 0.25 | 0.25 | RR-3- 3 | TOP BOT | 0 0 | 0 0 | 1 0 | <2> <2> | 0.22 0.16 | 0.9 0.9 | 0.9 0.9 | 0.27 0.20 |

Nota: Si el índice de sobre-esfuerzo (IS) es menor o igual a 1.0, la resistencia efectiva del elemento a flexión es adecuada.
 COL ID corresponde a la ubicación de la columna en el modelo estructural.



| | | | | | |
|------|--|---------|--------|--------|----------|
| Obra | ESTUDIO DE VULNERABILIDAD TEATRO LA MEDIA TORTA | Nº | 2666 | Fecha | 01/01/31 |
| Item | I.S. FLEXO-COMPRESIÓN EN COLUMNAS ESTRUCTURA ACTUAL | Calculó | A.P.B. | Revisó | J.E.B. |

032

N+22.80

| COL ID | COLUMN MAJOR X (m) | SIZE MINOR (m) | STR PT | PU (T) | MMAJ (T-m) | MMIN (T-m) | COMBO | RATIO | sc | se | IS | |
|-----------|--------------------------|----------------------|-----------|------------|---------------|---------------|--------|--------------|--------------|------------|------------|--------------|
| 9 | 0.25 | 0.25 | RR-3- 3 | TOP BOT | -4 -3 | 0 0 | 0 0 | <14> < 6> | 0.16 0.19 | 0.9 0.9 | 0.9 0.9 | 0.20 0.23 |
| 14 | 0.25 | 0.25 | RR-3- 3 | TOP BOT | -7 -6 | 0 0 | 0 0 | <14> < 6> | 0.2 0.23 | 0.9 0.9 | 0.9 0.9 | 0.25 0.28 |
| 15 | 0.25 | 0.25 | RR-3- 3 | TOP BOT | -8 -7 | 0 0 | 0 0 | <10> < 2> | 0.2 0.24 | 0.9 0.9 | 0.9 0.9 | 0.25 0.30 |
| 16 | 0.25 | 0.25 | RR-3- 3 | TOP BOT | -3 -3 | 0 0 | 0 0 | <10> <10> | 0.14 0.16 | 0.9 0.9 | 0.9 0.9 | 0.17 0.20 |
| 17 | 0.25 | 0.25 | RR-3- 3 | TOP BOT | -3 -3 | 0 0 | 0 0 | <10> <10> | 0.14 0.16 | 0.9 0.9 | 0.9 0.9 | 0.17 0.20 |
| 18 | 0.25 | 0.25 | RR-3- 3 | TOP BOT | -3 -2 | 0 0 | 0 0 | <10> < 2> | 0.14 0.17 | 0.9 0.9 | 0.9 0.9 | 0.17 0.21 |

Nota: Si el índice de sobre-esfuerzo (IS) es menor o igual a 1.0, la resistencia efectiva del elemento a flexión es adecuada.
COL ID corresponde a la ubicación de la columna en el modelo estructural.



| | | | | | | | |
|------|--|---------|--------|--------|----------|--|-----|
| Obra | ESTUDIO DE VULNERABILIDAD TEATRO LA MÉDIA TORTA | Nº | 2666 | Fecha | 01/01/31 | | |
| Item | I.S. FLEXO-COMPRESIÓN EN COLUMNAS ESTRUCTURA ACTUAL | Calculó | A.P.B. | Revisó | J.E.B. | | 033 |

N +20.00

| COL ID | COLUMN MAJOR X (m) | SIZE MINOR (m) | STR PT | PU (T) | MMAJ (T-m) | MMIN (T-m) | COMBO | RATIO | øc | øe | I.S | |
|-----------|--------------------------|----------------------|-----------|------------|---------------|---------------|--------|--------------|--------------|------------|------------|--------------|
| 9 | 0.25 | 0.25 | RR-3- 3 | TOP BOT | 22 22 | 0 1 | 0 1 | < 9> < 9> | 0.29 0.42 | 0.9 0.9 | 0.9 0.9 | 0.36 0.52 |
| 14 | 0.25 | 0.25 | RR-3- 3 | TOP BOT | -11 -10 | 0 1 | 0 0 | <14> < 6> | 0.24 0.33 | 0.9 0.9 | 0.9 0.9 | 0.30 0.41 |
| 15 | 0.25 | 0.25 | RR-3- 3 | TOP BOT | -15 -14 | 0 0 | 0 0 | <10> < 2> | 0.25 0.3 | 0.9 0.9 | 0.9 0.9 | 0.31 0.37 |
| 16 | 0.25 | 0.25 | RR-3- 3 | TOP BOT | -9 -9 | 0 0 | 0 1 | < 2> < 2> | 0.21 0.28 | 0.9 0.9 | 0.9 0.9 | 0.26 0.35 |
| 17 | 0.25 | 0.25 | RR-3- 3 | TOP BOT | 20 -5 | 0 0 | 0 0 | < 5> < 2> | 0.19 0.21 | 0.9 0.9 | 0.9 0.9 | 0.23 0.26 |
| 18 | 0.25 | 0.25 | RR-3- 3 | TOP BOT | 20 20 | 0 0 | 0 0 | < 5> < 5> | 0.16 0.17 | 0.9 0.9 | 0.9 0.9 | 0.20 0.21 |

Nota: Si el índice de sobre-esfuerzo (IS) es menor o igual a 1.0, la resistencia efectiva del elemento a flexión es adecuada.
COL ID corresponde a la ubicación de la columna en el modelo estructural.



| | | | | | | | |
|------|--|----|------|-------|----------|--|-----|
| Obra | ESTUDIO DE VULNERABILIDAD | Nº | 2666 | Fecha | 01/01/31 | | 034 |
| | I.S. FLEXO-COMPRESIÓN EN COLUMNAS ESTRUCTURA ACTUAL | | | | | | |

N +17.20

| COL ID | COLUMN MAJOR X (m) | SIZE MINOR (m) | STR PT | PU (T) | MMAJ (T-m) | MMIN (T-m) | COMBO | RATIO | sc | se | IS | |
|-----------|--------------------------|----------------------|-----------|------------|---------------|---------------|--------|--------------|--------------|------------|------------|--------------|
| 9 | 0.25 | 0.25 | RR-3- 3 | TOP BOT | 35 16 | 1 9 | 0 1 | < 9> < 1> | 0.48 1.63 | 0.9 0.9 | 0.9 0.9 | 0.59 2.01 |
| 14 | 0.25 | 0.25 | RR-3- 3 | TOP BOT | 36 15 | 1 9 | 1 2 | < 9> < 1> | 0.34 1.29 | 0.9 0.9 | 0.9 0.9 | 0.42 1.59 |
| 15 | 0.25 | 0.25 | RR-3- 3 | TOP BOT | 41 -18 | 1 0 | 1 2 | < 5> < 2> | 0.34 0.47 | 0.9 0.9 | 0.9 0.9 | 0.42 0.58 |
| 16 | 0.25 | 0.25 | RR-3- 3 | TOP BOT | 34 -15 | 0 1 | 0 1 | < 5> < 2> | 0.27 0.41 | 0.9 0.9 | 0.9 0.9 | 0.33 0.51 |
| 17 | 0.25 | 0.25 | RR-3- 3 | TOP BOT | 28 28 | 0 1 | 0 0 | < 5> < 5> | 0.21 0.25 | 0.9 0.9 | 0.9 0.9 | 0.26 0.31 |
| 18 | 0.25 | 0.25 | RR-3- 3 | TOP BOT | 28 28 | 0 0 | 1 1 | < 5> < 5> | 0.24 0.29 | 0.9 0.9 | 0.9 0.9 | 0.30 0.36 |

Nota: Si el índice de sobre-esfuerzo (IS) es menor o igual a 1.0, la resistencia efectiva del elemento a flexión es adecuada.
COL ID corresponde a la ubicación de la columna en el modelo estructural.

PCA

| | | | | |
|--------------|--|--------------------------|--------------------------|------------|
| Obra Item | ESTUDIO DE VULNERABILIDAD TEATRO LA MEDIA TORTA | Nº 2666 | Fecha 01/01/31 | 035 |
| | I.S. FLEXO-COMPRESIÓN EN COLUMNAS ESTRUCTURA ACTUAL | Calculó A.P.B. | Revisó J.E.B. | |

N +14.40

| COL ID | COLUMN MAJOR X (m) | SIZE MINOR (m) | STR PT | PU (T) | MMAJ (T-m) | MMIN (T-m) | COMBO | RATIO | øc | øe | IS |
|-----------|--------------------------|----------------------|-----------|-----------|---------------|---------------|-------|-------|-----|-----|------|
| 9 | 0.25 | 0.25 | | | | | | | | | |
| | RR-3- 3 | | | | | | | | | | |
| | | | TOP | 28 | 10 | 1 | < 1> | 1.56 | 0.9 | 0.9 | 1.93 |
| | | | BOT | 53 | 2 | 1 | < 9> | 0.67 | 0.9 | 0.9 | 0.83 |
| 14 | 0.25 | 0.25 | | | | | | | | | |
| | RR-3- 3 | | | | | | | | | | |
| | | | TOP | 41 | 12 | 3 | < 1> | 1.41 | 0.9 | 0.9 | 1.74 |
| | | | BOT | 65 | 3 | 1 | < 9> | 0.57 | 0.9 | 0.9 | 0.70 |
| 15 | 0.25 | 0.25 | | | | | | | | | |
| | RR-3- 3 | | | | | | | | | | |
| | | | TOP | 61 | 1 | 4 | < 5> | 0.62 | 0.9 | 0.9 | 0.77 |
| | | | BOT | 61 | 1 | 3 | < 5> | 0.61 | 0.9 | 0.9 | 0.75 |
| 16 | 0.25 | 0.25 | | | | | | | | | |
| | RR-3- 3 | | | | | | | | | | |
| | | | TOP | -32 | 1 | 2 | < 2> | 0.55 | 0.9 | 0.9 | 0.68 |
| | | | BOT | -32 | 0 | 2 | < 2> | 0.57 | 0.9 | 0.9 | 0.70 |
| 17 | 0.25 | 0.25 | | | | | | | | | |
| | RR-3- 3 | | | | | | | | | | |
| | | | TOP | -14 | 1 | 0 | < 2> | 0.28 | 0.9 | 0.9 | 0.35 |
| | | | BOT | -9 | 1 | 1 | < 6> | 0.31 | 0.9 | 0.9 | 0.38 |
| 18 | 0.25 | 0.25 | | | | | | | | | |
| | RR-3- 3 | | | | | | | | | | |
| | | | TOP | 40 | 1 | 1 | < 5> | 0.34 | 0.9 | 0.9 | 0.42 |
| | | | BOT | 34 | 1 | 1 | < 9> | 0.34 | 0.9 | 0.9 | 0.42 |

Nota: Si el índice de sobre-esfuerzo (IS) es menor o igual a 1.0, la resistencia efectiva del elemento a flexión es adecuada.
COL ID corresponde a la ubicación de la columna en el modelo estructural.



| | | | | | | |
|------|--|---------|---------------|--------|-----------------|--|
| Obra | ESTUDIO DE VULNERABILIDAD TEATRO LA MEDIA TORTA | Nº | 2666 | Fecha | 01/01/31 | |
| Item | I.S. FLEXO-COMPRESIÓN EN COLUMNAS ESTRUCTURA ACTUAL | Calculó | A.P.B. | Revisó | J.E.B. | |

036

N +11.60

| COL ID | COLUMN MAJOR X (m) | SIZE MINOR (m) | STR PT | PU (T) | MMAJ (T-m) | MMIN (T-m) | COMBO | RATIO | øc | øe | IS |
|-----------|--------------------------|----------------------|------------|-----------|---------------|---------------|--------------|-----------|---------|---------|-----------|
| 9 | 0.25 0 0.25 RR-3- 3 | | TOP BOT | 59 59 | 1 1 | 3 3 | < 9> < 9> | 0.76 0.71 | 0.9 0.9 | 0.9 0.9 | 0.94 0.88 |
| 14 | 0.25 0 0.25 RR-3- 3 | | TOP BOT | 57 67 | 2 1 | 2 2 | < 5> < 9> | 0.52 0.48 | 0.9 0.9 | 0.9 0.9 | 0.64 0.59 |
| 15 | 0.25 0 0.25 RR-3- 3 | | TOP BOT | 64 64 | 3 3 | 3 3 | < 5> < 5> | 0.66 0.62 | 0.9 0.9 | 0.9 0.9 | 0.81 0.77 |
| 16 | 0.25 0 0.25 RR-3- 3 | | TOP BOT | -33 -33 | 3 3 | 2 2 | < 2> < 2> | 0.66 0.62 | 0.9 0.9 | 0.9 0.9 | 0.81 0.77 |
| 17 | 0.25 0 0.25 RR-3- 3 | | TOP BOT | -17 -17 | 2 2 | 4 4 | < 2> < 2> | 0.61 0.6 | 0.9 0.9 | 0.9 0.9 | 0.75 0.74 |
| 18 | 0.25 0 0.25 RR-3- 3 | | TOP BOT | 51 51 | 2 2 | 3 3 | < 5> < 5> | 0.54 0.55 | 0.9 0.9 | 0.9 0.9 | 0.67 0.68 |
| 19 | 0.25 0 0.25 RR-2- 2 | | TOP BOT | 5 5 | 3 2 | 2 2 | < 6> < 6> | 1.13 0.95 | 0.9 0.9 | 0.9 0.9 | 1.40 1.17 |
| 22 | 0.25 0 0.25 RR-2- 2 | | TOP BOT | 1 4 | 2 2 | 2 2 | <10> < 6> | 0.76 0.67 | 0.9 0.9 | 0.9 0.9 | 0.94 0.83 |
| 23 | 0.25 0 0.25 RR-2- 2 | | TOP BOT | 5 5 | 0 0 | 3 3 | < 9> < 9> | 0.74 0.64 | 0.9 0.9 | 0.9 0.9 | 0.91 0.79 |
| 24 | 0.25 0 0.25 RR-2- 2 | | TOP BOT | 2 2 | 0 0 | 3 2 | <14> <14> | 0.54 0.46 | 0.9 0.9 | 0.9 0.9 | 0.67 0.57 |
| 25 | 0.25 0 0.25 RR-2- 2 | | TOP BOT | 0 0 | 0 0 | 2 2 | <14> <14> | 0.46 0.39 | 0.9 0.9 | 0.9 0.9 | 0.57 0.48 |
| 28 | 0.25 0 0.25 RR-2- 2 | | TOP BOT | 0 0 | 0 0 | 2 2 | <14> <14> | 0.42 0.36 | 0.9 0.9 | 0.9 0.9 | 0.52 0.44 |

Nota: Si el índice de sobre-esfuerzo (IS) es menor o igual a 1.0, la resistencia efectiva del elemento a flexión es adecuada.
COL ID corresponde a la ubicación de la columna en el modelo estructural.



| | | | | | |
|------|--|-----------|----------------|--------|--------|
| Obra | ESTUDIO DE VULNERABILIDAD | Nº : 2666 | Fecha 01/01/31 | | |
| | TEATRO LA MEDIA TORTA | | | | |
| Item | I.S. FLEXO-COMPRESIÓN EN COLUMNAS ESTRUCTURA ACTUAL | Calculó | A.P.B. | Revisó | J.E.B. |

037

N +8.80

| COL ID | COLUMN MAJOR X (m) | SIZE MINOR (m) | STR PT | PU | MMAJ (T-m) | MMIN (T-m) | COMBO | RATIO | sc | se | IS |
|--------|------------------------|-------------------|------------|------------|------------|------------|--------------|--------------|------------|------------|--------------|
| 9 | 0.25 0 0.25 RR-3- 3 | | TOP BOT | 67 67 | 2 3 | 4 5 | < 9> < 9> | 0.95 1.15 | 0.9 0.9 | 0.9 0.9 | 1.17 1.42 |
| 14 | 0.25 0 0.25 RR-3- 3 | | TOP BOT | 73 62 | 1 4 | 3 3 | < 9> < 5> | 0.62 0.78 | 0.9 0.9 | 0.9 0.9 | 0.77 0.96 |
| 15 | 0.25 0 0.25 RR-3- 3 | | TOP BOT | 70 70 | 3 4 | 3 3 | < 5> < 5> | 0.72 0.75 | 0.9 0.9 | 0.9 0.9 | 0.89 0.93 |
| 16 | 0.25 0 0.25 RR-3- 3 | | TOP BOT | -23 -23 | 3 4 | 3 3 | < 2> < 2> | 0.71 0.72 | 0.9 0.9 | 0.9 0.9 | 0.88 0.89 |
| 17 | 0.25 0 0.25 RR-3- 3 | | TOP BOT | -17 -17 | 3 3 | 3 4 | < 2> < 2> | 0.66 0.68 | 0.9 0.9 | 0.9 0.9 | 0.81 0.84 |
| 18 | 0.25 0 0.25 RR-3- 3 | | TOP BOT | 62 62 | 3 3 | 3 3 | < 5> < 5> | 0.66 0.68 | 0.9 0.9 | 0.9 0.9 | 0.81 0.84 |
| 19 | 0.25 0 0.25 RR-2- 2 | | TOP BOT | 8 8 | 2 2 | 3 3 | < 6> < 6> | 1.1 1.18 | 0.9 0.9 | 0.9 0.9 | 1.36 1.46 |
| 22 | 0.25 0 0.25 RR-2- 2 | | TOP BOT | 3 1 | 1 3 | 2 2 | <14> <10> | 0.74 0.81 | 0.9 0.9 | 0.9 0.9 | 0.91 1.00 |
| 23 | 0.25 0 0.25 RR-2- 2 | | TOP BOT | 10 10 | 0 0 | 4 4 | < 9> < 9> | 0.83 0.84 | 0.9 0.9 | 0.9 0.9 | 1.02 1.04 |
| 24 | 0.25 0 0.25 RR-2- 2 | | TOP BOT | 8 8 | 0 0 | 3 4 | < 6> < 6> | 0.58 0.59 | 0.9 0.9 | 0.9 0.9 | 0.72 0.73 |
| 25 | 0.25 0 0.25 RR-2- 2 | | TOP BOT | -1 0 | 1 1 | 2 2 | <14> < 6> | 0.54 0.55 | 0.9 0.9 | 0.9 0.9 | 0.67 0.68 |
| 28 | 0.25 0 0.25 RR-2- 2 | | TOP BOT | -1 0 | 1 1 | 2 2 | <14> < 6> | 0.5 0.53 | 0.9 0.9 | 0.9 0.9 | 0.62 0.65 |

Nota: Si el índice de sobre-esfuerzo (IS) es menor o igual a 1.0, la resistencia efectiva del elemento a flexión es adecuada.
COL ID corresponde a la ubicación de la columna en el modelo estructural.

| | | | | | | | | | | |
|--|------|--|--|--|--|--|---------|----------------|--|--|
| | Obra | ESTUDIO DE VULNERABILIDAD TEATRO LA MEDIA TORTA | | | | | Nº 2666 | Fecha 01/01/31 | | |
| | | Item | I.S. FLEXO-COMPRESIÓN EN COLUMNAS ESTRUCTURA ACTUAL | | | | | | | |

038

N +6.00

| COL ID | COLUMN MAJOR X (m) | SIZE MINOR (m) | STR PT | PU (T) | MMAJ (T-m) | MMIN (T-m) | COMBO | RATIO | pc | pe | IS |
|--------|-----------------------|-------------------|------------|----------|------------|------------|--------------|--------------|------------|------------|--------------|
| 1 | 0.25 0.25 RR-2- 2 | | TOP BOT | 8 9 | 2 / 1 | 2 3 | <5> <9> | 0.95 0.94 | 0.9 0.9 | 0.9 0.9 | 1.17 1.16 |
| 2 | 0.25 0.25 RR-2- 2 | | TOP BOT | 10 5 | 3 2 | 1 1 | <2> <10> | 0.72 0.68 | 0.9 0.9 | 0.9 0.9 | 0.89 0.84 |
| 3 | 0.25 0.25 RR-2- 2 | | TOP BOT | 12 6 | 2 1 | 1 2 | <2> <14> | 0.63 0.62 | 0.9 0.9 | 0.9 0.9 | 0.78 0.77 |
| 4 | 0.25 0.25 RR-2- 2 | | TOP BOT | 12 6 | 2 1 | 1 2 | <2> <14> | 0.6 0.59 | 0.9 0.9 | 0.9 0.9 | 0.74 0.73 |
| 5 | 0.25 0.25 RR-2- 2 | | TOP BOT | 10 10 | 3 3 | 1 1 | <2> <2> | 0.73 0.68 | 0.9 0.9 | 0.9 0.9 | 0.90 0.84 |
| 6 | 0.25 0.25 RR-2- 2 | | TOP BOT | 5 5 | 2 2 | 2 1 | <2> <2> | 0.71 0.69 | 0.9 0.9 | 0.9 0.9 | 0.88 0.85 |
| 7 | 0.25 0.25 RR-2- 2 | | TOP BOT | 3 1 | 2 1 | 4 4 | <6> <14> | 1.05 0.97 | 0.9 0.9 | 0.9 0.9 | 1.30 1.20 |
| 8 | 0.25 0.25 RR-2- 2 | | TOP BOT | 4 4 | 2 1 | 3 3 | <6> <6> | 0.92 0.81 | 0.9 0.9 | 0.9 0.9 | 1.14 1.00 |
| 9 | 0.25 0.25 RR-3- 3 | | TOP BOT | 75 75 | 2 1 | 4 4 | <9> <9> | 0.97 0.95 | 0.9 0.9 | 0.9 0.9 | 1.20 1.17 |
| 10 | 0.25 0.25 RR-2- 2 | | TOP BOT | 19 19 | 3 3 | 1 1 | <2> <2> | 1 1.01 | 0.9 0.9 | 0.9 0.9 | 1.23 1.25 |
| 11 | 0.25 0.25 RR-2- 2 | | TOP BOT | 8 8 | 3 3 | 1 1 | <10> <10> | 0.61 0.66 | 0.9 0.9 | 0.9 0.9 | 0.75 0.81 |
| 12 | 0.25 0.25 RR-2- 2 | | TOP BOT | 8 8 | 3 3 | 0 1 | <10> <10> | 0.6 0.65 | 0.9 0.9 | 0.9 0.9 | 0.74 0.80 |
| 13 | 0.25 0.25 RR-2- 2 | | TOP BOT | 8 8 | 3 3 | 1 1 | <10> <10> | 0.7 0.72 | 0.9 0.9 | 0.9 0.9 | 0.86 0.89 |



| | | | | | |
|------|--|---------|--------|--------|----------|
| Obra | ESTUDIO DE VULNERABILIDAD TEATRO LA MEDIA TORTA | Nº | 2666 | Fecha | 01/01/31 |
| Item | I.S. FLEXO-COMPRESIÓN EN COLUMNAS ESTRUCTURA ACTUAL | Calculó | A.P.B. | Revisó | J.E.B. |

039

N +6.00

| COL. ID | COLUMN MAJOR X (m) | SIZE MINOR (m) | STR PT | PU (T) | MMAJ (T-m) | MMIN (T-m) | COMBO | RATIO | øc | øe | IS |
|------------|--------------------------|----------------------|------------|-----------|---------------|---------------|--------------|--------------|------------|------------|--------------|
| 14 | 0.25 0 0.25 RR-3- 3 | | TOP BOT | 81 81 | 2 1 | 3 3 | <9> <9> | 0.91 0.9 | 0.9 0.9 | 0.9 0.9 | 1.12 1.11 |
| 15 | 0.25 0 0.25 RR-3- 3 | | TOP BOT | 76 76 | 2 2 | 3 3 | <5> <5> | 0.6 0.61 | 0.9 0.9 | 0.9 0.9 | 0.74 0.75 |
| 16 | 0.25 0 0.25 RR-3- 3 | | TOP BOT | 56 56 | 1 1 | 2 3 | <5> <5> | 0.49 0.52 | 0.9 0.9 | 0.9 0.9 | 0.60 0.64 |
| 17 | 0.25 0 0.25 RR-3- 3 | | TOP BOT | 55 55 | 2 1 | 3 4 | <9> <9> | 0.57 0.58 | 0.9 0.9 | 0.9 0.9 | 0.70 0.72 |
| 18 | 0.25 0 0.25 RR-3- 3 | | TOP BOT | 71 71 | 2 3 | 1 1 | <5> <5> | 0.53 0.55 | 0.9 0.9 | 0.9 0.9 | 0.65 0.68 |
| 19 | 0.25 0 0.25 RR-2- 2 | | TOP BOT | 22 22 | 1 1 | 3 4 | <6> <6> | 1.07 1.13 | 0.9 0.9 | 0.9 0.9 | 1.32 1.40 |
| 20 | 0.25 0 0.25 RR-2- 2 | | TOP BOT | 6 6 | 3 3 | 1 1 | <10> <10> | 0.7 0.69 | 0.9 0.9 | 0.9 0.9 | 0.86 0.85 |
| 21 | 0.25 0 0.25 RR-2- 2 | | TOP BOT | 6 6 | 3 3 | 1 1 | <10> <10> | 0.68 0.68 | 0.9 0.9 | 0.9 0.9 | 0.84 0.84 |
| 22 | 0.25 0 0.25 RR-2- 2 | | TOP BOT | 18 18 | 3 3 | 2 2 | <2> <2> | 0.7 0.76 | 0.9 0.9 | 0.9 0.9 | 0.86 0.94 |
| 23 | 0.25 0 0.25 RR-2- 2 | | TOP BOT | 11 11 | 0 1 | 3 3 | <2> <6> | 0.68 0.79 | 0.9 0.9 | 0.9 0.9 | 0.84 0.98 |
| 24 | 0.25 0 0.25 RR-2- 2 | | TOP BOT | 12 12 | 0 1 | 3 3 | <2> <2> | 0.46 0.53 | 0.9 0.9 | 0.9 0.9 | 0.57 0.65 |
| 25 | 0.25 0 0.25 RR-2- 2 | | TOP BOT | 10 10 | 3 3 | 2 3 | <2> <2> | 0.69 0.75 | 0.9 0.9 | 0.9 0.9 | 0.85 0.93 |
| 26 | 0.25 0 0.25 RR-2- 2 | | TOP BOT | 17 17 | 3 3 | 1 1 | <2> <2> | 0.94 0.93 | 0.9 0.9 | 0.9 0.9 | 1.16 1.15 |



| | | | | | |
|------|--|-------------------|-------------------|--|-----|
| Obra | ESTUDIO DE VULNERABILIDAD TEATRO LA MEDIA TORTA | Nº 2666 | Fecha 01/01/31 | | |
| Item | I.S. FLEXO-COMPRESIÓN EN COLUMNAS ESTRUCTURA ACTUAL | Calculó A.P.B. | Revisó J.E.B. | | 040 |

N +6.00

| COL ID | COLUMN MAJOR X (m) | SIZE MINOR (m) | STR PT | PU (t) | MMAJ (T-m) | MMIN (T-m) | COMBO | RATIO | øc | øe | IS | |
|-----------|--------------------------|----------------------|-----------|-----------|---------------|---------------|-------|-------|------|-----|-----|------|
| 27 | 0.25 | 0.25 | RR-2- 2 | TOP | 8 | 3 | 0 | <10> | 0.68 | 0.9 | 0.9 | 0.84 |
| | | | | BOT | 8 | 3 | 0 | <10> | 0.68 | 0.9 | 0.9 | 0.84 |
| 28 | 0.25 | 0.25 | RR-2- 2 | TOP | 10 | 3 | 2 | < 2 > | 0.9 | 0.9 | 0.9 | 1.11 |
| | | | | BOT | 10 | 3 | 3 | < 2 > | 0.98 | 0.9 | 0.9 | 1.21 |

Nota: Si el índice de sobre-esfuerzo (IS) es menor o igual a 1.0, la resistencia efectiva del elemento a flexión es adecuada.
COL ID corresponde a la ubicación de la columna en el modelo estructural.



| | | | | | |
|------|--|---------|---------------|--------|-----------------|
| Obra | ESTUDIO DE VULNERABILIDAD TEATRO LA MEDIA TORTA | Nº | 2666 | Fecha | 01/01/31 |
| Item | I.S. FLEXO-COMPRESIÓN EN COLUMNAS ESTRUCTURA ACTUAL | Calculó | A.P.B. | Revisó | J.E.B. |

041

N +3.20

| COL ID | COLUMN MAJOR X (m) | SIZE MINOR (m) | STR PT | PU (t) | MMAJ (T-m) | MMIN (T-m) | COMBO | RATIO | sc | se | IS |
|-----------|--------------------------|----------------------|-----------|-----------|---------------|---------------|-------|-------|-----|-----|------|
| 9 | 0.25 | 0.25 | | | | | < 9> | 0.06 | 0.9 | 0.9 | 0.07 |
| | RR-3- 3 | | | | | | < 9> | 0.06 | 0.9 | 0.9 | 0.07 |
| 10 | 0.25 | 0.25 | | | | | < 6> | 0.3 | 0.9 | 0.9 | 0.37 |
| | RR-2- 2 | | | | | | < 6> | 0.15 | 0.9 | 0.9 | 0.19 |
| 11 | 0.25 | 0.25 | | | | | < 6> | 0.22 | 0.9 | 0.9 | 0.27 |
| | RR-2- 2 | | | | | | < 6> | 0.1 | 0.9 | 0.9 | 0.12 |
| 12 | 0.25 | 0.25 | | | | | < 6> | 0.22 | 0.9 | 0.9 | 0.27 |
| | RR-2- 2 | | | | | | < 6> | 0.09 | 0.9 | 0.9 | 0.11 |
| 13 | 0.25 | 0.25 | | | | | < 6> | 0.23 | 0.9 | 0.9 | 0.28 |
| | RR-2- 2 | | | | | | < 6> | 0.1 | 0.9 | 0.9 | 0.12 |
| 14 | 0.25 | 0.25 | | | | | < 9> | 0.06 | 0.9 | 0.9 | 0.07 |
| | RR-3- 3 | | | | | | < 9> | 0.06 | 0.9 | 0.9 | 0.07 |
| 15 | 0.25 | 0.25 | | | | | < 5> | 0.5 | 0.9 | 0.9 | 0.62 |
| | RR-3- 3 | | | | | | < 5> | 0.5 | 0.9 | 0.9 | 0.62 |
| 16 | 0.25 | 0.25 | | | | | < 5> | 0.39 | 0.9 | 0.9 | 0.48 |
| | RR-3- 3 | | | | | | < 5> | 0.39 | 0.9 | 0.9 | 0.48 |
| 17 | 0.25 | 0.25 | | | | | < 5> | 0.03 | 0.9 | 0.9 | 0.04 |
| | RR-3- 3 | | | | | | < 5> | 0.03 | 0.9 | 0.9 | 0.04 |
| 18 | 0.25 | 0.25 | | | | | < 5> | 0.04 | 0.9 | 0.9 | 0.05 |
| | RR-3- 3 | | | | | | < 5> | 0.04 | 0.9 | 0.9 | 0.05 |
| 19 | 0.25 | 0.25 | | | | | < 1> | 0.71 | 0.9 | 0.9 | 0.88 |
| | RR-2- 2 | | | | | | < 1> | 0.71 | 0.9 | 0.9 | 0.88 |
| 20 | 0.25 | 0.25 | | | | | < 1> | 0.43 | 0.9 | 0.9 | 0.53 |
| | RR-2- 2 | | | | | | < 1> | 0.43 | 0.9 | 0.9 | 0.53 |
| 21 | 0.25 | 0.25 | | | | | < 1> | 0.43 | 0.9 | 0.9 | 0.53 |
| | RR-2- 2 | | | | | | < 1> | 0.43 | 0.9 | 0.9 | 0.53 |



| | | | | |
|------|--|-----------------------|--------------------------|--|
| Obra | ESTUDIO DE VULNERABILIDAD TEATRO LA MEDIA TORTA | Nº 2666 | Fecha 01/01/31 | |
| Item | I.S. FLEXO-COMPRESIÓN EN COLUMNAS ESTRUCTURA ACTUAL | Calculó A.P.B. | Revisó J.E.B. | |

042

N +3.20

| COL ID | COLUMN MAJOR X {m} | SIZE MINOR {m} | STR PT | PU (T) | MMAJ (T-m) | MMIN (T-m) | COMBO | RATIO | øc | øe | IS |
|-----------|--------------------------|----------------------|------------|-----------|---------------|---------------|--------------|--------------|------------|------------|--------------|
| 22 | 0.25 0 0.25 RR-2- 2 | | TOP BOT | 52 52 | 1 1 | 1 1 | < 1> < 1> | 0.47 0.47 | 0.9 0.9 | 0.9 0.9 | 0.58 0.58 |
| 23 | 0.25 0 0.25 RR-2- 2 | | TOP BOT | 0 3 | 0 0 | 0 0 | <14> < 9> | 0.12 0.07 | 0.9 0.9 | 0.9 0.9 | 0.15 0.09 |
| 24 | 0.25 0 0.25 RR-2- 2 | | TOP BOT | 0 3 | 0 0 | 0 0 | <14> < 9> | 0.09 0.04 | 0.9 0.9 | 0.9 0.9 | 0.11 0.05 |
| 25 | 0.25 0 0.25 RR-2- 2 | | TOP BOT | 31 31 | 1 0 | 1 0 | < 9> < 1> | 0.34 0.26 | 0.9 0.9 | 0.9 0.9 | 0.42 0.32 |
| 26 | 0.25 0 0.25 RR-2- 2 | | TOP BOT | 53 53 | 1 1 | 1 1 | < 1> < 1> | 0.68 0.68 | 0.9 0.9 | 0.9 0.9 | 0.84 0.84 |
| 27 | 0.25 0 0.25 RR-2- 2 | | TOP BOT | 53 53 | 1 1 | 1 1 | < 1> < 1> | 0.48 0.48 | 0.9 0.9 | 0.9 0.9 | 0.59 0.59 |
| 28 | 0.25 0 0.25 RR-2- 2 | | TOP BOT | 30 31 | 1 0 | 1 0 | < 9> < 1> | 0.47 0.36 | 0.9 0.9 | 0.9 0.9 | 0.58 0.44 |

Nota: Si el índice de sobre-esfuerzo (IS) es menor o igual a 1.0, la resistencia efectiva del elemento a flexión es adecuada.
COL ID corresponde a la ubicación de la columna en el modelo estructural.

PCA

$f_c = 210$ kg/cm²
 $f_y = 2400$ kg/cm²
 $\alpha_c = 0.9$
 $\alpha_e = 0.9$

| | | | | | |
|------|--|---------|--------|--------|----------|
| Obra | ESTUDIO DE VULNERABILIDAD TEATRO LA MEDIA TORTA | Nº | 2666 | Fecha | 01/01/31 |
| Item | I.S. CORTANTE EN COLUMNAS ESTRUCTURA ACTUAL | Calculó | A.P.B. | Revisó | J.E.B. |

| NIVEL | COL ID | Major dim(m) | Minor dim(m) | Pu(T) | Vult(MJ/T) | COMBO | a/Vc (f) | Ae(MJ/cm ²) | As MIN(cm ²) | Sep (cm) | a/Vefec MAJ | a/Vefec MIN | IS MAX | IS MIN |
|----------|--------|--------------|--------------|-------|------------|-------|----------|-------------------------|--------------------------|----------|-------------|-------------|--------|--------|
| N +24.90 | 9 | 0.25 | 0.25 | 3 | 6 < 0> | 6 | < 0> 4.2 | 1.42 | 1.42 | 10 | 8.3 | 8.3 | 0.72 | 0.72 |
| | 14 | 0.25 | 0.25 | 3 | 5 < 0> | 6 | < 0> 4.2 | 1.42 | 1.42 | 10 | 8.3 | 8.3 | 0.60 | 0.72 |
| | 15 | 0.25 | 0.25 | 3 | 6 < 0> | 6 | < 0> 4.2 | 1.42 | 1.42 | 10 | 8.3 | 8.3 | 0.72 | 0.72 |
| | 16 | 0.25 | 0.25 | 3 | 6 < 0> | 6 | < 0> 4.2 | 1.42 | 1.42 | 10 | 8.3 | 8.3 | 0.72 | 0.72 |
| | 17 | 0.25 | 0.25 | 3 | 6 < 0> | 6 | < 0> 4.2 | 1.42 | 1.42 | 10 | 8.3 | 8.3 | 0.72 | 0.72 |
| | 18 | 0.25 | 0.25 | 3 | 6 < 0> | 6 | < 0> 4.2 | 1.42 | 1.42 | 10 | 8.3 | 8.3 | 0.72 | 0.72 |
| | 9 | 0.25 | 0.25 | 6 | 4 < 0> | 4 | < 0> 4.4 | 1.42 | 1.42 | 10 | 8.5 | 8.5 | 0.47 | 0.47 |
| | 14 | 0.25 | 0.25 | 7 | 4 < 0> | 4 | < 0> 4.4 | 1.42 | 1.42 | 10 | 8.5 | 8.5 | 0.47 | 0.47 |
| N +22.80 | 15 | 0.25 | 0.25 | 5 | 4 < 0> | 4 | < 0> 4.3 | 1.42 | 1.42 | 10 | 8.4 | 8.4 | 0.47 | 0.47 |
| | 16 | 0.25 | 0.25 | 5 | 4 < 0> | 4 | < 0> 4.3 | 1.42 | 1.42 | 10 | 8.4 | 8.4 | 0.47 | 0.47 |
| | 17 | 0.25 | 0.25 | 6 | 4 < 0> | 4 | < 0> 4.4 | 1.42 | 1.42 | 10 | 8.5 | 8.5 | 0.47 | 0.47 |
| | 18 | 0.25 | 0.25 | 7 | 4 < 0> | 4 | < 0> 4.4 | 1.42 | 1.42 | 10 | 8.5 | 8.5 | 0.47 | 0.47 |
| | 9 | 0.25 | 0.25 | 9 | 4 < 0> | 5 | < 0> 4.5 | 1.42 | 1.42 | 10 | 8.6 | 8.6 | 0.47 | 0.58 |
| | 14 | 0.25 | 0.25 | 10 | 4 < 0> | 4 | < 0> 4.5 | 1.42 | 1.42 | 10 | 8.6 | 8.6 | 0.46 | 0.46 |
| | 15 | 0.25 | 0.25 | 8 | 4 < 0> | 4 | < 0> 4.5 | 1.42 | 1.42 | 10 | 8.5 | 8.5 | 0.47 | 0.47 |
| | 16 | 0.25 | 0.25 | 8 | 4 < 0> | 4 | < 0> 4.5 | 1.42 | 1.42 | 10 | 8.5 | 8.5 | 0.47 | 0.47 |
| N +20.00 | 17 | 0.25 | 0.25 | 10 | 4 < 0> | 5 | < 0> 4.5 | 1.42 | 1.42 | 10 | 8.5 | 8.5 | 0.47 | 0.47 |
| | 18 | 0.25 | 0.25 | 10 | 4 < 0> | 5 | < 0> 4.5 | 1.42 | 1.42 | 10 | 8.6 | 8.6 | 0.46 | 0.58 |
| | 9 | 0.25 | 0.25 | 10 | 4 < 0> | 4 | < 0> 4.4 | 1.42 | 1.42 | 10 | 8.5 | 8.5 | 0.47 | 0.47 |
| | 14 | 0.25 | 0.25 | 10 | 4 < 0> | 4 | < 0> 4.4 | 1.42 | 1.42 | 10 | 8.5 | 8.5 | 0.47 | 0.47 |
| | 15 | 0.25 | 0.25 | 8 | 4 < 0> | 4 | < 0> 4.5 | 1.42 | 1.42 | 10 | 8.6 | 8.6 | 0.46 | 0.46 |
| | 16 | 0.25 | 0.25 | 8 | 4 < 0> | 4 | < 0> 4.5 | 1.42 | 1.42 | 10 | 8.6 | 8.6 | 0.46 | 0.46 |
| | 17 | 0.25 | 0.25 | 10 | 4 < 0> | 5 | < 0> 4.5 | 1.42 | 1.42 | 10 | 8.6 | 8.6 | 0.46 | 0.58 |
| | 18 | 0.25 | 0.25 | 10 | 4 < 0> | 5 | < 0> 4.5 | 1.42 | 1.42 | 10 | 8.6 | 8.6 | 0.46 | 0.58 |
| N +17.20 | 9 | 0.25 | 0.25 | 16 | 6 < 0> | 6 | < 0> 4.8 | 1.42 | 1.42 | 10 | 8.8 | 8.8 | 0.68 | 0.68 |
| | 14 | 0.25 | 0.25 | 15 | 6 < 0> | 6 | < 0> 4.8 | 1.42 | 1.42 | 10 | 8.8 | 8.8 | 0.68 | 0.68 |
| | 15 | 0.25 | 0.25 | 15 | 5 < 0> | 5 | < 0> 4.8 | 1.42 | 1.42 | 10 | 8.8 | 8.8 | 0.57 | 0.57 |
| | 16 | 0.25 | 0.25 | 12 | 5 < 0> | 5 | < 0> 4.6 | 1.42 | 1.42 | 10 | 8.7 | 8.7 | 0.58 | 0.58 |
| | 17 | 0.25 | 0.25 | 13 | 5 < 0> | 5 | < 0> 4.7 | 1.42 | 1.42 | 10 | 8.7 | 8.7 | 0.57 | 0.57 |
| | 18 | 0.25 | 0.25 | 13 | 5 < 0> | 6 | < 0> 4.7 | 1.42 | 1.42 | 10 | 8.7 | 8.7 | 0.57 | 0.69 |
| | 9 | 0.25 | 0.25 | 28 | 7 < 0> | 8 | < 0> 5.4 | 1.42 | 1.42 | 10 | 9.3 | 9.3 | 0.75 | 0.86 |
| | 14 | 0.25 | 0.25 | 41 | 8 < 0> | 8 | < 0> 6.0 | 1.42 | 1.42 | 10 | 9.8 | 9.8 | 0.82 | 0.82 |
| N +14.40 | 15 | 0.25 | 0.25 | 32 | 6 < 0> | 6 | < 0> 5.6 | 1.42 | 1.42 | 10 | 9.4 | 9.4 | 0.64 | 0.64 |
| | 16 | 0.25 | 0.25 | 2 | 6 < 0> | 6 | < 0> 4.2 | 1.42 | 1.42 | 10 | 8.3 | 8.3 | 0.72 | 0.72 |
| | 17 | 0.25 | 0.25 | 11 | 6 < 0> | 6 | < 0> 4.6 | 1.42 | 1.42 | 10 | 8.6 | 8.6 | 0.69 | 0.69 |
| | 18 | 0.25 | 0.25 | 24 | 6 < 0> | 7 | < 0> 5.2 | 1.42 | 1.42 | 10 | 9.1 | 9.1 | 0.66 | 0.77 |

043

$f_c = 210$ kg/cm²
 $f_y = 2400$ kg/cm²
 $\theta c = 0.9$
 $\theta e = 0.9$

| NIVEL | COL ID | Major dim(m) | Minor dim(m) | Pu (T) | Vu(MAJ/T) | COMBO | Vu(MIN/T) | COMBO | eVc (T) | As(MAJ/cm ²) | As(MIN/cm ²) | Sep (cm) | θVefc MAJ | θVefc MIN | IS MAJ | IS MIN |
|----------|--------|--------------|--------------|--------|-----------|-------|-----------|-------|---------|--------------------------|--------------------------|----------|-----------|-----------|--------|--------|
| N +11.60 | 9 | 0.25 | 0.25 | 29 | 7 | <0> | 7 | <0> | 5.4 | 1.42 | 1.42 | 10 | 9.3 | 9.3 | 0.75 | 0.75 |
| | 14 | 0.25 | 0.25 | 44 | 7 | <0> | 7 | <0> | 6.1 | 1.42 | 1.42 | 10 | 9.9 | 9.9 | 0.71 | 0.71 |
| | 15 | 0.25 | 0.25 | 35 | 7 | <0> | 7 | <0> | 5.7 | 1.42 | 1.42 | 10 | 9.6 | 9.6 | 0.73 | 0.73 |
| | 16 | 0.25 | 0.25 | 4 | 7 | <0> | 7 | <0> | 4.3 | 1.42 | 1.42 | 10 | 8.4 | 8.4 | 0.83 | 0.83 |
| | 17 | 0.25 | 0.25 | 14 | 7 | <0> | 7 | <0> | 4.7 | 1.42 | 1.42 | 10 | 8.8 | 8.8 | 0.80 | 0.80 |
| | 18 | 0.25 | 0.25 | 31 | 7 | <0> | 6 | <14> | 5.5 | 1.42 | 1.42 | 10 | 9.4 | 9.4 | 0.74 | 0.64 |
| | 19 | 0.25 | 0.25 | 10 | 3 | <0> | 4 | <0> | 4.5 | 1.42 | 1.42 | 10 | 8.6 | 8.6 | 0.35 | 0.46 |
| | 22 | 0.25 | 0.25 | 8 | 3 | <0> | 4 | <0> | 4.5 | 1.42 | 1.42 | 10 | 8.5 | 8.5 | 0.35 | 0.47 |
| | 23 | 0.25 | 0.25 | 5 | 4 | <0> | 5 | <0> | 4.3 | 1.42 | 1.42 | 10 | 8.4 | 8.4 | 0.47 | 0.59 |
| | 24 | 0.25 | 0.25 | 6 | 4 | <0> | 5 | <0> | 4.4 | 1.42 | 1.42 | 10 | 8.5 | 8.5 | 0.47 | 0.59 |
| | 25 | 0.25 | 0.25 | 5 | 4 | <0> | 5 | <0> | 4.3 | 1.42 | 1.42 | 10 | 8.4 | 8.4 | 0.47 | 0.59 |
| | 28 | 0.25 | 0.25 | 5 | 4 | <0> | 5 | <0> | 4.3 | 1.42 | 1.42 | 10 | 8.4 | 8.4 | 0.47 | 0.59 |
| | 9 | 0.25 | 0.25 | 36 | 8 | <0> | 9 | <0> | 5.8 | 1.42 | 1.42 | 10 | 9.6 | 9.6 | 0.83 | 0.94 |
| | 14 | 0.25 | 0.25 | 49 | 7 | <0> | 6 | <0> | 6.4 | 1.42 | 1.42 | 10 | 10.1 | 10.1 | 0.69 | 0.60 |
| | 15 | 0.25 | 0.25 | 44 | 7 | <0> | 7 | <0> | 6.1 | 1.42 | 1.42 | 10 | 9.9 | 9.9 | 0.71 | 0.71 |
| | 16 | 0.25 | 0.25 | 17 | 7 | <0> | 7 | <0> | 4.9 | 1.42 | 1.42 | 10 | 8.9 | 8.9 | 0.79 | 0.79 |
| | 17 | 0.25 | 0.25 | 22 | 7 | <0> | 8 | <0> | 5.1 | 1.42 | 1.42 | 10 | 9.1 | 9.1 | 0.77 | 0.88 |
| | 18 | 0.25 | 0.25 | 38 | 7 | <0> | 7 | <0> | 5.9 | 1.42 | 1.42 | 10 | 9.7 | 9.7 | 0.72 | 0.72 |
| | 19 | 0.25 | 0.25 | 16 | 4 | <0> | 4 | <0> | 4.8 | 1.42 | 1.42 | 10 | 8.8 | 8.8 | 0.45 | 0.45 |
| | 22 | 0.25 | 0.25 | 13 | 3 | <10> | 4 | <14> | 4.7 | 1.42 | 1.42 | 10 | 8.7 | 8.7 | 0.34 | 0.46 |
| | 23 | 0.25 | 0.25 | 11 | 4 | <0> | 6 | <0> | 4.6 | 1.42 | 1.42 | 10 | 8.6 | 8.6 | 0.46 | 0.69 |
| | 24 | 0.25 | 0.25 | 12 | 4 | <0> | 5 | <6> | 4.6 | 1.42 | 1.42 | 10 | 8.7 | 8.7 | 0.46 | 0.58 |
| | 25 | 0.25 | 0.25 | 8 | 5 | <0> | 4 | <14> | 4.5 | 1.42 | 1.42 | 10 | 8.5 | 8.5 | 0.59 | 0.47 |
| | 28 | 0.25 | 0.25 | 8 | 5 | <0> | 5 | <0> | 4.5 | 1.42 | 1.42 | 10 | 8.5 | 8.5 | 0.59 | 0.59 |

$f'c = 210$ kg/cm²
 $f_y = 2400$ kg/cm²
 $\phi_c = 0.9$
 $\phi_{eff} = 0.9$

| | | | | | |
|------|--|---------|--------|--------|----------|
| Obra | ESTUDIO DE VULNERABILIDAD TEATRO LA MEDIA TORTA | Nº | 2666 | Fecha | 01/01/31 |
| Item | I.S. CORTANTE EN COLUMNAS ESTRUCTURA ACTUAL | Calculó | A.P.B. | Revisó | J.E.B. |

| NIVEL N +6.00 | col ID | Major dim(m) | Minor dim(m) | Pu (T) | W(MAJ)(T) | COMBO | e/Vc (T) | As(MAJ)(cm ²) | As(MIN)(cm ²) | Sep (cm) | e/Vc MIN | | e/Vc MAJ | | IS MIN | IS MAJ | |
|-------------------------|--------|--------------|--------------|--------|-----------|-------|----------|---------------------------|---------------------------|----------|----------|-----|----------|------|--------|--------|------|
| | | | | | | | | | | | <6> | 4 | <6> | 4.5 | 1.42 | 1.42 | |
| 1 | 1 | 0.25 | 0.25 | 9 | 4 | <10> | 4 | 1.42 | 1.42 | 10 | 8.6 | 8.6 | 0.47 | 0.47 | 0.47 | 0.47 | |
| 2 | 2 | 0.25 | 0.25 | 14 | 4 | <10> | 4 | 1.42 | 1.42 | 10 | 8.8 | 8.8 | 0.46 | 0.46 | 0.46 | 0.46 | |
| 3 | 3 | 0.25 | 0.25 | 17 | 4 | <10> | 3 | <14> | 4.9 | 1.42 | 1.42 | 10 | 8.9 | 8.9 | 0.45 | 0.34 | 0.34 |
| 4 | 4 | 0.25 | 0.25 | 17 | 4 | <10> | 3 | <6> | 4.9 | 1.42 | 1.42 | 10 | 8.9 | 8.9 | 0.45 | 0.34 | 0.34 |
| 5 | 5 | 0.25 | 0.25 | 14 | 4 | <10> | 3 | <6> | 4.7 | 1.42 | 1.42 | 10 | 8.8 | 8.8 | 0.46 | 0.34 | 0.34 |
| 6 | 6 | 0.25 | 0.25 | 9 | 4 | <10> | 3 | <6> | 4.5 | 1.42 | 1.42 | 10 | 8.6 | 8.6 | 0.47 | 0.35 | 0.35 |
| 7 | 7 | 0.25 | 0.25 | 9 | 1 | <0> | 1 | <0> | 4.5 | 1.42 | 1.42 | 10 | 8.6 | 8.6 | 0.47 | 0.35 | 0.35 |
| 8 | 8 | 0.25 | 0.25 | 9 | 3 | <2> | 5 | <14> | 4.5 | 1.42 | 1.42 | 10 | 8.6 | 8.6 | 0.47 | 0.35 | 0.35 |
| 9 | 9 | 0.25 | 0.25 | 50 | 7 | <0> | 7 | <14> | 6.4 | 1.42 | 1.42 | 10 | 10.1 | 10.1 | 0.69 | 0.69 | 0.69 |
| 10 | 10 | 0.25 | 0.25 | 26 | 5 | <0> | 5 | <0> | 5.3 | 1.42 | 1.42 | 10 | 9.2 | 9.2 | 0.54 | 0.54 | 0.54 |
| 11 | 11 | 0.25 | 0.25 | 25 | 5 | <13> | 4 | <14> | 5.2 | 1.42 | 1.42 | 10 | 9.2 | 9.2 | 0.54 | 0.44 | 0.44 |
| 12 | 12 | 0.25 | 0.25 | 25 | 5 | <10> | 5 | <0> | 5.2 | 1.42 | 1.42 | 10 | 9.2 | 9.2 | 0.54 | 0.54 | 0.54 |
| 13 | 13 | 0.25 | 0.25 | 26 | 5 | <13> | 4 | <14> | 5.3 | 1.42 | 1.42 | 10 | 9.2 | 9.2 | 0.54 | 0.43 | 0.43 |
| 14 | 14 | 0.25 | 0.25 | 62 | 8 | <0> | 5 | <14> | 7.0 | 1.42 | 1.42 | 10 | 10.6 | 10.6 | 0.76 | 0.47 | 0.47 |
| 15 | 15 | 0.25 | 0.25 | 54 | 8 | <0> | 8 | <0> | 6.6 | 1.42 | 1.42 | 10 | 10.3 | 10.3 | 0.78 | 0.78 | 0.78 |
| 16 | 16 | 0.25 | 0.25 | 29 | 7 | <0> | 7 | <0> | 5.4 | 1.42 | 1.42 | 10 | 9.3 | 9.3 | 0.75 | 0.75 | 0.75 |
| 17 | 17 | 0.25 | 0.25 | 32 | 7 | <0> | 7 | <0> | 5.6 | 1.42 | 1.42 | 10 | 9.4 | 9.4 | 0.74 | 0.74 | 0.74 |
| 18 | 18 | 0.25 | 0.25 | 48 | 7 | <0> | 8 | <0> | 6.3 | 1.42 | 1.42 | 10 | 10.0 | 10.0 | 0.70 | 0.80 | 0.80 |
| 19 | 19 | 0.25 | 0.25 | 35 | 5 | <0> | 5 | <0> | 5.7 | 1.42 | 1.42 | 10 | 9.6 | 9.6 | 0.52 | 0.52 | 0.52 |
| 20 | 20 | 0.25 | 0.25 | 23 | 5 | <10> | 4 | <17> | 5.2 | 1.42 | 1.42 | 10 | 9.1 | 9.1 | 0.55 | 0.44 | 0.44 |
| 21 | 21 | 0.25 | 0.25 | 23 | 5* | <10> | 4 | <17> | 5.2 | 1.42 | 1.42 | 10 | 9.1 | 9.1 | 0.55 | 0.44 | 0.44 |
| 22 | 22 | 0.25 | 0.25 | 31 | 4 | <10> | 5 | <0> | 5.5 | 1.42 | 1.42 | 10 | 9.4 | 9.4 | 0.43 | 0.53 | 0.53 |
| 23 | 23 | 0.25 | 0.25 | 18 | 5 | <0> | 5 | <0> | 4.9 | 1.42 | 1.42 | 10 | 8.9 | 8.9 | 0.56 | 0.56 | 0.56 |
| 24 | 24 | 0.25 | 0.25 | 19 | 5 | <0> | 5 | <0> | 5.0 | 1.42 | 1.42 | 10 | 9.0 | 9.0 | 0.56 | 0.56 | 0.56 |
| 25 | 25 | 0.25 | 0.25 | 19 | 5 | <0> | 5 | <0> | 5.0 | 1.42 | 1.42 | 10 | 9.0 | 9.0 | 0.56 | 0.56 | 0.56 |
| 26 | 26 | 0.25 | 0.25 | 25 | 5 | <10> | 5 | <0> | 5.2 | 1.42 | 1.42 | 10 | 9.2 | 9.2 | 0.54 | 0.54 | 0.54 |
| 27 | 27 | 0.25 | 0.25 | 25 | 5 | <13> | 5 | <0> | 5.2 | 1.42 | 1.42 | 10 | 9.2 | 9.2 | 0.54 | 0.54 | 0.54 |
| 28 | 28 | 0.25 | 0.25 | 19 | 5 | <0> | 5 | <0> | 5.0 | 1.42 | 1.42 | 10 | 9.0 | 9.0 | 0.56 | 0.56 | 0.56 |



$f_c = 210$ kg/cm²
 $f_y = 2400$ kg/cm²
 $\alpha_c = 0.9$
 $\theta_{c\ell} = 0.9$

| | | | | | | | | | | |
|------|--|--|--|--|--|--|--|---------|----------------|--|
| Obra | ESTUDIO DE VULNERABILIDAD TEATRO LA MEDIA TORTA | | | | | | | Nº 2666 | Fecha 01/01/31 | |
| | Item | I.S. CORTANTE EN COLUMNAS ESTRUCTURA ACTUAL | | | | | | | | |
| | | | | | | | | | | |

| NIVEL N +3.20 | COL ID | Mayor dim(dim) | Menor dim(dim) | Pu (T) | Volumen (m ³) | COMBO | Volumen (m ³) | COMBO | σVc (T) | AsMA (cm ²) | AsMIN (cm ²) | Sep (cm) | σVefec MAJ | σVefec MIN | IS MAJ | IS MIN |
|------------------|--------|----------------|----------------|--------|---------------------------|-------|---------------------------|-------|---------|-------------------------|--------------------------|----------|------------|------------|--------|--------|
| | | | | | | | | | | | | | | | | |
| 9 | 0.25 | 0.25 | 4 | 7 | < 0> | 7 | < 0> | 4.3 | 1.42 | 1.42 | 10 | 8.4 | 8.4 | 0.83 | 0.83 | |
| 10 | 0.25 | 0.25 | 2 | 3 | < 0> | 3 | < 0> | 4.2 | 1.42 | 1.42 | 10 | 8.3 | 8.3 | 0.36 | 0.36 | |
| 11 | 0.25 | 0.25 | 3 | 3 | < 0> | 3 | < 0> | 4.2 | 1.42 | 1.42 | 10 | 8.3 | 8.3 | 0.36 | 0.36 | |
| 12 | 0.25 | 0.25 | 3 | 3 | < 0> | 3 | < 0> | 4.2 | 1.42 | 1.42 | 10 | 8.3 | 8.3 | 0.36 | 0.36 | |
| 13 | 0.25 | 0.25 | 2 | 3 | < 0> | 3 | < 0> | 4.2 | 1.42 | 1.42 | 10 | 8.3 | 8.3 | 0.36 | 0.36 | |
| 14 | 0.25 | 0.25 | 4 | 7 | < 0> | 7 | < 0> | 4.3 | 1.42 | 1.42 | 10 | 8.4 | 8.4 | 0.83 | 0.83 | |
| 15 | 0.25 | 0.25 | 62 | 7 | < 0> | 7 | < 0> | 7.0 | 1.42 | 1.42 | 10 | 10.6 | 10.6 | 0.66 | 0.66 | |
| 16 | 0.25 | 0.25 | 39 | 7 | < 0> | 7 | < 0> | 5.9 | 1.42 | 1.42 | 10 | 9.7 | 9.7 | 0.72 | 0.72 | |
| 17 | 0.25 | 0.25 | 2 | 7 | < 0> | 7 | < 0> | 4.2 | 1.42 | 1.42 | 10 | 8.3 | 8.3 | 0.84 | 0.84 | |
| 18 | 0.25 | 0.25 | 4 | 7 | < 0> | 7 | < 0> | 4.3 | 1.42 | 1.42 | 10 | 8.4 | 8.4 | 0.83 | 0.83 | |
| 19 | 0.25 | 0.25 | 56 | 5 | < 0> | 5 | < 0> | 6.7 | 1.42 | 1.42 | 10 | 10.3 | 10.3 | 0.48 | 0.48 | |
| 20 | 0.25 | 0.25 | 48 | 5 | < 0> | 5 | < 0> | 6.3 | 1.42 | 1.42 | 10 | 10.0 | 10.0 | 0.50 | 0.50 | |
| 21 | 0.25 | 0.25 | 48 | 5 | < 0> | 5 | < 0> | 6.3 | 1.42 | 1.42 | 10 | 10.0 | 10.0 | 0.50 | 0.50 | |
| 22 | 0.25 | 0.25 | 52 | 5 | < 0> | 5 | < 0> | 6.5 | 1.42 | 1.42 | 10 | 10.2 | 10.2 | 0.49 | 0.49 | |
| 23 | 0.25 | 0.25 | 3 | 4 | < 0> | 4 | < 0> | 4.2 | 1.42 | 1.42 | 10 | 8.3 | 8.3 | 0.48 | 0.48 | |
| 24 | 0.25 | 0.25 | 2 | 4 | < 0> | 4 | < 0> | 4.2 | 1.42 | 1.42 | 10 | 8.3 | 8.3 | 0.48 | 0.48 | |
| 25 | 0.25 | 0.25 | 31 | 5 | < 0> | 5 | < 0> | 5.5 | 1.42 | 1.42 | 10 | 9.4 | 9.4 | 0.53 | 0.53 | |
| 26 | 0.25 | 0.25 | 53 | 5 | < 0> | 5 | < 0> | 6.6 | 1.42 | 1.42 | 10 | 10.2 | 10.2 | 0.49 | 0.49 | |
| 27 | 0.25 | 0.25 | 53 | 5 | < 0> | 5 | < 0> | 6.6 | 1.42 | 1.42 | 10 | 10.2 | 10.2 | 0.49 | 0.49 | |
| 28 | 0.25 | 0.25 | 31 | 5 | < 0> | 5 | < 0> | 5.5 | 1.42 | 1.42 | 10 | 9.4 | 9.4 | 0.53 | 0.53 | |

Nota: Si el índice de sobre-esfuerzo (IS) es menor o igual a 1.0, la resistencia efectiva del elemento a cortante es adecuada.
 COL ID corresponde a la ubicación de la columna en el modelo estructural.

ESTUDIO DE VULNERABILIDAD

Nex= resistencia existente de los elementos de la estructura actual
bC: 0.9 (coeficiente de reducción por estado de la edificación)
pe: 0.9 (coeficiente de reducción por calidad y diseño de la construcción)
Nef = $\phi C \cdot N_{ex}$ (resistencia efectiva)
IS = índice de sobre-esfuerzo (Sobracharación/Resistencia efectiva)

ELEMENTO: VIGA 2 - N+3.20
SECCION: 30x35
b : 30 cm
d : 30 cm

f'_c : 210 kg/cm²
 f_y (long): 4200 kg/cm²
 f_y (trans): 2400 kg/cm²
 ϕVc : 6 Ton



Obra

ESTUDIO DE VULNERABILIDAD
TEATRO LA MEDIA TORTA

Item

INDICES DE SOBRE-ESFUERZO EN VIGAS
ESTRUCTURA ACTUAL

Nº 2666 Fecha 01/01/31
Calculó A.P.B. Revisó J.E.B.

047

| VANO | Ubicación | MOMENTOS NEGATIVOS | | | | | | MOMENTOS POSITIVOS | | | | | | CORTANTE | | | | | |
|------|------------|--------------------|--------------------------|---------|--------------|----------------|------|--------------------|--------------------------|--------|--------------|----------------|------|-----------------|-----------------------------|-----------|--------------|---------------|------|
| | | Refuerzo | As (cm ²) | ρ | Mef (T-m) | Mult. (T-n) | IS | Retuerzo | As (cm ²) | ρ | Mef (T-m) | Mult. (T-n) | IS | No. de ramas | Ijeje (cm ²) | S (cm) | Vet (Ton) | Vult (Ton) | IS |
| 4 | Inicio | 344 | 3.61 | 0.00473 | 3.32 | 5 | 1.50 | 244 | 2.54 | 0.0026 | 2.26 | 2 | 0.89 | 2 | 1.42 | 15 | 9.45 | 10 | 1.06 |
| | Centro luz | 244 | 2.54 | 0.00282 | 2.26 | 1 | 0.44 | 244 | 6.50 | 0.0072 | 5.46 | 3 | 0.55 | 2 | 1.42 | 25 | 7.57 | 4 | 0.63 |
| | Final | 445 | 7.92 | 0.00850 | 6.52 | 6 | 0.92 | 244 | 2.54 | 0.0028 | 2.26 | 2 | 0.89 | 2 | 1.42 | 15 | 9.45 | 11 | 1.16 |
| 5 | Inicio | 445 | 7.92 | 0.00850 | 6.52 | 5 | 0.77 | 244 | 2.54 | 0.0028 | 2.26 | 2 | 0.89 | 2 | 1.42 | 15 | 9.45 | 10 | 1.06 |
| | Centro luz | 245 | 3.96 | 0.00440 | 3.45 | 1 | 0.29 | 244 | 6.50 | 0.0072 | 5.46 | 2 | 0.37 | 2 | 1.42 | 25 | 7.57 | 3 | 0.40 |
| | Final | 445 | 7.92 | 0.00880 | 6.52 | 5 | 0.77 | 244 | 2.54 | 0.0026 | 2.26 | 2 | 0.89 | 2 | 1.42 | 15 | 8.45 | 10 | 1.06 |
| 6 | Inicio | 445 | 7.92 | 0.00880 | 6.52 | 6 | 0.92 | 244 | 2.54 | 0.0028 | 2.26 | 2 | 0.89 | 2 | 1.42 | 15 | 9.45 | 11 | 1.16 |
| | Centro luz | 244 | 2.54 | 0.00282 | 2.26 | 1 | 0.44 | 244 | 6.50 | 0.0072 | 5.46 | 3 | 0.55 | 2 | 1.42 | 25 | 7.57 | 4 | 0.53 |
| | Final | 344 | 3.81 | 0.00473 | 3.32 | 5 | 1.60 | 244 | 2.54 | 0.0026 | 2.26 | 2 | 0.89 | 2 | 1.42 | 15 | 9.45 | 10 | 1.06 |

ELEMENTO: VIGA 2 - N+3.20
SECCION: 30x35
b : 30 cm
d : 30 cm

f'_c : 210 kg/cm²
 f_y (long): 4200 kg/cm²
 f_y (trans): 2400 kg/cm²
 ϕVc : 6 Ton

| VANO | Ubicación | MOMENTOS NEGATIVOS | | | | | | MOMENTOS POSITIVOS | | | | | | CORTANTE | | | | | |
|------|------------|--------------------|--------------------------|---------|--------------|----------------|------|--------------------|--------------------------|--------|--------------|----------------|------|-----------------|-----------------------------|-----------|--------------|---------------|------|
| | | Refuerzo | As (cm ²) | ρ | Mef (T-m) | Mult. (T-n) | IS | Retuerzo | As (cm ²) | ρ | Mef (T-m) | Mult. (T-n) | IS | No. de ramas | Ijeje (cm ²) | S (cm) | Vet (Ton) | Vult (Ton) | IS |
| 1 | Inicio | 344 | 3.61 | 0.00473 | 3.32 | 4 | 1.20 | 244 | 2.54 | 0.0026 | 2.28 | 1 | 0.44 | 2 | 1.42 | 15 | 9.45 | 10 | 1.06 |
| | Centro luz | 244 | 2.54 | 0.00282 | 2.28 | 1 | 0.44 | 244 | 6.50 | 0.0072 | 5.48 | 4 | 0.73 | 2 | 1.42 | 25 | 7.57 | 4 | 0.63 |
| | Final | 445 | 7.92 | 0.00880 | 6.52 | 7 | 1.07 | 244 | 2.54 | 0.0028 | 2.28 | 2 | 0.89 | 2 | 1.42 | 15 | 9.45 | 12 | 1.27 |
| 2 | Inicio | 445 | 7.92 | 0.00880 | 6.52 | 6 | 0.92 | 244 | 2.54 | 0.0026 | 2.28 | 2 | 0.89 | 2 | 1.42 | 15 | 9.45 | 11 | 1.16 |
| | Centro luz | 245 | 3.96 | 0.00440 | 3.45 | 1 | 0.29 | 244 | 6.50 | 0.0072 | 5.46 | 3 | 0.55 | 2 | 1.42 | 25 | 7.57 | 3 | 0.40 |
| | Final | 445 | 7.92 | 0.00880 | 6.52 | 6 | 0.92 | 244 | 2.54 | 0.0028 | 2.28 | 2 | 0.89 | 2 | 1.42 | 15 | 9.45 | 11 | 1.16 |
| 3 | Inicio | 445 | 7.92 | 0.00880 | 6.52 | 6 | 0.92 | 244 | 2.54 | 0.0026 | 2.28 | 2 | 0.89 | 2 | 1.42 | 15 | 9.45 | 12 | 1.27 |
| | Centro luz | 244 | 2.54 | 0.00282 | 2.28 | 1 | 0.44 | 244 | 6.50 | 0.0072 | 5.46 | 4 | 0.73 | 2 | 1.42 | 25 | 7.57 | 4 | 0.53 |
| | Final | 344 | 3.81 | 0.00473 | 3.32 | 4 | 1.20 | 244 | 2.54 | 0.0026 | 2.28 | 1 | 0.44 | 2 | 1.42 | 15 | 9.45 | 10 | 1.06 |

ELEMENTO: VIGA 2 - N+3.20
SECCION: 30x35
b : 30 cm
d : 30 cm

f'_c : 210 kg/cm²
 f_y (long): 4200 kg/cm²
 f_y (trans): 2400 kg/cm²
 ϕVc : 6 Ton

Nota: Si el índice de sobreesfuerzo (IS) es menor o igual a 1.0, la resistencia efectiva del elemento a flexión o a cortante es adecuada.
El vano corresponde a la ubicación de la viga en el modelo estructural.

ESTUDIO DE VULNERABILIDAD



| | | | | |
|------|---|---------|----------------|-----|
| Obra | ESTUDIO DE VULNERABILIDAD TEATRO LA MEDIA TORTA | | | |
| Item | INDICES DE Sobre-ESFUERZO EN VIGAS ESTRUCTURA ACTUAL | Nº 2666 | Fecha 01/01/31 | 048 |

N_{ex}= resistencia existente de los elementos de la estructura actual
 ð_C: 0.9 (coeficiente de reducción por estado de la edificación)
 ð_E: 0.9 (coeficiente de reducción por calidad y diseño de la construcción)
 ð_C & N_{ex} (resistencia efectiva)
 N_S= índice de sobre-esfuerzo (Solicitación/Resistencia efectiva)

ELEMENTO: VIGA 12 - N+3.20
 SECCION: 13x35
 b : 13 cm
 d : 30 cm

f_c: 210 kg/cm²
 f_y (long): 4200 kg/cm²
 f_y (trans): 2400 kg/cm²
 ØVC: 2.55 Ton

| VANO | Ubicación | Momentos negativos | | | | Momentos positivos | | | | CORTANTE | | | |
|------|------------|--------------------|------|---------|------|--------------------|------|-----|------|----------|------|-----|------|
| | | Reílento | A* | Mef | Mín. | Reílento | A* | Mef | Mín. | As | φ | Vef | IS |
| 22 | Inicio | 184 | 1.27 | 0.00336 | 1.12 | 0 | 0.00 | 283 | 1.42 | 0.00336 | 1.25 | 0 | 0.00 |
| | Centro luz | 284 | 2.54 | 0.00651 | 2.15 | 0 | 0.00 | 281 | 1.42 | 0.00338 | 1.25 | 0 | 0.00 |
| | Final | 284 | 2.54 | 0.00651 | 2.15 | 2 | 0.93 | 281 | 1.42 | 0.00338 | 1.25 | 0 | 0.00 |
| | Centro haz | 184 | 1.27 | 0.00336 | 1.12 | 0 | 0.00 | 283 | 1.42 | 0.00336 | 1.25 | 1 | 0.80 |
| 23 | Inicio | 284 | 2.54 | 0.00651 | 2.15 | 2 | 0.93 | 281 | 1.42 | 0.00336 | 1.25 | 2 | 0.80 |
| | Centro haz | 184 | 1.27 | 0.00336 | 1.12 | 0 | 0.00 | 283 | 1.42 | 0.00336 | 1.25 | 0 | 0.00 |
| | Final | 284 | 2.54 | 0.00651 | 2.15 | 2 | 0.93 | 283 | 1.42 | 0.00336 | 1.25 | 1 | 0.80 |
| | Centro luz | 183 | 0.71 | 0.00182 | 0.84 | 0 | 0.00 | 284 | 2.54 | 0.00655 | 2.15 | 1 | 0.46 |
| 24 | Final | 284 | 2.54 | 0.00651 | 2.15 | 2 | 0.93 | 284 | 2.54 | 0.00655 | 2.15 | 1 | 0.46 |
| | Centro luz | 183 | 0.71 | 0.00182 | 0.84 | 0 | 0.00 | 284 | 2.54 | 0.00655 | 2.15 | 2 | 0.46 |

Nota: Si el índice de sobreesfuerzo (IS) es menor o igual a 1.0, la resistencia efectiva del elemento a flexión o a cortante es adecuada.
 El vano corresponde a la ubicación de la viga en el modelo estructural.

ESTUDIO DE VULNERABILIDAD



| | | | |
|------|---|---------|--------|
| Obra | ESTUDIO DE VULNERABILIDAD TEATRO LA MEDIA TORTA | Nº | 2666 |
| Item | INDICES DE SOBRE-ESFUERZO EN VIGAS ESTRUCTURA ACTUAL | Calculó | A.P.B. |

Nax = resistencia existente de los elementos de la estructura actual
 ϕ_c : 0.9 (coeficiente de reducción por estado de la edificación)
 ϕ_e : 0.9 (coeficiente de reducción por calidad y diseño de la construcción)
 Nef = $\phi_c \cdot \phi_e \cdot Nax$ (resistencia efectiva)
 IS = Índice de sobre-esfuerzo (Solicitud/Resistencia efectiva)

ELEMENTO: VIGA 2 - N+6.00
SECCION: 30x35
b : 30 cm
d : 30 cm

f'c : 210 kg/cm²
f'y (long) : 2400 kg/cm²
f'y (trans) : 4200 kg/cm²
ØVc : 6 Ton

| VANO | Ubicación | Momentos negativos | | | FLEXIÓN | | | Momentos positivos | | | CORTANTE | | | | | | | | | |
|------|------------|--------------------|--------------------------------------|--------------------------|---------|------------------|--------------------------------------|--------------------|--------------------------|--------|-----------------|------|--------------------------------------|-------------------------|------|------|------|------|-------------|-------------|
| | | Refuerzo | A _s (cm ²) | M _{ef} (N·m) | Mín. | R. _{ef} | A _s (cm ²) | P | M _{ef} (N·m) | Mín. | No. de fomas | φ | A _s (cm ²) | V _c (Ton) | IS | | | | | |
| 1 | Inicio | 344 | 3.81 | 0.00423 | 3.32 | 5 | 1.50 | 244 | 0.0028 | 2.26 | 3 | 1.33 | 2 | #3 | 1.42 | 15 | 9.45 | 10 | 1.06 | |
| | Centro luz | 244 | 2.54 | 0.00182 | 2.26 | 1 | 0.44 | 244-245 | 6.50 | 0.0072 | 5.46 | 4 | 0.73 | 2 | #3 | 1.42 | 25 | 7.57 | 5 | 0.66 |
| | Final | 445 | 7.92 | 0.00860 | 0.52 | 7 | 1.07 | 244 | 2.54 | 0.0028 | 2.26 | 2 | 0.89 | 2 | #3 | 1.42 | 15 | 9.45 | 12 | 1.27 |
| 2 | Inicio | 445 | 7.92 | 0.00860 | 0.52 | 5 | 0.77 | 244 | 2.54 | 0.0028 | 2.26 | 2 | 0.89 | 2 | #3 | 1.42 | 15 | 9.45 | 10 | 1.06 |
| | Centro luz | 245 | 3.96 | 0.00440 | 3.45 | 1 | 0.29 | 244-245 | 6.50 | 0.0072 | 5.46 | 2 | 0.37 | 2 | #3 | 1.42 | 25 | 7.57 | 3 | 0.40 |
| | Final | 445 | 7.92 | 0.00860 | 0.52 | 6 | 0.92 | 244 | 2.54 | 0.0028 | 2.26 | 2 | 0.89 | 2 | #3 | 1.42 | 15 | 9.45 | 10 | 1.06 |
| 3 | Inicio | 445 | 7.92 | 0.00860 | 0.52 | 7 | 1.07 | 244 | 2.54 | 0.0028 | 2.26 | 2 | 0.89 | 2 | #3 | 1.42 | 15 | 9.45 | 12 | 1.27 |
| | Centro luz | 244 | 2.54 | 0.00182 | 2.26 | 1 | 0.44 | 244-245 | 6.50 | 0.0072 | 5.46 | 4 | 0.73 | 2 | #3 | 1.42 | 25 | 7.57 | 4 | 0.63 |
| | Final | 344 | 3.81 | 0.00423 | 3.32 | 5 | 1.50 | 244 | 2.54 | 0.0028 | 2.26 | 3 | 1.33 | 2 | #3 | 1.42 | 15 | 9.45 | 10 | 1.06 |

ELEMENTO: VIGA 2 - N+6.00
SECCION: 30x35
b : 30 cm
d : 30 cm

f'c : 210 kg/cm²
f'y (long) : 2400 kg/cm²
f'y (trans) : 4200 kg/cm²
ØVc : 6 Ton

| VANO | Ubicación | Momentos negativos | | | FLEXIÓN | | | Momentos positivos | | | CORTANTE | | | | | | | | | |
|------|------------|--------------------|--------------------------------------|--------------------------|---------|------------------|--------------------------------------|--------------------|--------------------------|--------|-----------------|---|--------------------------------------|-------------------------|----|------|----|------|----|-------------|
| | | Refuerzo | A _s (cm ²) | M _{ef} (N·m) | Mín. | R. _{ef} | A _s (cm ²) | P | M _{ef} (N·m) | Mín. | No. de fomas | φ | A _s (cm ²) | V _c (Ton) | IS | | | | | |
| 4 | Inicio | 344 | 3.81 | 0.00423 | 3.32 | 6 | 1.80 | 244 | 2.54 | 0.0028 | 2.26 | 3 | 1.33 | 2 | #3 | 1.42 | 15 | 9.45 | 9 | 0.95 |
| | Centro luz | 244 | 2.54 | 0.00182 | 2.26 | 1 | 0.44 | 244-245 | 6.50 | 0.0072 | 5.46 | 3 | 0.56 | 2 | #3 | 1.42 | 25 | 7.57 | 4 | 0.63 |
| | Final | 445 | 7.92 | 0.00860 | 0.52 | 6 | 0.92 | 244 | 2.54 | 0.0028 | 2.26 | 2 | 0.89 | 2 | #3 | 1.42 | 15 | 9.45 | 11 | 1.16 |
| 5 | Inicio | 445 | 7.92 | 0.00860 | 0.52 | 5 | 0.77 | 244 | 2.54 | 0.0028 | 2.26 | 2 | 0.89 | 2 | #3 | 1.42 | 15 | 9.45 | 11 | 1.16 |
| | Centro luz | 245 | 3.96 | 0.00440 | 3.45 | 1 | 0.29 | 244-245 | 6.50 | 0.0072 | 5.46 | 2 | 0.37 | 2 | #3 | 1.42 | 25 | 7.57 | 3 | 0.40 |
| | Final | 445 | 7.92 | 0.00860 | 0.52 | 5 | 0.77 | 244 | 2.54 | 0.0028 | 2.26 | 2 | 0.89 | 2 | #3 | 1.42 | 15 | 9.45 | 9 | 0.95 |
| 6 | Inicio | 445 | 7.92 | 0.00860 | 0.52 | 6 | 0.92 | 244 | 2.54 | 0.0028 | 2.26 | 2 | 0.89 | 2 | #3 | 1.42 | 15 | 9.45 | 10 | 1.06 |
| | Centro luz | 244 | 2.54 | 0.00182 | 2.26 | 1 | 0.44 | 244-245 | 6.50 | 0.0072 | 5.46 | 3 | 0.56 | 2 | #3 | 1.42 | 25 | 7.57 | 4 | 0.63 |
| | Final | 344 | 3.81 | 0.00423 | 3.32 | 6 | 1.80 | 244 | 2.54 | 0.0028 | 2.26 | 2 | 0.89 | 2 | #3 | 1.42 | 15 | 9.45 | 9 | 0.95 |

Nota: Si el índice de sobreesfuerzo (IS) es menor o igual a 1.0, la resistencia efectiva del elemento a flexión o a cortante es adecuada.
 El vano corresponde a la ubicación de la viga en el modelo estructural.

ELEMENTO: VIGA 16 - N+6.00
SECCION: # 30x35
* b: 30 cm
d: 30 cm

f_c: 210 kg/cm²
f_y (long): 4200 kg/cm²
f_y (trans): 2400 kg/cm²
ØVc: 6 Ton

Nex= resistencia existente de los elementos de la estructura actual
øc: 0.9 (coeficiente de reducción por estado de la edificación)
øe: 0.9 (coeficiente de reducción por calidad y diseño de la construcción)
Nef = øc øe Nex (resistencia efectiva)
IS = índice de sobre-esfuerzo (Solicitación/Resistencia efectiva)

| Vano | Ubicación | Momentos negativos | | | Flexión | | | Momentos positivos | | | CORTANTE | | | | | | | | | |
|------|------------|--------------------|-------|---------|---------|-----------|------|--------------------|------|--------|----------------|----|------|------|----|------|----|-------|----|------|
| | | Referizo | As | Mef | Muñ. | Reforzo | As | Mef | Muñ. | Is | No. de ranuras | As | Vn | Vn. | IS | | | | | |
| 1 | Inicio | 245 + 184 | 5.23 | 0.00581 | 1.34 | 2#6 | 3.96 | 0.004 | 3.45 | 3 | 0.87 | 2 | #3 | 1.42 | 15 | 9.15 | 9 | 0.95 | | |
| | Centro luz | 2#5 | 3.96 | 0.00440 | 0.58 | 2#5 + 2#6 | 9.66 | 0.0107 | 7.75 | 4 | 0.52 | 2 | #3 | 1.42 | 25 | 7.57 | 4 | 0.53 | | |
| | Final | 245 + 297 | 13.46 | 0.01496 | 10.18 | 8 | 0.79 | 2#5 | 3.96 | 0.004 | 3.45 | 3 | 0.87 | 4 | #3 | 2.84 | 15 | 14.14 | 10 | 0.71 |
| | Inicio | 245 + 297 | 13.46 | 0.01496 | 10.18 | 7 | 0.69 | 2#4 | 2.54 | 0.0028 | 2.28 | 2 | 0.89 | 4 | #3 | 2.84 | 15 | 14.14 | 11 | 0.78 |
| | Centro luz | 2#5 | 5.70 | 0.00633 | 4.84 | 1 | 0.21 | 3#4 | 3.61 | 0.0042 | 3.32 | 2 | 0.60 | 2 | #3 | 1.42 | 15 | 9.45 | 4 | 0.42 |
| | Final | 2#6 | 6.55 | 0.00550 | 6.97 | 5 | 0.72 | 2#4 | 2.54 | 0.0036 | 2.28 | 2 | 0.69 | 2 | #3 | 1.42 | 15 | 9.45 | 10 | 1.06 |
| 9 | Inicio | 3#6 | 8.55 | 0.00950 | 6.97 | 5 | 0.72 | 2#4 | 2.54 | 0.0028 | 2.28 | 2 | 0.89 | 2 | #3 | 1.42 | 15 | 9.45 | 10 | 1.06 |
| | Centro luz | 3#6 | 5.70 | 0.00633 | 4.84 | 1 | 0.21 | 3#4 | 3.81 | 0.0042 | 3.32 | 3 | 0.90 | 2 | #3 | 1.42 | 15 | 9.45 | 3 | 0.32 |
| | Final | 3#6 | 8.55 | 0.00950 | 6.97 | 5 | 0.72 | 2#4 | 2.54 | 0.0036 | 2.28 | 2 | 0.89 | 2 | #3 | 1.42 | 15 | 9.45 | 10 | 1.06 |
| 10 | Inicio | 3#6 | 8.55 | 0.00950 | 6.97 | 5 | 0.72 | 2#4 | 2.54 | 0.0028 | 2.28 | 2 | 0.89 | 2 | #3 | 1.42 | 15 | 9.45 | 10 | 1.06 |
| | Centro luz | 2#5 | 5.70 | 0.00633 | 4.84 | 1 | 0.21 | 3#4 | 3.81 | 0.0042 | 3.32 | 3 | 0.90 | 2 | #3 | 1.42 | 15 | 9.45 | 10 | 1.06 |
| | Final | 245 + 297 | 13.46 | 0.01496 | 10.18 | 6 | 0.59 | 2#4 | 2.54 | 0.0028 | 2.28 | 2 | 0.89 | 2 | #3 | 1.42 | 15 | 9.45 | 10 | 1.06 |
| | Inicio | 245 + 297 | 13.46 | 0.01496 | 10.18 | 8 | 0.79 | 2#5 | 3.96 | 0.004 | 3.45 | 3 | 0.87 | 4 | #3 | 2.84 | 15 | 14.14 | 11 | 0.78 |
| | Centro luz | 2#5 | 3.96 | 0.00440 | 3.45 | 2 | 0.58 | 2#5 + 2#6 | 9.66 | 0.0107 | 7.75 | 4 | 0.52 | 2 | #3 | 1.42 | 25 | 7.57 | 3 | 0.40 |
| | Final | 245 + 184 | 5.23 | 0.00581 | 4.47 | 7 | 1.56 | 2#5 | 3.96 | 0.004 | 3.45 | 2 | 0.58 | 2 | #3 | 1.42 | 15 | 9.45 | 9 | 0.95 |

Nota: Si el índice de sobreesfuerzo (IS) es menor o igual a 1.0, la resistencia efectiva del elemento a flexión o a cortante es adecuada.
El valor corresponde a la ubicación de la viga en el modelo estructural.

ESTUDIO DE VULNERABILIDAD



Nex = resistencia existente de los elementos de la estructura actual
αc: 0.9 (coeficiente de reducción por estado de la edificación)
βe: 0.9 (coeficiente de reducción por calidad y diseño de la construcción)
Nef = $\alpha_c \times \text{Nex}$ (resistencia efectiva)
IS = Índice de sobre-esfuerzo (Solicitación/Resistencia efectiva)

ELEMENTO: VIGA 27 - N+6.00
SECCION: 30x35
b: 13 cm
d: 30 cm

f'_c : 210 kg/cm²
 f_y (long): 4200 kg/cm²
 f_y (trans): 2400 kg/cm²
 ϕV_C : 3 Ton

| | | | |
|------|---|----------------|----------------|
| Obra | ESTUDIO DE VULNERABILIDAD TEATRO LA MEDIA TORTA | Nº 2666 | Fecha 01/01/31 |
| Item | INDICES DE SOBRE-ESFUERZO EN VIGAS ESTRUCTURA ACTUAL | Calculó A.P.B. | Revisó J.E.B. |

| VANO | Ubicación | FLEXIÓN | | | | | | | | | | CORTANTE | | | | | | | |
|------|------------|--------------------|------|-----------------|-----------------|----------------|--------------------|----------------|-----------------|-----------------|----------------|----------------|------|----------------|-----|-----------------|-----------------|----------------|---|
| | | Momentos negativos | | | | | Momentos positivos | | | | | Ver | | | Ver | | | | |
| | | A* | R* | M _{ef} | M _{ut} | I _S | R* | A* | M _{ef} | M _{ut} | I _S | No. de ranuras | φ | A ₄ | S | V _{ef} | V _{ut} | I _S | |
| 22 | Inicio | 2 ⁴ | 2.54 | 0.00651 | 2.15 | 0 | 0.00 | 2 ³ | 1.42 | 0.0036 | 1.25 | 0 | 0.00 | 2 | #2 | 0.64 | 25 | 3.33 | 0 |
| | Centro luz | 2 ⁴ | 2.54 | 0.00651 | 2.15 | 0 | 0.00 | 2 ³ | 1.42 | 0.0036 | 1.25 | 0 | 0.00 | 2 | #2 | 0.64 | 25 | 3.33 | 1 |
| | Final | 2 ⁴ | 2.54 | 0.00651 | 2.15 | 2 | 0.93 | 2 ³ | 1.42 | 0.0036 | 1.25 | 0 | 0.00 | 2 | #2 | 0.64 | 25 | 3.33 | 0 |
| 23 | Inicio | 2 ⁴ | 2.54 | 0.00651 | 2.15 | 3 | 1.39 | 2 ³ | 1.42 | 0.0036 | 1.25 | 2 | 1.60 | 2 | #2 | 0.64 | 15 | 4.18 | 2 |
| | Centro luz | 2 ⁴ | 2.54 | 0.00651 | 2.15 | 1 | 0.46 | 2 ³ | 1.42 | 0.0036 | 1.25 | 0 | 0.00 | 2 | #2 | 0.64 | 15 | 4.18 | 4 |
| | Final | 2 ⁴ | 2.54 | 0.00651 | 2.15 | 2 | 0.93 | 2 ³ | 1.42 | 0.0036 | 1.25 | 1 | 0.80 | 2 | #2 | 0.64 | 25 | 3.33 | 3 |
| 24 | Inicio | 2 ⁴ | 2.54 | 0.00651 | 2.15 | 2 | 0.93 | 2 ⁴ | 2.54 | 0.0065 | 2.15 | 1 | 0.46 | 2 | #2 | 0.64 | 15 | 4.18 | 4 |
| | Centro luz | 2 ⁴ | 1.42 | 0.00654 | 1.25 | 1 | 0.80 | 2 ⁴ | 2.54 | 0.0065 | 2.15 | 1 | 0.46 | 2 | #2 | 0.64 | 15 | 4.18 | 3 |
| | Final | 2 ⁴ | 2.54 | 0.00651 | 2.15 | 3 | 1.39 | 2 ⁴ | 2.54 | 0.0065 | 2.15 | 1 | 0.46 | 2 | #2 | 0.64 | 25 | 3.33 | 1 |
| 25 | Inicio | 2 ⁴ | 2.54 | 0.00651 | 2.15 | 3 | 1.39 | 2 ⁴ | 2.54 | 0.0065 | 2.15 | 1 | 0.46 | 2 | #2 | 0.64 | 15 | 4.18 | 3 |
| | Centro luz | 2 ⁴ | 1.42 | 0.00654 | 1.25 | 1 | 0.80 | 2 ⁴ | 2.54 | 0.0065 | 2.15 | 1 | 0.46 | 2 | #2 | 0.64 | 25 | 3.33 | 1 |
| | Final | 2 ⁴ | 2.54 | 0.00651 | 2.15 | 3 | 1.39 | 2 ⁴ | 2.54 | 0.0065 | 2.15 | 1 | 0.46 | 2 | #2 | 0.64 | 15 | 4.18 | 3 |

Nota: Si el índice de sobreesfuerzo (IS) es menor o igual a 1.0, la resistencia efectiva del elemento a flexión o a cortante es adecuada.
 El vano corresponde a la ubicación de la viga en el modelo estructural.



PROYECTISTAS CIVILES ASOCIADOS

ANALISIS ESTRUCTURA MODIFICADA



| | | | | |
|------|---|--------------------------|--------------------------|--|
| Obra | ESTUDIO DE VULNERABILIDAD, TEATRO LA MEDIA TORTA | Nº 2666 | Fecha 01/02/02 | |
| Item | ANÁLISIS SISMICO ESTRUCTURA MODIFICADA | Calculó A.P.B. | Revisó J.E.B. | |

052FT-04-11
Revision No. 1

El Análisis Sismico se realizará por el método del Análisis Dinámico.

El programa de análisis estructural ETABS realiza directamente el análisis dinámico utilizando el Espectro Elástico de Diseño construido con los siguientes parámetros:

$$A_a = 0.20 \quad S = 1.00 \quad I = 1.10$$

El espectro se encuentra en el archivo: **SPBG1011**

Zona de Amenaza Sísmica : **Intermedia**

Sistema Estructural: **Combinado (DMO)**

| Pesos para el Análisis Sísmico: | ton/m2 | Área (m ²) | Cubierta y muros | Masa |
|---------------------------------|--------|---------------------------|---------------------|-------|
| N +24.90 | 1.23 | 4.44 | | 558 |
| N +22.80 | | | 707 | 707 |
| N +20.00 | | | 707 | 707 |
| N +17.20 | | | 707 | 707 |
| N +14.40 | 2.07 | 4.44 | 567 | 1504 |
| N +11.60 | | | 1399 | 1399 |
| N +8.80 | 0.94 | 17.84 | | 1709 |
| N +6.00 | 0.66 | 240.72 | | 16078 |
| N +3.20 | 0.89 | 157.74 | | 14291 |

$$\text{Torsión Accidental: } e = 0.05 \quad L$$

Centro de masas:

| | | | |
|------------|-----------|-------------------------|--|
| X= 0.59 m | Y= 6.25 m | N +24.90 Diafragma 1 | Lx (m) = 2.00 Ly (m) = 3.75 |
| X= 18.91 m | Y= 6.25 m | N +24.90 Diafragma 2 | Lx (m) = 2.00 Ly (m) = 3.75 |
| X= 0.59 m | Y= 6.25 m | N +14.40 Diafragma 1 | Lx (m) = 2.00 Ly (m) = 3.75 |
| X= 18.91 m | Y= 6.25 m | N +14.40 Diafragma 2 | Lx (m) = 2.00 Ly (m) = 3.75 |
| X= 1.93 m | Y= 4.63 m | N +8.80 Diafragma 1 | Lx (m) = 4.75 Ly (m) = 8.25 ex = 0.24 m ey = 0.41 m |
| X= 17.57 m | Y= 4.63 m | N +8.80 Diafragma 2 | Lx (m) = 4.75 Ly (m) = 8.25 ex = 0.24 m ey = 0.41 m |
| X= 9.72 m | Y= 6.09 m | N +6.00 | Lx (m) = 19.75 Ly (m) = 14.63 ex = 0.99 m ey = 0.73 m |
| X= 9.75 m | Y= 3.85 m | N +3.20 | Lx (m) = 19.75 Ly (m) = 10.13 ex = 0.99 m ey = 0.51 m |



| | | | | | |
|------|--|--------------------------|--------------------------|--|------------|
| Obra | ESTUDIO DE VULNERABILIDAD TEATRO LA MEDIA TORTA | Nº 2666 | Fecha 01/02/02 | | |
| Item | ANÁLISIS SISMICO ESTRUCTURA MODIFICADA | Calculó A.P.B. | Revisó J.E.B. | | 053 |

FT-04-11
Revision No. 1

Análisis Sísmico por Fuerza Horizontal Equivalente:

Análisis por el método de la Fuerza Horizontal Equivalente para ajustar el valor del cortante dinámico en la base (según A.5.4.5 -- NSR - 98)

$$Aa = 0.20 \quad S = 1.00 \quad I = 1.10$$

$$Ta = Cthn^{(3/4)} \quad Ct = 0.05 \quad (\text{Combinado})$$

$$Ta = 0.55 \text{ seg}$$

$$Sa = 1.2Aa S I / T \quad Sa = 2.5Aa I \quad \begin{matrix} Sa = 0.48 & (N+8.80 \text{ a } 24.90) \\ Sa = 0.55 & (N+3.20 \text{ y } 6.00) \end{matrix}$$

$$Sa = 0.48 \quad Sa = 0.55 \quad V = 226.9 \text{ ton}$$

| NIVEL | W(ton) | Alt. piso | h(m) |
|----------|--------|-----------|-------|
| N +24.90 | 11.0 | 2.10 | 24.60 |
| N +22.80 | 13.9 | 2.80 | 22.50 |
| N +20.00 | 13.9 | 2.80 | 19.70 |
| N +17.20 | 13.9 | 2.80 | 16.90 |
| N +14.40 | 18.4 | 2.80 | 14.10 |
| N +11.60 | 27.4 | 2.80 | 11.30 |
| N +8.80 | 33.5 | 2.80 | 8.50 |
| N +6.00 | 157.7 | 2.80 | 5.70 |
| N +3.20 | 140.2 | 3.20 | 2.90 |

$$\text{Total} \quad 429.9$$

Cortantes Dinámicos en la Base. (Vtj) :

$$Vtx = 58.8 \text{ ton} \quad (\text{Ver página siguiente})$$

$$Vty = 64.1 \text{ ton}$$

Regularidad de la Estructura: 2 (1: Regular, 2: Irregular)

Si la estructura es regular, el cortante dinámico en la base no puede ser menor que el 80 % del cortante calculado por Fuerza Horizontal Equivalente (Vs) - (según A.5.4.5 b -- NSR - 98)

Factores de Ajuste :

$$Fx = 226.9 / 58.8 = 3.86$$

$$Fy = 226.9 / 64.1 = 3.54$$

$$Fx = 3.86 \quad (\text{Definitivo})$$

$$Fy = 3.54 \quad (\text{Definitivo})$$



| | | | | | | | |
|------|--|---------|---------------|--------|-----------------|--|------------|
| Obra | ESTUDIO DE VULNERABILIDAD TEATRO LA MEDIA TORTA | Nº | 2666 | Fecha | 01/02/02 | | |
| Item | CENTROS DE MASA ESTRUCTURA MODIFICADA | Calculó | A.P.B. | Revisó | J.E.B. | | 054 |

FT-04-11
Revision No. 1

PROYECTISTAS CIVILES ASOCIADOS

PROGRAM:ETABS/FILE:\2666\TMOD.STR

TEATRO LA MEDIA TORTA - ESTRUCTURA MODIFICADA

ANALISIS SISMICO - DINAMICO

COORDINATES OF CENTERS OF CUMULATIVE MASS & CENTERS OF RIGIDITY

| STORY LEVEL | DIAPHRAGM NUMBER | MASS | /---CENTER OF MASS---/ | | /---CENTER OF RIGIDITY---/ | |
|----------------|---------------------|-----------|------------------------|------------|----------------------------|------------|
| | | | ORDINATE-X | ORDINATE-Y | ORDINATE-X | ORDINATE-Y |
| N24.90 | 1 | 561.702 | 0.59 | 6.251 | 0.746 | 6.214 |
| | 2 | 561.702 | 18.914 | 6.254 | 18.806 | 6.285 |
| N22.80 | 1 | 633.794 | 0.589 | 6.241 | 0.583 | 6.167 |
| | 2 | 633.794 | 18.914 | 6.244 | 18.917 | 6.167 |
| N20.00 | 1 | 705.886 | 0.588 | 6.234 | 0.583 | 6.167 |
| | 2 | 705.886 | 18.914 | 6.237 | 18.917 | 6.167 |
| N17.20 | 1 | 777.978 | 0.588 | 6.227 | 0.583 | 6.167 |
| | 2 | 777.978 | 18.915 | 6.23 | 18.917 | 6.167 |
| N14.40 | 1 | 2290.351 | 0.589 | 6.242 | 0.448 | 6.221 |
| | 2 | 2290.351 | 18.912 | 6.243 | 19.058 | 6.239 |
| N11.60 | 1 | 2433.011 | 0.687 | 6.111 | 2.25 | 4 |
| | 2 | 2427.929 | 18.822 | 6.124 | 17.333 | 4.148 |
| N8.80 | 1 | 4142.011 | 1.2 | 5.5 | 0.125 | 7.555 |
| | 2 | 4136.929 | 18.305 | 5.507 | 19.375 | 7.553 |
| N6.00 | 1 | 20220.011 | 7.975 | 5.969 | 9.75 | 6.719 |
| | 1 | 34511.011 | 8.71 | 5.092 | 9.75 | 6.158 |

PCA

| | | | | | |
|------|--|--------------------------|--------------------------|--|------------|
| Obra | ESTUDIO DE VULNERABILIDAD TEATRO LA MEDIA TORTA | Nº 2666 | Fecha 01/02/02 | | |
| Item | CENTROS DE MASA ESTRUCTURA MODIFICADA | Calculó A.P.B. | Revisó J.E.B. | | 055 |

FT-04-11
Revision No. 1

| | | Originales | | Modificados | |
|--------|---|-------------------|------|--------------------|--|
| N24.90 | 1 | X = 0.59 | | X = 0.59 | |
| | | Y= 6.25 | | Y= 6.25 | |
| N24.90 | 2 | X = 18.91 | | X = 18.91 | |
| | | Y= 6.25 | | Y= 6.25 | |
| N14.40 | 1 | X = 0.59 | | X = 0.59 | |
| | | Y= 6.25 | | Y= 6.25 | |
| N14.40 | 2 | X = 18.91 | | X = 18.91 | |
| | | Y= 6.25 | | Y= 6.25 | |
| N8.80 | 1 | X = 1.93 | 0.24 | X = 2.17 | |
| | | Y= 4.63 | 0.41 | Y= 4.22 | |
| N8.80 | 2 | X = 17.57 | 0.24 | X = 17.33 | |
| | | Y= 4.63 | 0.41 | Y= 4.22 | |
| N6.00 | | X = 9.72 | 0.99 | X = 8.73 | |
| | | Y= 6.09 | 0.73 | Y= 5.36 | |
| N3.20 | | X = 9.75 | 0.99 | X = 8.76 | |
| | | Y= 3.85 | 0.51 | Y= 3.34 | |

+ Centro de masas

x Centro de rigidez

El centro de masas se desplazara como lo muestra la figura, para cumplir con la torsión accidental.



| | | | | | | | |
|------|--|---------|--------|--------|----------|--|-----|
| Obra | ESTUDIO DE VULNERABILIDAD TEATRO LA MEDIA TÓRTA | Nº | 2666 | Fecha | 01/02/02 | | |
| Item | PARTICIPACIÓN DE MASA ESTRUCTURA MODIFICADA | Calculó | A.P.B. | Revisó | J.E.B. | | 056 |

FT-04-11
Revision No. 1

PROYECTISTAS CIVILES ASOCIADOS

PROGRAM:ETABS/FILE:12666ITMOD.EIG

TEATRO LA MEDIA TORTA - ESTRUCTURA MODIFICADA

ANALISIS SISMICO - DINAMICO

EFFECTIVE MASS FACTORS

| MODE NUMBER | X - TRASLATION | | Y - TRASLATION | | Z - ROTATION | |
|----------------|----------------|----------|----------------|----------|--------------|----------|
| | % MASS | < % SUM> | % MASS | < % SUM> | % MASS | < % SUM> |
| 1 | 10.56 | 10.6> | 0.00 | 0.0> | 0.00 | 0.0> |
| 2 | 0.67 | 11.2> | 0.02 | 0.0> | 0.00 | 0.0> |
| 3 | 0.01 | 11.2> | 4.06 | 4.1> | 0.00 | 0.0> |
| 4 | 0.00 | 11.2> | 9.00 | 13.1> | 0.00 | 0.0> |
| 5 | 7.11 | 18.3> | 0.00 | 13.1> | 0.00 | 0.0> |
| 6 | 0.03 | 18.4> | 0.02 | 13.1> | 0.00 | 0.0> |
| 7 | 0.01 | 18.4> | 6.54 | 19.6> | 0.00 | 0.0> |
| 8 | 3.20 | 21.6> | 0.03 | 19.7> | 0.00 | 0.0> |
| 9 | 3.21 | 24.8> | 0.37 | 20.0> | 0.00 | 0.0> |
| 10 | 0.12 | 24.9> | 8.63 | 28.7> | 0.00 | 0.0> |
| 11 | 39.32 | 64.2> | 0.01 | 28.7> | 0.00 | 0.0> |
| 12 | 0.01 | 64.2> | 45.71 | 74.4> | 0.00 | 0.0> |
| 13 | 5.30 | 69.6> | 0.00 | 74.4> | 0.00 | 0.0> |
| 14 | 0.00 | 69.6> | 10.56 | 85.0> | 0.00 | 0.0> |
| 15 | 0.02 | 69.6> | 0.08 | 85.0> | 0.66 | 0.7> |
| 16 | 0.05 | 69.6> | 0.23 | 85.3> | 0.60 | 1.3> |
| 17 | 0.00 | 69.6> | 12.88 | 98.2> | 0.00 | 1.3> |
| 18 | 28.53 | 98.2> | 0.00 | 98.2> | 0.00 | 1.3> |
| 19 | 0.00 | 98.2> | 0.00 | 98.2> | 0.20 | 1.5> |
| 20 | 0.00 | 98.2> | 0.00 | 98.2> | 0.15 | 1.6> |
| 21 | 0.00 | 98.2> | 0.00 | 98.2> | 0.00 | 1.6> |



| | | | | | | | |
|------|--|---------|---------------|--------|-----------------|--|------------|
| Obra | ESTUDIO DE VULNERABILIDAD TEATRO LA MEDIA TÓRTA | Nº | 2666 | Fecha | 01/02/02 | | |
| Item | CORTANTE DINAMICO ESTRUCTURA MODIFICADA | Calculó | A.P.B. | Revisó | J.E.B. | | 057 |

FT-04-11
Revision No. 1

PROYECTISTAS CIVILES ASOCIADOS

PROGRAM:ETABS/FILE:12666ITMOD.STR

TEATRO LA MEDIA TÓRTA - ESTRUCTURA MODIFICADA

ANALISIS SISMICO - DINAMICO

DYNAMIC RESPONSE SPECTRUM BASE SHEARS

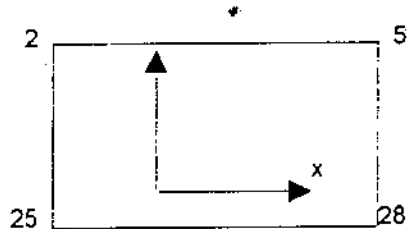
| MODE No. | /-----D1-----/ | | /-----D2-----/ | |
|-------------|----------------|-------------|----------------|-------------|
| | DIRECTION-X | DIRECTION-Y | DIRECTION-X | DIRECTION-Y |
| 1 | 19196.525 | 282.162 | 282.162 | 4.147 |
| 2 | 1252.838 | -210.6 | -210.6 | 35.402 |
| 3 | 16.877 | -378.067 | -378.067 | 8469.454 |
| 4 | 5.962 | 334.463 | 334.463 | 18762.392 |
| 5 | 12593.398 | -174.43 | -174.43 | 2.416 |
| 6 | 52.209 | 44.054 | 44.054 | 37.173 |
| 7 | 21.403 | 455.205 | 455.205 | 9681.375 |
| 8 | 4730.162 | -453.369 | -453.369 | 43.454 |
| 9 | 4252.433 | 1440.911 | 1440.911 | 488.244 |
| 10 | 158.864 | -1345.371 | -1345.371 | 11393.51 |
| 11 | 44949.753 | -841.156 | -841.156 | 15.741 |
| 12 | 12.491 | 807.417 | 807.417 | 52190.028 |
| 13 | 5447.303 | 30.236 | 30.236 | 0.168 |
| 14 | 0.073 | -27.451 | -27.451 | 10367.478 |
| 15 | 23.11 | -41.50 | -41.50 | 74.543 |
| 16 | 47.81 | 101.534 | 101.534 | 215.626 |
| 17 | 0.001 | -3.523 | -3.523 | 11948.06 |
| 18 | 26322.206 | -45.601 | -45.601 | 0.079 |
| 19 | 0.199 | -0.062 | -0.062 | 0.02 |
| 20 | 0.114 | 0.046 | 0.046 | 0.019 |
| 21 | 0.00 | 0.00 | 0.00 | 0 |
| CQC | 58790.90 | 340.909 | 340.909 | 64088.522 |

| | | | | | |
|------|--|---------|--------|--------|----------|
| Obra | ESTUDIO DE VULNERABILIDAD TEATRO LA MEDIA TORTA | Nº | 2666 | Fecha | 01/02/02 |
| Item | IRREGULARIDAD TORSIONAL ESTRUCTURA MODIFICADA | Calculó | A.P.B. | Revisó | J.E.B. |

058

FT-04-11
Revision No. 1

Esquema Estructural - Identificación de Nudos Para Revisión de la Irregularidad Torsional



REVISION DE LA IRREGULARIDAD TORSIONAL

D = Deriva del análisis.

SISMO EN X Caso de Carga: 2

Columna Eje Vertical:

| | 5 | 28 | | 2 | 25 | | |
|---------|--------------------|--------------------|-----------------------------------|----|--------------------|--------------------|--|
| | $\Delta 1$ (cm) | $\Delta 2$ (cm) | $\frac{(\Delta 1 + \Delta 2)}{2}$ | | $\Delta 1$ (cm) | $\Delta 2$ (cm) | $\frac{(\Delta 1 + \Delta 2)}{2} \times 1.2$ |
| N +6.00 | 0.22 | 0.26 | 0.29 | OK | 0.22 | 0.26 | 0.29 |
| N +3.20 | 0.00 | 0.03 | 0.02 | NO | 0.00 | 0.03 | 0.02 |

SISMO EN Y Caso de Carga: 4

Columna Eje Vertical:

| | 2 | 5 | | 25 | 28 | | |
|---------|--------------------|--------------------|-----------------------------------|----|--------------------|--------------------|--|
| | $\Delta 1$ (cm) | $\Delta 2$ (cm) | $\frac{(\Delta 1 + \Delta 2)}{2}$ | | $\Delta 1$ (cm) | $\Delta 2$ (cm) | $\frac{(\Delta 1 + \Delta 2)}{2} \times 1.2$ |
| N +6.00 | 0.25 | 0.25 | 0.30 | OK | 0.20 | 0.20 | 0.24 |
| N +3.20 | 0.00 | 0.00 | 0.00 | NO | 0.05 | 0.05 | 0.06 |

| | | | | |
|------|---|----------------|----------------|--|
| Obra | ESTUDIO DE VULNERABILIDAD TEATRO LA MEDIA TORTA | Nº 2666 | Fecha 01/02/02 | |
| Item | CHEQUEO DE IRREGULARIDADES ESTRUCTURA MODIFICADA | Calculó A.P.B. | Revisó J.E.B. | |

059

FT-04-11
Revision No. 1**IRREGULARIDADES EN PLANTA - (Ver Página A-41 - NSR-98)**

| Parametro | Si | No | Factor de Reducción |
|------------------------------------|----|----|---------------------|
| Irregularidad Torsional | x | | 0.9 |
| Retrocesos en las Esquinas | | x | 0.9 |
| Discontinuidades en el Diafragma | | x | 0.9 |
| Desplazamiento del Plano de Acción | | x | 0.8 |
| Sistemas no Paralelos | | x | 0.9 |

 $\phi p = 0.9$

(Si existen varias irregularidades se escoge el menor valor de p)

IRREGULARIDADES EN ALTURA - (Ver Página A-42 - NSR-98)

| Parametro | Si | No | Factor de Reducción |
|------------------------------------|----|----|---------------------|
| Piso Flexible | | x | 0.9 |
| Distribución de Masas | x | | 0.9 |
| Geométrica | x | | 0.9 |
| Desplazamiento del Plano de Acción | | x | 0.8 |
| Piso Débil | | x | 0.8 |

 $\phi a = 0.9$

(Si existen varias irregularidades se escoge el menor valor de a)

Materiales:**Concreto:**

$$f_c = 210 \text{ kg/cm}^2 \quad \text{Columnas y pantallas}$$

$$E_c = \frac{1}{\sqrt{1.2222}} = 178720$$

Acero:

$$f_y = 4200 \text{ kg/cm}^2$$

$$E_s = 2 \times 106 \text{ kg/cm}^2$$



| | | | | | |
|------|--|----------------|----------------|--|-----|
| Obra | ESTUDIO DE VULNERABILIDAD TEATRO LA MEDIA TORTA | Nº 2666 | Fecha 01/02/02 | | |
| Item | COMBINACIONES DE CARGA ESTRUCTURA MODIFICADA | Calculó A.P.B. | Revisó J.E.B. | | 080 |

FT-04-11
Revision No. 1

Factores - Resultado
Análisis Sísmico $F_x = 3.86$
 $F_y = 3.54$

Combinaciones de Carga:

CHEQUEO DE LA DERIVA

1. 1.40 C.M. + 1.70 C.V.
2. 1.05 C.M. + 1.28 C.V. + 3.86 S.X.
3. 1.05 C.M. + 1.28 C.V. - 3.86 S.X.
4. 1.05 C.M. + 1.28 C.V. + 3.54 S.Y.
5. 1.05 C.M. + 1.28 C.V. - 3.54 S.Y.
6. 0.90 C.M. + 3.86 S.X.
7. 0.90 C.M. - 3.86 S.X.
8. 0.90 C.M. + 3.54 S.Y.
9. 0.90 C.M. - 3.54 S.Y.

C.M. = Carga Muerta
C.V. = Carga Viva
S.X. = Fuerzas Sísmicas Elásticas en X
S.Y. = Fuerzas Sísmicas Elásticas en Y

 $R_o = 5.00$ (Porticos de concreto - DMO)
 $\phi_a = 0.90$
 $\phi_p = 0.90$ (Ver Página siguiente)
 $R = 4.05$

DISEÑO DE VIGAS Y COLUMNAS

1. 1.40 C.M. + 1.70 C.V.
2. 1.05 C.M. + 1.28 C.V. + 0.95 + 0.26
3. 1.05 C.M. + 1.28 C.V. + 0.95 - 0.26
4. 1.05 C.M. + 1.28 C.V. - 0.95 + 0.26
5. 1.05 C.M. + 1.28 C.V. - 0.95 - 0.26
6. 1.05 C.M. + 1.28 C.V. + 0.29 + 0.87
7. 1.05 C.M. + 1.28 C.V. - 0.29 + 0.87
8. 1.05 C.M. + 1.28 C.V. + 0.29 - 0.87
9. 1.05 C.M. + 1.28 C.V. - 0.29 - 0.87
10. 0.90 C.M. + 0.95 + 0.26
11. 0.90 C.M. + 0.95 - 0.26
12. 0.90 C.M. - 0.95 + 0.26
13. 0.90 C.M. - 0.95 - 0.26
14. 0.90 C.M. + 0.29 + 0.87
15. 0.90 C.M. - 0.29 + 0.87
16. 0.90 C.M. + 0.29 - 0.87
17. 0.90 C.M. - 0.29 - 0.87



| | | | | | | | |
|------|--|---------|---------------|--------|-----------------|--|------------|
| Obra | ESTUDIO DE VULNERABILIDAD TEATRO LA MEDIA TORTA | Nº | 2666 | Fecha | 01/02/02 | | |
| Item | CHEQUEO DE DERIVAS ESTRUCTURA MODIFICADA | Calculó | A.P.B. | Revisó | J.E.B. | | 061 |

FT-04-11
Revision No. 1

$$\Delta_a = \sqrt{(\delta_{x1} - \delta_{x2})^2 + (\delta_{y1} - \delta_{y2})^2}$$

$\Delta\alpha$ = Deriva del análisis.

$\Delta\rho$ = Deriva permitida.
(0.01 h)

| <u>SISMO EN X</u> | | Columna Eje Vertical: Caso de Carga: | | 9 | 2 | | |
|-------------------|-------------|---|-------------------|------------------------|----------------------|----|------|
| | Alt. piso | <i>d x</i> (m) | <i>d y</i> (m) | $\Delta\alpha$ (cm) | $\Delta\rho$ (cm) | % | |
| N +24.90 | 2.10 | 0.2560 | 0.0152 | 3.51 | 2.10 | NO | 1.67 |
| N +22.80 | 2.80 | 0.2210 | 0.0131 | 4.61 | 2.80 | NO | 1.65 |
| N +20.00 | 2.80 | 0.1750 | 0.0105 | 4.20 | 2.80 | NO | 1.50 |
| N +17.20 | 2.80 | 0.1330 | 0.0085 | 4.06 | 2.80 | NO | 1.45 |
| N +14.40 | 2.80 | 0.0925 | 0.0059 | 4.07 | 2.80 | NO | 1.45 |
| N +11.60 | 2.80 | 0.0520 | 0.0020 | 3.84 | 2.80 | NO | 1.37 |
| N +8.80 | 2.80 | 0.0136 | 0.0011 | 1.13 | 2.80 | OK | 0.40 |
| N +6.00 | 2.80 | 0.0024 | 0.0006 | 0.22 | 2.80 | OK | 0.08 |
| N +3.20 | 3.20 | 0.0002 | 0.0001 | 0.02 | 3.20 | OK | 0.01 |
| <u>SISMO EN Y</u> | | Columna Eje Vertical: Caso de Carga: | | 9 | 4 | | |
| | Alt. piso | <i>d x</i> (m) | <i>d y</i> (m) | $\Delta\alpha$ (cm) | $\Delta\rho$ (cm) | % | |
| N +24.90 | 2.10 | 0.0328 | 0.0998 | 1.50 | 2.10 | OK | 0.71 |
| N +22.80 | 2.80 | 0.0290 | 0.0853 | 1.99 | 2.80 | OK | 0.71 |
| N +20.00 | 2.80 | 0.0244 | 0.0659 | 1.80 | 2.80 | OK | 0.64 |
| N +17.20 | 2.80 | 0.0211 | 0.0482 | 1.84 | 2.80 | OK | 0.66 |
| N +14.40 | 2.80 | 0.0149 | 0.0309 | 1.93 | 2.80 | OK | 0.69 |
| N +11.60 | 2.80 | 0.0073 | 0.0132 | 0.83 | 2.80 | OK | 0.29 |
| N +8.80 | 2.80 | 0.0022 | 0.0067 | 0.47 | 2.80 | OK | 0.17 |
| N +6.00 | 2.80 | 0.0002 | 0.0024 | 0.19 | 2.80 | OK | 0.07 |
| N +3.20 | 3.20 | 0.0000 | 0.0005 | 0.05 | 3.20 | OK | 0.02 |



| | | | | | |
|------|---|--------------------------|-------------------------|--|-----|
| Obra | ESTUDIO DE VULNERABILIDAD | Nº 2666 | Fecha 01/02/02 | | 062 |
| Item | CHEQUEO DE DERIVAS ESTRUCTURA MODIFICADA | Calculó A.P.B. | Revisó J.E.B. | | |

FT-04-11

Revision No. 1

$$\Delta_a = \sqrt{(\delta_{x1} - \delta_{x2})^2 + (\delta_{y1} - \delta_{y2})^2}$$

 $\Delta\alpha$ = Deriva del análisis. $\Delta\rho$ = Deriva permitida.
(0.01 h)SISMO EN XColumna Eje Vertical:
Caso de Carga:**14****2**

| | Alt. piso | d x (m) | d y (m) | $\Delta\alpha$ (cm) | $\Delta\rho$ (cm) | % |
|----------|-------------|-------------------|-------------------|------------------------|----------------------|---------|
| N +24.90 | 2.10 | 0.2490 | 0.0110 | 3.41 | 2.10 | NO 1.62 |
| N +22.80 | 2.80 | 0.2150 | 0.0090 | 4.51 | 2.80 | NO 1.61 |
| N +20.00 | 2.80 | 0.1700 | 0.0064 | 4.11 | 2.80 | NO 1.47 |
| N +17.20 | 2.80 | 0.1290 | 0.0040 | 3.97 | 2.80 | NO 1.42 |
| N +14.40 | 2.80 | 0.0893 | 0.0036 | 3.90 | 2.80 | NO 1.39 |
| N +11.60 | 2.80 | 0.0503 | 0.0021 | 3.78 | 2.80 | NO 1.35 |
| N +8.80 | 2.80 | 0.0125 | 0.0011 | 1.02 | 2.80 | OK 0.36 |
| N +6.00 | 2.80 | 0.0024 | 0.0006 | 0.22 | 2.80 | OK 0.08 |
| N +3.20 | 3.20 | 0.0002 | 0.0001 | 0.02 | 3.20 | OK 0.01 |

SISMO EN YColumna Eje Vertical:
Caso de Carga:**14****4**

| | Alt. piso | d x (m) | d y (m) | $\Delta\alpha$ (cm) | $\Delta\rho$ (cm) | % |
|----------|-------------|-------------------|-------------------|------------------------|----------------------|---------|
| N +24.90 | 2.10 | 0.0259 | 0.0926 | 1.43 | 2.10 | OK 0.68 |
| N +22.80 | 2.80 | 0.0228 | 0.0786 | 1.91 | 2.80 | OK 0.68 |
| N +20.00 | 2.80 | 0.0191 | 0.0599 | 1.77 | 2.80 | OK 0.63 |
| N +17.20 | 2.80 | 0.0168 | 0.0423 | 1.56 | 2.80 | OK 0.56 |
| N +14.40 | 2.80 | 0.0116 | 0.0276 | 1.61 | 2.80 | OK 0.58 |
| N +11.60 | 2.80 | 0.0055 | 0.0127 | 0.76 | 2.80 | OK 0.27 |
| N +8.80 | 2.80 | 0.0011 | 0.0064 | 0.43 | 2.80 | OK 0.15 |
| N +6.00 | 2.80 | 0.0002 | 0.0023 | 0.18 | 2.80 | OK 0.07 |
| N +3.20 | 3.20 | 0.0000 | 0.0005 | 0.05 | 3.20 | OK 0.01 |



| | | | | | | |
|------|--|---------|---------------|--------|-----------------|--|
| Obra | ESTUDIO DE VULNERABILIDAD TEATRO LA MEDIA TORTA | Nº | 2666 | Fecha | 01/02/02 | |
| Item | CHEQUEO DE DERIVAS ESTRUCTURA MODIFICADA | Calculó | A.P.B. | Revisó | J.E.B. | |

063

FT-04-11
Revision No. 1

$$\Delta_a = \sqrt{(\delta_{x1} - \delta_{x2})^2 + (\delta_{y1} - \delta_{y2})^2}$$

 $\Delta\alpha$ = Deriva del análisis. Δp = Deriva permitida.
(0.01 h)SISMO EN XColumna Eje Vertical:
Caso de Carga:17
2

| | Alt. piso | d x (m) | d y (m) | $\Delta\alpha$ (cm) | Δp (cm) | | % |
|----------|-------------|-------------------|-------------------|------------------------|--------------------|----|------|
| N +24.90 | 2.10 | 0.2470 | 0.0152 | 3.41 | 2.10 | NO | 1.62 |
| N +22.80 | 2.80 | 0.2130 | 0.0131 | 4.61 | 2.80 | NO | 1.65 |
| N +20.00 | 2.80 | 0.1670 | 0.0106 | 4.11 | 2.80 | NO | 1.47 |
| N +17.20 | 2.80 | 0.1260 | 0.0085 | 3.66 | 2.80 | NO | 1.31 |
| N +14.40 | 2.80 | 0.0895 | 0.0059 | 3.52 | 2.80 | NO | 1.26 |
| N +11.60 | 2.80 | 0.0545 | 0.0023 | 3.32 | 2.80 | NO | 1.19 |
| N +8.80 | 2.80 | 0.0213 | 0.0011 | 1.88 | 2.80 | OK | 0.67 |
| N +6.00 | 2.80 | 0.0026 | 0.0006 | 0.24 | 2.80 | OK | 0.09 |
| N +3.20 | 3.20 | 0.0002 | 0.0001 | 0.02 | 3.20 | OK | 0.01 |

SISMO EN YColumna Eje Vertical:
Caso de Carga:17
4

| | Alt. piso | d x (m) | d y (m) | $\Delta\alpha$ (cm) | Δp (cm) | | % |
|----------|-------------|-------------------|-------------------|------------------------|--------------------|----|------|
| N +24.90 | 2.10 | 0.0298 | 0.0998 | 1.57 | 2.10 | OK | 0.75 |
| N +22.80 | 2.80 | 0.0238 | 0.0853 | 2.06 | 2.80 | OK | 0.74 |
| N +20.00 | 2.80 | 0.0165 | 0.0660 | 1.85 | 2.80 | OK | 0.66 |
| N +17.20 | 2.80 | 0.0123 | 0.0480 | 1.71 | 2.80 | OK | 0.61 |
| N +14.40 | 2.80 | 0.0126 | 0.0309 | 1.77 | 2.80 | OK | 0.63 |
| N +11.60 | 2.80 | 0.0135 | 0.0132 | 0.84 | 2.80 | OK | 0.30 |
| N +8.80 | 2.80 | 0.0081 | 0.0067 | 0.90 | 2.80 | OK | 0.32 |
| N +6.00 | 2.80 | 0.0002 | 0.0024 | 0.19 | 2.80 | OK | 0.07 |
| N +3.20 | 3.20 | 0.0000 | 0.0005 | 0.05 | 3.20 | OK | 0.02 |

PCA

| | | | | | | |
|------|--|---------|--------|--------|----------|--|
| Obra | ESTUDIO DE VULNERABILIDAD TEATRO LA MEDIA TORTA | Nº | 2666 | Fecha | 01/02/02 | |
| Item | CHEQUEO DE DERIVAS ESTRUCTURA MODIFICADA | Calculó | A.P.B. | Revisó | J.E.B. | |

064FT-04-11
Revision No. 1

$$\Delta_a = \sqrt{(\delta_{x1} - \delta_{x2})^2 + (\delta_{y1} - \delta_{y2})^2}$$

 $\Delta\alpha$ = Deriva del análisis. $\Delta\rho$ = Deriva permitida.
(0.01 h)

| <u>SISMO EN X</u> | | Columna Eje Vertical: Caso de Carga: | 18 | 2 | | | |
|-------------------|-------------|---|-------------------|------------------------|----------------------|----|------|
| | Alt. piso | <i>d x</i> (m) | <i>d y</i> (m) | $\Delta\alpha$ (cm) | $\Delta\rho$ (cm) | % | |
| N +24.90 | 2.10 | 0.2390 | 0.0110 | 3.31 | 2.10 | NO | 1.57 |
| N +22.80 | 2.80 | 0.2060 | 0.0090 | 4.51 | 2.80 | NO | 1.61 |
| N +20.00 | 2.80 | 0.1610 | 0.0064 | 4.11 | 2.80 | NO | 1.47 |
| N +17.20 | 2.80 | 0.1200 | 0.0042 | 3.46 | 2.80 | NO | 1.24 |
| N +14.40 | 2.80 | 0.0854 | 0.0036 | 3.34 | 2.80 | NO | 1.19 |
| N +11.60 | 2.80 | 0.0520 | 0.0022 | 3.24 | 2.80 | NO | 1.16 |
| N +8.80 | 2.80 | 0.0196 | 0.0011 | 1.71 | 2.80 | OK | 0.61 |
| N +6.00 | 2.80 | 0.0026 | 0.0006 | 0.24 | 2.80 | OK | 0.09 |
| N +3.20 | 3.20 | 0.0002 | 0.0001 | 0.02 | 3.20 | OK | 0.01 |

| <u>SISMO EN Y</u> | | Columna Eje Vertical: Caso de Carga: | 18 | 4 | | | |
|-------------------|-------------|---|-------------------|------------------------|----------------------|----|------|
| | Alt. piso | <i>d x</i> (m) | <i>d y</i> (m) | $\Delta\alpha$ (cm) | $\Delta\rho$ (cm) | % | |
| N +24.90 | 2.10 | 0.0219 | 0.0926 | 1.49 | 2.10 | OK | 0.71 |
| N +22.80 | 2.80 | 0.0167 | 0.0786 | 1.97 | 2.80 | OK | 0.70 |
| N +20.00 | 2.80 | 0.0105 | 0.0599 | 1.78 | 2.80 | OK | 0.64 |
| N +17.20 | 2.80 | 0.0073 | 0.0424 | 1.49 | 2.80 | OK | 0.53 |
| N +14.40 | 2.80 | 0.0085 | 0.0276 | 1.51 | 2.80 | OK | 0.54 |
| N +11.60 | 2.80 | 0.0108 | 0.0127 | 0.77 | 2.80 | OK | 0.27 |
| N +8.80 | 2.80 | 0.0064 | 0.0064 | 0.74 | 2.80 | OK | 0.26 |
| N +6.00 | 2.80 | 0.0002 | 0.0023 | 0.18 | 2.80 | OK | 0.07 |
| N +3.20 | 3.20 | 0.0000 | 0.0005 | 0.05 | 3.20 | OK | 0.01 |



| | | | | | | |
|------|--|---------|---------------|--------|-----------------|--|
| Obra | ESTUDIO DE VULNERABILIDAD TEATRO LA MEDIA TORTA | Nº | 2666 | Fecha | 01/02/02 | |
| Item | CHEQUEO DE DERIVAS ESTRUCTURA MODIFICADA | Calculó | A.P.B. | Revisó | J.E.B. | |

065FT-04-11
Revision No. 1

$$\Delta_a = \sqrt{(\delta_{x1} - \delta_{x2})^2 + (\delta_{y1} - \delta_{y2})^2}$$

 $\Delta\alpha$ = Deriva del análisis. $\Delta\rho$ = Deriva permitida.
(0.01 h)

| <u>SISMO EN X</u> | | Columna Eje Vertical: Caso de Carga: | | 25 | | | | |
|-------------------|-------------|---|-------------------|------------------------|----------------------|----|------|---|
| | Alt. piso | <i>d x</i> (m) | <i>d y</i> (m) | $\Delta\alpha$ (cm) | $\Delta\rho$ (cm) | | | % |
| N +11.60 | 2.80 | 0.0574 | 0.0130 | 2.43 | 2.80 | OK | 0.87 | |
| N +8.80 | 2.80 | 0.0331 | 0.0132 | 3.29 | 2.80 | NO | 1.17 | |
| N +6.00 | 2.80 | 0.0028 | 0.0004 | 0.26 | 2.80 | OK | 0.09 | |
| N +3.20 | 3.20 | 0.0002 | 0.0001 | 0.03 | 3.20 | OK | 0.01 | |
| <u>SISMO EN Y</u> | | Columna Eje Vertical: Caso de Carga: | | 25 | | | | |
| | Alt. piso | <i>d x</i> (m) | <i>d y</i> (m) | $\Delta\alpha$ (cm) | $\Delta\rho$ (cm) | | | % |
| N +11.60 | 2.80 | 0.0264 | 0.0251 | 1.42 | 2.80 | OK | 0.51 | |
| N +8.80 | 2.80 | 0.0170 | 0.0145 | 2.06 | 2.80 | OK | 0.74 | |
| N +6.00 | 2.80 | 0.0003 | 0.0024 | 0.19 | 2.80 | OK | 0.07 | |
| N +3.20 | 3.20 | 0.0000 | 0.0005 | 0.05 | 3.20 | OK | 0.02 | |
| <u>SISMO EN X</u> | | Columna Eje Vertical: Caso de Carga: | | 28 | | | | |
| | Alt. piso | <i>d x</i> (m) | <i>d y</i> (m) | $\Delta\alpha$ (cm) | $\Delta\rho$ (cm) | | | % |
| N +11.60 | 2.80 | 0.0539 | 0.0134 | 2.32 | 2.80 | OK | 0.83 | |
| N +8.80 | 2.80 | 0.0307 | 0.0135 | 3.08 | 2.80 | NO | 1.10 | |
| N +6.00 | 2.80 | 0.0028 | 0.0004 | 0.26 | 2.80 | OK | 0.09 | |
| N +3.20 | 3.20 | 0.0002 | 0.0001 | 0.03 | 3.20 | OK | 0.01 | |
| <u>SISMO EN Y</u> | | Columna Eje Vertical: Caso de Carga: | | 28 | | | | |
| | Alt. piso | <i>d x</i> (m) | <i>d y</i> (m) | $\Delta\alpha$ (cm) | $\Delta\rho$ (cm) | | | % |
| N +11.60 | 2.80 | 0.0225 | 0.0248 | 1.32 | 2.80 | OK | 0.47 | |
| N +8.80 | 2.80 | 0.0144 | 0.0144 | 1.86 | 2.80 | OK | 0.66 | |
| N +6.00 | 2.80 | 0.0003 | 0.0023 | 0.18 | 2.80 | OK | 0.07 | |
| N +3.20 | 3.20 | 0.0000 | 0.0005 | 0.05 | 3.20 | OK | 0.02 | |



| | | | | | | | |
|------|--|---------|---------------|--------|-----------------|--|------------|
| Obra | ESTUDIO DE VULNERABILIDAD TEATRO LA MEDIA TORTA | Nº | 2666 | Fecha | 01/02/02 | | |
| Item | CHEQUEO DE DERIVAS ESTRUCTURA MODIFICADA | Calculó | A.P.B. | Revisó | J.E.B. | | 066 |

FT-04-11
Revision No. 1

$$\Delta_a = \sqrt{(\delta_{x1} - \delta_{x2})^2 + (\delta_{y1} - \delta_{y2})^2}$$

$\Delta\alpha$ = Deriva del análisis.

$\Delta\rho$ = Deriva permitida.
(0.01 h)

| <u>SISMO EN X</u> | | Columna Eje Vertical: Caso de Carga: | 2 | 2 | % | | |
|-------------------|-------------|---|-------------------|------------------------|----------------------|----|------|
| | Alt. piso | d x (m) | d y (m) | $\Delta\alpha$ (cm) | $\Delta\rho$ (cm) | | |
| N +6.00 | 2.80 | 0.0021 | 0.0004 | 0.21 | 2.80 | OK | 0.08 |
| N +3.20 | 3.20 | 0.0000 | 0.0000 | 0.00 | 3.20 | OK | 0.00 |
| <u>SISMO EN Y</u> | | Columna Eje Vertical: Caso de Carga: | 2 | 4 | % | | |
| | Alt. piso | d x (m) | d y (m) | $\Delta\alpha$ (cm) | $\Delta\rho$ (cm) | | |
| N +6.00 | 2.80 | 0.0002 | 0.0024 | 0.24 | 2.80 | OK | 0.09 |
| N +3.20 | 3.20 | 0.0000 | 0.0000 | 0.00 | 3.20 | OK | 0.00 |
| <u>SISMO EN X</u> | | Columna Eje Vertical: Caso de Carga: | 5 | 2 | % | | |
| | Alt. piso | d x (m) | d y (m) | $\Delta\alpha$ (cm) | $\Delta\rho$ (cm) | | |
| N +6.00 | 2.80 | 0.0021 | 0.0004 | 0.21 | 2.80 | OK | 0.08 |
| N +3.20 | 3.20 | 0.0000 | 0.0000 | 0.00 | 3.20 | OK | 0.00 |
| <u>SISMO EN Y</u> | | Columna Eje Vertical: Caso de Carga: | 5 | 4 | % | | |
| | Alt. piso | d x (m) | d y (m) | $\Delta\alpha$ (cm) | $\Delta\rho$ (cm) | | |
| N +6.00 | 2.80 | 0.0002 | 0.0023 | 0.23 | 2.80 | OK | 0.08 |
| N +3.20 | 3.20 | 0.0000 | 0.0000 | 0.00 | 3.20 | OK | 0.00 |

+



| | | | | | | | |
|------|--|---------|---------------|--------|-----------------|--|------------|
| Obra | ESTUDIO DE VULNERABILIDAD TEATRO LA MEDIA TORTA | Nº | 2666 | Fecha | 01/02/02 | | |
| Item | CHEQUEO DE DERIVAS ESTRUCTURA MODIFICADA | Calculó | A.P.B. | Revisó | J.E.B. | | 067 |

FT-04-11
Revision No. 1

$$\Delta_a = \sqrt{(\delta_{x1} - \delta_{x2})^2 + (\delta_{y1} - \delta_{y2})^2}$$

$\Delta\alpha$ = Deriva del análisis.

$\Delta\rho$ = Deriva permitida.
(0.01 h)

DERIVAS DE TORRES SIN DIAGONALES

SISMO EN X

Columna Eje Vertical:
Caso de Carga:

9
2

| | Alt.. piso | d x (m) | d y (m) | $\Delta\alpha$ (cm) | $\Delta\rho$ (cm) | % |
|----------|-------------|-------------------|-------------------|------------------------|----------------------|---------|
| N +24.90 | 2.10 | 0.3530 | 0.0234 | 4.00 | 2.10 | NO 1.91 |
| N +22.80 | 2.80 | 0.3130 | 0.0217 | 6.81 | 2.80 | NO 2.43 |
| N +20.00 | 2.80 | 0.2450 | 0.0190 | 6.60 | 2.80 | NO 2.36 |
| N +17.20 | 2.80 | 0.1790 | 0.0166 | 6.63 | 2.80 | NO 2.37 |
| N +14.40 | 2.80 | 0.1130 | 0.0104 | 7.14 | 2.80 | NO 2.55 |
| N +11.60 | 2.80 | 0.0420 | 0.0025 | 3.22 | 2.80 | NO 1.15 |
| N +8.80 | 2.80 | 0.0098 | 0.0015 | 0.79 | 2.80 | OK 0.28 |
| N +6.00 | 2.80 | 0.0020 | 0.0008 | 0.19 | 2.80 | OK 0.07 |
| N +3.20 | 3.20 | 0.0002 | 0.0002 | 0.02 | 3.20 | OK 0.01 |

SISMO EN Y

Columna Eje Vertical:
Caso de Carga:

9
4

| | Alt. piso | d x (m) | d y (m) | $\Delta\alpha$ (cm) | $\Delta\rho$ (cm) | % |
|----------|-------------|-------------------|-------------------|------------------------|----------------------|---------|
| N +24.90 | 2.10 | 0.0659 | 0.2020 | 2.35 | 2.10 | NO 1.12 |
| N +22.80 | 2.80 | 0.0609 | 0.1790 | 4.49 | 2.80 | NO 1.60 |
| N +20.00 | 2.80 | 0.0520 | 0.1350 | 4.67 | 2.80 | NO 1.67 |
| N +17.20 | 2.80 | 0.0418 | 0.0894 | 4.54 | 2.80 | NO 1.62 |
| N +14.40 | 2.80 | 0.0235 | 0.0479 | 4.27 | 2.80 | NO 1.53 |
| N +11.60 | 2.80 | 0.0063 | 0.0088 | 0.55 | 2.80 | OK 0.20 |
| N +8.80 | 2.80 | 0.0026 | 0.0048 | 0.35 | 2.80 | OK 0.13 |
| N +6.00 | 2.80 | 0.0003 | 0.0021 | 0.16 | 2.80 | OK 0.06 |
| N +3.20 | 3.20 | 0.0000 | 0.0005 | 0.05 | 3.20 | OK 0.02 |

PCA

| | | | | | |
|------|--|---------|--------|--------|----------|
| Obra | ESTUDIO DE VULNERABILIDAD TEATRO LA MEDIA TORTA | Nº | 2666 | Fecha | 01/02/02 |
| Item | CHEQUEO DE DERIVAS ESTRUCTURA MODIFICADA | Calculo | A.P.B. | Revisó | J.E.B. |

068

FT-04-11
Revision No. 1

$$\Delta_a = \sqrt{(\delta_{x1} - \delta_{x2})^2 + (\delta_{y1} - \delta_{y2})^2}$$

 Δ_a = Deriva del análisis. Δ_p = Deriva permitida.
(0.01 h)**DERIVAS DE TORRES SIN DIAGONALES**

| <u>SISMO EN X</u> | | Columna Eje Vertical: Caso de Carga: | | 14 | 2 | | | |
|-------------------|-------------|---|-------------------|--------------------|--------------------|----|------|--|
| | Alt. piso | d x (m) | d y (m) | Δ_a (cm) | Δ_p (cm) | % | | |
| N +24.90 | 2.10 | 0.3480 | 0.0051 | 4.00 | 2.10 | NO | 1.91 | |
| N +22.80 | 2.80 | 0.3080 | 0.0034 | 6.70 | 2.80 | NO | 2.39 | |
| N +20.00 | 2.80 | 0.2410 | 0.0009 | 6.50 | 2.80 | NO | 2.32 | |
| N +17.20 | 2.80 | 0.1760 | -0.0005 | 6.61 | 2.80 | NO | 2.36 | |
| N +14.40 | 2.80 | 0.1100 | 0.0025 | 6.96 | 2.80 | NO | 1.13 | |
| N +11.60 | 2.80 | 0.0404 | 0.0027 | 3.16 | 2.80 | OK | 0.24 | |
| N +8.80 | 2.80 | 0.0088 | 0.0017 | 0.69 | 2.80 | OK | 0.07 | |
| N +6.00 | 2.80 | 0.0020 | 0.0009 | 0.19 | 2.80 | OK | 0.01 | |
| N +3.20 | 3.20 | 0.0002 | 0.0002 | 0.02 | 3.20 | OK | 0.01 | |
| <u>SISMO EN Y</u> | | Columna Eje Vertical: Caso de Carga: | | 14 | 4 | | | |
| | Alt. piso | d x (m) | d y (m) | Δ_a (cm) | Δ_p (cm) | % | | |
| N +24.90 | 2.10 | 0.0608 | 0.1810 | 2.25 | 2.10 | NO | 1.07 | |
| N +22.80 | 2.80 | 0.0581 | 0.1590 | 4.48 | 2.80 | NO | 1.60 | |
| N +20.00 | 2.80 | 0.0477 | 0.1150 | 4.48 | 2.80 | NO | 1.60 | |
| N +17.20 | 2.80 | 0.0382 | 0.0712 | 3.65 | 2.80 | NO | 1.30 | |
| N +14.40 | 2.80 | 0.0206 | 0.0392 | 3.47 | 2.80 | NO | 1.24 | |
| N +11.60 | 2.80 | 0.0045 | 0.0084 | 0.51 | 2.80 | OK | 0.18 | |
| N +8.80 | 2.80 | 0.0012 | 0.0044 | 0.28 | 2.80 | OK | 0.10 | |
| N +6.00 | 2.80 | 0.0003 | 0.0018 | 0.14 | 2.80 | OK | 0.05 | |
| N +3.20 | 3.20 | 0.0000 | 0.0004 | 0.04 | 3.20 | OK | 0.01 | |



| | | | | | | | |
|------|--|---------|--------|--------|----------|--|------------|
| Obra | ESTUDIO DE VULNERABILIDAD TEATRO LA MEDIA TORTA | Nº | 2666 | Fecha | 01/02/02 | | |
| Item | CHEQUEO DE DERIVAS ESTRUCTURA MODIFICADA | Calculó | A.P.B. | Revisó | J.E.B. | | 069 |

FT-04-11
Revision No. 1

$$\Delta_a = \sqrt{(\delta_{x1} - \delta_{x2})^2 + (\delta_{y1} - \delta_{y2})^2}$$

Δ_a = Deriva del análisis.

Δ_p = Deriva permitida.
(0.01 h)

DERIVAS DE TORRES SIN DIAGONALES

| SISMO EN X | | Columna Eje Vertical: Caso de Carga: | | 17 | | | |
|------------|-------------|---|-------------------|--------------------|--------------------|----|------|
| | Alt. piso | <i>d x</i> (m) | <i>d y</i> (m) | Δa (cm) | Δp (cm) | | % |
| N +24.90 | 2.10 | 0.3230 | 0.0234 | 3.90 | 2.10 | NO | 1.86 |
| N +22.80 | 2.80 | 0.2840 | 0.0217 | 6.81 | 2.80 | NO | 2.43 |
| N +20.00 | 2.80 | 0.2160 | 0.0190 | 6.30 | 2.80 | NO | 2.25 |
| N +17.20 | 2.80 | 0.1530 | 0.0165 | 5.24 | 2.80 | NO | 1.87 |
| N +14.40 | 2.80 | 0.1010 | 0.0104 | 5.76 | 2.80 | NO | 2.06 |
| N +11.60 | 2.80 | 0.0439 | 0.0026 | 2.62 | 2.80 | OK | 0.94 |
| N +8.80 | 2.80 | 0.0177 | 0.0015 | 1.55 | 2.80 | OK | 0.55 |
| N +6.00 | 2.80 | 0.0022 | 0.0008 | 0.21 | 2.80 | OK | 0.07 |
| N +3.20 | 3.20 | 0.0002 | 0.0002 | 0.03 | 3.20 | OK | 0.01 |
| SISMO EN Y | | Columna Eje Vertical: Caso de Carga: | | 17 | | | |
| | Alt. piso | <i>d x</i> (m) | <i>d y</i> (m) | Δa (cm) | Δp (cm) | | % |
| N +24.90 | 2.10 | 0.0572 | 0.2020 | 2.45 | 2.10 | NO | 1.16 |
| N +22.80 | 2.80 | 0.0489 | 0.1790 | 4.66 | 2.80 | NO | 1.66 |
| N +20.00 | 2.80 | 0.0335 | 0.1350 | 4.83 | 2.80 | NO | 1.72 |
| N +17.20 | 2.80 | 0.0180 | 0.0893 | 4.20 | 2.80 | NO | 1.50 |
| N +14.40 | 2.80 | 0.0111 | 0.0479 | 3.91 | 2.80 | NO | 1.40 |
| N +11.60 | 2.80 | 0.0103 | 0.0088 | 0.57 | 2.80 | OK | 0.20 |
| N +8.80 | 2.80 | 0.0063 | 0.0048 | 0.65 | 2.80 | OK | 0.23 |
| N +6.00 | 2.80 | 0.0004 | 0.0021 | 0.16 | 2.80 | OK | 0.06 |
| N +3.20 | 3.20 | 0.0000 | 0.0005 | 0.05 | 3.20 | OK | 0.02 |



| | | | | | | | |
|------|--|---------|--------|--------|----------|--|-----|
| Obra | ESTUDIO DE VULNERABILIDAD TEATRO LA MEDIA TORTA | Nº | 2666 | Fecha | 01/02/02 | | |
| Item | CHEQUEO DE DERIVAS ESTRUCTURA MODIFICADA | Calculó | A.P.B. | Revisó | J.E.B. | | 070 |

FT 04-11
Revision No. 1

$$\Delta_a = \sqrt{(\delta_{x1} - \delta_{x2})^2 + (\delta_{y1} - \delta_{y2})^2}$$

$\Delta\alpha$ = Deriva del análisis.

$\Delta\rho$ = Deriva permitida.
(0.01 h)

DERIVAS DE TORRES SIN DIAGONALES

SISMO EN X

Columna Eje Vertical:

18

Caso de Carga:

2

| | Alt. piso | d x (m) | d y (m) | $\Delta\alpha$ (cm) | $\Delta\rho$ (cm) | % |
|----------|-------------|-------------------|-------------------|------------------------|----------------------|---------|
| N +24.90 | 2.10 | 0.3170 | 0.0051 | 3.90 | 2.10 | NO 1.86 |
| N +22.80 | 2.80 | 0.2780 | 0.0035 | 6.71 | 2.80 | NO 2.39 |
| N +20.00 | 2.80 | 0.2110 | 0.0009 | 6.20 | 2.80 | NO 2.21 |
| N +17.20 | 2.80 | 0.1490 | -0.0004 | 5.24 | 2.80 | NO 1.87 |
| N +14.40 | 2.80 | 0.0967 | 0.0025 | 5.53 | 2.80 | NO 1.98 |
| N +11.60 | 2.80 | 0.0414 | 0.0027 | 2.54 | 2.80 | OK 0.91 |
| N +8.80 | 2.80 | 0.0160 | 0.0017 | 1.38 | 2.80 | OK 0.49 |
| N +6.00 | 2.80 | 0.0022 | 0.0009 | 0.21 | 2.80 | OK 0.07 |
| N +3.20 | 3.20 | 0.0002 | 0.0002 | 0.03 | 3.20 | OK 0.01 |

SISMO EN Y

Columna Eje Vertical:

18

Caso de Carga:

4

| | Alt. piso | d x (m) | d y (m) | $\Delta\alpha$ (cm) | $\Delta\rho$ (cm) | % |
|----------|-------------|-------------------|-------------------|------------------------|----------------------|---------|
| N +24.90 | 2.10 | 0.0509 | 0.1810 | 2.34 | 2.10 | NO 1.11 |
| N +22.80 | 2.80 | 0.0429 | 0.1590 | 4.64 | 2.80 | NO 1.66 |
| N +20.00 | 2.80 | 0.0283 | 0.1150 | 4.61 | 2.80 | NO 1.65 |
| N +17.20 | 2.80 | 0.0136 | 0.0713 | 3.27 | 2.80 | NO 1.17 |
| N +14.40 | 2.80 | 0.0074 | 0.0392 | 3.08 | 2.80 | NO 1.10 |
| N +11.60 | 2.80 | 0.0078 | 0.0084 | 0.51 | 2.80 | OK 0.18 |
| N +8.80 | 2.80 | 0.0046 | 0.0044 | 0.50 | 2.80 | OK 0.18 |
| N +6.00 | 2.80 | 0.0004 | 0.0018 | 0.14 | 2.80 | OK 0.05 |
| N +3.20 | 3.20 | 0.0000 | 0.0004 | 0.04 | 3.20 | OK 0.01 |



| | | | | | |
|------|--|-------------------|-------------------|--|--|
| Obra | ESTUDIO DE VULNERABILIDAD | Nº 2666 | Fecha 01/02/02 | | |
| Item | I.S. FLEXO-COMPRESIÓN EN COLUMNAS ESTRUCTURA MODIFICADA | Calculó A.P.B. | Revisó J.E.B. | | |

071

N +24.90

| COL ID | COLUMN MAJOR X (m) | SIZE MINOR (m) | STR PT | PU (T) | MMAJ (T-m) | MMIN (T-m) | COMBO | RATIO | øc | øe | IS |
|-----------|--------------------------|----------------------|------------|-----------|---------------|---------------|--------------|--------------|------------|------------|--------------|
| 9 | 0.25 X 0.25 RR-3- 3 | | TOP BOT | 4 0 | 0 0 | 1 0 | < 9> < 6> | 0.25 0.19 | 1.0 1.0 | 1.0 1.0 | 0.25 0.19 |
| 14 | 0.25 X 0.25 RR-3- 3 | | TOP BOT | 0 0 | 0 0 | 1 0 | < 6> < 6> | 0.20 0.15 | 1.0 1.0 | 1.0 1.0 | 0.20 0.15 |
| 15 | 0.25 X 0.25 RR-3- 3 | | TOP BOT | 0 0 | 0 0 | 0 0 | < 2> < 2> | 0.20 0.13 | 1.0 1.0 | 1.0 1.0 | 0.20 0.13 |
| 16 | 0.25 X 0.25 RR-3- 3 | | TOP BOT | 0 0 | 0 0 | 0 0 | < 2> < 2> | 0.20 0.14 | 1.0 1.0 | 1.0 1.0 | 0.20 0.14 |
| 17 | 0.25 X 0.25 RR-3- 3 | | TOP BOT | 0 0 | 0 0 | 1 0 | < 2> < 2> | 0.20 0.15 | 1.0 1.0 | 1.0 1.0 | 0.20 0.15 |
| 18 | 0.25 X 0.25 RR-3- 3 | | TOP BOT | 0 0 | 0 0 | 0 0 | < 2> < 2> | 0.19 0.15 | 1.0 1.0 | 1.0 1.0 | 0.19 0.15 |

Nota: Si el índice de sobre-esfuerzo (IS) es menor o igual a 1.0, la resistencia efectiva del elemento a flexión es adecuada.
COL ID corresponde a la ubicación de la columna en el modelo estructural.



| | | | | | |
|------|--|----------------|----------------|--|-----|
| Obra | ESTUDIO DE VULNERABILIDAD | Nº 2666 | Fecha 01/02/02 | | |
| | TEATRO LA MEDIA TORTA | | | | |
| Item | I.S. FLEXO-COMPRESIÓN EN COLUMNAS ESTRUCTURA MODIFICADA | Calculó A.P.B. | Revisó J.E.B. | | 072 |

N+22.80

| COL ID | COLUMN MAJOR X (m) | SIZE MINOR (m) | STR PT | PU (T) | MMAJ (T-m) | MMIN (T-m) | COMBO | RATIO | RC | RE | IS |
|--------|------------------------|-------------------|--------|--------|------------|------------|-------|-------|-----|-----|------|
| 9 | 0.25 X 0.25 RR-3- 3 | | TOP | -3 | 0 | 0 | <14> | 0.13 | 1.0 | 1.0 | 0.13 |
| | | | BOT | -2 | 0 | 0 | < 6> | 0.16 | 1.0 | 1.0 | 0.16 |
| 14 | 0.25 X 0.25 RR-3- 3 | | TOP | -2 | 0 | 0 | <14> | 0.12 | 1.0 | 1.0 | 0.12 |
| | | | BOT | -1 | 0 | 0 | < 6> | 0.15 | 1.0 | 1.0 | 0.15 |
| 15 | 0.25 X 0.25 RR-3- 3 | | TOP | -6 | 0 | 0 | <10> | 0.16 | 1.0 | 1.0 | 0.16 |
| | | | BOT | -5 | 0 | 0 | < 2> | 0.2 | 1.0 | 1.0 | 0.20 |
| 16 | 0.25 X 0.25 RR-3- 3 | | TOP | -6 | 0 | 0 | <10> | 0.16 | 1.0 | 1.0 | 0.16 |
| | | | BOT | -6 | 0 | 0 | <10> | 0.18 | 1.0 | 1.0 | 0.18 |
| 17 | 0.25 X 0.25 RR-3- 3 | | TOP | -2 | 0 | 0 | <10> | 0.12 | 1.0 | 1.0 | 0.12 |
| | | | BOT | -2 | 0 | 0 | <10> | 0.14 | 1.0 | 1.0 | 0.14 |
| 18 | 0.25 X 0.25 RR-3- 3 | | TOP | -2 | 0 | 0 | <10> | 0.12 | 1.0 | 1.0 | 0.12 |
| | | | BOT | -1 | 0 | 0 | < 2> | 0.15 | 1.0 | 1.0 | 0.15 |

Nota: Si el índice de sobre-esfuerzo (IS) es menor ó igual a 1.0, la resistencia efectiva del elemento a flexión es adecuada.
 COL ID corresponde a la ubicación de la columna en el modelo estructural.



| | | | | | | | |
|------|--|---------|--------|--------|----------|--|--|
| Obra | ESTUDIO DE VULNERABILIDAD | Nº | 2666 | Fecha | 01/02/02 | | |
| | TEATRO LA MÉDIA TORTA | | | | | | |
| Item | I.S. FLEXO-COMPRESIÓN EN COLUMNAS ESTRUCTURA MODIFICADA | Calculó | A.P.B. | Revisó | J.E.B. | | |

073

N +20.00

| COL ID | COLUMN MAJOR X (m) | SIZE MINOR (m) | STR PT | PU (t) | MMAJ (T-m) | MMIN (T-m) | COMBO | RATIO | ρc | ρe | IS |
|--------|--------------------------|----------------------|--------|-----------|---------------|---------------|-------|-------|-----|-----|------|
| 9 | | 0.25 X 0.25 | | | | | | | | | |
| | RR-3- 3 | | | | | | | | | | |
| | | | TOP | 20 | 0 | 0 | < 9> | 0.25 | 1.0 | 1.0 | 0.25 |
| | | | BOT | 20 | 1 | 0 | < 9> | 0.37 | 1.0 | 1.0 | 0.37 |
| 14 | | 0.25 X 0.25 | | | | | | | | | |
| | RR-3- 3 | | | | | | | | | | |
| | | | TOP | 19 | 0 | 0 | < 9> | 0.17 | 1.0 | 1.0 | 0.17 |
| | | | BOT | -5 | 1 | 0 | < 6> | 0.25 | 1.0 | 1.0 | 0.25 |
| 15 | | 0.25 X 0.25 | | | | | | | | | |
| | RR-3- 3 | | | | | | | | | | |
| | | | TOP | -12 | 0 | 0 | <10> | 0.2 | 1.0 | 1.0 | 0.20 |
| | | | BOT | -11 | 0 | 0 | < 2> | 0.25 | 1.0 | 1.0 | 0.25 |
| 16 | | 0.25 X 0.25 | | | | | | | | | |
| | RR-3- 3 | | | | | | | | | | |
| | | | TOP | -10 | 0 | 0 | < 2> | 0.21 | 1.0 | 1.0 | 0.21 |
| | | | BOT | -10 | 0 | 1 | < 2> | 0.28 | 1.0 | 1.0 | 0.28 |
| 17 | | 0.25 X 0.25 | | | | | | | | | |
| | RR-3- 3 | | | | | | | | | | |
| | | | TOP | 19 | 0 | 0 | < 5> | 0.17 | 1.0 | 1.0 | 0.17 |
| | | | BOT | 18 | 0 | 0 | < 9> | 0.19 | 1.0 | 1.0 | 0.19 |
| 18 | | 0.25 X 0.25 | | | | | | | | | |
| | RR-3- 3 | | | | | | | | | | |
| | | | TOP | 18 | 0 | 0 | < 5> | 0.15 | 1.0 | 1.0 | 0.15 |
| | | | BOT | 18 | 0 | 0 | < 5> | 0.16 | 1.0 | 1.0 | 0.16 |

Nota: Si el índice de sobre-esfuerzo (IS) es menor o igual a 1.0, la resistencia efectiva del elemento a flexión es adecuada.
 COL ID corresponde a la ubicación de la columna en el modelo estructural.



| | | | | | |
|------|--|----------------|----------------|--|--|
| Obra | ESTUDIO DE VULNERABILIDAD | Nº 2666 | Fecha 01/02/02 | | |
| Item | I.S. FLEXO-COMPRESIÓN EN COLUMNAS ESTRUCTURA MODIFICADA | Calculó A.P.B. | Revisó J.E.B. | | |

074

N +17.20

| COL ID | COLUMN MAJOR X (m) | SIZE MINOR (m) | STR PT | PU (T) | MMAJ (T-m) | MMIN (T-m) | COMBO | RATIO | ØC | øe | IS |
|--------|------------------------|-------------------|--------|--------|------------|------------|-------|-------|-----|-----|------|
| 9 | 0.25 X 0.25 RR-3- 3 | | TOP | 27 | 1 | 0 | < 9> | 0.43 | 1.0 | 1.0 | 0.43 |
| | | | BOT | 12 | 9 | 1 | < 1> | 1.59 | 1.0 | 1.0 | 1.59 |
| 14 | 0.25 X 0.25 RR-3- 3 | | TOP | 28 | 1 | 0 | < 9> | 0.29 | 1.0 | 1.0 | 0.29 |
| | | | BOT | 13 | 9 | 2 | < 1> | 1.25 | 1.0 | 1.0 | 1.25 |
| 15 | 0.25 X 0.25 RR-3- 3 | | TOP | 34 | 0 | 1 | < 5> | 0.28 | 1.0 | 1.0 | 0.28 |
| | | | BOT | -15 | 0 | 2 | < 2> | 0.41 | 1.0 | 1.0 | 0.41 |
| 16 | 0.25 X 0.25 RR-3- 3 | | TOP | -17 | 0 | 0 | < 2> | 0.26 | 1.0 | 1.0 | 0.26 |
| | | | BOT | -17 | 0 | 1 | < 2> | 0.4 | 1.0 | 1.0 | 0.40 |
| 17 | 0.25 X 0.25 RR-3- 3 | | TOP | 25 | 0 | 0 | < 5> | 0.19 | 1.0 | 1.0 | 0.19 |
| | | | BOT | 25 | 0 | 0 | < 5> | 0.21 | 1.0 | 1.0 | 0.21 |
| 18 | 0.25 X 0.25 RR-3- 3 | | TOP | 27 | 0 | 1 | < 5> | 0.24 | 1.0 | 1.0 | 0.24 |
| | | | BOT | 27 | 0 | 1 | < 5> | 0.28 | 1.0 | 1.0 | 0.28 |

Nota: Si el índice de sobre-esfuerzo (IS) es menor o igual a 1.0, la resistencia efectiva del elemento a flexión es adecuada.
COL ID corresponde a la ubicación de la columna en el modelo estructural.



| | | | | | |
|------|--|----------------|----------------|--|-----|
| Obra | ESTUDIO DE VULNERABILIDAD | Nº 2666 | Fecha 01/02/02 | | |
| | TEATRO LA MEDIA TORTA | | | | |
| Item | I.S. FLEXO-COMPRESIÓN EN COLUMNAS ESTRUCTURA MODIFICADA | Calculó A.P.B. | Revisó J.E.B. | | 075 |

N +14.40

| COL ID | COLUMN MAJOR X (m) | SIZE MINOR (m) | STR PT | PU (T) | MMAJ (T-m) | MMIN (T-m) | COMBO | RATIO | øc | øe | IS |
|--------|--------------------------|----------------------|------------|------------|---------------|---------------|--------------|--------------|------------|------------|--------------|
| 9 | 0.25 X 0.25 RR-3- 3 | | TOP BOT | 24 43 | 10 2 | 1 1 | < 1> < 9> | 1.55 0.63 | 1.0 1.0 | 1.0 1.0 | 1.55 0.63 |
| 14 | 0.25 X 0.25 RR-3- 3 | | TOP BOT | 40 54 | 12 2 | 3 1 | < 1> < 9> | 1.4 0.52 | 1.0 1.0 | 1.0 1.0 | 1.40 0.52 |
| 15 | 0.25 X 0.25 RR-3- 3 | | TOP BOT | 56 56 | 1 1 | 3 3 | < 5> < 5> | 0.55 0.52 | 1.0 1.0 | 1.0 1.0 | 0.55 0.52 |
| 16 | 0.25 X 0.25 RR-3- 3 | | TOP BOT | -34 -34 | 1 0 | 2 2 | < 2> < 2> | 0.56 0.57 | 1.0 1.0 | 1.0 1.0 | 0.56 0.57 |
| 17 | 0.25 X 0.25 RR-3- 3 | | TOP BOT | -15 -15 | 1 0 | 0 1 | < 2> < 6> | 0.28 0.32 | 1.0 1.0 | 1.0 1.0 | 0.28 0.32 |
| 18 | 0.25 X 0.25 RR-3- 3 | | TOP BOT | 40 40 | 1 1 | 2 2 | < 9> < 9> | 0.37 0.36 | 1.0 1.0 | 1.0 1.0 | 0.37 0.36 |

Nota: Si el índice de sobre-esfuerzo (IS) es menor o igual a 1.0, la resistencia efectiva del elemento a flexión es adecuada.
 COL ID corresponde a la ubicación de la columna en el modelo estructural.



| | | | | | |
|------|--|----------------|----------------|--|-----|
| Obra | ESTUDIO DE VULNERABILIDAD | Nº 2666 | Fecha 01/02/02 | | 076 |
| | I.S. FLEXO-COMPRESIÓN EN COLUMNAS ESTRUCTURA MODIFICADA | Calculó A.P.B. | Revisó J.E.B. | | |

N +11.60

| COL ID | COLUMN MAJOR X (m) | SIZE (m) | STR PT | PU | MMAJ (T-m) | MMIN (T-m) | COMBO | RATIO | øc | øe | IS |
|--------|------------------------|-------------|--------|-----|---------------|---------------|-------|-------|-----|-----|------|
| 9 | 0.25 X 0.25 RR-3- 3 | | TOP | 14 | 2 | 0 | < 5> | 0.31 | 1.0 | 1.0 | 0.31 |
| | | | BOT | 14 | 2 | 0 | < 5> | 0.39 | 1.0 | 1.0 | 0.39 |
| 14 | 0.25 X 0.25 RR-3- 3 | | TOP | 17 | 2 | 0 | < 5> | 0.28 | 1.0 | 1.0 | 0.28 |
| | | | BOT | 17 | 2 | 0 | < 5> | 0.3 | 1.0 | 1.0 | 0.30 |
| 15 | 0.25 X 0.25 RR-3- 3 | | TOP | 66 | 1 | 3 | < 5> | 0.57 | 1.0 | 1.0 | 0.57 |
| | | | BOT | 66 | 1 | 3 | < 5> | 0.55 | 1.0 | 1.0 | 0.55 |
| 16 | 0.25 X 0.25 RR-3- 3 | | TOP | -36 | 1 | 2 | < 2> | 0.56 | 1.0 | 1.0 | 0.56 |
| | | | BOT | -36 | 1 | 2 | < 2> | 0.57 | 1.0 | 1.0 | 0.57 |
| 17 | 0.25 X 0.25 RR-3- 3 | | TOP | -9 | 2 | 0 | < 2> | 0.28 | 1.0 | 1.0 | 0.28 |
| | | | BOT | -9 | 2 | 0 | < 2> | 0.3 | 1.0 | 1.0 | 0.30 |
| 18 | 0.25 X 0.25 RR-3- 3 | | TOP | -7 | 2 | 0 | <10> | 0.24 | 1.0 | 1.0 | 0.24 |
| | | | BOT | -6 | 2 | 0 | < 2> | 0.26 | 1.0 | 1.0 | 0.26 |
| 19 | 0.25 X 0.25 RR-2- 2 | | TOP | 9 | 3 | 1 | < 5> | 0.98 | 1.0 | 1.0 | 0.98 |
| | | | BOT | 5 | 2 | 2 | < 2> | 0.89 | 1.0 | 1.0 | 0.89 |
| 22 | 0.25 X 0.25 RR-2- 2 | | TOP | 1 | 2 | 1 | <10> | 0.7 | 1.0 | 1.0 | 0.70 |
| | | | BOT | 4 | 2 | 2 | < 2> | 0.64 | 1.0 | 1.0 | 0.64 |
| 23 | 0.25 X 0.25 RR-2- 2 | | TOP | 5 | 0 | 2 | < 5> | 0.62 | 1.0 | 1.0 | 0.62 |
| | | | BOT | 5 | 0 | 2 | < 5> | 0.54 | 1.0 | 1.0 | 0.54 |
| 24 | 0.25 X 0.25 RR-2- 2 | | TOP | 1 | 0 | 2 | <10> | 0.48 | 1.0 | 1.0 | 0.48 |
| | | | BOT | 1 | 0 | 2 | <10> | 0.43 | 1.0 | 1.0 | 0.43 |
| 25 | 0.25 X 0.25 RR-2- 2 | | TOP | 1 | 0 | 2 | <10> | 0.36 | 1.0 | 1.0 | 0.36 |
| | | | BOT | 2 | 0 | 2 | < 2> | 0.37 | 1.0 | 1.0 | 0.37 |
| 28 | 0.25 X 0.25 RR-2- 2 | | TOP | 1 | 0 | 2 | <10> | 0.36 | 1.0 | 1.0 | 0.36 |
| | | | BOT | 2 | 1 | 2 | < 2> | 0.37 | 1.0 | 1.0 | 0.37 |

Nota: Si el índice de sobre-esfuerzo (IS) es menor o igual a 1.0, la resistencia efectiva del elemento a flexión es adecuada.
COL ID corresponde a la ubicación de la columna en el modelo estructural.



| | | | | | |
|------|--|---------|--------|--------|----------|
| Obra | ESTUDIO DE VULNERABILIDAD TEATRO LA MEDIA TORTA | Nº | 2666 | Fecha | 01/02/02 |
| Item | I.S. FLEXO-COMPRESIÓN EN COLUMNAS ESTRUCTURA MODIFICADA | Calculó | A.P.B. | Revisó | J.E.B. |

077

N +8.80

| COL ID | COLUMN MAJOR X (m) | SIZE MINOR (m) | STR PT | PU (T) | MMAJ (T-m) | MMIN (T-m) | COMBO | RATIO | øC | øe | IS |
|--------|-----------------------|------------------------|------------|------------|------------|------------|--------------|--------------|------------|------------|--------------|
| 9 | | 0.25 X 0.25 RR-3- 3 | TOP BOT | 17 17 | 0 0 | 0 0 | < 9> < 9> | 0.15 0.15 | 1.0 1.0 | 1.0 1.0 | 0.15 0.15 |
| 14 | | 0.25 X 0.25 RR-3- 3 | TOP BOT | 20 20 | 0 0 | 0 0 | < 9> < 9> | 0.13 0.13 | 1.0 1.0 | 1.0 1.0 | 0.13 0.13 |
| 15 | | 0.25 X 0.25 RR-3- 3 | TOP BOT | 35 35 | 1 1 | 0 0 | < 5> < 5> | 0.24 0.25 | 1.0 1.0 | 1.0 1.0 | 0.24 0.25 |
| 16 | | 0.25 X 0.25 RR-3- 3 | TOP BOT | -18 -18 | 1 1 | 0 0 | < 2> < 2> | 0.24 0.25 | 1.0 1.0 | 1.0 1.0 | 0.24 0.25 |
| 17 | | 0.25 X 0.25 RR-3- 3 | TOP BOT | -12 -8 | 1 1 | 0 0 | < 6> < 2> | 0.2 0.22 | 1.0 1.0 | 1.0 1.0 | 0.20 0.22 |
| 18 | | 0.25 X 0.25 RR-3- 3 | TOP BOT | 25 22 | 1 1 | 0 0 | < 9> < 5> | 0.2 0.23 | 1.0 1.0 | 1.0 1.0 | 0.20 0.23 |
| 19 | | 0.25 X 0.25 RR-2- 2 | TOP BOT | 7 3 | 1 1 | 1 1 | < 2> <10> | 0.49 0.66 | 1.0 1.0 | 1.0 1.0 | 0.49 0.66 |
| 22 | | 0.25 X 0.25 RR-2- 2 | TOP BOT | 6 6 | 1 1 | 1 1 | < 2> < 2> | 0.35 0.51 | 1.0 1.0 | 1.0 1.0 | 0.35 0.51 |
| 23 | | 0.25 X 0.25 RR-2- 2 | TOP BOT | 5 5 | 0 1 | 1 2 | < 2> < 2> | 0.41 0.52 | 1.0 1.0 | 1.0 1.0 | 0.41 0.52 |
| 24 | | 0.25 X 0.25 RR-2- 2 | TOP BOT | 5 5 | 0 1 | 1 2 | < 2> < 2> | 0.28 0.37 | 1.0 1.0 | 1.0 1.0 | 0.28 0.37 |
| 25 | | 0.25 X 0.25 RR-2- 2 | TOP BOT | 1 4 | 1 3 | 0 0 | <10> < 2> | 0.3 0.51 | 1.0 1.0 | 1.0 1.0 | 0.30 0.51 |
| 28 | | 0.25 X 0.25 RR-2- 2 | TOP BOT | 1 4 | 1 3 | 0 1 | <10> < 2> | 0.29 0.51 | 1.0 1.0 | 1.0 1.0 | 0.29 0.51 |

Nota: Si el índice de sobre-esfuerzo (IS) es menor o igual a 1.0, la resistencia efectiva del elemento a flexión es adecuada.
COL ID corresponde a la ubicación de la columna en el modelo estructural.



| | | | | | | | |
|------|--|---------|---------------|--------|-----------------|--|------------|
| Obra | ESTUDIO DE VULNERABILIDAD TEATRO LA MEDIA TORTA | Nº | 2666 | Fecha | 01/02/02 | | |
| Item | I.S. FLEXO-COMPRESIÓN EN COLUMNAS ESTRUCTURA MODIFICADA | Calculó | A.P.B. | Revisó | J.E.B. | | 078 |

N +6.00

| COL ID | COLUMN MAJOR X (m) | SIZE MINOR (m) | STR PT | PU (T) | MMAJ (T-m) | MMIN (T-m) | COMBO | RATIO | ec | ee | IS |
|--------|------------------------|-------------------|--------|--------|------------|------------|-------|-------|-----|-----|------|
| 1 | 0.25 X 0.25 RR-2- 2 | | TOP | 9 | 0 | 1 | < 1> | 0.37 | 1.0 | 1.0 | 0.37 |
| | | | BOT | 9 | 0 | 0 | < 1> | 0.22 | 1.0 | 1.0 | 0.22 |
| 2 | 0.25 X 0.25 RR-2- 2 | | TOP | 14 | 0 | 1 | < 1> | 0.33 | 1.0 | 1.0 | 0.33 |
| | | | BOT | 14 | 0 | 1 | < 1> | 0.22 | 1.0 | 1.0 | 0.22 |
| 3 | 0.25 X 0.25 RR-2- 2 | | TOP | 17 | 0 | 2 | < 1> | 0.36 | 1.0 | 1.0 | 0.36 |
| | | | BOT | 17 | 0 | 1 | < 1> | 0.25 | 1.0 | 1.0 | 0.25 |
| 4 | 0.25 X 0.25 RR-2- 2 | | TOP | 17 | 0 | 2 | < 1> | 0.36 | 1.0 | 1.0 | 0.36 |
| | | | BOT | 17 | 0 | 1 | < 1> | 0.25 | 1.0 | 1.0 | 0.25 |
| 5 | 0.25 X 0.25 RR-2- 2 | | TOP | 14 | 0 | 1 | < 1> | 0.33 | 1.0 | 1.0 | 0.33 |
| | | | BOT | 14 | 0 | 1 | < 1> | 0.22 | 1.0 | 1.0 | 0.22 |
| 6 | 0.25 X 0.25 RR-2- 2 | | TOP | 9 | 0 | 1 | < 1> | 0.26 | 1.0 | 1.0 | 0.26 |
| | | | BOT | 9 | 0 | 0 | < 1> | 0.15 | 1.0 | 1.0 | 0.15 |
| 7 | 0.25 X 0.25 RR-2- 2 | | TOP | 8 | 1 | 0 | < 1> | 0.24 | 1.0 | 1.0 | 0.24 |
| | | | BOT | 8 | 0 | 0 | < 1> | 0.14 | 1.0 | 1.0 | 0.14 |
| 8 | 0.25 X 0.25 RR-2- 2 | | TOP | 8 | 1 | 0 | < 1> | 0.24 | 1.0 | 1.0 | 0.24 |
| | | | BOT | 8 | 0 | 0 | < 1> | 0.15 | 1.0 | 1.0 | 0.15 |
| 9 | 0.25 X 0.25 RR-3- 3 | | TOP | 22 | 0 | 0 | < 9> | 0.2 | 1.0 | 1.0 | 0.20 |
| | | | BOT | 22 | 0 | 0 | < 9> | 0.2 | 1.0 | 1.0 | 0.20 |
| 10 | 0.25 X 0.25 RR-2- 2 | | TOP | 24 | 0 | 0 | < 1> | 0.32 | 1.0 | 1.0 | 0.32 |
| | | | BOT | 24 | 0 | 0 | < 1> | 0.32 | 1.0 | 1.0 | 0.32 |
| 11 | 0.25 X 0.25 RR-2- 2 | | TOP | -5 | 0 | 0 | <10> | 0.15 | 1.0 | 1.0 | 0.15 |
| | | | BOT | -4 | 0 | 0 | < 2> | 0.18 | 1.0 | 1.0 | 0.18 |
| 12 | 0.25 X 0.25 RR-2- 2 | | TOP | -5 | 0 | 0 | <10> | 0.14 | 1.0 | 1.0 | 0.14 |
| | | | BOT | -5 | 0 | 0 | <10> | 0.16 | 1.0 | 1.0 | 0.16 |
| 13 | 0.25 X 0.25 RR-2- 2 | | TOP | 24 | 0 | 0 | < 1> | 0.22 | 1.0 | 1.0 | 0.22 |
| | | | BOT | 24 | 0 | 0 | < 1> | 0.22 | 1.0 | 1.0 | 0.22 |



| | | | | | | | | | | | |
|------|--|--|--|--|----|---------|--------|----------|--------|--------|--|
| Obra | ESTUDIO DE VULNERABILIDAD TEATRO LA MEDIA TORTA | | | | Nº | 2666 | Fecha | 01/02/02 | Revisó | J.E.B. | |
| | Item | I.S. FLEXO-COMPRESIÓN EN COLUMNAS ESTRUCTURA MODIFICADA | | | | Calculó | A.P.B. | | | | |

079

N +6.00

| COL ID | COLUMN MAJOR X (m) | SIZE MINOR (m) | STR PT | PU (T) | MMAJ (T-m) | MMIN (T-m) | COMBO | RATIO | sc | se | IS |
|--------|------------------------|-------------------|--------|--------|------------|------------|-------|-------|-----|-----|------|
| 14 | 0.25 X 0.25 RR-3- 3 | | TOP | 24 | 0 | 0 | < 9> | 0.22 | 1.0 | 1.0 | 0.22 |
| | | | BOT | 24 | 0 | 0 | < 9> | 0.22 | 1.0 | 1.0 | 0.22 |
| 15 | 0.25 X 0.25 RR-3- 3 | | TOP | 30 | 0 | 0 | < 5> | 0.19 | 1.0 | 1.0 | 0.19 |
| | | | BOT | 30 | 0 | 0 | < 5> | 0.19 | 1.0 | 1.0 | 0.19 |
| 16 | 0.25 X 0.25 RR-3- 3 | | TOP | -13 | 0 | 0 | < 2> | 0.16 | 1.0 | 1.0 | 0.16 |
| | | | BOT | 23 | 0 | 0 | < 5> | 0.15 | 1.0 | 1.0 | 0.15 |
| 17 | 0.25 X 0.25 RR-3- 3 | | TOP | 26 | 1 | 0 | < 9> | 0.2 | 1.0 | 1.0 | 0.20 |
| | | | BOT | 26 | 0 | 0 | < 9> | 0.17 | 1.0 | 1.0 | 0.17 |
| 18 | 0.25 X 0.25 RR-3- 3 | | TOP | 28 | 1 | 0 | < 9> | 0.21 | 1.0 | 1.0 | 0.21 |
| | | | BOT | 28 | 0 | 0 | < 9> | 0.18 | 1.0 | 1.0 | 0.18 |
| 19 | 0.25 X 0.25 RR-2- 2 | | TOP | 3 | 1 | 0 | < 6> | 0.27 | 1.0 | 1.0 | 0.27 |
| | | | BOT | 9 | 1 | 0 | < 5> | 0.24 | 1.0 | 1.0 | 0.24 |
| 20 | 0.25 X 0.25 RR-2- 2 | | TOP | 22 | 0 | 0 | < 1> | 0.2 | 1.0 | 1.0 | 0.20 |
| | | | BOT | 22 | 0 | 0 | < 1> | 0.2 | 1.0 | 1.0 | 0.20 |
| 21 | 0.25 X 0.25 RR-2- 2 | | TOP | 22 | 0 | 0 | < 1> | 0.2 | 1.0 | 1.0 | 0.20 |
| | | | BOT | 22 | 0 | 0 | < 1> | 0.2 | 1.0 | 1.0 | 0.20 |
| 22 | 0.25 X 0.25 RR-2- 2 | | TOP | 22 | 0 | 0 | < 1> | 0.2 | 1.0 | 1.0 | 0.20 |
| | | | BOT | 22 | 0 | 0 | < 1> | 0.2 | 1.0 | 1.0 | 0.20 |
| 23 | 0.25 X 0.25 RR-2- 2 | | TOP | 3 | 1 | 0 | < 6> | 0.21 | 1.0 | 1.0 | 0.21 |
| | | | BOT | 4 | 1 | 0 | < 2> | 0.18 | 1.0 | 1.0 | 0.18 |
| 24 | 0.25 X 0.25 RR-2- 2 | | TOP | 14 | 1 | 1 | < 5> | 0.33 | 1.0 | 1.0 | 0.33 |
| | | | BOT | 14 | 0 | 0 | < 9> | 0.21 | 1.0 | 1.0 | 0.21 |
| 25 | 0.25 X 0.25 RR-2- 2 | | TOP | 14 | 0 | 1 | < 5> | 0.23 | 1.0 | 1.0 | 0.23 |
| | | | BOT | 16 | 0 | 0 | < 1> | 0.14 | 1.0 | 1.0 | 0.14 |
| 26 | 0.25 X 0.25 RR-2- 2 | | TOP | 0 | 1 | 1 | < 6> | 0.4 | 1.0 | 1.0 | 0.40 |
| | | | BOT | 5 | 1 | 1 | < 1> | 0.38 | 1.0 | 1.0 | 0.38 |
| | | | TOP | 25 | 0 | 0 | < 1> | 0.32 | 1.0 | 1.0 | 0.32 |
| | | | BOT | 25 | 0 | 0 | < 1> | 0.32 | 1.0 | 1.0 | 0.32 |

#



| | | | | | |
|------|--|---------|----------------|--------|--------|
| Obra | ESTUDIO DE VULNERABILIDAD | Nº 2666 | Fecha 01/02/02 | | 030 |
| Item | I.S. FLEXO-COMPRESIÓN EN COLUMNAS ESTRUCTURA MODIFICADA | Calculó | A.P.B. | Revisó | J.E.B. |

N +6.00

| COL ID | COLUMN MAJOR X (m) | SIZE MINOR (m) | STR PT | PU (T) | MMAJ (T-m) | MMIN (T-m) | COMBO | RATIO | øc | øe | IS |
|-----------|--------------------------|----------------------|-----------|-----------|---------------|---------------|-------|-------|-----|-----|------|
| 27 | 0.25 X 0.25 RR-2- 2 | | TOP | 25 | 0 | 0 | < 1> | 0.22 | 1.0 | 1.0 | 0.22 |
| | | | BOT | 25 | 0 | 0 | < 1> | 0.22 | 1.0 | 1.0 | 0.22 |
| 28 | 0.25 X 0.25 RR-2- 2 | | TOP | 5 | 1 | 1 | < 1> | 0.53 | 1.0 | 1.0 | 0.53 |
| | | | BOT | 5 | 1 | 1 | < 1> | 0.51 | 1.0 | 1.0 | 0.51 |

Nota: Si el índice de sobre-esfuerzo (IS) es menor o igual a 1.0, la resistencia efectiva del elemento a flexión es adecuada.
COL ID corresponde a la ubicación de la columna en el modelo estructural.



| | | | | | | |
|------|--|---------|--------|--------|----------|--|
| Obra | ESTUDIO DE VULNERABILIDAD TEATRO LA MEDIA TORTA | Nº | 2666 | Fecha | 01/02/02 | |
| Item | I.S. FLEXO-COMPRESIÓN EN COLUMNAS ESTRUCTURA MODIFICADA | Calculó | A.P.B. | Revisó | J.E.B. | |

081

N +3.20

| COL ID | COLUMN MAJOR X (m) | SIZE MINOR (m) | STR PT | PU (T) | MMAJ (T-m) | MMIN (T-m) | COMBO | RATIO | ρc | ρe | IS |
|-----------|--------------------------|----------------------|-----------|-----------|---------------|---------------|-------|-------|-----|-----|------|
| 9 | | 0.25 X 0.25 | | | | | | | | | |
| | RR-3- 3 | | | | | | | | | | |
| | | | TOP | 8 | 0 | 0 | < 9> | 0.08 | 1.0 | 1.0 | 0.08 |
| | | | BOT | 8 | 0 | 0 | < 9> | 0.08 | 1.0 | 1.0 | 0.08 |
| 10 | | 0.25 X 0.25 | | | | | | | | | |
| | RR-2- 2 | | | | | | | | | | |
| | | | TOP | 2 | 0 | 0 | < 1> | 0.09 | 1.0 | 1.0 | 0.09 |
| | | | BOT | 2 | 0 | 0 | < 1> | 0.06 | 1.0 | 1.0 | 0.06 |
| 11 | | 0.25 X 0.25 | | | | | | | | | |
| | RR-2- 2 | | | | | | | | | | |
| | | | TOP | 0 | 0 | 0 | < 2> | 0.09 | 1.0 | 1.0 | 0.09 |
| | | | BOT | 0 | 0 | 0 | < 2> | 0.05 | 1.0 | 1.0 | 0.05 |
| 12 | | 0.25 X 0.25 | | | | | | | | | |
| | RR-2- 2 | | | | | | | | | | |
| | | | TOP | 0 | 0 | 0 | < 2> | 0.07 | 1.0 | 1.0 | 0.07 |
| | | | BOT | 5 | 0 | 0 | < 5> | 0.05 | 1.0 | 1.0 | 0.05 |
| 13 | | 0.25 X 0.25 | | | | | | | | | |
| | RR-2- 2 | | | | | | | | | | |
| | | | TOP | 2 | 0 | 0 | < 1> | 0.07 | 1.0 | 1.0 | 0.07 |
| | | | BOT | 2 | 0 | 0 | < 1> | 0.04 | 1.0 | 1.0 | 0.04 |
| 14 | | 0.25 X 0.25 | | | | | | | | | |
| | RR-3- 3 | | | | | | | | | | |
| | | | TOP | 8 | 0 | 0 | < 9> | 0.08 | 1.0 | 1.0 | 0.08 |
| | | | BOT | 8 | 0 | 0 | < 9> | 0.08 | 1.0 | 1.0 | 0.08 |
| 15 | | 0.25 X 0.25 | | | | | | | | | |
| | RR-3- 3 | | | | | | | | | | |
| | | | TOP | 36 | 0 | 0 | < 5> | 0.23 | 1.0 | 1.0 | 0.23 |
| | | | BOT | 36 | 0 | 0 | < 5> | 0.23 | 1.0 | 1.0 | 0.23 |
| 16 | | 0.25 X 0.25 | | | | | | | | | |
| | RR-3- 3 | | | | | | | | | | |
| | | | TOP | 30 | 0 | 0 | < 5> | 0.19 | 1.0 | 1.0 | 0.19 |
| | | | BOT | 30 | 0 | 0 | < 5> | 0.19 | 1.0 | 1.0 | 0.19 |
| 17 | | 0.25 X 0.25 | | | | | | | | | |
| | RR-3- 3 | | | | | | | | | | |
| | | | TOP | 6 | 0 | 0 | < 9> | 0.04 | 1.0 | 1.0 | 0.04 |
| | | | BOT | 6 | 0 | 0 | < 9> | 0.04 | 1.0 | 1.0 | 0.04 |
| 18 | | 0.25 X 0.25 | | | | | | | | | |
| | RR-3- 3 | | | | | | | | | | |
| | | | TOP | 7 | 0 | 0 | < 9> | 0.05 | 1.0 | 1.0 | 0.05 |
| | | | BOT | 7 | 0 | 0 | < 9> | 0.05 | 1.0 | 1.0 | 0.05 |
| 19 | | 0.25 X 0.25 | | | | | | | | | |
| | RR-2- 2 | | | | | | | | | | |
| | | | TOP | 16 | 0 | 0 | < 9> | 0.22 | 1.0 | 1.0 | 0.22 |
| | | | BOT | 16 | 0 | 0 | < 9> | 0.21 | 1.0 | 1.0 | 0.21 |
| 20 | | 0.25 X 0.25 | | | | | | | | | |
| | RR-2- 2 | | | | | | | | | | |
| | | | TOP | 47 | 1 | 1 | < 1> | 0.42 | 1.0 | 1.0 | 0.42 |
| | | | BOT | 47 | 1 | 1 | < 1> | 0.42 | 1.0 | 1.0 | 0.42 |
| 21 | | 0.25 X 0.25 | | | | | | | | | |
| | RR-2- 2 | | | | | | | | | | |
| | | | TOP | 47 | 1 | 1 | < 1> | 0.42 | 1.0 | 1.0 | 0.42 |
| | | | BOT | 47 | 1 | 1 | < 1> | 0.42 | 1.0 | 1.0 | 0.42 |



| | | | | | |
|------|--|---------|--------|--------|----------|
| Obra | ESTUDIO DE VULNERABILIDAD TEATRO LA MEDIA TORTA | Nº | 2666 | Fecha | 01/02/02 |
| Item | I.S. FLEXO-COMPRESIÓN EN COLUMNAS ESTRUCTURA MODIFICADA | Calculó | A.P.B. | Revisó | J.E.B. |

082

N +3.20

| COL ID | COLUMN MAJOR X (m) | SIZE MINOR (m) | STR PT | PU (T) | MMAJ (T-m) | MMIN (T-m) | COMBO | RATIO | øc | øe | IS |
|-----------|--------------------------|----------------------|------------|-----------|---------------|---------------|--------------|--------------|------------|------------|--------------|
| 22 | 0.25 X 0.25 RR-2- 2 | | TOP BOT | 16 16 | 0 0 | 0 0 | < 9> < 9> | 0.15 0.15 | 1.0 1.0 | 1.0 1.0 | 0.15 0.15 |
| 23 | 0.25 X 0.25 RR-2- 2 | | TOP BOT | 2 2 | 0 0 | 0 0 | < 5> < 5> | 0.04 0.03 | 1.0 1.0 | 1.0 1.0 | 0.04 0.03 |
| 24 | 0.25 X 0.25 RR-2- 2 | | TOP BOT | 2 2 | 0 0 | 0 0 | < 5> < 5> | 0.03 0.02 | 1.0 1.0 | 1.0 1.0 | 0.03 0.02 |
| 25 | 0.25 X 0.25 RR-2- 2 | | TOP BOT | 10 14 | 1 0 | 0 0 | < 1> < 9> | 0.21 0.12 | 1.0 1.0 | 1.0 1.0 | 0.21 0.12 |
| 26 | 0.25 X 0.25 RR-2- 2 | | TOP BOT | 53 53 | 1 1 | 1 1 | < 1> < 1> | 0.67 0.67 | 1.0 1.0 | 1.0 1.0 | 0.67 0.67 |
| 27 | 0.25 X 0.25 RR-2- 2 | | TOP BOT | 53 53 | 1 1 | 1 1 | < 1> < 1> | 0.47 0.47 | 1.0 1.0 | 1.0 1.0 | 0.47 0.47 |
| 28 | 0.25 X 0.25 RR-2- 2 | | TOP BOT | 9 9 | 1 0 | 0 0 | < 1> < 1> | 0.3 0.17 | 1.0 1.0 | 1.0 1.0 | 0.30 0.17 |

Nota: Si el índice de sobre-esfuerzo (IS) es menor o igual a 1.0, la resistencia efectiva del elemento a flexión es adecuada.
 COL ID corresponde a la ubicación de la columna en el modelo estructural.

$f_c = 210$ Kg/cm²
 $f_y = 2400$ Kg/cm²
 $\phi_c = 1.0$
 $\phi_e = 1.0$

| | | | | | | | | | |
|------|--|--|--|--|--|---------|--------|--------|----------|
| Obra | ESTUDIO DE VULNERABILIDAD TEATRO LA MEDIA TORTA | | | | | Nº | 2666 | Fecha | 01/02/02 |
| Item | I.S. CORTANTE EN COLUMNAS ESTRUCTURA MODIFICADA | | | | | Calculó | A.P.B. | Revisó | J.E.B. |

| COL/ID | Major dim(m) | Minor dim(m) | Pu (T) | VUMIN(T) | COMBO | COMBO | As(MAJ/cm2) | AsMIN(cm2) | Sep (cm) | @Vefac MAJ | @Vefac MIN | IS MAJ | IS MIN | |
|-----------|--------------|--------------|--------|----------|-------|-------|-------------|------------|----------|------------|------------|--------|-----------|-----------|
| N + 24.90 | 9 | 0.25 | 0.25 | 3 | < 0> | 6 | < 0> | 4.2 | 1.42 | 10 | 10.3 | 10.3 | 0.58 0.58 | |
| | 14 | 0.25 | 0.25 | 3 | < 0> | 6 | < 0> | 4.2 | 1.42 | 10 | 10.3 | 10.3 | 0.49 0.58 | |
| | 15 | 0.25 | 0.25 | 3 | < 0> | 6 | < 0> | 4.2 | 1.42 | 10 | 10.3 | 10.3 | 0.58 0.58 | |
| | 16 | 0.25 | 0.25 | 3 | < 0> | 6 | < 0> | 4.2 | 1.42 | 10 | 10.3 | 10.3 | 0.58 0.58 | |
| | 17 | 0.25 | 0.25 | 3 | < 0> | 6 | < 0> | 4.2 | 1.42 | 10 | 10.3 | 10.3 | 0.58 0.58 | |
| | 18 | 0.25 | 0.25 | 6 | < 0> | 6 | < 0> | 4.4 | 1.42 | 10 | 10.3 | 10.3 | 0.58 0.58 | |
| | N + 22.80 | 9 | 0.25 | 0.25 | 6 | < 0> | 4 | < 0> | 4.4 | 1.42 | 10 | 10.4 | 10.4 | 0.57 0.57 |
| | 14 | 0.25 | 0.25 | 5 | < 0> | 4 | < 0> | 4.3 | 1.42 | 10 | 10.4 | 10.4 | 0.38 0.38 | |
| N + 20.00 | 15 | 0.25 | 0.25 | 5 | < 0> | 4 | < 0> | 4.3 | 1.42 | 10 | 10.4 | 10.4 | 0.38 0.38 | |
| | 16 | 0.25 | 0.25 | 6 | < 0> | 4 | < 0> | 4.4 | 1.42 | 10 | 10.4 | 10.4 | 0.38 0.38 | |
| | 17 | 0.25 | 0.25 | 6 | < 0> | 4 | < 0> | 4.4 | 1.42 | 10 | 10.4 | 10.4 | 0.38 0.38 | |
| | 18 | 0.25 | 0.25 | 9 | < 0> | 4 | < 0> | 4.5 | 1.42 | 10 | 10.6 | 10.6 | 0.38 0.38 | |
| | 9 | 0.25 | 0.25 | 9 | < 0> | 5 | < 0> | 4.5 | 1.42 | 10 | 10.6 | 10.6 | 0.38 0.47 | |
| | 14 | 0.25 | 0.25 | 7 | < 0> | 5 | < 0> | 4.4 | 1.42 | 10 | 10.5 | 10.5 | 0.38 0.48 | |
| | 15 | 0.25 | 0.25 | 8 | < 0> | 4 | < 0> | 4.5 | 1.42 | 10 | 10.5 | 10.5 | 0.38 0.38 | |
| | 16 | 0.25 | 0.25 | 9 | < 0> | 5 | < 0> | 4.5 | 1.42 | 10 | 10.6 | 10.6 | 0.47 0.47 | |
| N + 17.20 | 17 | 0.25 | 0.25 | 9 | < 0> | 5 | < 0> | 4.5 | 1.42 | 10 | 10.6 | 10.6 | 0.56 0.56 | |
| | 18 | 0.25 | 0.25 | 12 | < 0> | 5 | < 0> | 4.6 | 1.42 | 10 | 10.7 | 10.7 | 0.56 0.56 | |
| | 9 | 0.25 | 0.25 | 13 | < 0> | 6 | < 0> | 4.7 | 1.42 | 10 | 10.8 | 10.8 | 0.47 0.47 | |
| | 14 | 0.25 | 0.25 | 12 | < 0> | 6 | < 0> | 4.6 | 1.42 | 10 | 10.7 | 10.7 | 0.47 0.47 | |
| | 15 | 0.25 | 0.25 | 8 | < 0> | 5 | < 0> | 4.5 | 1.42 | 10 | 10.5 | 10.5 | 0.47 0.47 | |
| | 16 | 0.25 | 0.25 | 11 | < 0> | 5 | < 0> | 4.6 | 1.42 | 10 | 10.7 | 10.7 | 0.47 0.47 | |
| | 17 | 0.25 | 0.25 | 13 | < 0> | 5 | < 0> | 4.7 | 1.42 | 10 | 10.8 | 10.8 | 0.46 0.46 | |
| | 18 | 0.25 | 0.25 | 23 | < 0> | 6 | < 0> | 5.2 | 1.42 | 10 | 11.2 | 11.2 | 0.44 0.53 | |
| N + 14.40 | 9 | 0.25 | 0.25 | 39 | < 0> | 7 | < 0> | 5.9 | 1.42 | 10 | 12.0 | 12.0 | 0.58 0.67 | |
| | 14 | 0.25 | 0.25 | 28 | < 0> | 8 | < 0> | 5.4 | 1.42 | 10 | 11.5 | 11.5 | 0.70 0.70 | |
| | 15 | 0.25 | 0.25 | -1 | < 0> | 6 | < 0> | 4.0 | 1.42 | 10 | 10.1 | 10.1 | 0.59 0.59 | |
| | 16 | 0.25 | 0.25 | 8 | < 0> | 6 | < 0> | 4.5 | 1.42 | 10 | 10.5 | 10.5 | 0.57 0.57 | |
| | 17 | 0.25 | 0.25 | 24 | < 0> | 6 | < 0> | 5.2 | 1.42 | 10 | 11.3 | 11.3 | 0.53 0.53 | |
| | 18 | 0.25 | 0.25 | 9 | < 0> | 6 | < 0> | 4.5 | 1.42 | 10 | 10.6 | 10.6 | 0.57 0.66 | |

PCA

| | | | | | |
|------|--|---------|--------|--------|----------|
| Obra | ESTUDIO DE VULNERABILIDAD TEATRO LA MEDIA TORTA | Nº | 2666 | Fecha | 01/02/02 |
| Item | I.S. CORTANTE EN COLUMNAS ESTRUCTURA MODIFICADA | Calculó | A.P.B. | Revisó | J.E.B. |

$f'_c = 210 \text{ kg/cm}^2$
 $f_y = 2400 \text{ kg/cm}^2$
 $\delta_c = 1.0$
 $\delta_e = 1.0$

| NIVEL | COL ID | Major dim(m) | Minor dim(m) | Pu (T) | Vmax(T) | COMBO | Vmax(T) | COMBO | b/c (T) | AsMAJ(cm ²) | AsMIN(cm ²) | Sep (cm) | @Vefec MAJ | @Vefec MIN | IS MAJ | IS MIN |
|-----------------|--------|--------------|--------------|--------|---------|-------|---------|-------|---------|-------------------------|-------------------------|----------|------------|------------|-------------|-------------|
| N +11.60 | | | | | | | | | | | | | | | | |
| | 14 | 0.25 | 0.25 | 13 | 7 | <0> | 8 | <0> | 4.7 | 1.42 | 1.42 | 10 | 10.8 | 10.8 | 0.65 | 0.74 |
| | 15 | 0.25 | 0.25 | 36 | 7 | <0> | 8 | <0> | 5.8 | 1.42 | 1.42 | 10 | 11.8 | 11.8 | 0.59 | 0.63 |
| | 16 | 0.25 | 0.25 | 4 | 7 | <0> | 7 | <0> | 4.3 | 1.42 | 1.42 | 10 | 10.4 | 10.4 | 0.68 | 0.68 |
| | 17 | 0.25 | 0.25 | 2 | 7 | <0> | 7 | <0> | 4.2 | 1.42 | 1.42 | 10 | 10.3 | 10.3 | 0.68 | 0.68 |
| | 18 | 0.25 | 0.25 | 6 | 7 | <0> | 7 | <0> | 4.4 | 1.42 | 1.42 | 10 | 10.4 | 10.4 | 0.67 | 0.67 |
| | 19 | 0.25 | 0.25 | 10 | 7 | <0> | 8 | <0> | 4.5 | 1.42 | 1.42 | 10 | 10.6 | 10.6 | 0.66 | 0.75 |
| | 22 | 0.25 | 0.25 | 8 | 3 | <2> | 4 | <0> | 4.5 | 1.42 | 1.42 | 10 | 10.5 | 10.5 | 0.28 | 0.38 |
| | 23 | 0.25 | 0.25 | 4 | 3 | <0> | 4 | <0> | 4.3 | 1.42 | 1.42 | 10 | 10.4 | 10.4 | 0.29 | 0.39 |
| | 24 | 0.25 | 0.25 | 4 | 4 | <0> | 5 | <0> | 4.3 | 1.42 | 1.42 | 10 | 10.4 | 10.4 | 0.39 | 0.48 |
| | 25 | 0.25 | 0.25 | 5 | 4 | <0> | 5 | <0> | 4.3 | 1.42 | 1.42 | 10 | 10.4 | 10.4 | 0.38 | 0.48 |
| | 28 | 0.25 | 0.25 | 5 | 4 | <0> | 5 | <0> | 4.3 | 1.42 | 1.42 | 10 | 10.4 | 10.4 | 0.38 | 0.48 |
| N +8.80 | | | | | | | | | | | | | | | | |
| | 9 | 0.25 | 0.25 | 9 | 7 | <0> | 7 | <0> | 4.5 | 1.42 | 1.42 | 10 | 10.6 | 10.6 | 0.66 | 0.66 |
| | 14 | 0.25 | 0.25 | 18 | 7 | <0> | 8 | <0> | 4.9 | 1.42 | 1.42 | 10 | 11.0 | 11.0 | 0.64 | 0.73 |
| | 15 | 0.25 | 0.25 | 4 | 7 | <0> | 7 | <0> | 4.3 | 1.42 | 1.42 | 10 | 10.4 | 10.4 | 0.68 | 0.68 |
| | 16 | 0.25 | 0.25 | 7 | 7 | <0> | 7 | <0> | 4.4 | 1.42 | 1.42 | 10 | 10.5 | 10.5 | 0.67 | 0.67 |
| | 17 | 0.25 | 0.25 | 11 | 7 | <0> | 7 | <0> | 4.6 | 1.42 | 1.42 | 10 | 10.7 | 10.7 | 0.66 | 0.66 |
| | 18 | 0.25 | 0.25 | 16 | 7 | <0> | 8 | <0> | 4.8 | 1.42 | 1.42 | 10 | 10.9 | 10.9 | 0.64 | 0.73 |
| | 19 | 0.25 | 0.25 | 14 | 4 | <0> | 4 | <0> | 4.7 | 1.42 | 1.42 | 10 | 10.8 | 10.8 | 0.37 | 0.37 |
| | 22 | 0.25 | 0.25 | 10 | 4 | <0> | 4 | <0> | 4.5 | 1.42 | 1.42 | 10 | 10.6 | 10.6 | 0.38 | 0.38 |
| | 23 | 0.25 | 0.25 | 10 | 4 | <0> | 5 | <0> | 4.5 | 1.42 | 1.42 | 10 | 10.6 | 10.6 | 0.38 | 0.47 |
| | 24 | 0.25 | 0.25 | 9 | 4 | <0> | 5 | <0> | 4.5 | 1.42 | 1.42 | 10 | 10.6 | 10.6 | 0.38 | 0.47 |
| | 25 | 0.25 | 0.25 | 9 | 5 | <0> | 5 | <0> | 4.5 | 1.42 | 1.42 | 10 | 10.6 | 10.6 | 0.47 | 0.47 |
| | 28 | 0.25 | 0.25 | 9 | 5 | <0> | 5 | <0> | 4.5 | 1.42 | 1.42 | 10 | 10.6 | 10.6 | 0.47 | 0.47 |

$f_c = 210$ kg/cm²
 $f_y = 2400$ kg/cm²
 $\epsilon_c = 1.0$
 $\epsilon_e = 1.0$



| | | | |
|------|--|----------------|----------------|
| Obra | ESTUDIO DE VULNERABILIDAD TEATRO LA MEDIA TORTA | Nº 2666 | Fecha 01/02/02 |
| Item | I.S. CORTANTE EN COLUMNAS ESTRUCTURA MODIFICADA | Calculó A.P.B. | Revisó J.E.B. |

U35

| NIVEL N +6.00 | COL ID | Major dim(m) | Minor dim(m) | $P_u (kN)$ | Vmax(f) | COMBO | Vmin(f) | COMBO | $a/fc (f)$ | $AsMin(cm^2)$ | $AsMax(cm^2)$ | Sep (cm) | $a/fc MIN$ | $a/fc MAX$ | $IS MIN$ | $IS MAX$ |
|-------------------------|--------|--------------|--------------|------------|---------|-------|---------|-------|------------|---------------|---------------|----------|------------|------------|----------|----------|
| | | | | | | | | | | | | | $a/fc MIN$ | $a/fc MAX$ | $IS MIN$ | $IS MAX$ |
| 1 | 0.25 | 0.25 | 14 | 1 | <0> | 1 | <0> | 4.7 | 1.42 | 1.42 | 1.42 | 10 | 10.8 | 10.8 | 0.09 | 0.09 |
| 2 | 0.25 | 0.25 | 17 | 2 | <0> | 2 | <0> | 4.9 | 1.42 | 1.42 | 1.42 | 10 | 11.0 | 11.0 | 0.18 | 0.18 |
| 3 | 0.25 | 0.25 | 17 | 2 | <0> | 2 | <0> | 4.9 | 1.42 | 1.42 | 1.42 | 10 | 11.0 | 11.0 | 0.18 | 0.18 |
| 4 | 0.25 | 0.25 | 14 | 2 | <0> | 2 | <0> | 4.7 | 1.42 | 1.42 | 1.42 | 10 | 10.8 | 10.8 | 0.18 | 0.18 |
| 5 | 0.25 | 0.25 | 9 | 2 | <0> | 2 | <0> | 4.5 | 1.42 | 1.42 | 1.42 | 10 | 10.6 | 10.6 | 0.19 | 0.19 |
| 6 | 0.25 | 0.25 | 8 | 1 | <0> | 1 | <0> | 4.5 | 1.42 | 1.42 | 1.42 | 10 | 10.5 | 10.5 | 0.09 | 0.09 |
| 7 | 0.25 | 0.25 | 8 | 1 | <0> | 1 | <0> | 4.5 | 1.42 | 1.42 | 1.42 | 10 | 10.5 | 10.5 | 0.09 | 0.09 |
| 8 | 0.25 | 0.25 | 11 | 1 | <0> | 1 | <0> | 4.6 | 1.42 | 1.42 | 1.42 | 10 | 10.7 | 10.7 | 0.09 | 0.09 |
| 9 | 0.25 | 0.25 | 24 | 8 | <0> | 8 | <0> | 5.2 | 1.42 | 1.42 | 1.42 | 10 | 11.3 | 11.3 | 0.71 | 0.71 |
| 10 | 0.25 | 0.25 | 2 | 5 | <0> | 5 | <0> | 4.2 | 1.42 | 1.42 | 1.42 | 10 | 10.3 | 10.3 | 0.49 | 0.49 |
| 11 | 0.25 | 0.25 | 4 | 3 | <0> | 3 | <0> | 4.3 | 1.42 | 1.42 | 1.42 | 10 | 10.4 | 10.4 | 0.29 | 0.29 |
| 12 | 0.25 | 0.25 | 24 | 3 | <0> | 3 | <0> | 5.2 | 1.42 | 1.42 | 1.42 | 10 | 11.3 | 11.3 | 0.27 | 0.27 |
| 13 | 0.25 | 0.25 | 14 | 5 | <0> | 5 | <0> | 4.7 | 1.42 | 1.42 | 1.42 | 10 | 10.8 | 10.8 | 0.46 | 0.46 |
| 14 | 0.25 | 0.25 | 16 | 8 | <0> | 8 | <0> | 4.8 | 1.42 | 1.42 | 1.42 | 10 | 10.9 | 10.9 | 0.73 | 0.73 |
| 15 | 0.25 | 0.25 | 6 | 7 | <0> | 7 | <0> | 4.4 | 1.42 | 1.42 | 1.42 | 10 | 10.4 | 10.4 | 0.67 | 0.67 |
| 16 | 0.25 | 0.25 | 9 | 7 | <0> | 7 | <0> | 4.5 | 1.42 | 1.42 | 1.42 | 10 | 10.6 | 10.6 | 0.66 | 0.66 |
| 17 | 0.25 | 0.25 | 13 | 7 | <0> | 7 | <0> | 4.7 | 1.42 | 1.42 | 1.42 | 10 | 10.8 | 10.8 | 0.65 | 0.65 |
| 18 | 0.25 | 0.25 | 9 | 7 | <0> | 8 | <0> | 4.5 | 1.42 | 1.42 | 1.42 | 10 | 10.6 | 10.6 | 0.66 | 0.66 |
| 19 | 0.25 | 0.25 | 22 | 4 | <0> | 4 | <0> | 5.1 | 1.42 | 1.42 | 1.42 | 10 | 11.2 | 11.2 | 0.36 | 0.36 |
| 20 | 0.25 | 0.25 | 22 | 5 | <0> | 5 | <0> | 5.1 | 1.42 | 1.42 | 1.42 | 10 | 11.2 | 11.2 | 0.45 | 0.45 |
| 21 | 0.25 | 0.25 | 9 | 5 | <0> | 5 | <0> | 4.5 | 1.42 | 1.42 | 1.42 | 10 | 10.6 | 10.6 | 0.47 | 0.47 |
| 22 | 0.25 | 0.25 | 16 | 4 | <0> | 4 | <0> | 4.8 | 1.42 | 1.42 | 1.42 | 10 | 10.9 | 10.9 | 0.37 | 0.37 |
| 23 | 0.25 | 0.25 | 16 | 5 | <0> | 5 | <0> | 4.8 | 1.42 | 1.42 | 1.42 | 10 | 10.9 | 10.9 | 0.46 | 0.46 |
| 24 | 0.25 | 0.25 | 5 | 5 | <0> | 5 | <0> | 4.3 | 1.42 | 1.42 | 1.42 | 10 | 10.4 | 10.4 | 0.48 | 0.48 |
| 25 | 0.25 | 0.25 | 25 | 4 | <0> | 4 | <0> | 5.2 | 1.42 | 1.42 | 1.42 | 10 | 11.3 | 11.3 | 0.35 | 0.35 |
| 26 | 0.25 | 0.25 | 25 | 5 | <0> | 5 | <0> | 5.2 | 1.42 | 1.42 | 1.42 | 10 | 11.3 | 11.3 | 0.44 | 0.44 |
| 27 | 0.25 | 0.25 | 5 | 5 | <0> | 5 | <0> | 4.3 | 1.42 | 1.42 | 1.42 | 10 | 10.4 | 10.4 | 0.48 | 0.48 |
| 28 | 0.25 | 0.25 | 6 | 4 | <0> | 4 | <0> | 4.4 | 1.42 | 1.42 | 1.42 | 10 | 10.4 | 10.4 | 0.38 | 0.38 |



$f_c = 210$ kg/cm²
 $f_y = 2400$ kg/cm²
 $\phi_c = 1.0$
 $\phi_e = 1.0$

| | | | | | |
|------|--|---------|--------|--------|----------|
| Obra | ESTUDIO DE VULNERABILIDAD TEATRO LA MEDIA TORTA | Nº | 2666 | Fecha | 01/02/02 |
| Item | I.S. CORTANTE EN COLUMNAS ESTRUCTURA MODIFICADA | Calculó | A.P.B. | Revisó | J.E.B. |

| NIVEL N+3.20 | COL ID | Major dim(m) | Minor dim(m) | Pu (T) | VuMAJ(T) | COMBO | VuMIN(T) | COMBO | vVc (T) | AsMAJ(cm ²) | AsMIN(cm ²) | Sep (cm) | sVefec MAJ | sVefec MIN | IS MAJ | IS MIN |
|-----------------|--------|--------------|--------------|--------|----------|-------|----------|-------|---------|-------------------------|-------------------------|----------|------------|------------|--------|--------|
| | | | | | | | | | | | | | | | | |
| 9 | 10 | 0.25 | 0.25 | 2 | 7 | < 0> | 7 | < 0> | 4.2 | 1.42 | 1.42 | 10 | 10.3 | 10.3 | 0.68 | 0.68 |
| 10 | 11 | 0.25 | 0.25 | 2 | 3 | < 0> | 3 | < 0> | 4.2 | 1.42 | 1.42 | 10 | 10.3 | 10.3 | 0.29 | 0.29 |
| 11 | 12 | 0.25 | 0.25 | 3 | 3 | < 0> | 3 | < 0> | 4.2 | 1.42 | 1.42 | 10 | 10.3 | 10.3 | 0.29 | 0.29 |
| 12 | 13 | 0.25 | 0.25 | 2 | 3 | < 0> | 3 | < 0> | 4.2 | 1.42 | 1.42 | 10 | 10.3 | 10.3 | 0.29 | 0.29 |
| 13 | 14 | 0.25 | 0.25 | 6 | 3 | < 0> | 3 | < 0> | 4.4 | 1.42 | 1.42 | 10 | 10.4 | 10.4 | 0.29 | 0.29 |
| 14 | 15 | 0.25 | 0.25 | 26 | 7 | < 0> | 7 | < 0> | 5.3 | 1.42 | 1.42 | 10 | 11.4 | 11.4 | 0.62 | 0.62 |
| 15 | 16 | 0.25 | 0.25 | 18 | 7 | < 0> | 7 | < 0> | 4.9 | 1.42 | 1.42 | 10 | 11.0 | 11.0 | 0.64 | 0.64 |
| 16 | 17 | 0.25 | 0.25 | 4 | 7 | < 0> | 7 | < 0> | 4.3 | 1.42 | 1.42 | 10 | 10.4 | 10.4 | 0.68 | 0.68 |
| 17 | 18 | 0.25 | 0.25 | 4 | 7 | < 0> | 7 | < 0> | 4.3 | 1.42 | 1.42 | 10 | 10.4 | 10.4 | 0.68 | 0.68 |
| 18 | 19 | 0.25 | 0.25 | 14 | 7 | < 0> | 7 | < 0> | 4.7 | 1.42 | 1.42 | 10 | 10.8 | 10.8 | 0.65 | 0.65 |
| 19 | 20 | 0.25 | 0.25 | 47 | 4 | < 0> | 4 | < 0> | 6.3 | 1.42 | 1.42 | 10 | 12.4 | 12.4 | 0.32 | 0.32 |
| 20 | 21 | 0.25 | 0.25 | 47 | 5 | < 0> | 5 | < 0> | 6.3 | 1.42 | 1.42 | 10 | 12.4 | 12.4 | 0.40 | 0.40 |
| 21 | 22 | 0.25 | 0.25 | 14 | 5 | < 0> | 5 | < 0> | 4.7 | 1.42 | 1.42 | 10 | 10.8 | 10.8 | 0.46 | 0.46 |
| 22 | 23 | 0.25 | 0.25 | 2 | 4 | < 0> | 4 | < 0> | 4.2 | 1.42 | 1.42 | 10 | 10.3 | 10.3 | 0.39 | 0.39 |
| 23 | 24 | 0.25 | 0.25 | 2 | 4 | < 0> | 4 | < 0> | 4.2 | 1.42 | 1.42 | 10 | 10.3 | 10.3 | 0.39 | 0.39 |
| 24 | 25 | 0.25 | 0.25 | 10 | 4 | < 0> | 4 | < 0> | 4.5 | 1.42 | 1.42 | 10 | 10.6 | 10.6 | 0.38 | 0.38 |
| 25 | 26 | 0.25 | 0.25 | 53 | 4 | < 0> | 4 | < 0> | 6.6 | 1.42 | 1.42 | 10 | 12.6 | 12.6 | 0.32 | 0.32 |
| 26 | 27 | 0.25 | 0.25 | 53 | 5 | < 0> | 5 | < 0> | 6.6 | 1.42 | 1.42 | 10 | 12.6 | 12.6 | 0.40 | 0.40 |
| 27 | 28 | 0.25 | 0.25 | 9 | 5 | < 0> | 5 | < 0> | 4.5 | 1.42 | 1.42 | 10 | 10.6 | 10.6 | 0.47 | 0.47 |
| 28 | | | | 32 | 4 | < 0> | 4 | < 0> | 5.6 | 1.42 | 1.42 | 10 | 11.7 | 11.7 | 0.34 | 0.34 |

Nota: Si el índice de sobre-esfuerzo (IS) es menor o igual a 1.0, la resistencia efectiva del elemento a cortante es adecuada.
 COL ID corresponde a la ubicación de la columna en el modelo estructural.

1
E

086

ESTUDIO DE VULNERABILIDAD

PCA

Nex: resistencia existente de los elementos de la estructura actual
 d_c: 1 (coeficiente de reducción por estado de la edificación)
 d_e: 1 (coeficiente de reducción por calidad y diseño de la construcción)
 Nef = $\sigma_c \times \text{Nex}$ (resistencia efectiva)
 IS = Índice de sobre-esfuerzo (Solicitud/Resistencia efectiva)

ELEMENTO: VIGA 2 - N+3.20
 SECCION: 30x35
 b: 30 cm
 d: 30 cm

f'c: 210 kg/cm²
 f_y (long): 4200 kg/cm²
 f_y (trans): 2400 kg/cm²
 ØVc: 6 Ton

| | | | |
|------|---|----------------|----------------|
| Obra | ESTUDIO DE VULNERABILIDAD TEATRO LA MEDIA TORTA | Nº 2666 | Fecha 01/02/02 |
| Item | INDICES DE SOBRE-ESFUERZO EN VIGAS ESTRUCTURA MODIFICADA | Calculó A.P.B. | Revisó J.E.B. |

| FLEXIÓN | | | | | | | | | | | |
|---------|------------|--------------------|----------|---------|----------|--------------------|----------|-----------|----------|--------------|-------|
| VANO | Ubicación | Momentos negativos | | | | Momentos positivos | | | | CORTANTE | |
| | | As | Refuerzo | As | Refuerzo | As | Refuerzo | As | Refuerzo | No. de ramas | fleje |
| 4 | Inicio | 364 | 3.81 | 0.00423 | 4.10 | 4 | 0.97 | 284 | 2.54 | 0.0028 | 2.78 |
| | Centro luz | 284 | 2.54 | 0.00282 | 2.78 | 1 | 0.36 | 284 + 285 | 6.50 | 0.0072 | 6.74 |
| | Final | 485 | 7.92 | 0.00860 | 8.05 | 5 | 0.62 | 284 | 2.54 | 0.0028 | 2.78 |
| 5 | Inicio | 485 | 7.92 | 0.00860 | 8.05 | 5 | 0.62 | 284 | 2.54 | 0.0028 | 2.78 |
| | Centro luz | 285 | 3.86 | 0.00440 | 4.26 | 1 | 0.23 | 284 + 285 | 6.50 | 0.0072 | 6.74 |
| | Final | 485 | 7.92 | 0.00860 | 8.05 | 5 | 0.62 | 284 | 2.54 | 0.0028 | 2.78 |
| 6 | Inicio | 485 | 7.92 | 0.00860 | 8.05 | 5 | 0.62 | 284 | 2.54 | 0.0028 | 2.78 |
| | Centro luz | 284 | 2.54 | 0.00282 | 2.78 | 1 | 0.36 | 284 + 285 | 6.50 | 0.0072 | 6.74 |
| | Final | 384 | 3.81 | 0.00423 | 4.10 | 4 | 0.97 | 284 | 2.54 | 0.0028 | 2.78 |

| FLEXIÓN | | | | | | | | | | | |
|---------|------------|--------------------|------|---------|------|--------------------|------|-----------|------|--------------|-------|
| VANO | Ubicación | Momentos negativos | | | | Momentos positivos | | | | CORTANTE | |
| | | Refuerzo | As | p | Mef | Refuerzo | As | p | Mef | No. de ramas | fleje |
| 1 | Inicio | 384 | 3.81 | 0.00423 | 4.10 | 3 | 0.73 | 284 | 2.54 | 0.0028 | 2.78 |
| | Centro luz | 284 | 2.54 | 0.00282 | 2.78 | 1 | 0.36 | 284 + 285 | 6.50 | 0.0072 | 6.74 |
| | Final | 485 | 7.92 | 0.00860 | 8.05 | 6 | 0.75 | 284 | 2.54 | 0.0028 | 2.78 |
| 2 | Inicio | 485 | 7.92 | 0.00860 | 8.05 | 6 | 0.76 | 284 | 2.54 | 0.0028 | 2.78 |
| | Centro luz | 285 | 3.96 | 0.00440 | 4.26 | 1 | 0.23 | 284 + 285 | 6.50 | 0.0072 | 6.74 |
| | Final | 485 | 7.92 | 0.00860 | 8.05 | 6 | 0.75 | 284 | 2.54 | 0.0028 | 2.78 |
| 3 | Inicio | 485 | 7.92 | 0.00860 | 8.05 | 6 | 0.75 | 284 | 2.54 | 0.0028 | 2.78 |
| | Centro luz | 284 | 2.54 | 0.00282 | 2.78 | 1 | 0.36 | 284 + 285 | 6.50 | 0.0072 | 6.74 |
| | Final | 384 | 3.81 | 0.00423 | 4.10 | 3 | 0.73 | 284 | 2.54 | 0.0028 | 2.78 |

Nota: Si el índice de sobreesfuerzo (IS) es menor o igual a 1.0 la resistencia efectiva del elemento a flexión o a cortante es adecuada.
 El vano corresponde a la ubicación de la viga en el modelo estructural.

ESTUDIO DE VULNERABILIDAD



Nex= resistencia existente de los elementos de la estructura actual
βc: 1 (coeficiente de reducción por estado de la edificación)
βe: 1 (coeficiente de reducción por calidad y diseño de la construcción)
Nef = βc & Nex (resistencia efectiva)
IS = Índice de sobre-esfuerzo (Solicitud/Resistencia efectiva)

ELEMENTO: VIGA 12 - N+3.20
SECCION: 13x35
b : 13 cm
d : 30 cm

f'c : 210 kg/cm²
f' y (long): 4200 kg/cm²
f' y (trans): 2400 kg/cm²
φVc: 2.55 Ton

| | | | |
|------|---|----------------|----------------|
| Obra | ESTUDIO DE VULNERABILIDAD TEATRO LA MEDIA TORTA | Nº 2666 | Fecha 01/02/02 |
| Item | INDICES DE SOBRE-ESFUERZO EN VIGAS ESTRUCTURA MODIFICADA | Calculó A.P.B. | Revisó J.E.B. |

| VANO | Ubicación | Referzo | FLEXIÓN | | | | | | CORTANTE | | | | | | | | | |
|------|------------|---------|--------------------|---------|-----------------|--------------------|----------------|-----|-----------------|--------|------|----------------|------|----------------|------|----------------|-----------|------|
| | | | Momentos negativos | | | Momentos positivos | | | Máx. | | | No. de ranuras | φ | A _s | S | V _c | Ver (Ton) | IS |
| | | | A _s | ρ | M _{ef} | M _{ef} | M _s | IS | M _{ef} | IS | | #2 | 0.64 | 25 | 4.11 | 0 | 0.00 | |
| 22 | Inicio | 1#4 | 1.27 | 0.00326 | 1.38 | 0 | 0.00 | 2#3 | 1.42 | 0.0036 | 1.54 | 0 | 0.00 | 2 | #2 | 0.64 | 25 | 4.11 |
| | Centro luz | 2#4 | 2.54 | 0.00651 | 2.66 | 0 | 0.00 | 2#3 | 1.42 | 0.0036 | 1.54 | 0 | 0.00 | 2 | #2 | 0.64 | 25 | 4.11 |
| 23 | Final | 2#4 | 2.54 | 0.00651 | 2.66 | 2 | 0.75 | 2#3 | 1.42 | 0.0036 | 1.54 | 0 | 0.00 | 2 | #2 | 0.64 | 15 | 5.18 |
| | Inicio | 2#4 | 2.54 | 0.00651 | 2.66 | 1 | 0.38 | 2#3 | 1.42 | 0.0036 | 1.54 | 0 | 0.00 | 2 | #2 | 0.64 | 15 | 5.16 |
| 24 | Centro luz | 1#4 | 1.27 | 0.00326 | 1.38 | 0 | 0.00 | 2#3 | 1.42 | 0.0036 | 1.54 | 0 | 0.00 | 2 | #2 | 0.64 | 25 | 4.11 |
| | Final | 2#4 | 2.54 | 0.00651 | 2.66 | 1 | 0.38 | 2#3 | 1.42 | 0.0036 | 1.54 | 0 | 0.00 | 2 | #2 | 0.64 | 15 | 5.16 |
| 24 | Inicio | 2#4 | 2.54 | 0.00651 | 2.66 | 1 | 0.38 | 2#4 | 2.54 | 0.0066 | 2.66 | 0 | 0.00 | 2 | #2 | 0.64 | 15 | 5.16 |
| | Centro luz | 1#3 | 0.71 | 0.00182 | 0.79 | 0 | 0.00 | 2#4 | 2.54 | 0.0066 | 2.66 | 1 | 0.38 | 2 | #2 | 0.64 | 25 | 4.11 |
| | Final | 2#4 | 2.54 | 0.00651 | 2.66 | 2 | 0.76 | 2#4 | 2.54 | 0.0065 | 2.66 | 1 | 0.38 | 2 | #2 | 0.64 | 15 | 5.16 |

Nota:
 Si el índice de sobreesfuerzo (IS) es menor o igual a 1.0, la resistencia efectiva del elemento a flexión o a cortante es adecuada.
 El vano corresponde a la ubicación de la viga en el modelo estructural.

ESTUDIO DE VULNERABILIDAD



Nex = resistencia existente de los elementos de la estructura actual
 ac: 1 (coeficiente de reducción por estado de la edificación)
 ñer: 1 (coeficiente de reducción por calidad y diseño de la construcción)
 Nef = ac & Nex (resistencia efectiva)
 IS = índice de sobre-esfuerzo (Solicitación/Resistencia efectiva)

ELEMENTO: VIGA 2 - N+6.00
 SECCION: 30x35
 b : 30 cm
 d : 30 cm

Nex = resistencia existente de los elementos de la estructura actual

ac: 1 (coeficiente de reducción por estado de la edificación)

ñer: 1 (coeficiente de reducción por calidad y diseño de la construcción)

Nef = ac & Nex (resistencia efectiva)

IS = índice de sobre-esfuerzo (Solicitación/Resistencia efectiva)

f_c: 210 kg/cm²
 f_y (long): 2400 kg/cm²
 f_y (trans): 4200 kg/cm²
 øVc: 6 Ton

Obra ESTUDIO DE VULNERABILIDAD
 TEATRO LA MEDIA TORTA
 Item INDICES DE SOBRE-ESFUERZO EN VIGAS
 ESTRUCTURA MODIFICADA

ELEMENTO: VIGA 2 - N+6.00
 SECCION: 30x35
 b : 30 cm
 d : 30 cm

f_c: 210 kg/cm²
 f_y (long): 2400 kg/cm²
 f_y (trans): 4200 kg/cm²
 øVc: 6 Ton

Nº 2666 Fecha 01/02/02
 Calculó A.P.B. Revisó J.E.B.

089

| VANO | Ubicación | Referencia | Momentos negativos | | | | Momentos positivos | | | | CORTANTE | | | | | | | | | |
|------|------------|------------|--------------------------------------|------------|--------------|---------------------------|--------------------------------------|------------|--------------|---------------------------|----------------------|-----------------|--------------------------------------|--------------|------------|------|-------|-------|------|------|
| | | | A _s (cm ²) | p (F·m) | Mef (F·m) | M _{eff} (F·m) | A _s (cm ²) | p (F·m) | Mef (F·m) | M _{eff} (F·m) | No. de referencia | φ referencia | A _s (cm ²) | Vef (Ton) | S (Ton) | | | | | |
| 1 | Inicio | 3#4 | 3.81 | 0.00423 | 4.10 | 0.97 | 2#4 | 2.54 | 0.0028 | 2.78 | 1 | 0.36 | 2 | #3 | 1.42 | 15 | 11.67 | 9 | 0.77 | |
| | Centro luz | 2#4 | 2.54 | 0.00282 | 2.78 | 1 | 0.36 | 2#4 + 2#5 | 6.50 | 0.00172 | 6.74 | 4 | 0.59 | 2 | #3 | 1.42 | 25 | 9.35 | 4 | 0.43 |
| | Final | 4#5 | 7.92 | 0.00580 | 8.05 | 5 | 0.62 | 2#4 | 2.54 | 0.0028 | 2.78 | 2 | 0.72 | 2 | #3 | 1.42 | 15 | 11.67 | 11 | 0.94 |
| 2 | Inicio | 4#5 | 7.92 | 0.00580 | 8.05 | 5 | 0.62 | 2#4 | 2.54 | 0.0028 | 2.78 | 2 | 0.72 | 2 | #3 | 1.42 | 15 | 11.67 | 10 | 0.86 |
| | Centro luz | 2#5 | 3.96 | 0.00440 | 4.26 | 1 | 0.23 | 2#4 + 2#5 | 6.50 | 0.00172 | 6.74 | 2 | 0.30 | 2 | #3 | 1.42 | 25 | 9.35 | 3 | 0.32 |
| | Final | 4#5 | 7.92 | 0.00680 | 8.05 | 5 | 0.62 | 2#4 | 2.54 | 0.0028 | 2.78 | 2 | 0.72 | 2 | #3 | 1.42 | 15 | 11.67 | 10 | 0.86 |
| 3 | Inicio | 4#5 | 7.92 | 0.00580 | 8.05 | 5 | 0.62 | 2#4 | 2.54 | 0.0028 | 2.78 | 2 | 0.72 | 2 | #3 | 1.42 | 15 | 11.67 | 11 | 0.94 |
| | Centro luz | 2#4 | 2.54 | 0.00282 | 2.78 | 1 | 0.36 | 2#4 + 2#5 | 6.50 | 0.00172 | 6.74 | 4 | 0.59 | 2 | #3 | 1.42 | 25 | 9.35 | 4 | 0.43 |
| | Final | 3#4 | 3.81 | 0.00423 | 4.10 | 4 | 0.97 | 2#4 | 2.54 | 0.0028 | 2.78 | 1 | 0.36 | 2 | #3 | 1.42 | 15 | 11.67 | 9 | 0.77 |

| VANO | Ubicación | Referencia | Momentos negativos | | | | Momentos positivos | | | | CORTANTE | | | | | | | | | |
|------|------------|------------|--------------------------------------|------------|--------------|---------------------------|--------------------------------------|------------|--------------|---------------------------|----------------------|-----------------|--------------------------------------|--------------|------------|------|----|-------|---|------|
| | | | A _s (cm ²) | p (F·m) | Mef (F·m) | M _{eff} (F·m) | A _s (cm ²) | p (F·m) | Mef (F·m) | M _{eff} (F·m) | No. de referencia | φ referencia | A _s (cm ²) | Vef (Ton) | S (Ton) | | | | | |
| 4 | Inicio | 3#4 | 3.81 | 0.00423 | 4.10 | 4 | 0.97 | 2#4 | 2.54 | 0.0028 | 2.78 | 1 | 0.36 | 2 | #3 | 1.42 | 15 | 11.67 | 9 | 0.77 |
| | Centro luz | 2#4 | 2.54 | 0.00282 | 2.78 | 1 | 0.36 | 2#4 + 2#5 | 6.50 | 0.00172 | 6.74 | 3 | 0.44 | 2 | #3 | 1.42 | 25 | 9.35 | 3 | 0.32 |
| | Final | 4#5 | 7.92 | 0.00580 | 8.05 | 5 | 0.62 | 2#4 | 2.54 | 0.0028 | 2.78 | 2 | 0.72 | 2 | #3 | 1.42 | 15 | 11.67 | 9 | 0.77 |
| 5 | Inicio | 4#5 | 7.92 | 0.00580 | 8.05 | 5 | 0.62 | 2#4 | 2.54 | 0.0028 | 2.78 | 2 | 0.72 | 2 | #3 | 1.42 | 15 | 11.67 | 9 | 0.77 |
| | Centro luz | 2#5 | 3.96 | 0.00440 | 4.26 | 1 | 0.23 | 2#4 + 2#5 | 6.50 | 0.00172 | 6.74 | 2 | 0.30 | 2 | #3 | 1.42 | 25 | 9.35 | 3 | 0.32 |
| | Final | 4#5 | 7.92 | 0.00680 | 8.05 | 5 | 0.62 | 2#4 | 2.54 | 0.0028 | 2.78 | 2 | 0.72 | 2 | #3 | 1.42 | 15 | 11.67 | 9 | 0.77 |
| 6 | Inicio | 4#5 | 7.92 | 0.00680 | 8.05 | 4 | 0.50 | 2#4 | 2.54 | 0.0028 | 2.78 | 1 | 0.36 | 2 | #3 | 1.42 | 15 | 11.67 | 9 | 0.77 |
| | Centro luz | 2#4 | 2.54 | 0.00282 | 2.78 | 1 | 0.36 | 2#4 + 2#5 | 6.50 | 0.00172 | 6.74 | 3 | 0.44 | 2 | #3 | 1.42 | 25 | 9.35 | 3 | 0.32 |
| | Final | 3#4 | 3.81 | 0.00423 | 4.10 | 4 | 0.97 | 2#4 | 2.54 | 0.0028 | 2.78 | 1 | 0.36 | 2 | #3 | 1.42 | 15 | 11.67 | 9 | 0.77 |

Nota: Si el índice de sobreesfuerzo (IS) es menor o igual a 1.0, la resistencia efectiva del elemento a flexión o a cortante es adecuada.
 El vano corresponde a la ubicación de la viga en el modelo estructural.

ESTUDIO DE VULNERABILIDAD



Nex = resistencia existente de los elementos de la estructura actual
 Φc = 1 (coeficiente de reducción por estado de la edificación)
 Φe = 1 (coeficiente de reducción por calidad y diseño de la construcción)
 Nef = Φc × Nex (resistencia efectiva)
 IS = Índice de sobre-esfuerzo (Solicitación/Resistencia efectiva)

ELEMENTO: VIGA 16 - N+6.00
 SECCION: 30x35
 b: 30 cm
 d: 30 cm

f_c: 210 kg/cm²
 f_y (long): 4200 kg/cm²
 f_y (trans): 2400 kg/cm²
 φVc: 6 Ton

| | | | |
|------|---|----------------|----------------|
| Obra | ESTUDIO DE VULNERABILIDAD TEATRO LA MEDIA TORTA | Nº 2666 | Fecha 01/02/02 |
| Item | INDICES DE SOBRE-ESFUERZO EN VIGAS ESTRUCTURA MODIFICADA | Calculó A.P.B. | Revisó J.E.B. |

| VANO | Ubicación | FLEXIÓN | | | | | | CORTANTE | | | | | | | | | | | | |
|------|------------|--------------------|----------|--------------------------------------|-------|--------------------------|----------------------------|--------------------------|------|--------------------------|----------------------------|----|-----------------|----------------------------|--------------------------------------|-------------------------|--------------|----------------|----|------|
| | | Momentos negativos | Refuerzo | A _s (cm ²) | ρ | M _{ef} (T-m) | M _{int.} (T-m) | As (cm ²) | ρ | M _{ef} (T-m) | M _{int.} (T-m) | Is | No. de ramas | φ _s Refuerzo | A _s (cm ²) | S (cm ²) | Vef (Ton) | Vint. (Ton) | IS | |
| 7 | Inicio | 245 + 144 | 5.23 | 0.00381 | 5.52 | 6 | 1.09 | 245 | 3.96 | 0.0044 | 4.28 | 2 | 0.47 | 2 | #3 | 1.42 | 15 | 11.67 | 8 | 0.77 |
| | Centro luz | 295 | 3.96 | 0.00440 | 4.28 | 1 | 0.23 | 245 + 266 | 9.86 | 0.0107 | 9.57 | 4 | 0.42 | 2 | #3 | 1.42 | 25 | 9.35 | 2 | 0.21 |
| | Final | 246 + 287 | 13.48 | 0.01496 | 12.57 | 6 | 0.48 | 245 | 3.96 | 0.0044 | 4.26 | 2 | 0.47 | 4 | #3 | 2.84 | 15 | 17.46 | 9 | 0.62 |
| 8 | Inicio | 246 + 287 | 13.48 | 0.01496 | 12.57 | 5 | 0.40 | 244 | 2.54 | 0.0028 | 2.76 | 2 | 0.72 | 4 | #3 | 2.84 | 15 | 17.46 | 10 | 0.57 |
| | Centro luz | 246 | 5.70 | 0.00633 | 5.98 | 1 | 0.17 | 344 | 3.81 | 0.0042 | 4.10 | 2 | 0.49 | 2 | #3 | 1.42 | 15 | 11.67 | 3 | 0.26 |
| | Final | 346 | 8.55 | 0.00950 | 8.61 | 5 | 0.68 | 244 | 2.54 | 0.0028 | 2.78 | 2 | 0.72 | 2 | #3 | 1.42 | 15 | 11.67 | 10 | 0.86 |
| 9 | Inicio | 346 | 8.55 | 0.00950 | 8.61 | 5 | 0.58 | 244 | 2.54 | 0.0028 | 2.76 | 2 | 0.72 | 2 | #3 | 1.42 | 15 | 11.67 | 10 | 0.86 |
| | Centro luz | 246 | 5.70 | 0.00633 | 5.98 | 1 | 0.17 | 344 | 3.81 | 0.0042 | 4.10 | 3 | 0.73 | 2 | #3 | 1.42 | 15 | 11.67 | 3 | 0.26 |
| | Final | 346 | 8.55 | 0.00950 | 8.61 | 5 | 0.58 | 244 | 2.54 | 0.0028 | 2.78 | 2 | 0.72 | 2 | #3 | 1.42 | 15 | 11.67 | 10 | 0.86 |
| 10 | Inicio | 346 | 8.55 | 0.00950 | 8.61 | 5 | 0.58 | 244 | 2.54 | 0.0028 | 2.78 | 2 | 0.72 | 2 | #3 | 1.42 | 15 | 11.67 | 10 | 0.86 |
| | Centro luz | 246 | 5.70 | 0.00633 | 5.98 | 1 | 0.17 | 344 | 3.81 | 0.0042 | 4.10 | 2 | 0.49 | 2 | #3 | 1.42 | 15 | 11.67 | 3 | 0.26 |
| | Final | 246 + 287 | 13.48 | 0.01496 | 12.57 | 5 | 0.40 | 244 | 2.54 | 0.0028 | 2.78 | 2 | 0.72 | 4 | #3 | 2.84 | 15 | 17.46 | 10 | 0.57 |
| 11 | Inicio | 246 + 287 | 13.48 | 0.01496 | 12.57 | 6 | 0.48 | 245 | 3.96 | 0.0044 | 4.26 | 2 | 0.47 | 4 | #3 | 2.84 | 15 | 17.46 | 9 | 0.62 |
| | Centro luz | 245 | 3.96 | 0.00440 | 4.28 | 1 | 0.23 | 245 + 266 | 9.86 | 0.0107 | 9.57 | 3 | 0.31 | 2 | #3 | 1.42 | 25 | 9.35 | 3 | 0.32 |
| | Final | 245 + 144 | 5.23 | 0.00381 | 5.52 | 7 | 1.27 | 245 | 3.96 | 0.0044 | 4.26 | 2 | 0.47 | 2 | #3 | 1.42 | 15 | 11.67 | 10 | 0.86 |

Nota: Si el índice de sobreesfuerzo (IS) es menor o igual a 1.0, la resistencia efectiva del elemento a flexión o a cortante es adecuada.
 El vano corresponde a la ubicación de la viga en el modelo estructural.

990

ESTUDIO DE VULNERABILIDAD



| | | | |
|------|---|---------|----------------|
| Obra | ESTUDIO DE VULNERABILIDAD TEATRO LA MEDIA TORTA | | |
| Item | INDICES DE SOBRE-ESFUERZO EN VIGAS ESTRUCTURA MODIFICADA | Nº 2666 | Fecha 01/02/02 |

Nex* = resistencia existente de los elementos de la estructura actual
øc: 1 (coeficiente de reducción por estado de la edificación).
øe: 1 (coeficiente de reducción por calidad y diseño de la construcción)
Nef = øc øe Nex (resistencia efectiva)
IS = índice de sobre-esfuerzo (Solicitud/Resistencia efectiva)

ELEMENTO: VIGA 27 - N+6.00
SECCION: 30x35
b : 13 cm
d : 30 cm

f'c : 210 kg/cm²
f' y (long): 4200 kg/cm²
f' y (trans): 2400 kg/cm²
ρVc: 3 Ton

| VANO | FLEXIÓN | | | | | | | | | | CORTANTE | | | | | | | | | |
|-----------|--------------------|----------------------|------|-----------------------|-----------------------|--------------------|----------------------|-----|-----------------------|-----------------------|----------------|---|-----------------------|---|-----------------------|-----------------------|-----------------------|------|---|------|
| | Momentos negativos | | | | | Momentos positivos | | | | | φ | | M _{ef} (Ton) | | φ | | M _{ef} (Ton) | | φ | |
| Ubicación | Refuerzo | A _s (emz) | ρ | M _{ef} (T·m) | M _{ef} (T·m) | Refuerzo | A _s (emz) | ρ | M _{ef} (T·m) | M _{ef} (T·m) | No. de ranuras | φ | A _s (emz) | ρ | M _{ef} (Ton) | V _{ef} (Ton) | V _{ef} (Ton) | IS | | |
| 22 | Inicio | 284 | 2.54 | 0.00651 | 2.68 | 0 | 0.00 | 283 | 1.42 | 0.0036 | 1.54 | 0 | 0.00 | 2 | #2 | 0.64 | 25 | 4.11 | 0 | 0.00 |
| | Centro luz | 284 | 2.54 | 0.00651 | 2.68 | 0 | 0.00 | 283 | 1.42 | 0.0036 | 1.54 | 0 | 0.00 | 2 | #2 | 0.64 | 25 | 4.11 | 1 | 0.24 |
| | Final | 284 | 2.54 | 0.00651 | 2.68 | 2 | 0.75 | 283 | 1.42 | 0.0036 | 1.54 | 0 | 0.00 | 2 | #2 | 0.64 | 15 | 5.16 | 2 | 0.39 |
| 23 | Inicio | 284 | 2.54 | 0.00651 | 2.68 | 1 | 0.38 | 283 | 1.42 | 0.0036 | 1.54 | 0 | 0.00 | 2 | #2 | 0.64 | 15 | 5.16 | 2 | 0.39 |
| | Centro luz | 284 | 2.54 | 0.00651 | 2.68 | 0 | 0.00 | 283 | 1.42 | 0.0036 | 1.54 | 0 | 0.00 | 2 | #2 | 0.64 | 25 | 4.11 | 1 | 0.24 |
| | Final | 284 | 2.54 | 0.00651 | 2.68 | 1 | 0.38 | 283 | 1.42 | 0.0036 | 1.54 | 0 | 0.00 | 2 | #2 | 0.64 | 15 | 5.16 | 2 | 0.39 |
| 24 | Inicio | 284 | 2.54 | 0.00651 | 2.68 | 1 | 0.38 | 284 | 2.54 | 0.0065 | 2.68 | 0 | 0.00 | 2 | #2 | 0.64 | 15 | 5.16 | 2 | 0.39 |
| | Centro luz | 283 | 1.42 | 0.00364 | 1.54 | 0 | 0.00 | 284 | 2.54 | 0.0065 | 2.68 | 1 | 0.38 | 2 | #2 | 0.64 | 15 | 5.16 | 2 | 0.39 |
| | Final | 284 | 2.54 | 0.00651 | 2.68 | 2 | 0.75 | 284 | 2.54 | 0.0065 | 2.68 | 1 | 0.38 | 2 | #2 | 0.64 | 25 | 4.11 | 1 | 0.24 |
| 25 | Inicio | 284 | 2.54 | 0.00651 | 2.68 | 2 | 0.75 | 284 | 2.54 | 0.0065 | 2.68 | 1 | 0.38 | 2 | #2 | 0.64 | 15 | 5.16 | 3 | 0.68 |
| | Centro luz | 283 | 1.42 | 0.00364 | 1.54 | 0 | 0.00 | 284 | 2.54 | 0.0065 | 2.68 | 1 | 0.38 | 2 | #2 | 0.64 | 15 | 5.16 | 3 | 0.68 |
| | Final | 284 | 2.54 | 0.00651 | 2.68 | 1 | 0.38 | 284 | 2.54 | 0.0065 | 2.68 | 0 | 0.00 | 2 | #2 | 0.64 | 15 | 5.16 | 3 | 0.68 |

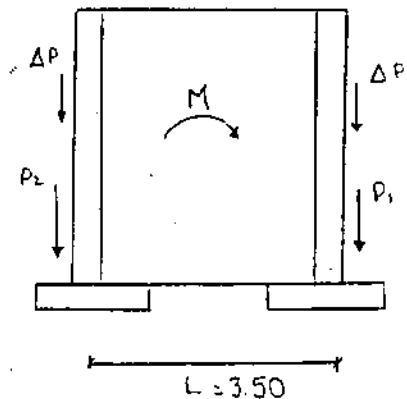
Nota: Si el índice de sobrefuerzo (IS) es menor o igual a 1.0, la resistencia efectiva del elemento a flexión o a cortante es adecuada.
 El vano corresponde a la ubicación de la viga en el modelo estructural.

| | | | | | |
|------|--|---------|--------|--------|----------|
| Obra | ESTUDIO DE VULNERABILIDAD TEATRO LA MEDIA TORTA | Nº | 2666 | Fecha | 01/02/02 |
| Item | VERIFICACIÓN DE CIMENTACIÓN MUROS ADICIONALES | Calculó | A.P.B. | Revisó | J.E.B. |

092

Verificación de cimentación para los muros 6 y 7 (adicionales).

Los datos obtenidos a partir del programa ETABS se muestran en el archivo .dat.



En la cimentación, los valores de momento son:

$$\text{Muro 6} \rightarrow M_u = 15.89 \text{ T.m}$$

$$\text{Muro 7} \rightarrow M_u = 16.60 \text{ T.m}$$

Para este caso 1: toma

$$M_u = M_u / 1.4 = 16.60 / 1.4 = 11.86 \text{ T.m}$$

$$\Delta P = M_u / L = 11.86 / 3.50 = 3.39 \text{ Ton}$$

Considerando que el incremento en la carga vertical es 33%, q. que la capacidad portante del terreno sea aumentar un 33% según lo establecido la NSE-93, no es necesario reforzar la cimentación.



| | | | | | | | |
|------|--|---------|---------------|--------|-----------------|--|------------|
| Obra | ESTUDIO DE VULNERABILIDAD TEATRO LA MEDIA TORTA | Nº | 2666 | Fecha | 01/02/02 | | |
| Item | SOLICITACIONES MUROS ADICIONALES | Calculó | A.P.B. | Revisó | J.E.B. | | 093 |

E T A B S

Extended Three Dimensional Analysis of Building Systems

Version P6.10

Copyright (C) 1983-1995
COMPUTERS AND STRUCTURES, INC.
All rights reserved

This copy of ETABS is for the exclusive use of

PROYECTISTAS CIVILES ASOCIADOS

Unauthorized use is in violation of Federal copyright laws

It is the responsibility of the user to verify all
results produced by this program
7 Feb 2001 10:31:33



| | | | | | | |
|------|--|---------|--------|--------|----------|--|
| Obra | ESTUDIO DE VULNERABILIDAD TEATRO LA MEDIA TORTA | Nº | 2666 | Fecha | 01/02/02 | |
| Item | SOLICITACIONES MUROS ADICIONALES | Calculó | A.P.B. | Revisó | J.E.B. | |

094

PROYECTISTAS CIVILES ASOCIADOS

ETABS_FILE: T2DIS.PST/READER_FILE: PAGE 2 MUROS.OUT

TEATRO LA MEDIA TORTA - ESTRUCTURA ACTUAL
ANALISIS DINAMICO

LOAD CASE DEFINITION DATA

| LOAD | LTYPE | I | II | III | A | B | C | D1 | D2 |
|------|-------|-------|-------|-------|-------|-------|-------|--------|--------|
| 1 | 0 | 1.400 | 1.700 | 0.000 | 0.000 | 0.000 | 0.000 | 0.000 | 0.000 |
| 2 | 0 | 1.050 | 1.280 | 0.000 | 0.000 | 0.000 | 0.000 | 0.950 | 0.260 |
| 3 | 0 | 1.050 | 1.280 | 0.000 | 0.000 | 0.000 | 0.000 | 0.950 | -0.260 |
| 4 | 0 | 1.050 | 1.280 | 0.000 | 0.000 | 0.000 | 0.000 | -0.950 | 0.260 |
| 5 | 0 | 1.050 | 1.280 | 0.000 | 0.000 | 0.000 | 0.000 | -0.950 | -0.260 |

WALL FORCES AT LEVEL N11.60 IN FRAME

| WALL | OUTPUT | OUTPUT | MAJOR | MAJOR | MINOR | MINOR | AXIAL | TORSIONAL |
|------|--------|--------|-----------|----------|---------|--------|-----------|-----------|
| ID | ID | POINT | MOMENT | SHEAR | MOMENT | SHEAR | FORCE | MOMENT |
| 11 | CASE 1 | TOP | 11769.70 | 604.52 | -8.89 | 10.03 | -33524.53 | -19.21 |
| | | BOTTOM | 13462.36 | | 19.19 | | | |
| 11 | CASE 2 | TOP | 23402.44 | 8060.75 | 73.56 | 74.00 | 6073.26 | 3.63 |
| | | BOTTOM | 40261.62 | | 120.59 | | | |
| 11 | CASE 3 | TOP | 4484.24 | 2871.23 | 64.81 | 66.87 | 4450.09 | -8.17 |
| | | BOTTOM | 8194.56 | | 109.35 | | | |
| 11 | CASE 4 | TOP | 13209.19 | -1964.37 | -78.12 | -51.84 | -54740.32 | -20.69 |
| | | BOTTOM | 12038.09 | | -80.56 | | | |
| 11 | CASE 5 | TOP | -5709.01 | -7153.89 | -86.87 | -58.96 | -56363.49 | -32.49 |
| | | BOTTOM | -20028.98 | | -91.80 | | | |
| 12 | CASE 1 | TOP | 10131.25 | 640.20 | 30.43 | -18.30 | -57821.40 | -6.67 |
| | | BOTTOM | 11923.82 | | -20.82 | | | |
| 12 | CASE 2 | TOP | 21405.93 | 7906.95 | 102.35 | 52.09 | -12391.96 | 12.07 |
| | | BOTTOM | 37843.06 | | 89.43 | | | |
| 12 | CASE 3 | TOP | 3262.13 | 3009.20 | 93.89 | 45.26 | -13735.51 | 1.43 |
| | | BOTTOM | 7136.99 | | 78.71 | | | |
| 12 | CASE 4 | TOP | 11968.98 | -2048.67 | -48.21 | -72.74 | -73069.91 | -11.45 |
| | | BOTTOM | 10783.63 | | -109.96 | | | |
| 12 | CASE 5 | TOP | -6174.82 | -6946.41 | -56.67 | -79.56 | -74413.46 | -22.09 |
| | | BOTTOM | -19922.44 | | -120.68 | | | |



| | | | | | | |
|------|--|---------|---------------|--------|-----------------|-------|
| Obra | ESTUDIO DE VULNERABILIDAD TEATRO LA MEDIA TORTA | Nº | 2666 | Fecha | 01/02/02 | |
| Item | SOLICITACIONES MUROS ADICIONALES | Calculó | A.P.B. | Revisó | J.E.B. | 30030 |

WALL FORCES AT LEVEL N8.80 IN FRAME

| WALL | OUTPUT | OUTPUT | MAJOR | MAJOR | MINOR | MINOR | AXIAL | TORSIONAL |
|------|--------|--------|-----------|-----------|--------|--------|-----------|-----------|
| ID | ID | POINT | MOMENT | SHEAR | MOMENT | SHEAR | FORCE | MOMENT |
| 9 | CASE 1 | TOP | -11994.05 | 727.67 | 7.18 | -5.97 | -46418.18 | 8.86 |
| | | BOTTOM | -9956.56 | | -9.53 | | | |
| 9 | CASE 2 | TOP | 6785.59 | 12506.72 | 21.88 | 9.59 | 443.01 | 22.39 |
| | | BOTTOM | 31921.42 | | 16.74 | | | |
| 9 | CASE 3 | TOP | -1091.64 | 10170.35 | 15.15 | 4.40 | -9284.66 | 16.12 |
| | | BOTTOM | 23659.45 | | 8.86 | | | |
| 9 | CASE 4 | TOP | -16918.94 | -9077.97 | -4.37 | -13.36 | -60407.26 | -2.81 |
| | | BOTTOM | -38611.35 | | -23.17 | | | |
| 9 | CASE 5 | TOP | -24796.17 | -11414.33 | -11.10 | -18.55 | -70134.93 | -9.07 |
| | | BOTTOM | -46873.32 | | -31.06 | | | |
| 10 | CASE 1 | TOP | 3946.00 | 160.71 | -10.09 | 6.64 | -27525.38 | -10.17 |
| | | BOTTOM | 4395.98 | | 8.49 | | | |
| 10 | CASE 2 | TOP | 18698.46 | 11966.58 | 8.63 | 18.83 | 14289.66 | 7.84 |
| | | BOTTOM | 42404.24 | | 29.93 | | | |
| 10 | CASE 3 | TOP | 11396.45 | 9902.42 | 2.16 | 13.85 | 4764.33 | 1.82 |
| | | BOTTOM | 34772.36 | | 22.35 | | | |
| 10 | CASE 4 | TOP | -5451.00 | -9662.14 | -17.32 | -3.88 | -46062.71 | -17.09 |
| | | BOTTOM | -28154.14 | | -9.60 | | | |
| 10 | CASE 5 | TOP | -12753.02 | -11726.30 | -23.79 | -8.86 | -55588.05 | -23.12 |
| | | BOTTOM | -35786.02 | | -17.18 | | | |
| 11 | CASE 1 | TOP | -3766.79 | 183.11 | -16.55 | 12.71 | -33714.19 | -18.60 |
| | | BOTTOM | -3254.08 | | 19.05 | | | |
| 11 | CASE 2 | TOP | 13771.21 | 9945.55 | 11.91 | 30.17 | 18759.27 | 15.97 |
| | | BOTTOM | 29010.15 | | 48.46 | | | |
| 11 | CASE 3 | TOP | -4305.22 | 4294.88 | 4.23 | 24.66 | 13675.04 | 6.47 |
| | | BOTTOM | -4071.57 | | 40.67 | | | |
| 11 | CASE 4 | TOP | -1328.57 | -4020.15 | -29.09 | -5.56 | -64245.92 | -34.40 |
| | | BOTTOM | -793.00 | | -12.06 | | | |
| 11 | CASE 5 | TOP | -19405.00 | -9670.82 | -36.77 | -11.07 | -69330.14 | -43.90 |
| | | BOTTOM | -33874.72 | | -19.85 | | | |
| 12 | CASE 1 | TOP | -3621.79 | 46.14 | 14.88 | -13.29 | -59531.39 | 19.31 |
| | | BOTTOM | -3492.59 | | -22.32 | | | |
| 12 | CASE 2 | TOP | 13229.55 | 9680.68 | 35.14 | 10.36 | -819.99 | 44.02 |
| | | BOTTOM | 27763.93 | | 16.99 | | | |
| 12 | CASE 3 | TOP | -4092.34 | 4321.06 | 27.74 | 5.04 | -5952.99 | 34.82 |
| | | BOTTOM | -3855.46 | | 9.45 | | | |
| 12 | CASE 4 | TOP | -1323.39 | -4252.18 | -5.39 | -25.00 | -83417.91 | -5.81* |
| | | BOTTOM | -1367.40 | | -42.98 | | | |
| 12 | CASE 5 | TOP | -18645.28 | -9611.80 | -12.79 | -30.32 | -88550.91 | -15.01 |
| | | BOTTOM | -32986.79 | | -50.52 | | | |



| | | | | | | |
|------|--|---------|--------|--------|----------|--|
| Obra | ESTUDIO DE VULNERABILIDAD TEATRO LA MEDIA TORTA | Nº | 2666 | Fecha | 01/02/02 | |
| Item | SOLICITACIONES MUROS ADICIONALES | Calculó | A.P.B. | Revisó | J.E.B. | |

096

WALL FORCES AT LEVEL N6.00 IN FRAME

| WALL OUTPUT ID | OUTPUT ID | POINT | MAJOR MOMENT | MAJOR SHEAR | MINOR MOMENT | MINOR SHEAR | AXIAL FORCE | TORSIONAL MOMENT |
|----------------|-----------|-----------|--------------|-------------|--------------|-------------|-------------|------------------|
| 6 CASE 1 | TOP | 23890.22 | -12534.53 | | -78.53 | 54.70 | -43241.92 | -39.96 |
| | BOTTOM | -11206.46 | | | 74.63 | | | |
| 6 CASE 2 | TOP | 27813.69 | -940.39 | | -41.99 | 50.00 | -27218.60 | -22.17 |
| | BOTTOM | 6079.01 | | | 66.34 | | | |
| 6 CASE 3 | TOP | 22077.61 | -9184.80 | | -49.30 | 46.23 | -27532.67 | -24.22 |
| | BOTTOM | -11403.05 | | | 63.09 | | | |
| 6 CASE 4 | TOP | 13809.98 | -9640.66 | | -68.69 | 35.95 | -37411.98 | -35.80 |
| | BOTTOM | -5420.62 | | | 49.04 | | | |
| 6 CASE 5 | TOP | 8073.90 | -17885.06 | | -76.00 | 32.19 | -37726.06 | -37.84 |
| | BOTTOM | -22902.69 | | | 45.78 | | | |
| 7 CASE 1 | TOP | 20380.18 | -10253.12 | | 81.60 | -57.17 | -41562.49 | 39.34 |
| | BOTTOM | -8328.56 | | | -78.48 | | | |
| 7 CASE 2 | TOP | 24933.58 | 509.57 | | 77.97 | -34.20 | -25985.65 | 37.26 |
| | BOTTOM | 7734.59 | | | -48.81 | | | |
| 7 CASE 3 | TOP | 19560.67 | -7277.60 | | 71.04 | -37.74 | -26275.87 | 35.33 |
| | BOTTOM | -8823.85 | | | -51.80 | | | |
| 7 CASE 4 | TOP | 11051.79 | -8119.18 | | 51.55 | -48.15 | -36144.89 | 23.74 |
| | BOTTOM | -3674.67 | | | -66.10 | | | |
| 7 CASE 5 | TOP | 5678.88 | -15906.35 | | 44.62 | -51.69 | -36435.10 | 21.82 |
| | BOTTOM | -20233.11 | | | -69.09 | | | |
| 8 CASE 1 | TOP | -3636.14 | 8415.25 | | -124.01 | 270.22 | -48630.03 | 3.33 |
| | BOTTOM | 19926.55 | | | 632.60 | | | |
| 8 CASE 2 | TOP | 22299 | 63441 | | -23 | 251 | -36487 | 16 |
| | BOTTOM | 149872 | | | 539 | | | |
| 8 CASE 3 | TOP | 21219 | 61000 | | -139 | 171 | -36556 | 13 |
| | BOTTOM | 144118 | | | 432 | | | |
| 8 CASE 4 | TOP | -26684 | -48353 | | -48 | 235 | -36508 | -8 |
| | BOTTOM | -114171 | | | 518 | | | |
| 8 CASE 5 | TOP | -27764 | -50794 | | -164 | 155 | -36576 | -11 |
| | BOTTOM | -119925 | | | 411 | | | |
| 9 CASE 1 | TOP | -41975.25 | 27032.60 | | -7.48 | 3.89 | -55101.96 | 4.93 |
| | BOTTOM | 33716.02 | | | 3.41 | | | |
| 9 CASE 2 | TOP | 16800.57 | 40458.14 | | 11.00 | 11.35 | -9977.25 | 6.64 |
| | BOTTOM | 42105.12 | | | 9.98 | | | |
| 9 CASE 3 | TOP | 8309.30 | 39027.97 | | 7.99 | 9.68 | -20717.46 | 5.48 |
| | BOTTOM | 34613.86 | | | 7.70 | | | |
| 9 CASE 4 | TOP | -71352.64 | 1571.62 | | -19.22 | -3.84 | -62020.38 | 1.93 |
| | BOTTOM | 16021.66 | | | -2.58 | | | |
| 9 CASE 5 | TOP | -79843.92 | 141.46 | | -22.23 | -5.51 | -72760.59 | 0.77 |
| | BOTTOM | 8530.40 | | | -4.86 | | | |
| 10 CASE 1 | TOP | -14526.57 | 14762.46 | | 0.19 | -0.01 | -41077.50 | -4.34 |
| | BOTTOM | 26808.31 | | | 0.16 | | | |
| 10 CASE 2 | TOP | 37041.48 | 31079.50 | | 16.50 | 8.24 | 161.08 | -0.38 |
| | BOTTOM | 36547.27 | | | 7.31 | | | |
| 10 CASE 3 | TOP | 29284.76 | 29836.29 | | 13.81 | 6.86 | -10239.14 | -1.45 |
| | BOTTOM | 29462.80 | | | 5.48 | | | |
| 10 CASE 4 | TOP | -51076.05 | -7677.22 | | -13.54 | -6.97 | -51421.69 | -5.06 |
| | BOTTOM | 10791.30 | | | -5.23 | | | |



| | | | | | | | |
|------|--|---------|--------|--------|----------|--|-----|
| Obra | ESTUDIO DE VULNERABILIDAD TEATRO LA MEDIA TORTA | Nº | 2666 | Fecha | 01/02/02 | | |
| Item | SOLICITACIONES MUROS ADICIONALES | Calculó | A.P.B. | Revisó | J.E.B. | | 097 |

| | | | | | | | |
|-----------|--------|-----------|-----------|--------|--------|-----------|--------|
| 10 CASE 5 | TOP | -58832.77 | -8920.43 | -16.23 | -8.25 | -61821.91 | -6.13 |
| | BOTTOM | 3706.84 | | -7.05 | | | |
| 11 CASE 1 | TOP | 15008.93 | -8972.58 | -34.76 | 18.61 | -59386.44 | -14.61 |
| | BOTTOM | -10114.29 | | 17.35 | | | |
| 11 CASE 2 | TOP | 51025.37 | 10573.45 | -9.02 | 22.30 | -4863.98 | -4.83 |
| | BOTTOM | 22727.19 | | 20.50 | | | |
| 11 CASE 3 | TOP | 22565.74 | 2818.31 | -12.37 | 20.33 | -11014.92 | -8.93 |
| | BOTTOM | -7973.31 | | 18.30 | | | |
| 11 CASE 4 | TOP | -1.99 | -16295.56 | -39.84 | 7.62 | -78102.44 | -13.01 |
| | BOTTOM | -7195.25 | | 7.76 | | | |
| 11 CASE 5 | TOP | -28457.64 | -24050.70 | -43.19 | 5.65 | -84253.38 | -17.12 |
| | BOTTOM | -37895.74 | | 5.56 | | | |
| 12 CASE 1 | TOP | 2721.43 | -1740.99 | 27.72 | -15.33 | -78867.61 | 17.56 |
| | BOTTOM | -2153.36 | | -15.21 | | | |
| 12 CASE 2 | TOP | 40576.96 | 15046.00 | 37.72 | -3.29 | -19729.95 | 19.20 |
| | BOTTOM | 27286.88 | | -4.05 | | | |
| 12 CASE 3 | TOP | 13351.92 | 8822.30 | 34.51 | -5.16 | -25816.14 | 15.42 |
| | BOTTOM | -693.54 | | -6.11 | | | |
| 12 CASE 4 | TOP | -9250.67 | -11431.36 | 7.11 | -17.87 | -92578.96 | 10.95 |
| | BOTTOM | -2510.58 | | -16.74 | | | |
| 12 CASE 5 | TOP | -36475.71 | -17655.06 | 3.91 | -19.74 | -98665.15 | 7.17 |
| | BOTTOM | -30491.00 | | -18.80 | | | |

| | | | | | | |
|------|--|---------|--------|--------|----------|-----|
| Obra | ESTUDIO DE VULNERABILIDAD TEATRO LA MEDIA TORTA | Nº | 2666 | Fecha | 01/02/02 | |
| Item | SOLICITACIONES MUROS ADICIONALES | Calculó | A.P.B. | Revisó | J.E.B. | 098 |

WALL FORCES AT LEVEL N3.20 IN FRAME

| WALL | OUTPUT | OUTPUT | MAJOR | MAJOR | MINOR | MINOR | AXIAL | TORSIONAL |
|------|--------|--------|-----------|-----------|---------|--------|-----------|-----------|
| ID | ID | POINT | MOMENT | SHEAR | MOMENT | SHEAR | FORCE | MOMENT |
| 1 | CASE 1 | TOP | 26911 | 787 | -3059 | 1588 | -298750 | -53 |
| | | BOTTOM | 29194 | | 1546 | | | |
| 1 | CASE 2 | TOP | 233539 | 46299 | -2220 | 1233 | -207143 | 189 |
| | | BOTTOM | 346130 | | 1250 | | | |
| 1 | CASE 3 | TOP | 205466 | 42888 | -2345 | 1179 | -236826 | 163 |
| | | BOTTOM | 318045 | | 1130 | | | |
| 1 | CASE 4 | TOP | -165022 | -41705 | -2250 | 1207 | -211820 | -243 |
| | | BOTTOM | -274170 | | 1193 | | | |
| 1 | CASE 5 | TOP | -193095 | -45115 | -2374 | 1152 | -241502 | -268 |
| | | BOTTOM | -302254 | | 1073 | | | |
| 2 | CASE 1 | TOP | 10950.05 | -1076.59 | -47.80 | 24.39 | -73684.41 | 15.80 |
| | | BOTTOM | 7827.93 | | 22.93 | | | |
| 2 | CASE 2 | TOP | 25936.64 | 7158.82 | 24.76 | 51.48 | -38670.63 | 50.22 |
| | | BOTTOM | 26025.28 | | 56.69 | | | |
| 2 | CASE 3 | TOP | 9834.32 | -868.83 | -2.92 | 37.20 | -41059.17 | 11.27 |
| | | BOTTOM | 2001.79 | | 42.91 | | | |
| 2 | CASE 4 | TOP | 6620.73 | -750.55 | -68.92 | -0.54 | -69536.39 | 12.44 |
| | | BOTTOM | 9757.07 | | -8.45 | | | |
| 2 | CASE 5 | TOP | -9481.59 | -8778.20 | -96.60 | -14.82 | -71924.93 | -26.51 |
| | | BOTTOM | -14266.42 | | -22.23 | | | |
| 3 | CASE 1 | TOP | 6966.49 | 304.11 | 22.10 | -11.57 | -80464.61 | -9.79 |
| | | BOTTOM | 7848.42 | | -11.46 | | | |
| 3 | CASE 2 | TOP | 22394.56 | 7674.66 | 76.20 | 23.93 | -43928.71 | 29.28 |
| | | BOTTOM | 24504.46 | | 30.42 | | | |
| 3 | CASE 3 | TOP | 7466.85 | 808.18 | 49.67 | 10.25 | -46099.64 | -6.39 |
| | | BOTTOM | 2745.25 | | 17.22 | | | |
| 3 | CASE 4 | TOP | 3001.50 | -352.54 | -16.46 | -27.64 | -74685.69 | -8.29 |
| | | BOTTOM | 9044.43 | | -34.44 | | | |
| 3 | CASE 5 | TOP | -11926.20 | -7219.03 | -42.99 | -41.32 | -76856.63 | -43.96 |
| | | BOTTOM | -12714.78 | | -47.64 | | | |
| 4 | CASE 1 | TOP | 8825.83 | -631.13 | 20.30 | -12.54 | -51482.66 | 50.04 |
| | | BOTTOM | 6995.56 | | -16.08 | | | |
| 4 | CASE 2 | TOP | 37250.05 | 16012.76 | 123.82 | 48.30 | -19605.34 | 164.85 |
| | | BOTTOM | 30397.71 | | 50.98 | | | |
| 4 | CASE 3 | TOP | 8674.10 | 1960.68 | 91.66 | 31.00 | -36292.18 | 109.72 |
| | | BOTTOM | 16598.21 | | 26.10 | | | |
| 4 | CASE 4 | TOP | 4547.43 | -2899.85 | -61.20 | -49.82 | -40973.09 | -34.55 |
| | | BOTTOM | -6100.27 | | -50.24 | | | |
| 4 | CASE 5 | TOP | -24028.53 | -16951.93 | -93.36 | -67.13 | -57659.93 | -89.68 |
| | | BOTTOM | -19899.77 | | -75.11 | | | |
| 5 | CASE 1 | TOP | 15519.97 | -1828.45 | -35.80 | 20.35 | -55102.87 | -46.83 |
| | | BOTTOM | 10217.47 | | 23.22 | | | |
| 5 | CASE 2 | TOP | 40699.17 | 14300.10 | 79.60 | 71.90 | -23147.25 | 89.62 |
| | | BOTTOM | 31869.04 | | 79.09 | | | |
| 5 | CASE 3 | TOP | 14252.96 | 1552.41 | 48.46 | 55.13 | -38734.73 | 37.59 |
| | | BOTTOM | 19889.31 | | 55.41 | | | |
| 5 | CASE 4 | TOP | 9028.92 | -4290.98 | -102.20 | -24.58 | -43971.20 | -107.95 |
| | | BOTTOM | -4549.25 | | -20.54 | | | |

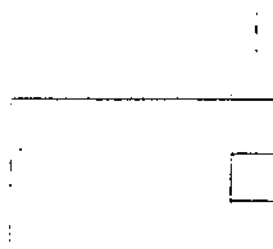


| | | | | | | |
|------|--|---------|--------|--------|----------|-----|
| Obra | ESTUDIO DE VULNERABILIDAD TEATRO LA MEDIA TORTA | Nº | 2666 | Fecha | 01/02/02 | |
| Item | SOLICITACIONES MUROS ADICIONALES | Calculó | A.P.B. | Revisó | J.E.B. | 039 |

| | | | | | | | |
|----------|--------|-----------|-----------|---------|--------|-----------|---------|
| 5 CASE 5 | TOP | -17417.29 | -17038.66 | -133.35 | -41.34 | -59558.69 | -159.98 |
| | BOTTOM | -16528.98 | | -44.22 | | | |
| 6 CASE 1 | TOP | 9442.26 | -1853.65 | -47.04 | 24.30 | -70980.41 | -18.91 |
| | BOTTOM | 4066.68 | | 23.44 | | | |
| 6 CASE 2 | TOP | 15894.91 | 208.68 | -32.83 | 19.64 | -47864.09 | -13.46 |
| | BOTTOM | 10960.40 | | 19.19 | | | |
| 6 CASE 3 | TOP | 4061.70 | -1707.76 | -33.63 | 19.22 | -48254.49 | -13.67 |
| | BOTTOM | 199.00 | | 18.78 | | | |
| 6 CASE 4 | TOP | 10136.74 | -1081.03 | -37.03 | 17.29 | -58353.14 | -14.73 |
| | BOTTOM | 5911.96 | | 16.42 | | | |
| 6 CASE 5 | TOP | -1696.47 | -2997.47 | -37.83 | 16.87 | -58743.54 | -14.94 |
| | BOTTOM | -4849.44 | | 16.02 | | | |
| 7 CASE 1 | TOP | 10674.85 | -2153.21 | 47.13 | -24.36 | -69226.36 | 18.42 |
| | BOTTOM | 4430.55 | | -23.53 | | | |
| 7 CASE 2 | TOP | 16598.26 | 56.23 | 37.84 | -16.95 | -46577.53 | 14.56 |
| | BOTTOM | 10779.17 | | -16.12 | | | |
| 7 CASE 3 | TOP | 5363.70 | -1728.89 | 37.10 | -17.33 | -46939.83 | 14.36 |
| | BOTTOM | 616.05 | | -16.49 | | | |
| 7 CASE 4 | TOP | 10687.20 | -1510.10 | 33.70 | -19.27 | -57031.74 | 13.31 |
| | BOTTOM | 6041.76 | | -18.85 | | | |
| 7 CASE 5 | TOP | -547.35 | -3295.23 | 32.96 | -19.65 | -57394.04 | 13.10 |
| | BOTTOM | -4121.36 | | -19.22 | | | |

| | | | | | |
|------|--|---------|--------|--------|----------|
| Obra | ESTUDIO DE VULNERABILIDAD TEATRO LA MEDIA TORTA | Nº | 2666 | Fecha | 06/02/01 |
| Item | REFORZAMIENTO MUROS | Calculó | S.C.C. | Revisó | J.E.B. |

100



$$\text{Peso propio muro: } 0.25 \times 2.2 \times 2.5 \times 1.8 = 2.475$$

$$\text{Peso propio columna: } 0.3 \times 0.3 \times 2.4 \times 2.4 = 0.5184$$

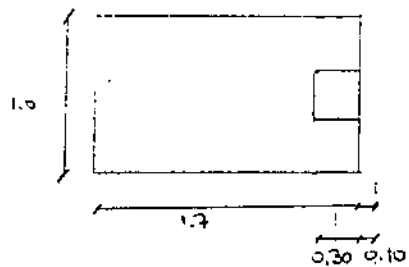
$$\text{Peso propio zapata: } 0.4 \times 1.7 \times 1.0 \times 2.4 = 1.63$$

$$\text{Peso propio viga: } 0.25 \times 0.2 \times 2.2 \times 2.4 = 0.264$$

2.50
0.25

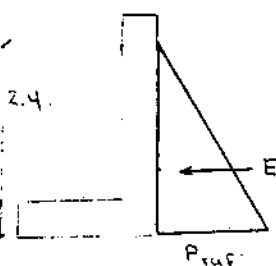
$$\text{Peso relleno: } 1.0 \times 0.5 \times 1.55 \times 1.8 = 1.395$$

$$\Sigma 6.28$$



$$\Sigma M_{\text{Hor.}} = 0.85 \times 1.63 + 1.55 \times 0.5184 + 1.7 \times 0.264 + 1.7 \times 2.475 + 0.775 \times 1.395$$

$$\Sigma M_{\text{Hor.}} = 7.92 \text{ Ton}$$



$$P_{\text{ref}} = 1.8 \times 0.36 \times 2.4 \times 2.5$$

$$P_{\text{ref}} = 3.89 \text{ T/m}$$

$$E = \frac{3.89 \times 2.4}{2} = 4.67 \text{ T}$$

$$M_E = 4.67 \times 0.8 = 3.74 \text{ Ton-m}$$

$$\text{F.S.V.} = \frac{\Sigma M_{\text{Hor.}}}{M_E} = \frac{7.92}{3.74}$$

$$\text{F.S.V.} = 2.12 > 2.00$$

El factor de seguridad de deslizamiento no se calcula debido a que existe una placa que restringe el movimiento.

$$\bar{x} = \frac{\sum M - M_E}{\sum F_v} = \frac{7.92 - 3.74}{6.28}$$

$$\bar{x} = 0.66$$

$$e = \frac{1.70}{2} = 0.66$$

$$e = 0.19$$

$$\sigma = \frac{\sum F_v}{B \times L} \left(1 \pm \frac{6e}{L} \right) \quad \text{con } B = 1.0 \quad L = 1.7$$

$$\sigma = 6.17$$

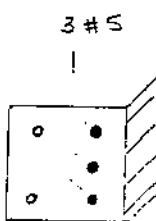
$$\sigma_z = 1.22$$

Diseño de la columna como viga.

$$M = 1.8 \times 0.36 \times 2.0 \times 2.5 \times \frac{2^2}{6}$$

$$M = 2.16 \text{ T.m}$$

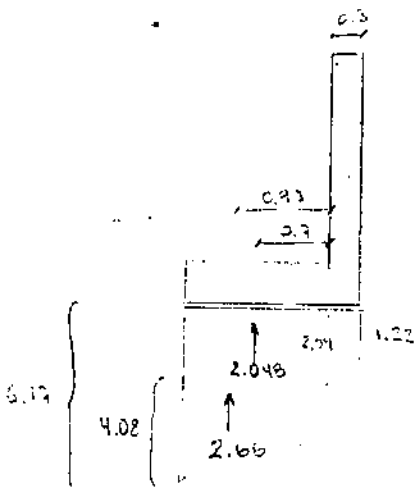
$$M_u = 2.16 \times 1.7 = 3.67 \text{ T.m}$$



$$\text{con } b = 30 \quad \Rightarrow \quad \beta = 0.004 \\ d = 20 \quad a_s = 5.44 \text{ cm}^2 \text{ sean } 3 \# 5$$

| | | | | | | |
|------|--|---------|--------|--------|----------|-----|
| Obra | ESTUDIO DE VULNERABILIDAD TEATRO LA MEDIA TORTA | Nº | 2666 | Fecha | 06/02/01 | 102 |
| Item | REFORZAMIENTO MUROS | Calculó | S.C.C. | Revisó | J.E.B. | |

Diseño de la zapata



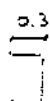
$$M_{zapatita} = 2.048 \times 0.7 + 2.66 \times 0.93$$

$$M_{zapatita} = 3.91 \text{ Ton}$$

$$M_u = 3.91 \cdot 1.7 = 6.64 \text{ Ton}$$

$$\text{con } b = 100 \Rightarrow \beta = 0.0026 \\ d = 30 \qquad \qquad \alpha_s = 7.95 \text{ cm}^2$$

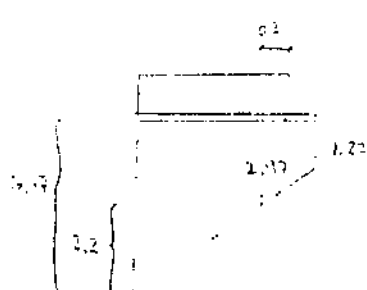
Revisión a cortante



$$V_{zapatita} = \left(2.97 \times 1.1 + \frac{3.2 \times 1.1}{2} \right) \times 1.7 = 8.55 \text{ Ton}$$

$$\phi V_c = f_{ck} \times b \times d$$

$$\phi V_c = 19.5 \text{ Ton}$$





PROYECTISTAS CIVILES ASOCIADOS

ANEXOS

- Anexo 1. Registro Fotográfico**
- 2. Resultados Ensayos de Núcleos**
- 3. Registros de Exploración**
- 4. Informe Geotécnico de Apiques
en muros de Jardineras**
- 5. Datos de entrada archivo ETABS**

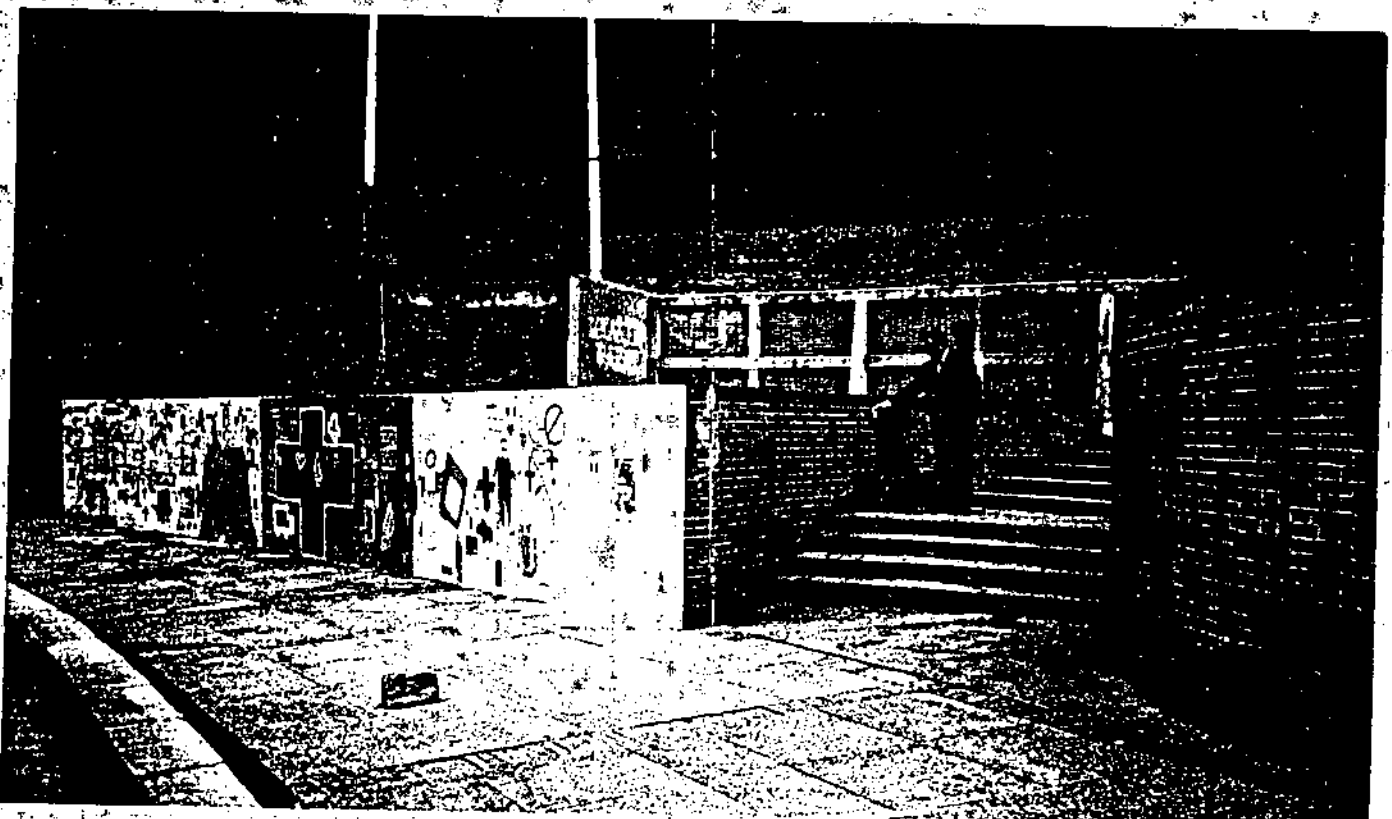


FOTO N° 1: Muros zona alta



FOTO N° 2: Agrietamiento placa zona alta



PROYECTISTAS CIVILES ASOCIADOS



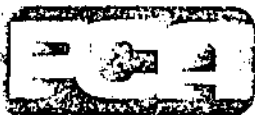
FOTO N° 3: Agrietamiento muro zona alta



PROYECTISTAS CIVILES ASOCIADOS



FOTO N° 4: Humedad en placa N+6.00



PROYECTISTAS CIVILES ASOCIADOS

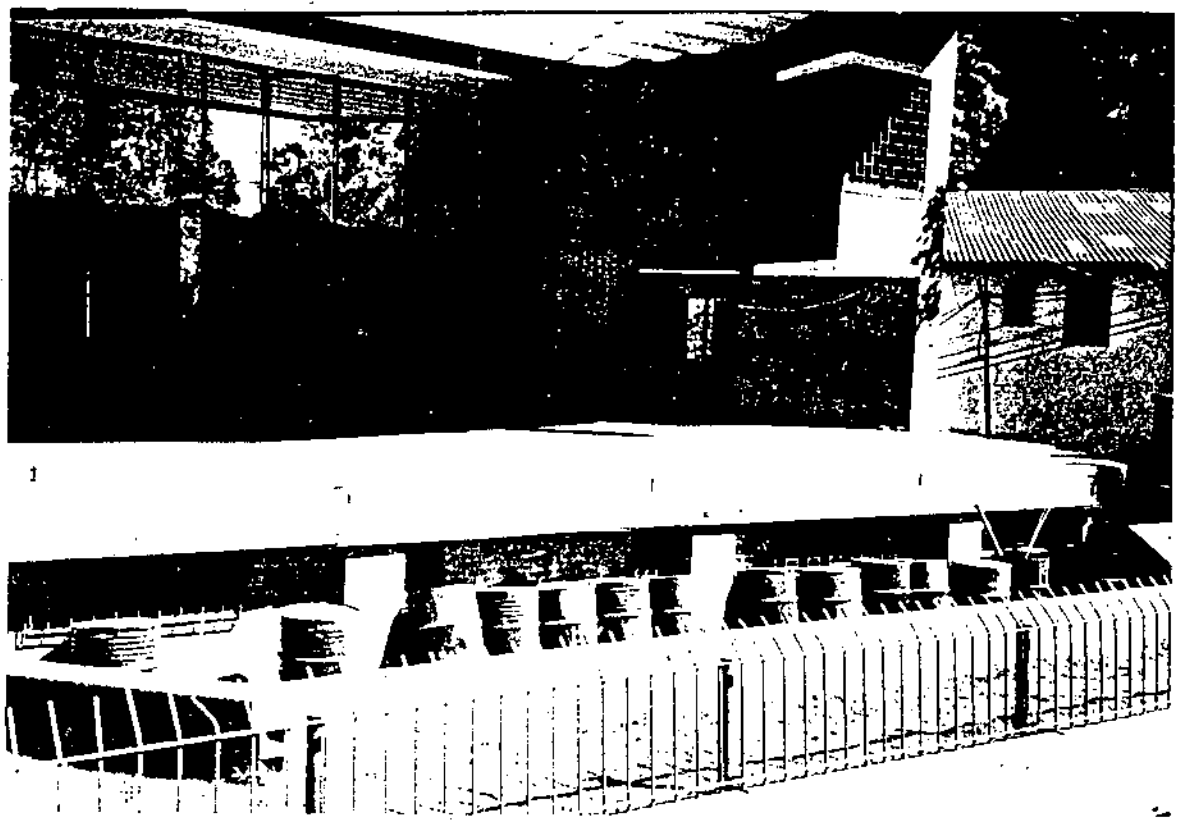


FOTO N° 5: Fachada principal. Placa N+6.00



PROYECTISTAS CIVILES ASOCIADOS



FOTO N° 6: Torre izquierda - columnas 12, 14 y 20
• Arriostramiento interior



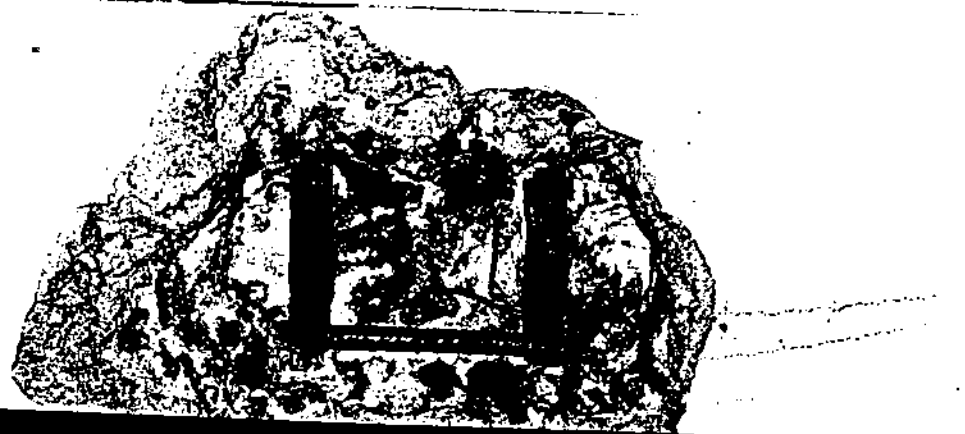
PROYECTISTAS CIVILES ASOCIADOS



FOTO N° 7: Torre izquierda - columnas 12, 14 y 20
Arriostramiento interior



PROYECTISTAS CIVILES ASOCIADOS



TEATRO LA MEDIA TORTA
VIGUETA. E. 3. Piso 2.
REFUERZO INFERIOR

FOTO N° 8: Regata vigueta



TEATRO LA MEDIA TORTA
VIGUETAS E. 3 (B-C)
PISO 2. REFUERZO. SUPERIOR

FOTO N° 9: Regata vigueta



PROYECTISTAS CIVILES ASOCIADOS



FOTO N° 10: Regata viga



FOTO N° 11: Regata columna



PROYECTISTAS CIVILES ASOCIADOS



TEATRO LA MEDIA TORTA
COLUMNNA 4 A 4 PISO 2.

FOTO N° 12: Regata columna



PROYECTISTAS CIVILES ASOCIADOS

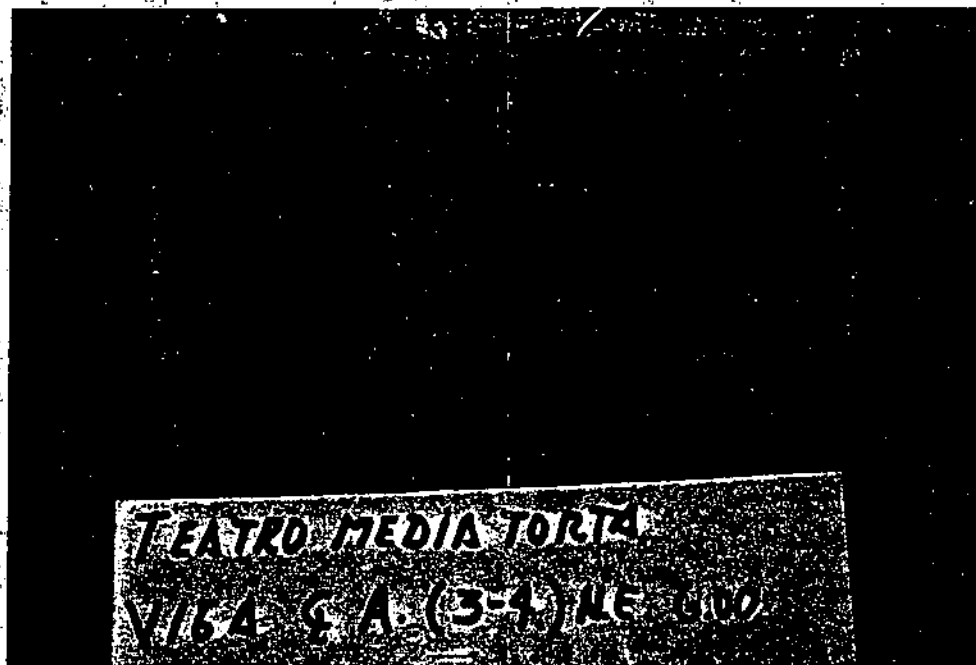


FOTO N° 13: Regata Viga
Refuerzo inferior



FOTO N° 14: Cementación muros zona alta

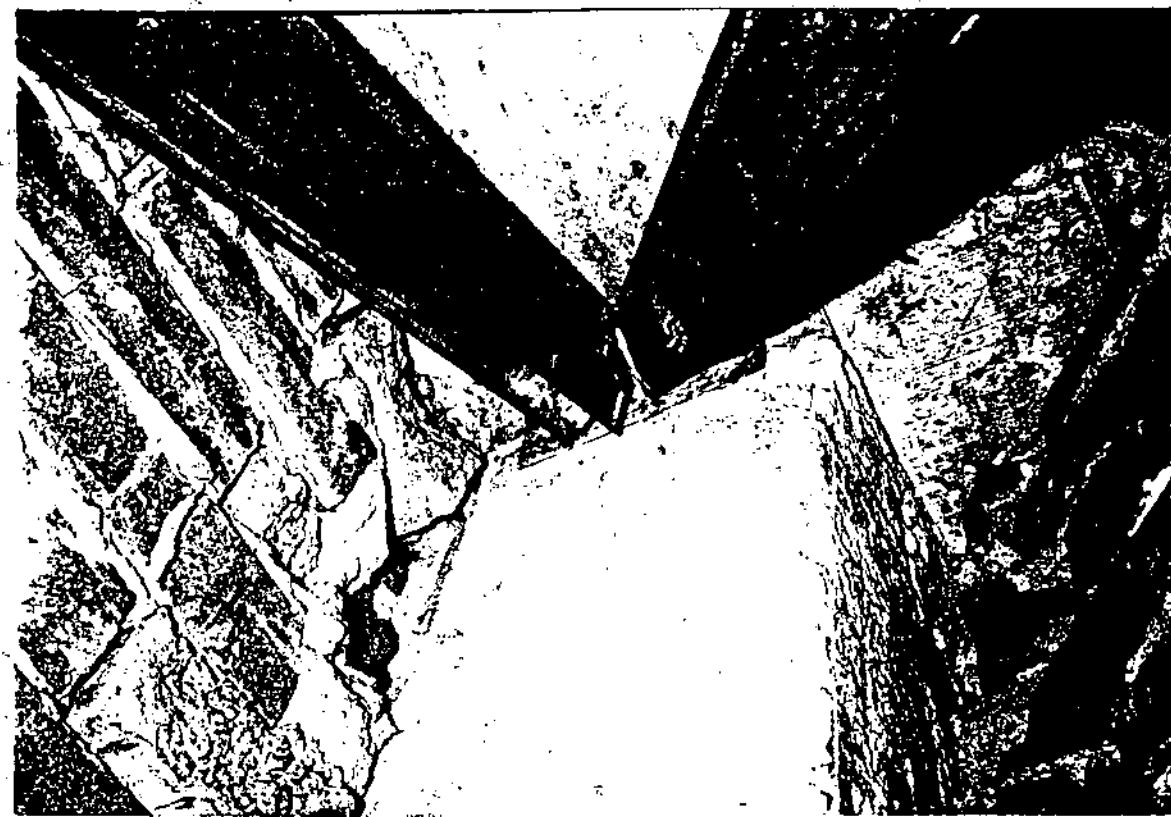


FOTO N° 15: Detalle arriostramiento
Columnas 12, 14 y 20



FOTO N° 16: Detalle arriostramiento

PROYECTISTAS CIVILES ASOCIADOS

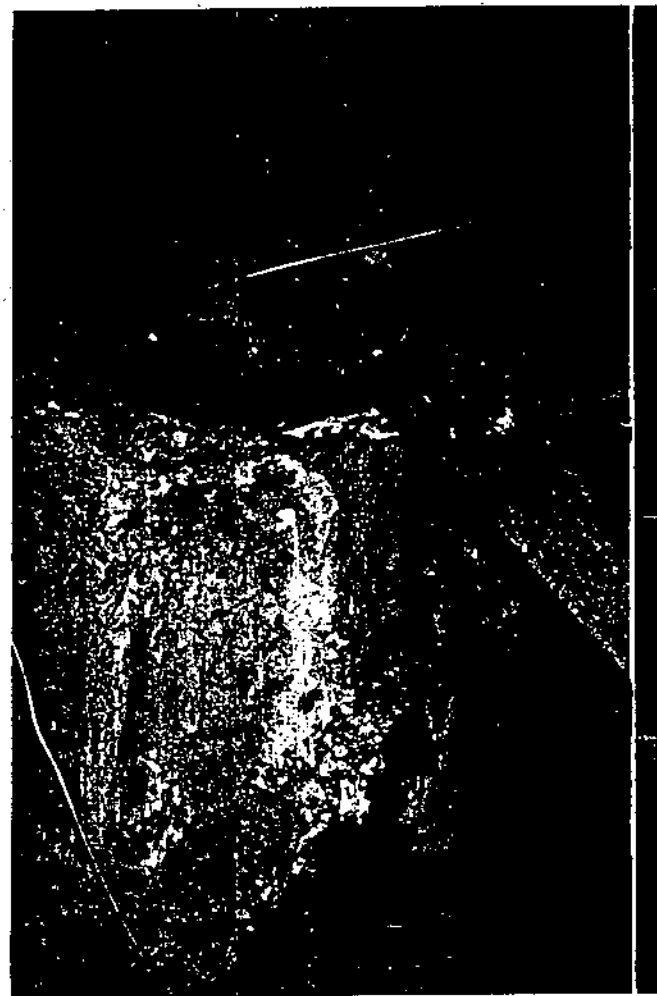


FOTO N° 17: Ménsula - apoyo cercha de cubierta



PROYECTISTAS CIVILES ASOCIADOS

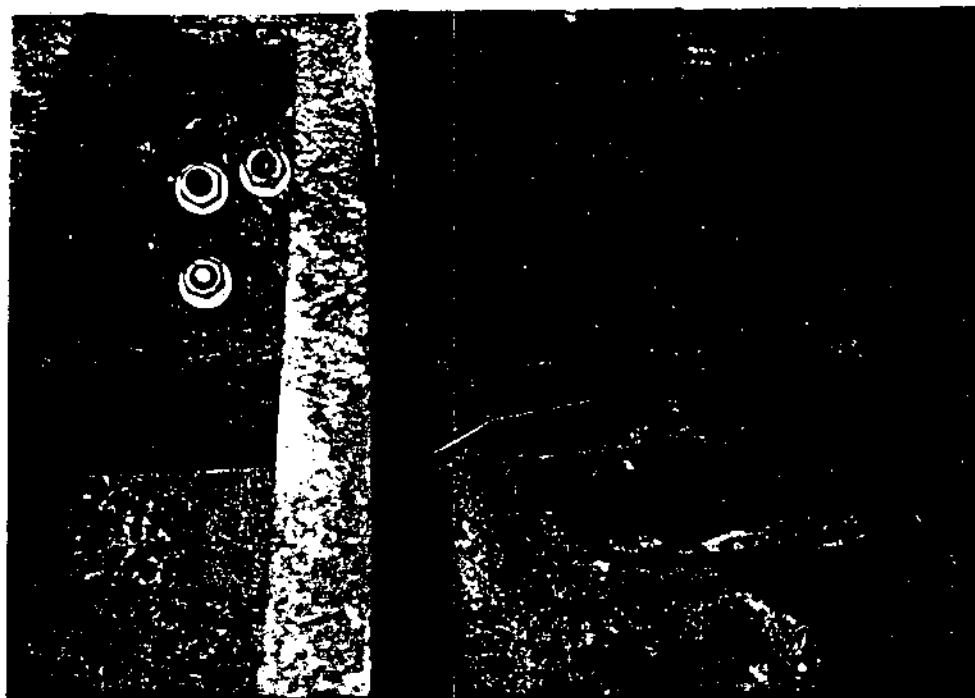


FOTO N° 18: Apoyo de cubierta



FOTO N° 19: Estructura de cubierta

FCA

PROYECTISTAS CIVILES ASOCIADOS

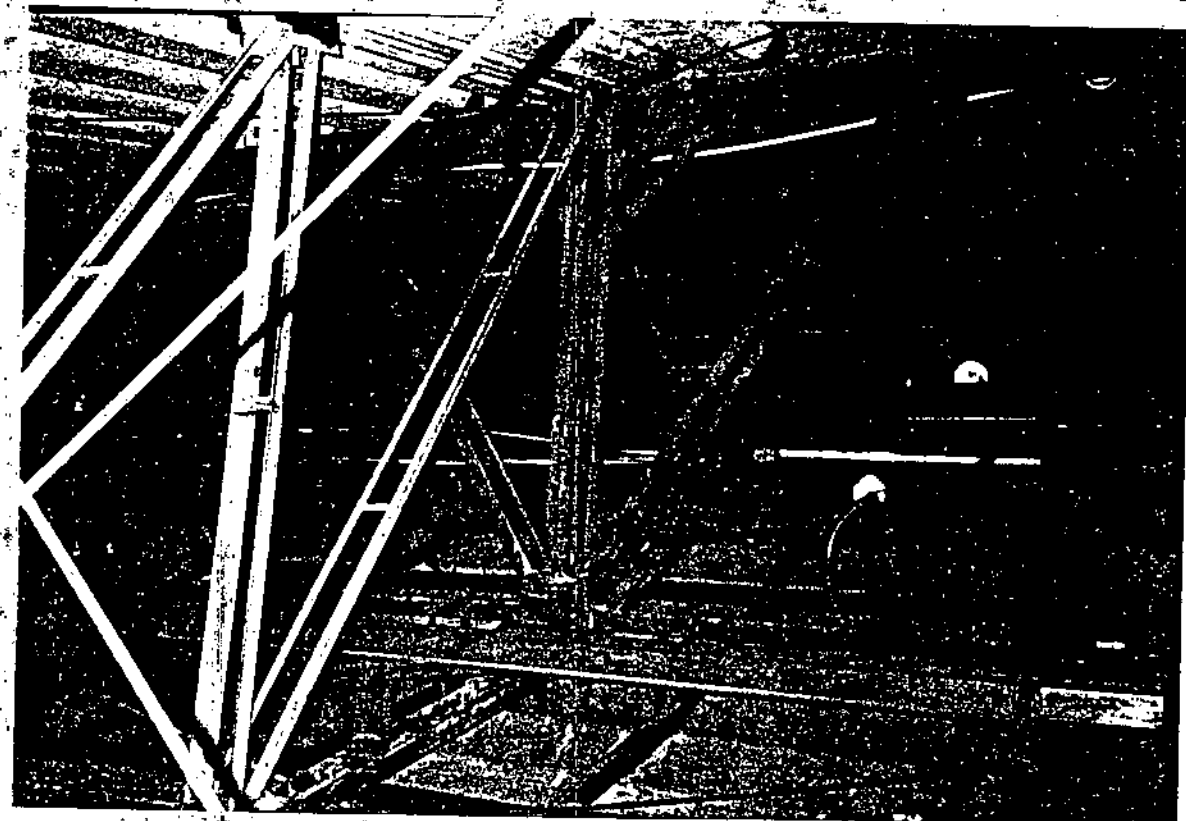


FOTO N° 20: Estructura de cubierta .

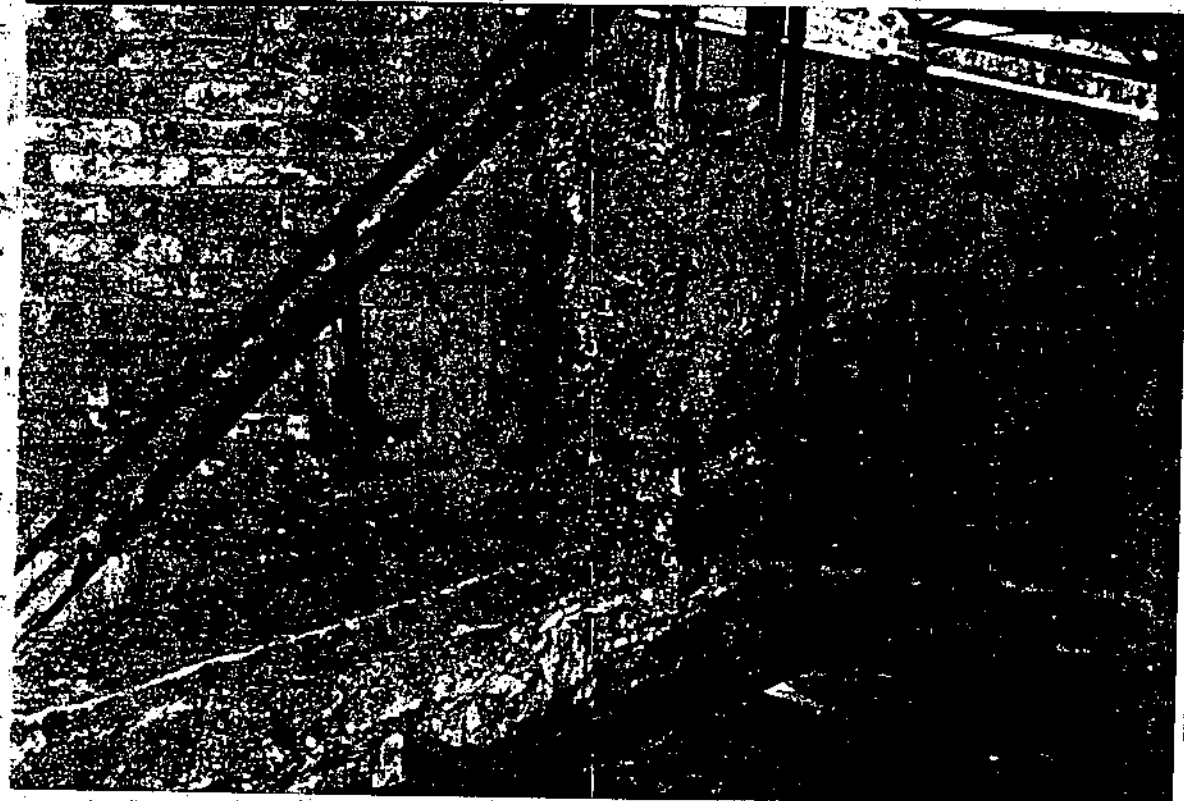


FOTO N° 21: Detalle de anclaje estructura de cubierta

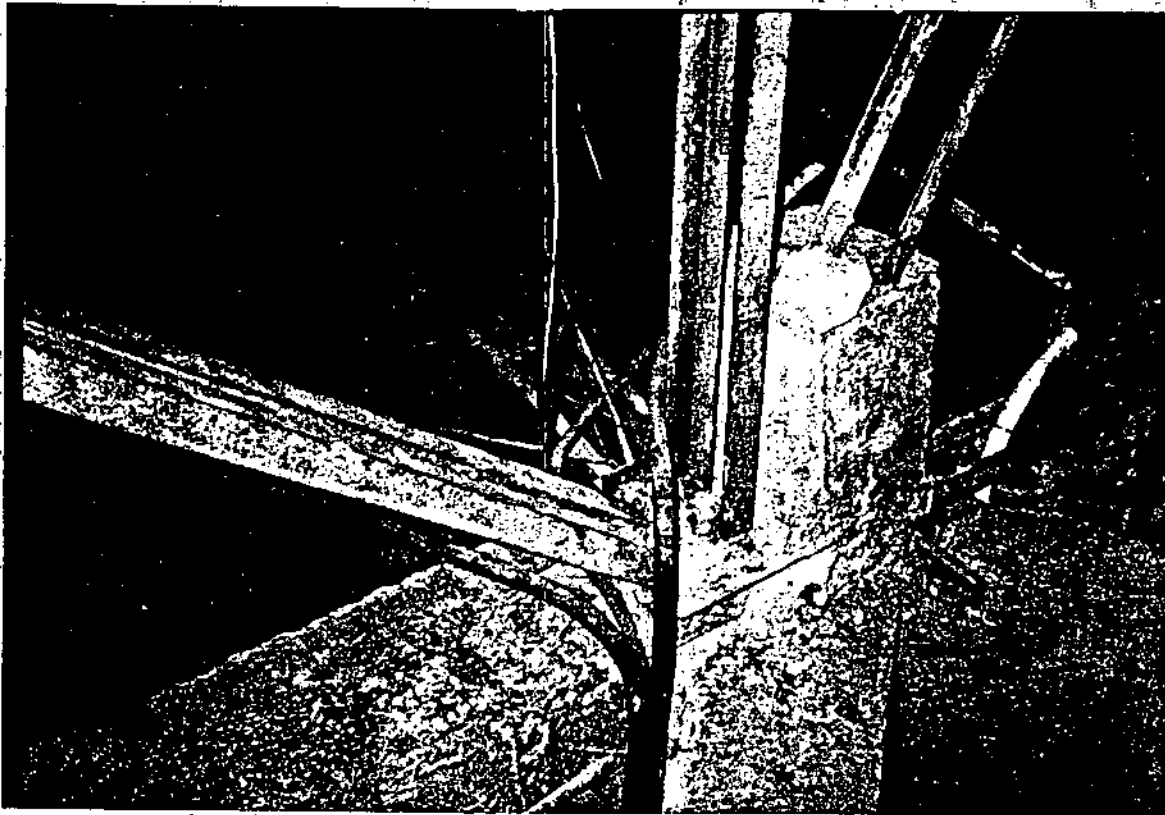


FOTO N° 22: Detalle de anclaje estructura de cubierta

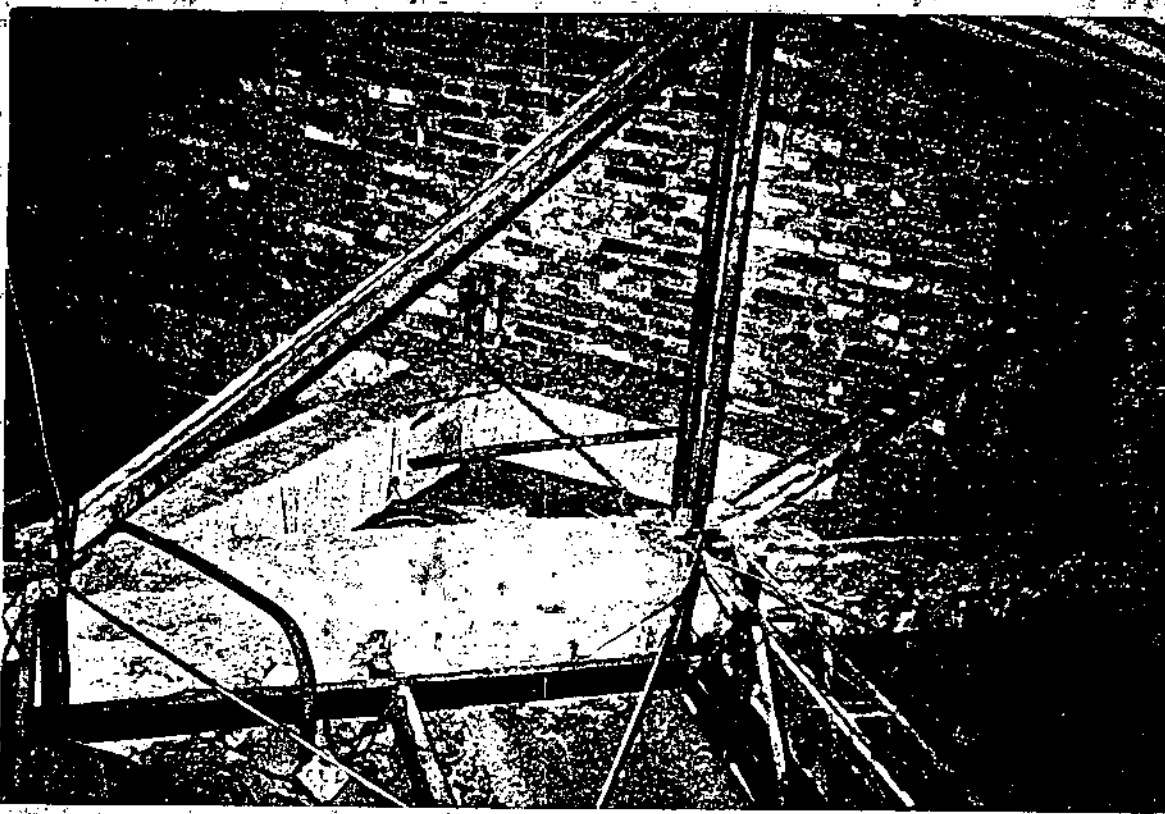


FOTO N° 23: Detalle de unión estructura de cubierta

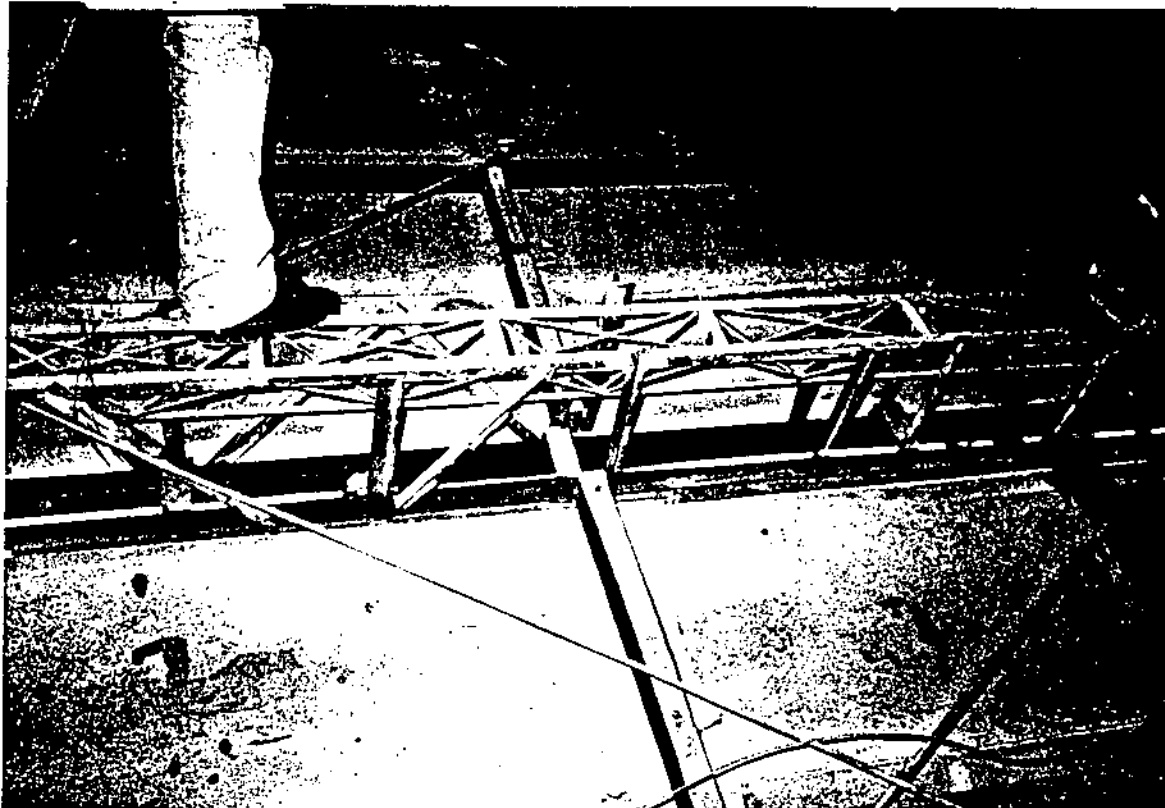


FOTO N° 24: Cercha "riel" de divisiones del escenario



Sika Andina S.A.

SANTAFE DE BOGOTA
Calle 15A No. 69A-44
Comunlador 412 3300
Apartado Aéreo 8692
Fax: (091) 424 7238
Nit. 860.000.696-2

P.C.A.
PROYECTISTAS ASOCIADOS
Atn.: Ing. Jaime Buitrago
Carrera 10 # 93-51

Santafé de Bogotá

S - Ref. N - Ref. GR/mg 0055 Santafé de Bogotá D.C. 6 feb. 2001

Apreciado Ing. Palomino:

Núcleos o probetas testigo Media Torta

De acuerdo con su solicitud verbal adjuntamos los resultados de los ensayos a compresión de las probetas testigo o núcleos enviados por ustedes y pertenecientes a la Media Torta en la ciudad de Santafé de Bogotá.

| Elemento | Núcleo Nº | Localización (m) | Resist. Compres. (kg/cm²) | Diam. Núcleo d (cm) | Long. Núcleo (cm) | K | RCC (kg/cm²) |
|-----------------------------|--------------|---------------------|---------------------------------|---------------------------|-------------------------|------|-----------------|
| Columna Nº 1 Media Torta | 1 | 2do. Piso | 309 | 6.9 | 13.8 | 1.00 | 309 |
| Columna Nº 1 Media Torta | 2 | 2do. Piso | 283 | 6.9 | 13.8 | 1.00 | 283 |
| Columna Nº 6 Media Torta | 3 | 2do. Piso | 150 | 6.9 | 13.8 | 1.00 | 150 |
| Columna Nº 6 Media Torta | 4 | 2do. Piso | 229 | 6.9 | 13.8 | 1.00 | 229 |

Cuadro N° 1

Nota: RCC Resistencia a compresión corregida por elemento

Como se puede observar la resistencia a compresión obtenida en los elementos es normal pero con dispersión en un mismo elemento y entre estos

 Sika

2. Comentarios y sugerencias

La numeración dada en el cuadro es la que se encuentra en cada uno de los núcleos. La resistencia a compresión obtenida varía desde 150 hasta 309 kg/cm², en los núcleos extraídos sobre la estructura.

Cualquier información o aclaración adicional, gustosamente la atenderemos.

Cordialmente,

SIKA ANDINA S.A.

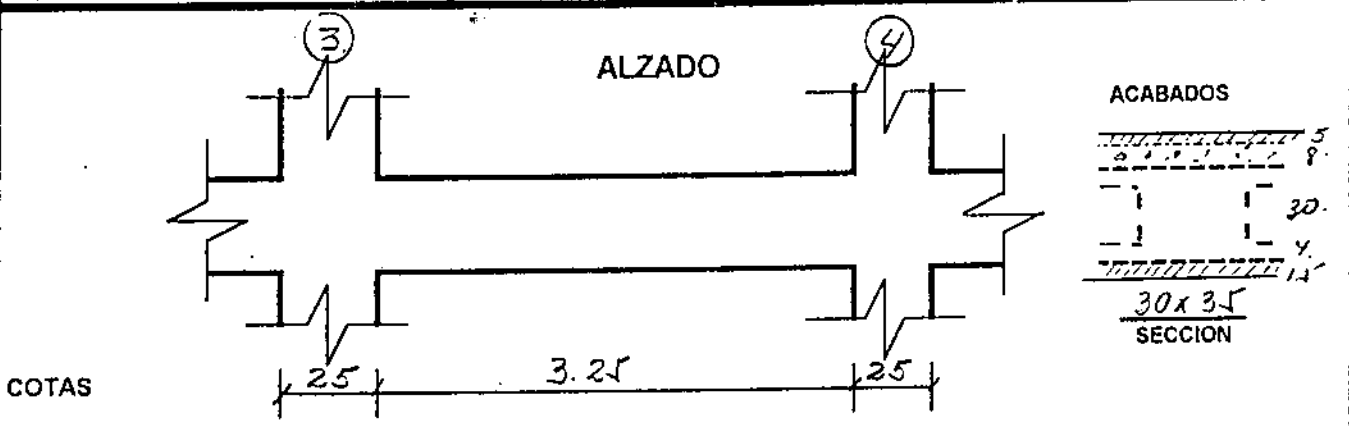


MABIR HERNANDEZ
IM Const. y Mantenimiento
de la Edificación y Vivienda

GUSTAVO ROCA V.
Gerente de Mercado Ventas

FORMATO
TECNICOFORMATO PARA LA EXPLORACION DE ESTRUCTURAS EXISTENTES
VIGAS

PAG:

PROYECTO: TEATRO LA NEUHA TORTA. No.: 2666Ingeniero Explorador: BERNARDO GONZALEZIngeniero Coordinador: JAIME E. BUITRAGOIngeniero Director: LUIS GUILLERMO AYCARDILocalización Proyecto: Contacto/Responsable
En la obra:Fecha de Exploración: ENERO / 2001.EXPLORACION .
DE VIGASIdentificación VIGA PLACA AEREA. N°: 6.00.
o localización: E A(3-4)Distribución flejes
S/ FerroscanFLEJE #3. CORNUDO4#3Distribución Ref.
Long. s/ Ferroscan2#5 + 2#4Refuerzo
s/ Regatas de
Inspección.4#6. CORNUDO2#5 CORNUDO2#4. CORNUDO

Observaciones: (Estado general, núcleos, carbonatación, fisuras)

Nº de revisión: 0

Elaboró: C. PALOMINO

Revisó:

Aprobó:

G. MÉNDEZ

Fecha de revisión: 06/12/99

Cargo: Coordinadores de Proyectos

Cargo:

Cargo: Director de Proyecto

FORMATO
TECNICOFORMATO PARA LA EXPLORACION DE ESTRUCTURAS EXISTENTES
COLUMNAS

PAG:

PROYECTO: TEATRO LA MEDINA TORGA No.: 2666Ingeniero Explorador: BERNARDO GONZALEZ B.Ingeniero Coordinador: JAIMÉ E. BUITRAGOIngeniero Director: LUIS GUILLERMO AYCARDI

Localización Proyecto: Contacto/Responsable

En la obra:

Fecha de Exploración: ENERO / 2001.EXPLORACION
DE COLUMNASIdentificación COLUMNA #3. (A-4), NE 3.20
o localización:

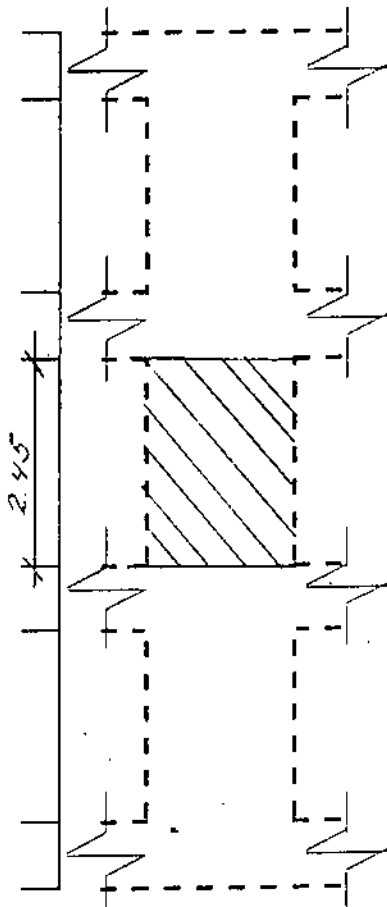
ALZADO

Dist. Flejes
s/ FerroscanRef. Vcal
s/ Ferroscan

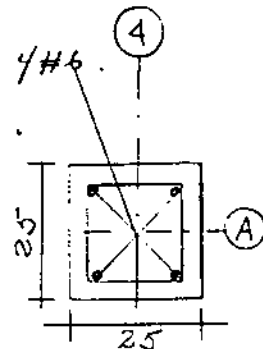
Sección Transv.

COTAS

3.20

FLEJE H 3
CONCURVADO.
Ø. 10 - 21 uvs.

Y H 6 CONCURVADO.



Observaciones: (Estado general, núcleos, carbonatación, fisuras)

Nº de revisión: 0

Elaboró: C. PALOMINO

Revisó:

Aprobó:

G. MÉNDEZ

Fecha de revisión: 06/12/99

Cargo: Coordinadores de Proyectos

Cargo:

Cargo: Director de Proyecto

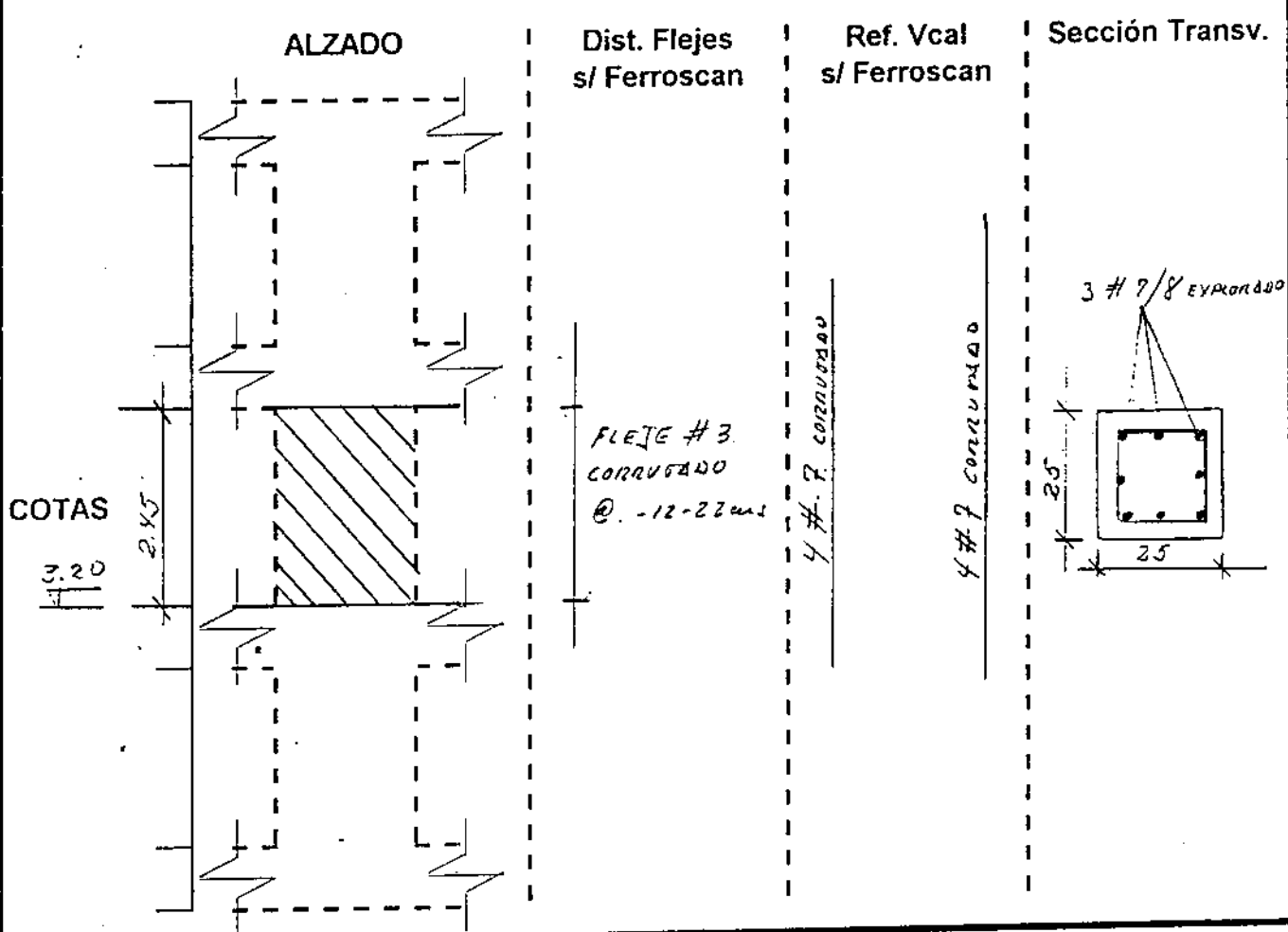
FORMATO
TECNICOFORMATO PARA LA EXPLORACION DE ESTRUCTURAS EXISTENTES
COLUMNAS

PAG:

PROYECTO: TENIDO LA RENDIDA TORTANo.: 2666Ingeniero Explorador: BERNARDO GONZALEZ. B.Ingeniero Coordinador: JAIME E. BUITRAGOIngeniero Director: LUIS GUILLERMO AYCARDILocalización Proyecto: Contacto/Responsable

En la obra:

Fecha de Exploración: _____

EXPLORACION
DE COLUMNASIdentificación COLUMNA #14. N.E. 3.20.
o localización:

Observaciones: (Estado general, núcleos, carbonatación, fisuras)

Nº de revisión: 0

Elaboró: C. PALOMINO
G. MÉNDEZ

Revisó:

Aprobó:

Fecha de revisión: 06/12/99

Cargo: Coordinadores de Proyectos

Cargo:

Cargo: Director de Proyecto



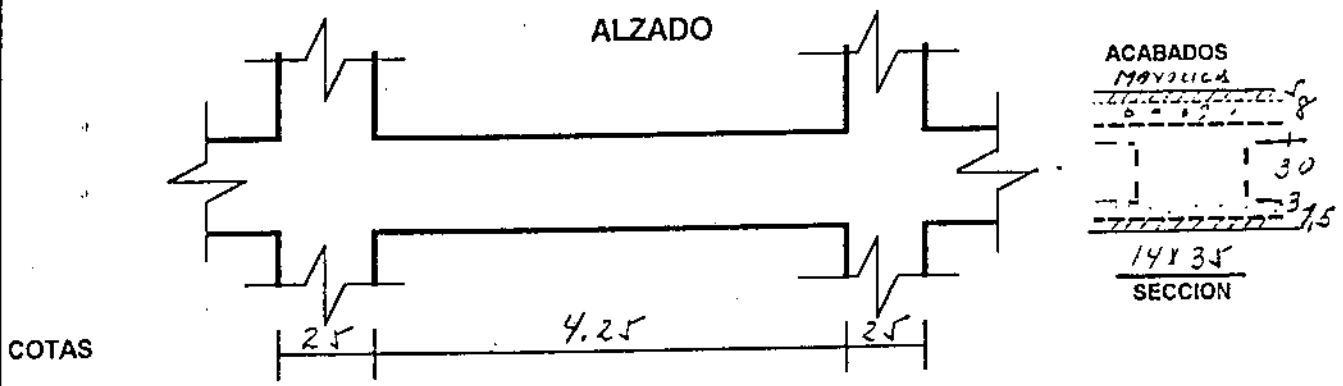
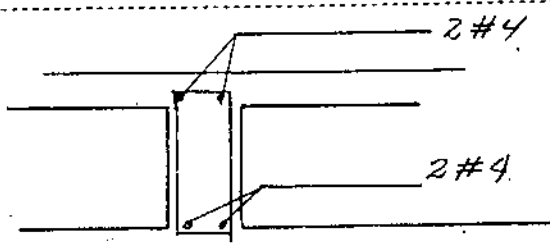
P.C.A. PROYECTISTAS CIVILES ASOCIADOS LTDA. FT-09-20

FORMATO
TECNICOFORMATO PARA LA EXPLORACION DE ESTRUCTURAS EXISTENTES
VIGAS

PAG:

PROYECTO: TEATRO LA MEDELLIN TORTA No.: 2666

Ingeniero Explorador:

Ingeniero Coordinador: JAIMÉ E. BUITRAGOIngeniero Director: LUIS GUILLERMO AYCARDILocalización Proyecto: Contacto/ResponsableEn la obra:Fecha de Exploración: ENERO /2001.EXPLORACION
DE VIGASIdentificación VIGA EPI 4 3 (B-C) NE. 3.20.
o localización:Distribución Rejas
s/ FerroscanFLEJE #2 L10Distribución Ref.
Long. s/ Ferroscan2 H Y CORREDIZORefuerzo
s/ Regatas de
Inspección.2 H Y CORREDIZO

Observaciones: (Estado general, núcleos, carbonatación, fisuras)

Nº de revisión: 0

Elaboró: C. PALOMINO
G. MÉNDEZ

Revisó:

Aprobó:

Fecha de revisión: 06/12/99

Cargo: Coordinadores de Proyectos

Cargo:

Cargo: Director de Proyecto



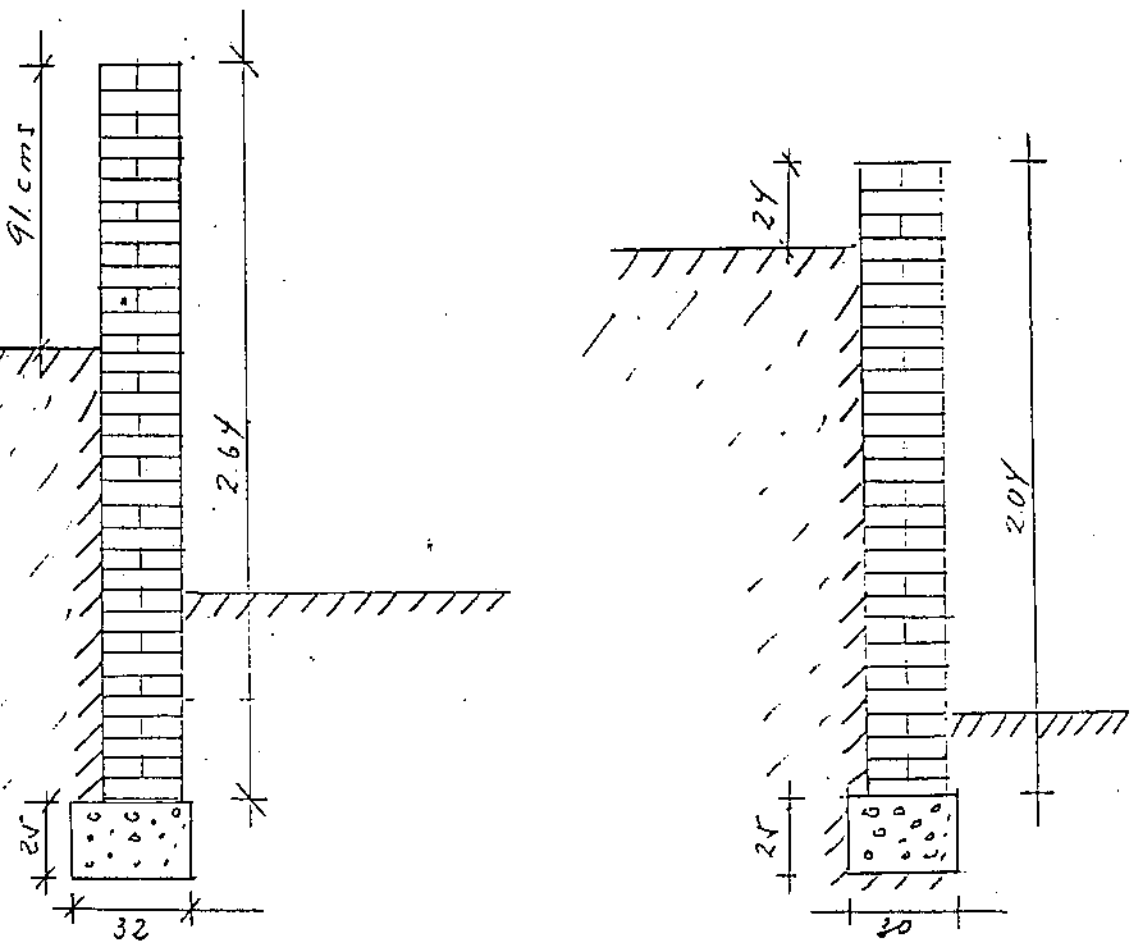
P.C.A. PROYECTISTAS CIVILES ASOCIADOS LTDA. FT-09-20

FORMATO
TECNICOFORMATO PARA LA EXPLORACION DE ESTRUCTURAS EXISTENTES
DIAGRAMAS Y ESQUEMAS GENERALES

PAG:

PROYECTO: TEATRO LA MEVIA TORIDA No.: 2666Ingeniero Explorador: BERNARDO GONZALEZ IBIngeniero Coordinador: JAIME E. BUITRAGOIngeniero Director: LUIS GUILLERMO AYCARDILocalización Proyecto: _____ Contacto/Responsable
En la obra: _____

Fecha de Exploración: _____

EXPLORACION ESTRUCTURAL -
ESQUEMAS GENERALESDETALLE DE MUELOS DE CONTENCIION EN
MAMPSTERIA ZONA ALTA.

Nº de revisión: 0

Elaboró: C. PALOMINO

Revisó:

Aprobó:

G. MENDEZ

Fecha de revisión: 06/12/99

Cargo: Coordinadores de Proyectos

Cargo:

Cargo: Director de Proyecto

LUIS FERNANDO OROZCO ROJAS & CIA.

Ingenieros
Consultores
Suelos
y Cimentaciones

Luis Fernando Orozco Rojas

136 - 2001

Bogotá, D.C., Febrero 5 de 2001

Señores
PROYECTISTAS CIVILES ASOCIADOS - P.C.A.
Atn. Dr. Luis Guillermo Aycardi.
Bogotá, D.C.

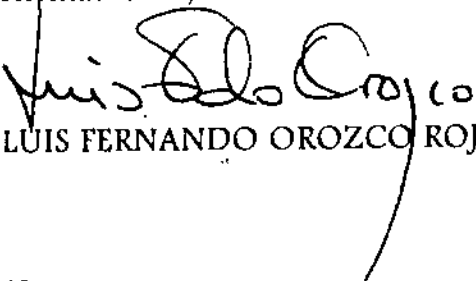
REF: LFO 5205
Teatro La Media Torta

Apreciados Señores

De acuerdo con su amable solicitud, visitamos el sitio de La Media Torta con el fin de observar los daños sufridos por los muros de contención de la parte alta de la Media Torta, hacia el costado sur. Se observó que se trata de muros en mampostería, y se revisó su cimentación, en apiques efectuados por ustedes para este efecto. En los apiques se pudo determinar que el ancho de cimentación es cercano a 30 cm y que por lo tanto dichos muros no cuentan con una zarpa para soporte de los empujes de tierra.

Se recomienda reforzar estos muros o reemplazarlos por muros de contención en concreto, capaces de soportar los empujes horizontales, previstos en nuestro estudio de Julio 28 de 1997.

Atentamente,


LUIS FERNANDO OROZCO ROJAS

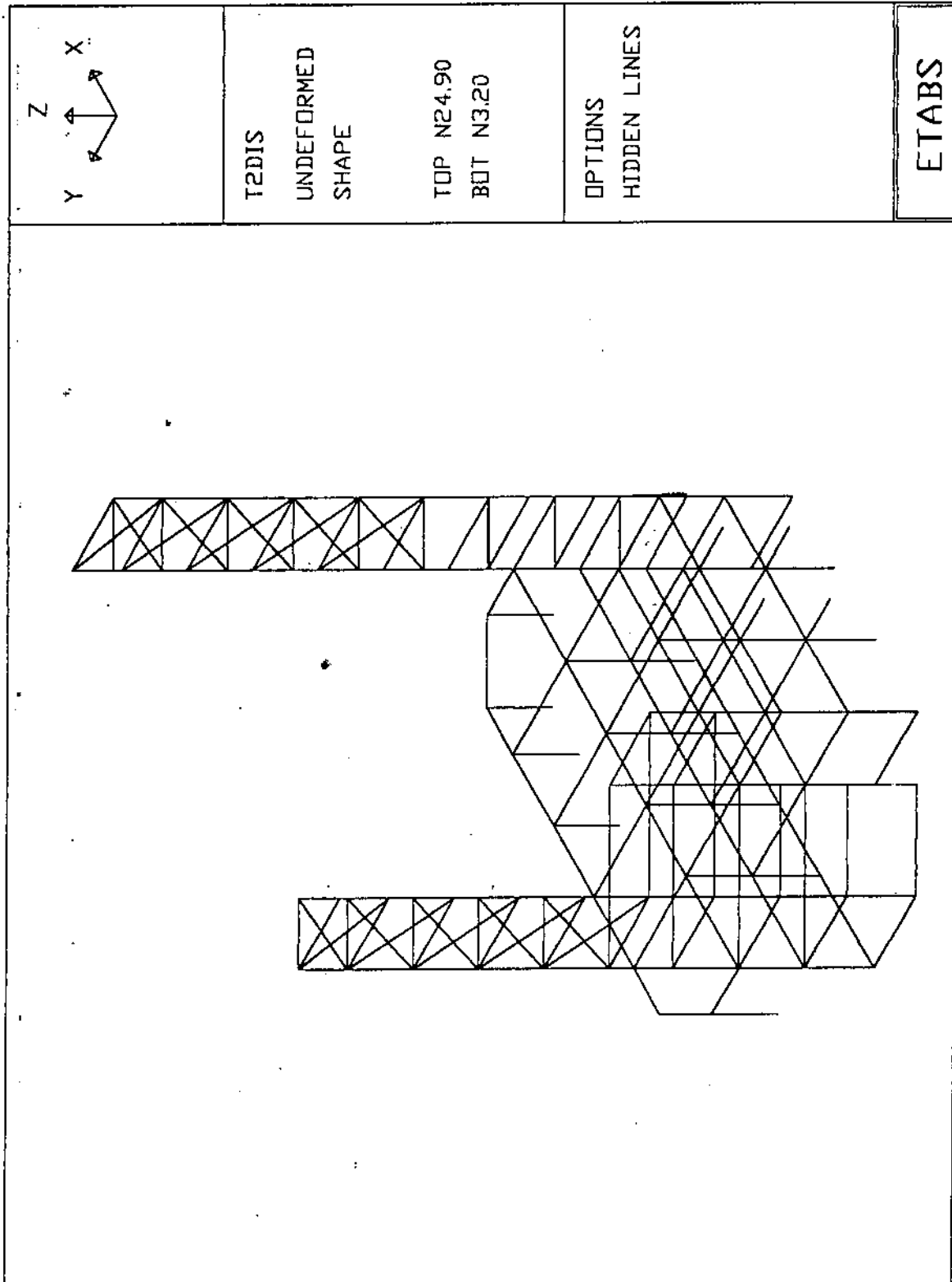
Nancy

Carrera 5a. No. 67-50
Teléfonos: 544 94 44
210 01 16 - 248 48 11
310 4121 - Fax: 310 47 59
Santa Fe de Bogotá, D.C.

RECIBIDO 05 FEB 2001

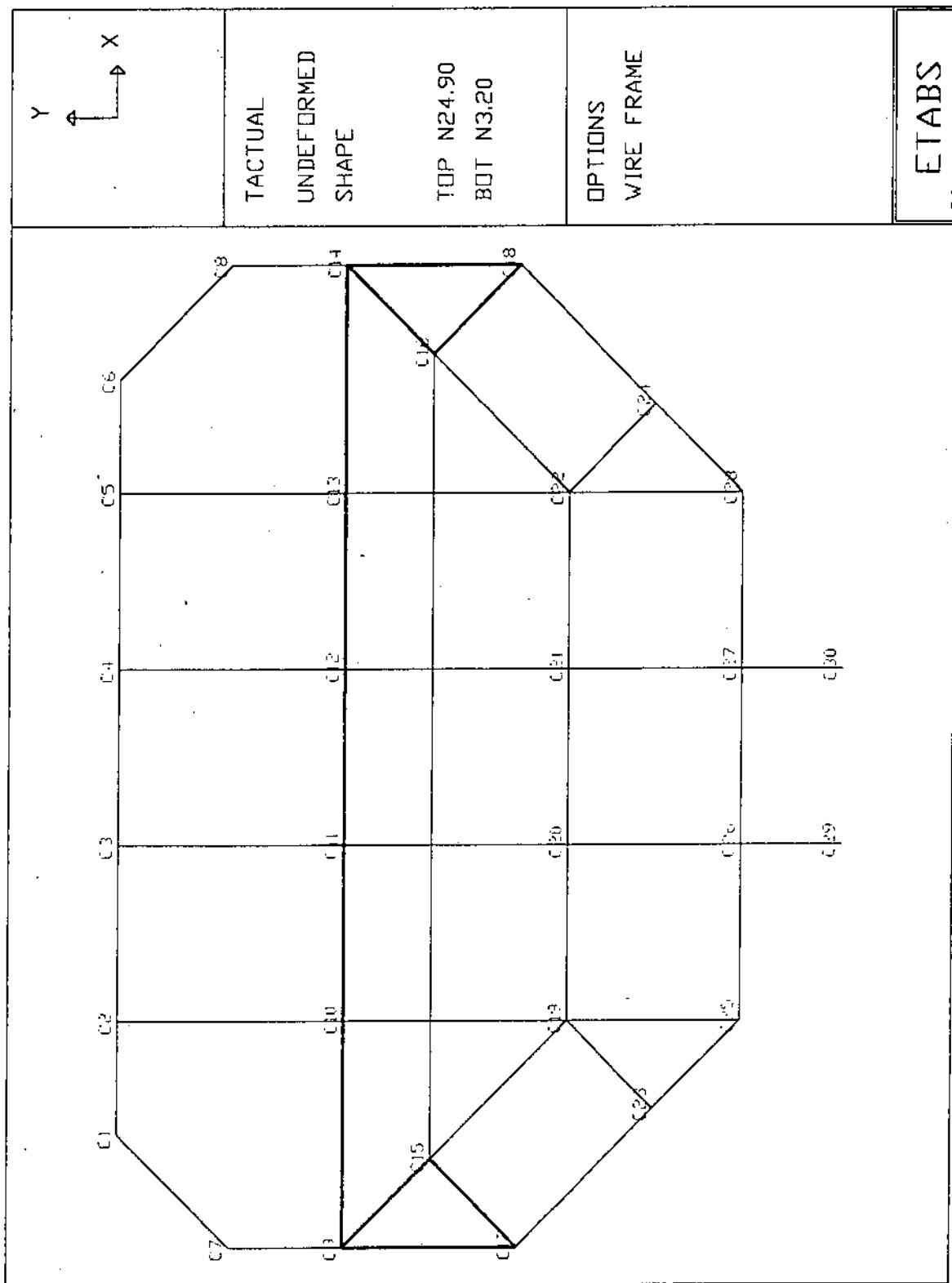


| | | | | | |
|------|--|---------|--------|--------|----------|
| Obra | ESTUDIO DE VULNERABILIDAD TEATRO LA MEDIA TORTA | Nº | 2666 | Fecha | 01/02/06 |
| Item | DATOS DE ENTRADA ETABS ESTRUCTURA ACTUAL | Calculó | A.P.B. | Revisó | J.E.B. |



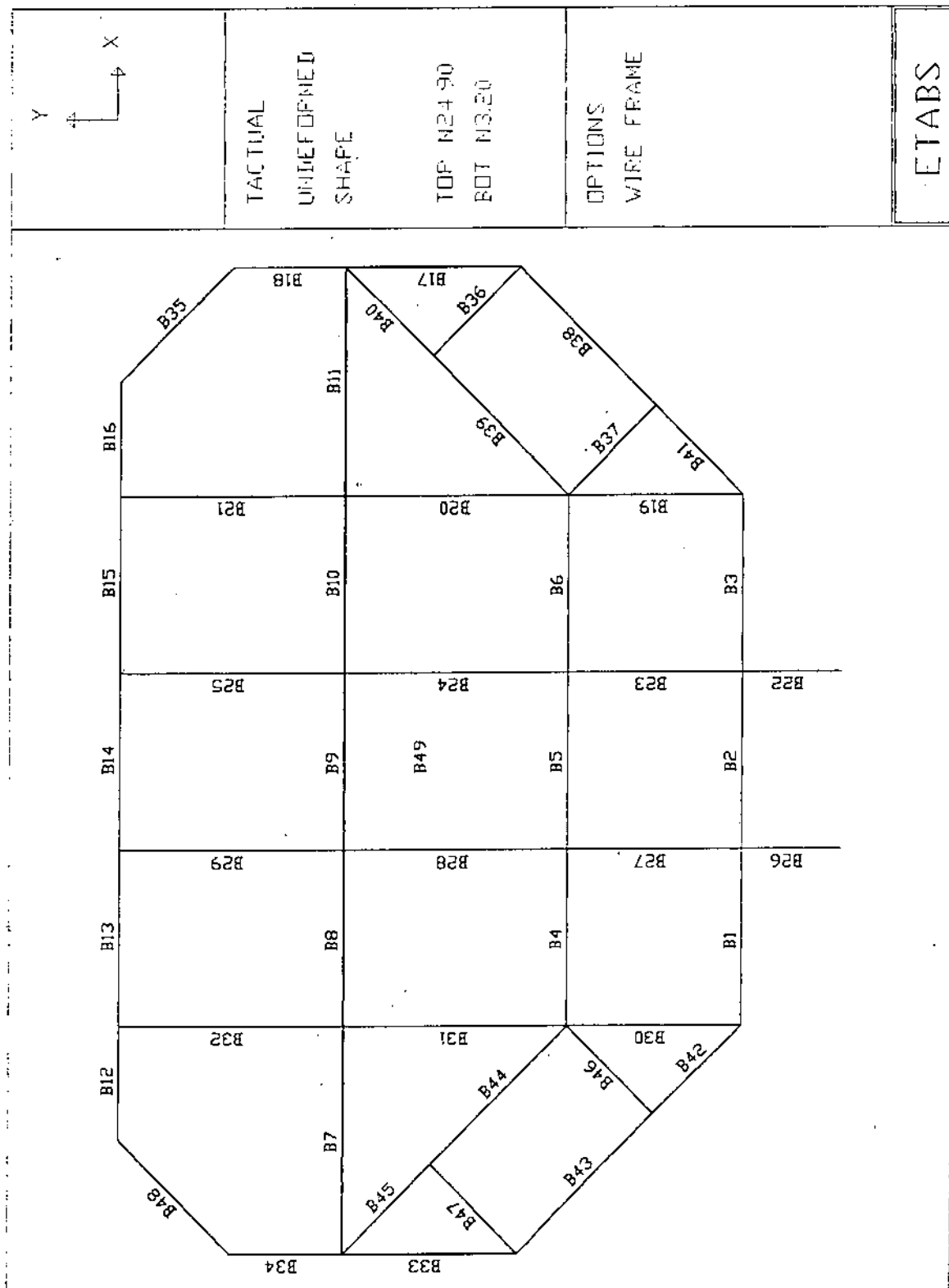


| | | | | | |
|------|--|---------|---------------|--------|-----------------|
| Obra | ESTUDIO DE VULNERABILIDAD TEATRO LA MEDIA TORTA | Nº | 2666 | Fecha | 01/02/01 |
| Item | Datos de entrada ETABS Numeración de nodos | Calculó | A.P.B. | Revisó | J.E.B. |

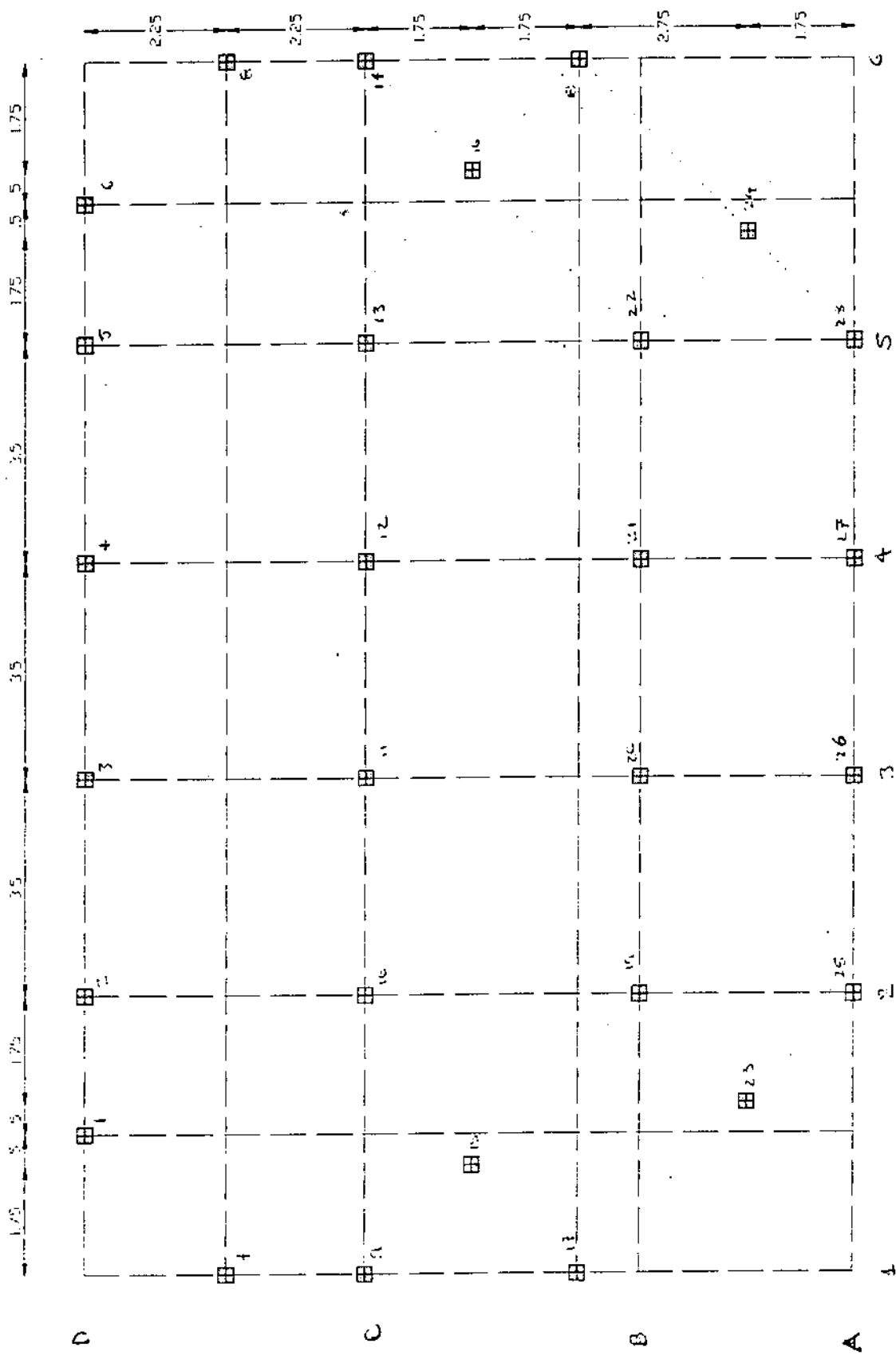




| | | | | | |
|-------------|--|----------------|---------------|---------------|-------------------|
| Obra | ESTUDIO DE VULNERABILIDAD TEATRO LA MEDIA TORTA | Nº | 2666 | Fecha | 01/02/2001 |
| Item | DATOS DE ENTRADA ETABS NUMERACION DE VIGAS | Calculó | A.P.B. | Revisó | J.E.B. |

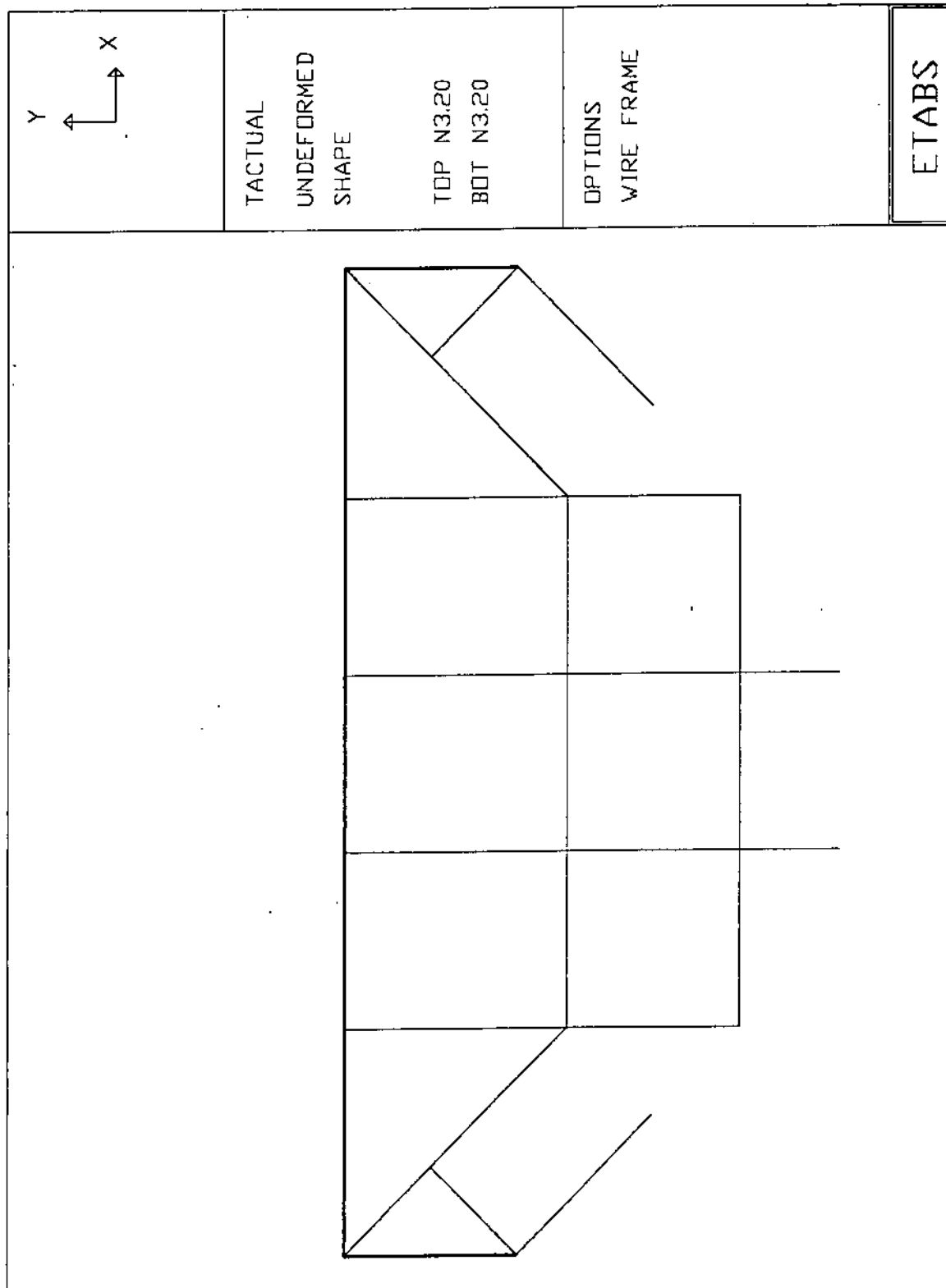


| | | | | | | | |
|-------------|--|----------------|---------------|---------------|-----------------|--|--|
| Obra | ESTUDIO DE VULNERABILIDAD TEATRO LA MEDIA TORTA | Nº | 2666 | Fecha | 01/02/01 | | |
| Item | Datos de entrada ETABS Ejes de columnas | Calculó | A.P.B. | Revisó | J.E.B. | | |



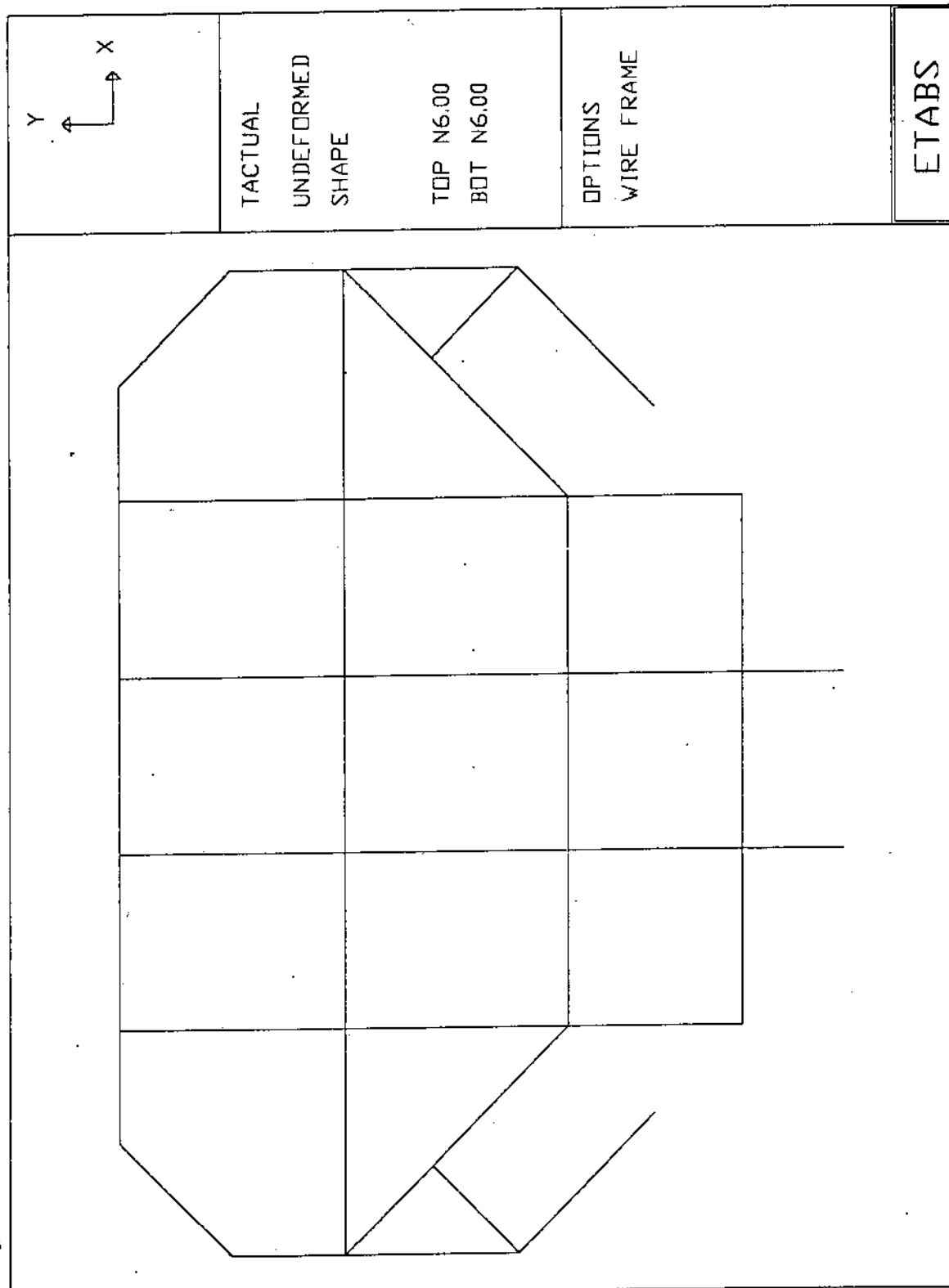
PCA

| | | | | |
|------|--|---------------|----------------|--|
| Obra | ESTUDIO DE VULNERABILIDAD TEATRO LA MEDIA TORTA | Nº 2666 | Fecha 01/02/01 | |
| Item | Datos de entrada ETABS Planta N+3.20 | Calculó A.P.B | Revisó J.E.B. | |



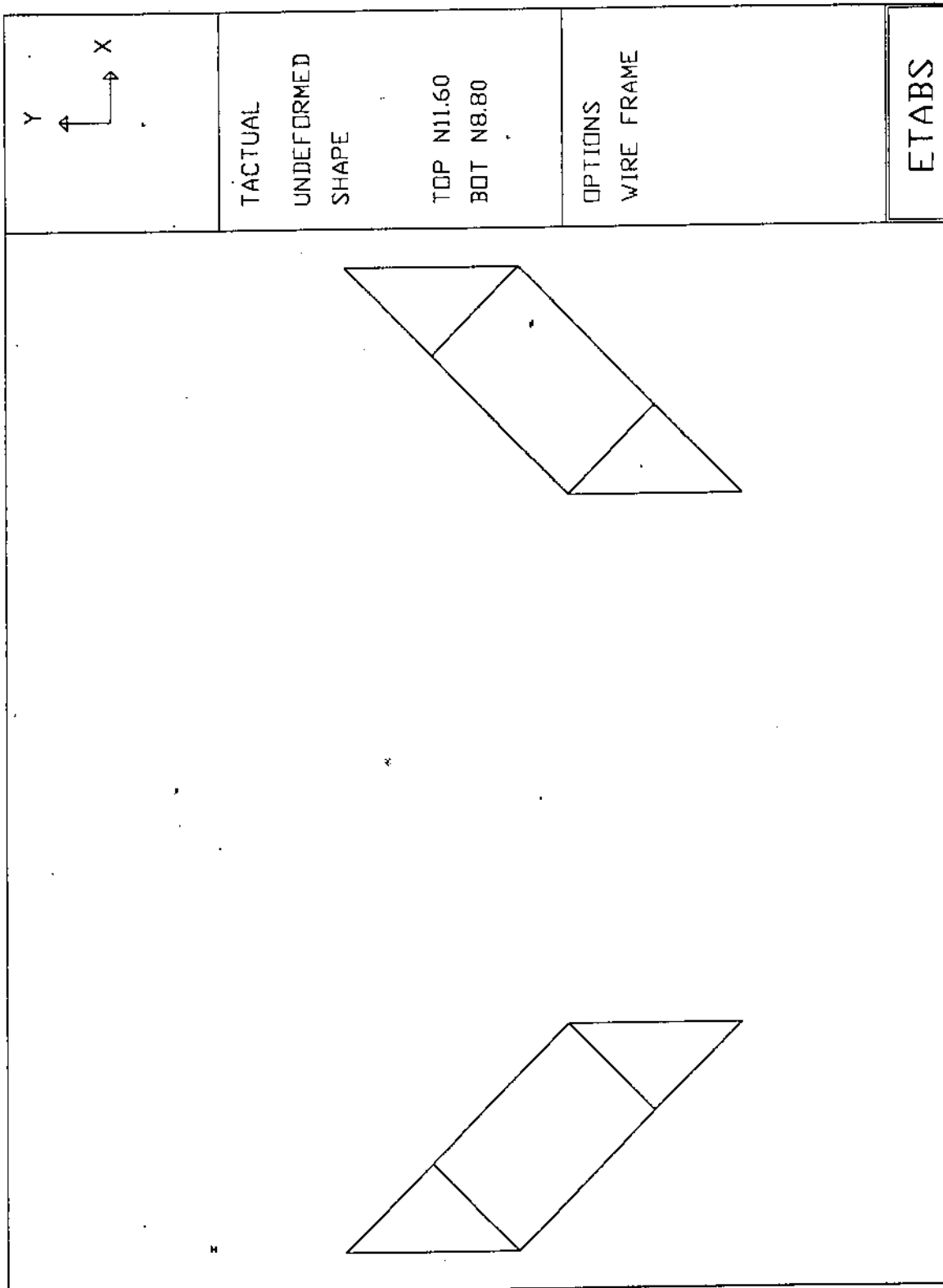
PCA

| | | | |
|------|---|----------------|-------------------|
| Obra | ESTUDIO DE VULNERABILIDAD TEATRO LA MEDIA TORTA <small>HANZ</small> | Nº 2666 | Fecha 01/02/01 |
| Item | Datos de entrada ETABS Planta N+6.00 | Calculó A.P.B. | Revisó J.E.B. |



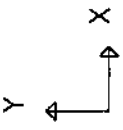
PCA

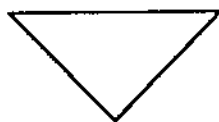
| | | | | |
|------|--|-------------------|-------------------|--|
| Obra | ESTUDIO DE VULNERABILIDAD TEATRO LA MEDIA TORTA | Nº 2666 | Fecha 01/02/01 | |
| Item | Datos de entrada ETABS Planta N+8.80 a N+11.60 | Calculó A.P.B. | Revisó J.E.B. | |



PCA

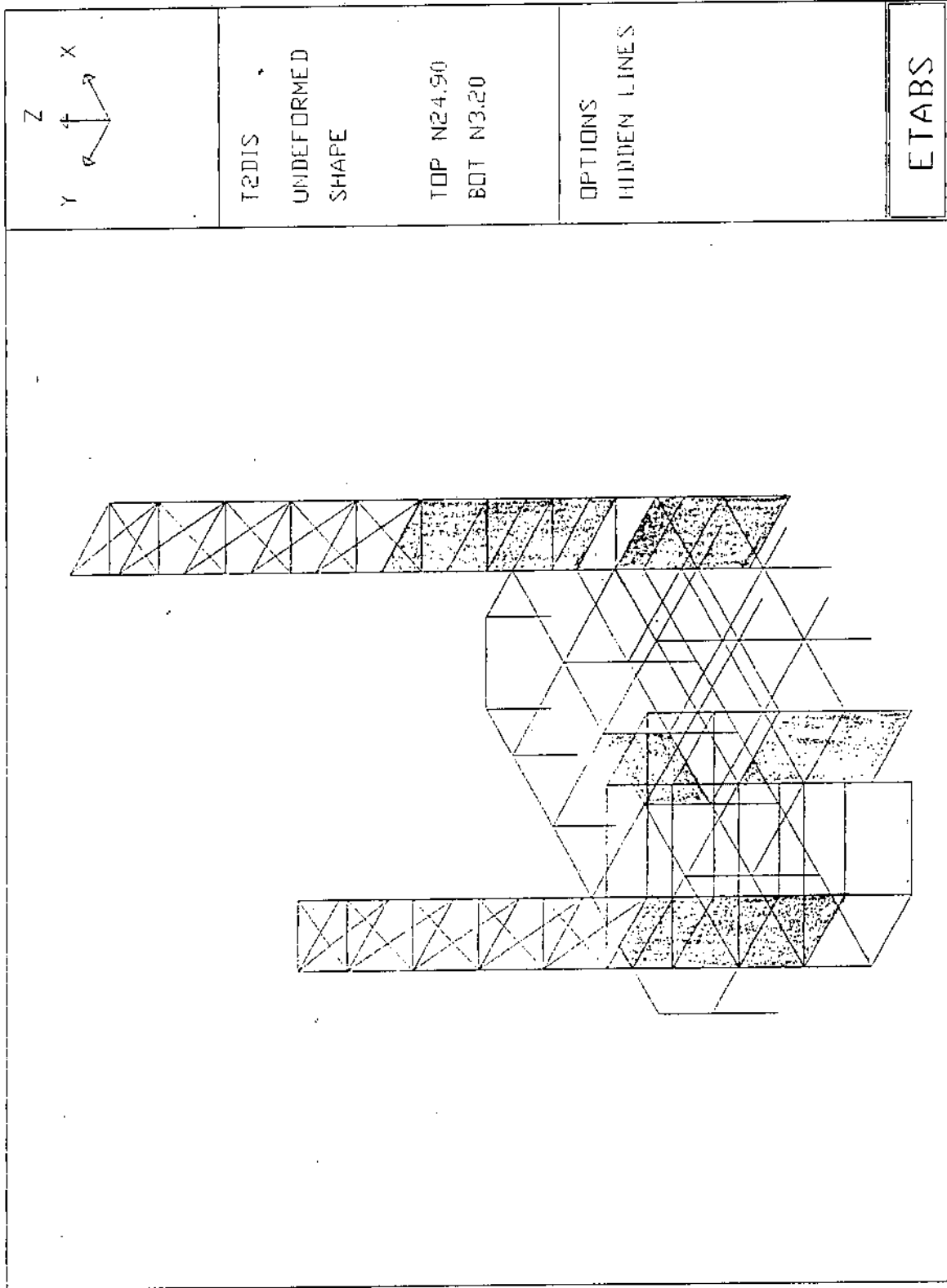
| | | | | | | | |
|------|--|---------|--------|--------|----------|--|--|
| Obra | ESTUDIO DE VULNERABILIDAD TEATRO LA MEDIA TORTA | Nº | 2666 | Fecha | 01/02/01 | | |
| Item | Datos de entrada ETABS Planta N+14.40 a N+24.9 | Calculó | A.P.B. | Revisó | J.E.B. | | |

| | | | | |
|---|--------------------------------|--------------------------|-----------------------|-------|
|  | TACTUAL UNDEFORMED SHAPE | TOP N24.90 BOT N14.40 | OPTIONS WIRE FRAME | ETABS |
|---|--------------------------------|--------------------------|-----------------------|-------|



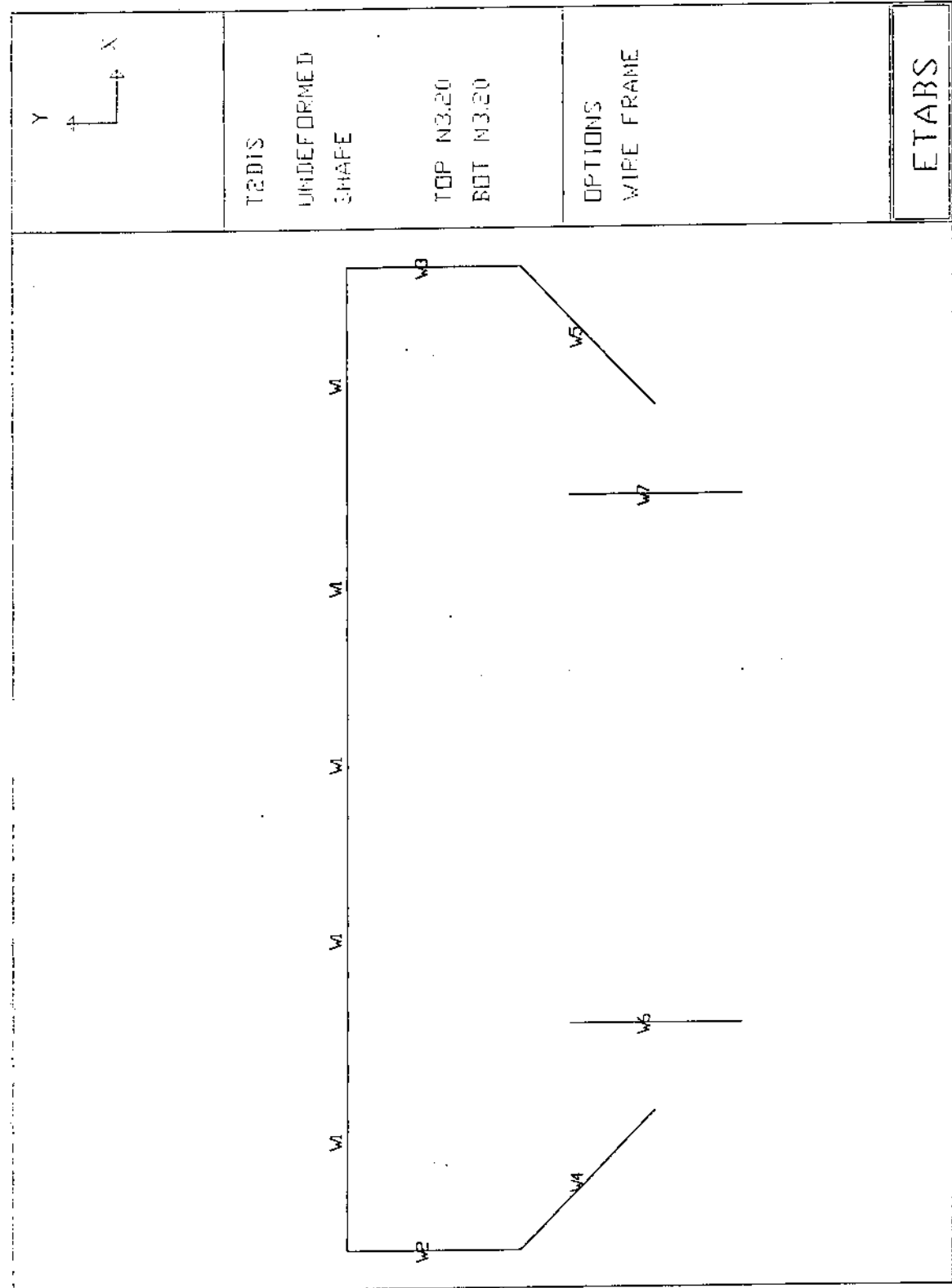
PCA

| | | | | | | |
|------|--|---------|---------------|--------|-----------------|--|
| Obra | ESTUDIO DE VULNERABILIDAD TEATRO LA MEDIA TORTA | Nº | 2666 | Fecha | 01/02/06 | |
| Item | DATOS DE ENTRADA ETABS ESTRUCTURA MODIFICADA | Calculó | A.P.B. | Revisó | J.E.B. | |



PCA

| | | | | | | |
|------|--|---------|--------|--------|----------|--|
| Obra | ESTUDIO DE VULNERABILIDAD TEATRO LA MEDIA TORTA | Nº | 2666 | Fecha | 01/02/06 | |
| Item | DATOS DE ENTRADA ETABS ESTRUCTURA MODIFICADA | Calculó | A.P.B. | Revisó | J.E.B. | |



PCA

| | | | | | | |
|------|--|---------|--------|--------|----------|--|
| Obra | ESTUDIO DE VULNERABILIDAD TEATRO LA MEDIA TORTA | Nº | 2666 | Fecha | 01/02/06 | |
| Item | DATOS DE ENTRADA ETABS ESTRUCTURA MODIFICADA | Calculó | A.P.B. | Revisó | J.E.B. | |

| | | | | |
|--|------------------------------|-------------------------|-----------------------|-------|
| | T2DIS UNDEFORMED SHAPE | TOP N11.60 BOT N6.00 | OPTIONS WIRE FRAME | ETABS |
| | | | | |

E T A B S

Extended Three Dimensional Analysis of Building Systems

Version P6.10

**Copyright (C) 1983-1995
COMPUTERS AND STRUCTURES, INC.
All rights reserved**

This copy of ETABS is for the exclusive use of

PROYECTISTAS CIVILES ASOCIADOS

Unauthorized use is in violation of Federal copyright laws

**It is the responsibility of the user to verify all
results produced by this program**

6 Feb 2001 19:52:19

TEATRO LA MEDIA TORTA - ESTRUCTURA ACTUAL

ANALISIS DINAMICO

JOB CONTROL INFORMATION

NUMBER OF STORIES----- 9

NUMBER OF FLOOR DIAPHRAGMS ON EACH LEVEL---- 2

NUMBER OF DIFFERENT FRAMES----- 1

NUMBER OF TOTAL FRAMES----- 1

NUMBER OF MASS TYPES----- 4

NUMBER OF LOAD CASES----- 17

NUMBER OF STRUCTURAL PERIODS----- 18

NUMBER OF MATERIAL PROPERTIES----- 4

NUMBER OF PROPERTIES FOR COLUMNS----- 7

NUMBER OF PROPERTIES FOR BEAMS----- 7

NUMBER OF PROPERTIES FOR FLOORS----- 0

NUMBER OF PROPERTIES FOR BRACES----- 1

NUMBER OF PROPERTIES FOR PANELS----- 1

NUMBER OF PROPERTIES FOR SUPPORTS/LINKS----- 1

CODE FOR STATIC LATERAL ANALYSIS----- 0

CODE FOR DYNAMIC LATERAL ANALYSIS----- 2

CODE FOR STRUCTURE TYPE----- 0

CODE FOR P-DELTA ANALYSIS ----- 1

CODE FOR FRAME JOINT STIFFNESS MODIFICATION-- 0

CODE FOR FRAME SELF WEIGHT LOAD CONDITION--- 1

CODE FOR TYPE OF UNITS----- 2

GRAVITATIONAL ACCELERATION----- 0.9815E+01

EIGEN CONVERGENCE TOLERANCE----- 0.1000E-03

EIGEN CUTOFF TIME PERIOD----- 0.0000E+00

P-DELTA FACTOR----- 0.1000E+01

SECTION PROPERTIES FILE----- AISC.PRO

TEATRO LA MEDIA TORTA - ESTRUCTURA ACTUAL

ANALISIS DINAMICO

STORY MASS TYPE NUMBER----- 1
NUMBER OF MASS SEGMENTS----- 3
MASS SCALE FACTOR----- 0.100E+01

| SEGMENT | SEGMENT | TYPE | MASS | XC (X1) | YC (Y1) | BB (X2) | DD (Y2) | ANGLE (X3) | RADIUS (Y3) |
|---------|-----------|------|------|------------|------------|------------|------------|---------------|----------------|
| POINT | 2,403E+01 | 0.00 | 6.00 | | | | | | |
| POINT | 2,403E+01 | 1.75 | 6.25 | | | | | | |
| POINT | 2,403E+01 | 0.00 | 4.25 | | | | | | |

CALCULATED DIAPHRAGM MASS PROPERTIES

DIAPHRAGM MASS----- 72.09
MASS MOMENT OF INERTIA----- 0.218E+03
X-ORDINATE OF CENTER OF MASS----- 0.58
Y-ORDINATE OF CENTER OF MASS----- 6.17

TEATRO LA MEDIA TORTA - ESTRUCTURA ACTUAL

ANALISIS DINAMICO

STORY MASS TYPE NUMBER----- 2
NUMBER OF MASS SEGMENTS----- 3
MASS SCALE FACTOR----- 0.100E+01

| SEGMENT | SEGMENT | | | | | | |
|---------|-----------|-------|------|------|------|-------|--------|
| TYPE | MASS | XC | YC | BB | DD | ANGLE | RADIUS |
| | | (X1) | (Y1) | (X2) | (Y2) | (X3) | (Y3) |
| POINT | 2.403E+01 | 19.50 | 8.00 | | | | |
| POINT | 2.403E+01 | 17.75 | 6.25 | | | | |
| POINT | 2.403E+01 | 19.50 | 4.25 | | | | |

CALCULATED DIAPHRAGM MASS PROPERTIES

DIAPHRAGM MASS----- 72.09
MASS MOMENT OF INERTIA----- 0.218E+03
X-ORDINATE OF CENTER OF MASS----- 18.92
Y-ORDINATE OF CENTER OF MASS----- 6.17

PROYECTISTAS CIVILES ASOCIADOS

PAGE 5

PROGRAM:ETABS\FILE:\Z666\ACTUAL\TORTADIS.EJO

TEATRO LA MEDIA TORTA - ESTRUCTURA ACTUAL

ANALISIS DINAMICO

STORY MASS TYPE NUMBER----- 3
NUMBER OF MASS SEGMENTS----- 6
MASS SCALE FACTOR----- 0.100E+01

| SEGMENT TYPE | SEGMENT MASS | XC (X1) | YC (Y1) | BB (X2) | DD (Y2) | ANGLE (X3) | RADIUS (Y3) |
|-----------------|-----------------|------------|------------|------------|------------|---------------|----------------|
| POINT | 2.378E+01 | 0.00 | 8.00 | | | | |
| POINT | 2.378E+01 | 1.75 | 6.25 | | | | |
| POINT | 2.378E+01 | 0.00 | 4.50 | | | | |
| POINT | 2.378E+01 | 4.50 | 3.50 | | | | |
| POINT | 2.378E+01 | 2.75 | 1.75 | | | | |
| POINT | 2.378E+01 | 4.50 | 0.00 | | | | |

CALCULATED DIAPHRAGM MASS PROPERTIES

DIAPHRAGM MASS----- 142.66
MASS MOMENT OF INERTIA----- 0.151E+04
X-ORDINATE OF CENTER OF MASS----- 2.25
Y-ORDINATE OF CENTER OF MASS----- 4.00

TEATRO LA MEDIA TORTA - ESTRUCTURA ACTUAL

ANALISIS DINAMICO

STORY MASS TYPE NUMBER----- 4
NUMBER OF MASS SEGMENTS----- 6
MASS SCALE FACTOR----- 0.100E+01

| SEGMENT | SEGMENT | TYPE | MASS | XC (X1) | YC (Y1) | BB (X2) | DD (Y2) | ANGLE (X3) | RADIUS (Y3) |
|---------|---------|-------|-----------|------------|------------|------------|------------|---------------|----------------|
| POINT | | POINT | 2.378E+01 | 19.50 | 8.00 | | | | |
| POINT | | POINT | 2.378E+01 | 17.75 | 6.25 | | | | |
| POINT | | POINT | 2.378E+01 | 19.50 | 4.50 | | | | |
| POINT | | POINT | 2.378E+01 | 15.00 | 3.50 | | | | |
| POINT | | POINT | 2.378E+01 | 16.75 | 1.75 | | | | |
| POINT | | POINT | 1.869E+01 | 15.00 | 0.00 | | | | |

CALCULATED DIAPHRAGM MASS PROPERTIES

DIAPHRAGM MASS----- 137.58
MASS MOMENT OF INERTIA----- 0.140E+04
X-ORDINATE OF CENTER OF MASS----- .17.33
Y-ORDINATE OF CENTER OF MASS----- 4.15

TEATRO LA MEDIA TORTA - ESTRUCTURA ACTUAL

ANALISIS DINAMICO

STRUCTURAL STORY DATA . . .

| STORY LEVEL | STORY NUMBER OF HEIGHT DIAPHRAGMS |
|----------------|--------------------------------------|
| N24.90 | 2.10 2. |
| N22.80 | 2.80 2 |
| N20.00 | 2.80 2 |
| N17.20 | 2.80 2 |
| N14.40 | 2.80 2 |
| N11.60 | 2.80 2 |
| N8.80 | 2.80 2 |
| N6.00 | 2.80 1 |
| N3.20 | 2.90 1 |

TEATRO LA MEDIA TORTA - ESTRUCTURA ACTUAL

ANALISIS DINAMICO

DIAPHRAGM MASS DATA

| STORY LEVEL | DIAPHRAGM NUMBER | MASS TYPE | DIAPHRAGM MASS | DIAPHRAGM MMI | DIAPHRAGM X-M | DIAPHRAGM Y-M |
|----------------|---------------------|--------------|-------------------|------------------|------------------|------------------|
| N24.90 | 1 | 0 | 558.000 | 0.0000E+00 | 0.590 | 6.250 |
| | 2 | 0 | 558.000 | 0.0000E+00 | 18.910 | 6.250 |
| N22.80 | 1 | 1 | 72.092 | 0.2183E+03 | 0.583 | 6.167 |
| | 2 | 2 | 72.092 | 0.2183E+03 | 18.917 | 6.167 |
| N20.00 | 1 | 1 | 72.092 | 0.2183E+03 | 0.583 | 6.167 |
| | 2 | 2 | 72.092 | 0.2183E+03 | 18.917 | 6.167 |
| N17.20 | 1 | 1 | 72.092 | 0.2183E+03 | 0.583 | 6.167 |
| | 2 | 2 | 72.092 | 0.2183E+03 | 18.917 | 6.167 |
| N14.40 | 1 | 0 | 1504.000 | 0.0000E+00 | 0.590 | 6.250 |
| | 2 | 0 | 1504.000 | 0.0000E+00 | 18.910 | 6.250 |
| N11.60 | 1 | 3 | 142.660 | 0.1507E+04 | 2.250 | 4.000 |
| | 2 | 4 | 137.578 | 0.1396E+04 | 17.333 | 4.148 |
| N8.80 | 1 | 0 | 1709.000 | 0.0000E+00 | 1.690 | 5.040 |
| | 2 | 0 | 1709.000 | 0.0000E+00 | 17.810 | 5.040 |
| N6.00 | 1 | 0 | 16078.000 | 0.0000E+00 | 8.730 | 5.360 |
| | 2 | 0 | 14291.000 | 0.0000E+00 | 8.760 | 5.340 |
| N3.20 | 1 | 0 | 14291.000 | 0.0000E+00 | 8.760 | 5.340 |

TEATRO LA MEDIA TORTA - ESTRUCTURA ACTUAL

ANALISIS DINAMICO

DIAPHRAGM EXTERNAL STIFFNESS DATA

| STORY LEVEL | DIAPHRAGM NUMBER | DIAPHRAGM K-X | DIAPHRAGM K-Y | DIAPHRAGM K-R |
|----------------|---------------------|------------------|------------------|------------------|
| N24.90 | 1 | 0.0000E+00 | 0.0000E+00 | 0.0000E+00 |
| " | 2 | 0.0000E+00 | 0.0000E+00 | 0.0000E+00 |
| N22.80 | 1 | 0.0000E+00 | 0.0000E+00 | 0.0000E+00 |
| " | 2 | 0.0000E+00 | 0.0000E+00 | 0.0000E+00 |
| N20.00 | 1 | 0.0000E+00 | 0.0000E+00 | 0.0000E+00 |
| " | 2 | 0.0000E+00 | 0.0000E+00 | 0.0000E+00 |
| N17.20 | 1 | 0.0000E+00 | 0.0000E+00 | 0.0000E+00 |
| " | 2 | 0.0000E+00 | 0.0000E+00 | 0.0000E+00 |
| N14.40 | 1 | 0.0000E+00 | 0.0000E+00 | 0.0000E+00 |
| " | 2 | 0.0000E+00 | 0.0000E+00 | 0.0000E+00 |
| N11.60 | 1 | 0.0000E+00 | 0.0000E+00 | 0.0000E+00 |
| " | 2 | 0.0000E+00 | 0.0000E+00 | 0.0000E+00 |
| N8.80 | 1 | 0.0000E+00 | 0.0000E+00 | 0.0000E+00 |
| " | 2 | 0.0000E+00 | 0.0000E+00 | 0.0000E+00 |
| N6.00 | 1 | 0.0000E+00 | 0.0000E+00 | 0.0000E+00 |
| N3.20 | 1 | 0.0000E+00 | 0.0000E+00 | 0.0000E+00 |

TEATRO LA MEDIA TORTA - ESTRUCTURA ACTUAL

ANALISIS DINAMICO

MATERIAL PROPERTIES

| ID | TYPE | ELASTIC MODULUS | POISSONS RATIO | UNIT WEIGHT | UNIT MASS | COEFF OF EXPANSION |
|----|------|-----------------|----------------|-------------|------------|--------------------|
| 1 | C | 0.1787E+10 | 0.2000 | 0.2400E+04 | 0.0000E+00 | 0.5500E-05 |
| 2 | W | 0.1787E+10 | 0.2000 | 0.2400E+04 | 0.0000E+00 | 0.5500E-05 |
| 3 | C | 0.1787E+10 | 0.2000 | 0.2400E+04 | 0.2400E+03 | 0.5500E-05 |
| 4 | S | 0.2939E+11 | 0.3000 | 0.7833E+04 | 0.7981E+03 | 0.6500E-05 |

MATERIAL PROPERTIES FOR DESIGN

| ID | TYPE | FY | FC | FYS | FCS | FBMAJ | FBMIN |
|----|------|-----------|-----------|-----------|-----------|-----------|-----------|
| 1 | C | 0.420E+08 | 0.210E+07 | 0.420E+08 | 0.210E+07 | | |
| 2 | W | 0.420E+08 | 0.210E+07 | 0.420E+08 | 0.210E+07 | | |
| 3 | C | 0.420E+08 | 0.210E+07 | 0.420E+08 | 0.210E+07 | | |
| 4 | S | 0.253E+08 | | | | 0.000E+00 | 0.000E+00 |

TEATRO LA MEDIA TORTA - ESTRUCTURA ACTUAL

ANALISIS DINAMICO

SECTION PROPERTIES FOR COLUMNS

| SECTION | | MAT | MAJOR | MINOR | FLANGE | WEB |
|---------|------|-----|-------|-------|--------|-------|
| ID | TYPE | ID | DIM | DIM | THICK | THICK |
| 1 | RECT | 1 | 0.250 | 0.250 | 0.000 | 0.000 |
| 2 | RECT | 1 | 0.250 | 0.250 | 0.000 | 0.000 |
| 3 | RECT | 1 | 0.250 | 0.250 | 0.000 | 0.000 |
| 4 | RECT | 1 | 0.250 | 0.250 | 0.000 | 0.000 |
| 5 | RECT | 1 | 0.250 | 0.250 | 0.000 | 0.000 |
| 6 | RECT | 1 | 0.250 | 0.250 | 0.000 | 0.000 |
| 7 | RECT | 1 | 0.250 | 0.250 | 0.000 | 0.000 |

SECTION PROPERTY REDUCTION FACTORS FOR COLUMNS

| TORSION | | MAJOR | MINOR |
|---------|-------|-------|-------|
| ID | J | I | I |
| 1 | 1.000 | 1.000 | 1.000 |
| 2 | 1.000 | 1.000 | 1.000 |
| 3 | 1.000 | 1.000 | 1.000 |
| 4 | 1.000 | 1.000 | 1.000 |
| 5 | 1.000 | 1.000 | 1.000 |
| 6 | 1.000 | 1.000 | 1.000 |
| 7 | 1.000 | 1.000 | 1.000 |

ANALYSIS SECTION PROPERTIES FOR COLUMNS

| ID | AXIAL | MAJOR | MINOR | TORSION | MAJOR | MINOR |
|----|-------|-------|-------|------------|------------|------------|
| | A | AV | AV | J | I | I |
| 1 | 0.063 | 0.052 | 0.052 | 0.5501E-03 | 0.3255E-03 | 0.3255E-03 |
| 2 | 0.063 | 0.052 | 0.052 | 0.5501E-03 | 0.3255E-03 | 0.3255E-03 |
| 3 | 0.063 | 0.052 | 0.052 | 0.5501E-03 | 0.3255E-03 | 0.3255E-03 |
| 4 | 0.063 | 0.052 | 0.052 | 0.5501E-03 | 0.3255E-03 | 0.3255E-03 |
| 5 | 0.063 | 0.052 | 0.052 | 0.5501E-03 | 0.3255E-03 | 0.3255E-03 |
| 6 | 0.063 | 0.052 | 0.052 | 0.5501E-03 | 0.3255E-03 | 0.3255E-03 |
| 7 | 0.063 | 0.052 | 0.052 | 0.5501E-03 | 0.3255E-03 | 0.3255E-03 |

TEATRO LA MEDIA TORTA - ESTRUCTURA ACTUAL

ANALISIS DINAMICO

SECTION PROPERTIES FOR BEAMS

| SECTION | MAT | DEPTH BELOW | DEPTH ABOVE | BEAM WIDTH | FLANGE THICK | WEB THICK |
|---------|------|-------------|-------------|------------|--------------|-----------|
| ID | TYPE | ID | | | | |
| 1 | RECT | 1 | 0.175 | 0.175 | 0.130 | 0.000 |
| 2 | RECT | 1 | 0.175 | 0.175 | 0.250 | 0.000 |
| 3 | RECT | 1 | 0.175 | 0.175 | 0.300 | 0.000 |
| 4 | RECT | 3 | 0.150 | 0.150 | 0.125 | 0.000 |
| 5 | RECT | 1 | 0.150 | 0.150 | 0.250 | 0.000 |
| 6 | RECT | 3 | 0.175 | 0.175 | 0.250 | 0.000 |
| 7 | RECT | 1 | 0.175 | 0.175 | 0.350 | 0.000 |

SECTION PROPERTY REDUCTION FACTORS FOR BEAMS

| TORSION | MAJOR | MINOR |
|---------|-------|-------|
| ID | J | I |
| 1 | 1.000 | 1.000 |
| 2 | 1.000 | 1.000 |
| 3 | 1.000 | 1.000 |
| 4 | 1.000 | 1.000 |
| 5 | 1.000 | 1.000 |
| 6 | 1.000 | 1.000 |
| 7 | 1.000 | 1.000 |

ANALYSIS SECTION PROPERTIES FOR BEAMS

| AXIAL | MAJOR | MINOR | TORSION | MAJOR | MINOR |
|-------|-------|-------|---------|------------|------------|
| ID | A | AV | AV | J | I |
| 1 | 0.046 | 0.038 | 0.038 | 0.1964E-03 | 0.4645E-03 |
| 2 | 0.088 | 0.073 | 0.073 | 0.1020E-02 | 0.8932E-03 |
| 3 | 0.105 | 0.088 | 0.088 | 0.1524E-02 | 0.1072E-02 |
| 4 | 0.038 | 0.031 | 0.031 | 0.1442E-03 | 0.2813E-03 |
| 5 | 0.075 | 0.063 | 0.063 | 0.7752E-03 | 0.5625E-03 |
| 6 | 0.068 | 0.073 | 0.073 | 0.1020E-02 | 0.8932E-03 |
| 7 | 0.122 | 0.102 | 0.102 | 0.2113E-02 | 0.1251E-02 |

TEATRO LA MEDIA TORTA - ESTRUCTURA ACTUAL

ANALISIS DINAMICO

SECTION PROPERTIES FOR BRACES

| SECTION | MAT | MAJOR | MINOR | FLANGE | WEB | |
|---------|----------|-------|-------|--------|-------|-------|
| ID | TYPE | ID | DIM | DIM | THICK | THICK |
| 1 | L2X2X3/8 | 4 | 0.051 | 0.051 | 0.010 | 0.010 |

SECTION PROPERTY REDUCTION FACTORS FOR BRACES

| TORSION | MAJOR | MINOR | |
|---------|-------|-------|-------|
| ID | J | I | I |
| 1 | 1.000 | 1.000 | 1.000 |

ANALYSIS SECTION PROPERTIES FOR BRACES

| AXIAL | MAJOR | MINOR | TORSION | MAJOR | MINOR | |
|-------|-------|-------|---------|------------|------------|------------|
| ID | A | AV | AV | J | I | I |
| 1 | 0.001 | 0.000 | 0.000 | 0.2664E-07 | 0.1994E-06 | 0.1994E-06 |

PROYECTISTAS CIVILES ASOCIADOS

PAGE 14

PROGRAM:ETABS\FILE:\2686\ACTUAL\TORTADIS.EKO

TEATRO LA MEDIA TORTA - ESTRUCTURA ACTUAL

ANALISIS DINAMICO

SECTION PROPERTIES FOR PANELS

| ELEMENT ID | MAT TYPE | PANEL ID | PANEL TV | PANEL TH | PANEL TSHR | PANEL BI | PANEL DI | PANEL BJ | PANEL DJ |
|------------|----------|----------|----------|----------|------------|----------|----------|----------|----------|
| 1 MEMB | 2 | 0.250 | 0.250 | 0.250 | 0.00 | 0.00 | 0.00 | 0.00 | 0.00 |

PROYECTISTAS CIVILES ASOCIADOS

PAGE 15

PROGRAM:ETABS/FILE:\2666\ACTUAL\TORTADIS.EKD

TEATRO LA MEDIA TORTA - ESTRUCTURA ACTUAL

ESTRUCTURA Y ANÁLISIS DINÁMICO

SUPPORT PROPERTIES (TYPE=LINEAR) SPRING CONSTANTS

TEATRO LA MEDIA TORTA - ESTRUCTURA ACTUAL

ANALISIS DINAMICO

FRAME CONTROL INFORMATION

FRAME ID NUMBER----- 1

NUMBER OF COLUMN LINES----- 30

NUMBER OF BEAM BAYS----- 49

NUMBER OF FLOOR BAYS----- 0

NUMBER OF JOINT LOAD PATTERNS----- 6

NUMBER OF BEAM SPAN LOAD PATTERNS----- 62

NUMBER OF FLOOR SURFACE LOAD PATTERNS----- 0

CODE FOR JOINT DATA----- 1

MAXIMUM NUMBER OF BRACE ELEMENTS----- 30

MAXIMUM NUMBER OF PANEL ELEMENTS----- 9

MAXIMUM NUMBER OF LINK ELEMENTS----- 0

MAXIMUM NUMBER OF LOADS PER BEAM SPAN----- 4

COLUMN LINE COORDINATES AND ORIENTATIONS

| COLUMN | X-ORD | Y-ORD | ANGLE |
|--------|--------|--------|-----------|
| 1 | 2.250 | 12.500 | 0.00000 |
| 2 | 4.500 | 12.500 | 0.00000 |
| 3 | 8.000 | 12.500 | 0.00000 |
| 4 | 11.500 | 12.500 | 0.00000 |
| 5 | 15.000 | 12.500 | 0.00000 |
| 6 | 17.250 | 12.500 | 0.00000 |
| 7 | 0.000 | 10.250 | 0.00000 |
| 8 | 19.500 | 10.250 | 0.00000 |
| 9 | 0.000 | 8.000 | 0.00000 |
| 10 | 4.500 | 8.000 | 0.00000 |
| 11 | 8.000 | 8.000 | 0.00000 |
| 12 | 11.500 | 8.000 | 0.00000 |
| 13 | 15.000 | 8.000 | 0.00000 |
| 14 | 19.500 | 8.000 | 0.00000 |
| 15 | 1.750 | 6.250 | 45.00000 |
| 16 | 17.750 | 6.250 | 135.00000 |
| 17 | 0.000 | 4.500 | 0.00000 |
| 18 | 19.500 | 4.500 | 0.00000 |
| 19 | 4.500 | 3.500 | 0.00000 |
| 20 | 8.000 | 3.500 | 0.00000 |
| 21 | 11.500 | 3.500 | 0.00000 |
| 22 | 15.000 | 3.500 | 0.00000 |
| 23 | 2.750 | 1.750 | 45.00000 |
| 24 | 16.750 | 1.750 | 135.00000 |
| 25 | 4.500 | 0.000 | 45.00000 |

TEATRO LA MEDIA TORTA - ESTRUCTURA ACTUAL

ANALISIS DINAMICO

COLUMN LINE COORDINATES AND ORIENTATIONS

| COLUMN | X-ORD | Y-ORD | ANGLE |
|--------|--------|--------|-----------|
| 26 | 8.000 | 0.000 | 0.00000 |
| 27 | 11.500 | 0.000 | 0.00000 |
| 28 | 15.000 | 0.000 | 135.00000 |
| 29 | 8.000 | -2.000 | 0.00000 |
| 30 | 11.500 | -2.000 | 0.00000 |

BEAM BAY CONNECTIVITY DATA

| BAY | I-COLUMN | J-COLUMN | I-END DROP | BAY LENGTH |
|-----|----------|----------|------------|------------|
| 1 | 25 | 26 | 0 | 3.500 |
| 2 | 26 | 27 | 0 | 3.500 |
| 3 | 27 | 28 | 0 | 3.500 |
| 4 | 19 | 20 | 0 | 3.500 |
| 5 | 20 | 21 | 0 | 3.500 |
| 6 | 21 | 22 | 0 | 3.500 |
| 7 | 9 | 10 | 0 | 4.500 |
| 8 | 10 | 11 | 0 | 3.500 |
| 9 | 11 | 12 | 0 | 3.500 |
| 10 | 12 | 13 | 0 | 3.500 |
| 11 | 13 | 14 | 0 | 4.500 |
| 12 | 1 | 2 | 0 | 2.250 |
| 13 | 2 | 3 | 0 | 3.500 |
| 14 | 3 | 4 | 0 | 3.500 |
| 15 | 4 | 5 | 0 | 3.500 |
| 16 | 5 | 6 | 0 | 2.250 |
| 17 | 18 | 14 | 0 | 3.500 |
| 18 | 14 | 8 | 0 | 2.250 |
| 19 | 28 | 22 | 0 | 3.500 |
| 20 | 22 | 13 | 0 | 4.500 |
| 21 | 13 | 5 | 0 | 4.500 |
| 22 | 30 | 27 | 0 | 2.000 |
| 23 | 27 | 21 | 0 | 3.500 |
| 24 | 21 | 12 | 0 | 4.500 |
| 25 | 12 | 4 | 0 | 4.500 |
| 26 | 29 | 26 | 0 | 2.000 |
| 27 | 26 | 20 | 0 | 3.500 |
| 28 | 20 | 11 | 0 | 4.500 |
| 29 | 11 | 3 | 0 | 4.500 |
| 30 | 25 | 19 | 0 | 3.500 |
| 31 | 19 | 10 | 0 | 4.500 |
| 32 | 10 | 2 | 0 | 4.500 |
| 33 | 17 | 9 | 0 | 3.500 |
| 34 | 9 | 7 | 0 | 2.250 |
| 35 | 3 | 6 | 0 | 3.182 |
| 36 | 18 | 16 | 0 | 2.475 |
| 37 | 24 | 22 | 0 | 2.475 |
| 38 | 24 | 18 | 0 | 3.889 |
| 39 | 22 | 16 | 0 | 3.889 |
| 40 | 16 | 14 | 0 | 2.475 |

TEATRO LA MEDIA TORTA - ESTRUCTURA ACTUAL

ANALISIS DINAMICO

BEAM BAY CONNECTIVITY DATA

| BAY | I-COLUMN | J-COLUMN | I-END DROP | BAY LENGTH |
|-----|----------|----------|------------|------------|
| 41 | 28 | 24 | 0 | 2.475 |
| 42 | 25 | 23 | 0 | 2.475 |
| 43 | 23 | 17 | 0 | 3.889 |
| 44 | 19 | 15 | 0 | 3.889 |
| 45 | 15 | 9 | 0 | 2.475 |
| 46 | 23 | 19 | 0 | 2.475 |
| 47 | 17 | 15 | 0 | 2.475 |
| 48 | 7 | 1 | 0 | 3.182 |
| 49 | 15 | 16 | 0 | 16.000 |

JOINT LOADS AND TEMPERATURE CHANGES

| ID | F | FX | FY | MX | MY | MZ | T |
|----|----------|-------|-------|-----|---------|-----|-------|
| 1 | 5560.000 | 0.000 | 0.000 | 0.0 | 11120.0 | 0.0 | 0.000 |
| 2 | 4370.000 | 0.000 | 0.000 | 0.0 | 8740.0 | 0.0 | 0.000 |
| 3 | 1625.000 | 0.000 | 0.000 | 0.0 | 0.0 | 0.0 | 0.000 |
| 4 | 1330.000 | 0.000 | 0.000 | 0.0 | 0.0 | 0.0 | 0.000 |
| 5 | 1017.000 | 0.000 | 0.000 | 0.0 | 0.0 | 0.0 | 0.000 |
| 6 | 850.000 | 0.000 | 0.000 | 0.0 | 0.0 | 0.0 | 0.000 |

BEAM SPAN LOADING PATTERNS

| ID | NCON | W1/L1 | W2/L2 | W3/L3 | W4/L4 |
|----|------|------------|------------|-----------|---------|
| 1 | 0 | 553.00000 | 0.00000 | 0.00000 | 0.00000 |
| | | 0.000 | 0.000 | 0.000 | 0.000 |
| 2 | 0 | 58.00000 | 0.00000 | 0.00000 | 0.00000 |
| | | 0.000 | 0.000 | 0.000 | 0.000 |
| 3 | 0 | 588.00000 | 0.00000 | 0.00000 | 0.00000 |
| | | 0.000 | 0.000 | 0.000 | 0.000 |
| 4 | 0 | 83.00000 | 0.00000 | 0.00000 | 0.00000 |
| | | 0.000 | 0.000 | 0.000 | 0.000 |
| 5 | 0 | 576.00000 | 0.00000 | 0.00000 | 0.00000 |
| | | 0.000 | 0.000 | 0.000 | 0.000 |
| 6 | 0 | 851.00000 | 0.00000 | 0.00000 | 0.00000 |
| | | 0.000 | 0.000 | 0.000 | 0.000 |
| 7 | 0 | 696.00000 | 0.00000 | 0.00000 | 0.00000 |
| | | 0.000 | 0.000 | 0.000 | 0.000 |
| 8 | 0 | 1353.00000 | 0.00000 | 0.00000 | 0.00000 |
| | | 0.000 | 0.000 | 0.000 | 0.000 |
| 9 | 0 | 628.00000 | 0.00000 | 0.00000 | 0.00000 |
| | | 0.000 | 0.000 | 0.000 | 0.000 |
| 10 | 0 | 576.00000 | 1166.00000 | 576.00000 | 0.00000 |
| | | -0.200 | -0.200 | -1.000 | 0.000 |
| 11 | 0 | 175.00000 | 475.00000 | 175.00000 | 0.00000 |
| | | -0.200 | -0.200 | -1.000 | 0.000 |
| 12 | 0 | 576.00000 | 0.00000 | 0.00000 | 0.00000 |
| | | 0.000 | 0.000 | 0.000 | 0.000 |

TEATRO LA MEDIA TORTA - ESTRUCTURA ACTUAL

ANALISIS DINAMICO

BEAM SPAN LOADING PATTERNS

| ID NCON | | W1/L1 | W2/L2 | W3/L3 | W4/L4 |
|---------|---|------------|---------|---------|---------|
| 13 | 0 | 175.00000 | 0.00000 | 0.00000 | 0.00000 |
| | | 0.000 | 0.000 | 0.000 | 0.000 |
| 14 | 0 | 390.00000 | 0.00000 | 0.00000 | 0.00000 |
| | | 0.000 | 0.000 | 0.000 | 0.000 |
| 15 | 0 | 316.00000 | 0.00000 | 0.00000 | 0.00000 |
| | | 0.000 | 0.000 | 0.000 | 0.000 |
| 16 | 0 | 702.00000 | 0.00000 | 0.00000 | 0.00000 |
| | | 0.000 | 0.000 | 0.000 | 0.000 |
| 17 | 0 | 102.00000 | 0.00000 | 0.00000 | 0.00000 |
| | | 0.000 | 0.000 | 0.000 | 0.000 |
| 18 | 0 | 315.00000 | 0.00000 | 0.00000 | 0.00000 |
| | | 0.000 | 0.000 | 0.000 | 0.000 |
| 19 | 0 | 245.00000 | 0.00000 | 0.00000 | 0.00000 |
| | | 0.000 | 0.000 | 0.000 | 0.000 |
| 20 | 0 | 1676.00000 | 0.00000 | 0.00000 | 0.00000 |
| | | 0.000 | 0.000 | 0.000 | 0.000 |
| 21 | 0 | 858.00000 | 0.00000 | 0.00000 | 0.00000 |
| | | 0.000 | 0.000 | 0.000 | 0.000 |
| 22 | 0 | 1425.00000 | 0.00000 | 0.00000 | 0.00000 |
| | | 0.000 | 0.000 | 0.000 | 0.000 |
| 23 | 0 | 643.99990 | 0.00000 | 0.00000 | 0.00000 |
| | | 0.000 | 0.000 | 0.000 | 0.000 |
| 24 | 0 | 2020.00000 | 0.00000 | 0.00000 | 0.00000 |
| | | 0.000 | 0.000 | 0.000 | 0.000 |
| 25 | 0 | 1575.00000 | 0.00000 | 0.00000 | 0.00000 |
| | | 0.000 | 0.000 | 0.000 | 0.000 |
| 26 | 0 | 1448.00000 | 0.00000 | 0.00000 | 0.00000 |
| | | 0.000 | 0.000 | 0.000 | 0.000 |
| 27 | 0 | 1129.00000 | 0.00000 | 0.00000 | 0.00000 |
| | | 0.000 | 0.000 | 0.000 | 0.000 |
| 28 | 0 | 1796.00000 | 0.00000 | 0.00000 | 0.00000 |
| | | 0.000 | 0.000 | 0.000 | 0.000 |
| 29 | 0 | 1400.00000 | 0.00000 | 0.00000 | 0.00000 |
| | | 0.000 | 0.000 | 0.000 | 0.000 |
| 30 | 0 | 2291.00000 | 0.00000 | 0.00000 | 0.00000 |
| | | 0.000 | 0.000 | 0.000 | 0.000 |
| 31 | 0 | 1337.00000 | 0.00000 | 0.00000 | 0.00000 |
| | | 0.000 | 0.000 | 0.000 | 0.000 |
| 32 | 0 | 542.00000 | 0.00000 | 0.00000 | 0.00000 |
| | | 0.000 | 0.000 | 0.000 | 0.000 |
| 33 | 0 | 423.00000 | 0.00000 | 0.00000 | 0.00000 |
| | | 0.000 | 0.000 | 0.000 | 0.000 |
| 34 | 0 | 913.00000 | 0.00000 | 0.00000 | 0.00000 |
| | | 0.000 | 0.000 | 0.000 | 0.000 |
| 35 | 0 | 711.00000 | 0.00000 | 0.00000 | 0.00000 |
| | | 0.000 | 0.000 | 0.000 | 0.000 |
| 36 | 0 | 1244.00000 | 0.00000 | 0.00000 | 0.00000 |
| | | 0.000 | 0.000 | 0.000 | 0.000 |
| 37 | 0 | 521.00000 | 0.00000 | 0.00000 | 0.00000 |
| | | 0.000 | 0.000 | 0.000 | 0.000 |

TEATRO LA MEDIA TORTA - ESTRUCTURA ACTUAL

ANALISIS DINAMICO

BEAM SPAN LOADING PATTERNS

| ID NEON | | W1/L1 | W2/L2 | W3/L3 | W4/L4 |
|---------|---|------------|---------|---------|---------|
| 38 | 0 | 405.00000 | 0.00000 | 0.00000 | 0.00000 |
| | | 0.000 | 0.000 | 0.000 | 0.000 |
| 39 | 0 | 316.00000 | 0.00000 | 0.00000 | 0.00000 |
| | | 0.000 | 0.000 | 0.000 | 0.000 |
| 40 | 0 | 707.00010 | 0.00000 | 0.00000 | 0.00000 |
| | | 0.000 | 0.000 | 0.000 | 0.000 |
| 41 | 0 | 102.00000 | 0.00000 | 0.00000 | 0.00000 |
| | | 0.000 | 0.000 | 0.000 | 0.000 |
| 42 | 0 | 891.00000 | 0.00000 | 0.00000 | 0.00000 |
| | | 0.000 | 0.000 | 0.000 | 0.000 |
| 43 | 0 | 1869.00000 | 0.00000 | 0.00000 | 0.00000 |
| | | 0.000 | 0.000 | 0.000 | 0.000 |
| 44 | 0 | 823.00000 | 0.00000 | 0.00000 | 0.00000 |
| | | 0.000 | 0.000 | 0.000 | 0.000 |
| 45 | 0 | 1195.00000 | 0.00000 | 0.00000 | 0.00000 |
| | | 0.000 | 0.000 | 0.000 | 0.000 |
| 46 | 0 | 394.00000 | 0.00000 | 0.00000 | 0.00000 |
| | | 0.000 | 0.000 | 0.000 | 0.000 |
| 47 | 0 | 2200.00000 | 0.00000 | 0.00000 | 0.00000 |
| | | 0.000 | 0.000 | 0.000 | 0.000 |
| 48 | 0 | 1400.00000 | 0.00000 | 0.00000 | 0.00000 |
| | | 0.000 | 0.000 | 0.000 | 0.000 |
| 49 | 0 | 2677.00000 | 0.00000 | 0.00000 | 0.00000 |
| | | 0.000 | 0.000 | 0.000 | 0.000 |
| 50 | 0 | 1337.00000 | 0.00000 | 0.00000 | 0.00000 |
| | | 0.000 | 0.000 | 0.000 | 0.000 |
| 51 | 0 | 385.00000 | 0.00000 | 0.00000 | 0.00000 |
| | | 0.000 | 0.000 | 0.000 | 0.000 |
| 52 | 0 | 245.00000 | 0.00000 | 0.00000 | 0.00000 |
| | | 0.000 | 0.000 | 0.000 | 0.000 |
| 53 | 0 | 554.00000 | 0.00000 | 0.00000 | 0.00000 |
| | | 0.000 | 0.000 | 0.000 | 0.000 |
| 54 | 0 | 423.00000 | 0.00000 | 0.00000 | 0.00000 |
| | | 0.000 | 0.000 | 0.000 | 0.000 |
| 55 | 0 | 1118.00000 | 0.00000 | 0.00000 | 0.00000 |
| | | 0.000 | 0.000 | 0.000 | 0.000 |
| 56 | 0 | 712.00010 | 0.00000 | 0.00000 | 0.00000 |
| | | 0.000 | 0.000 | 0.000 | 0.000 |
| 57 | 0 | 736.00000 | 0.00000 | 0.00000 | 0.00000 |
| | | 0.000 | 0.000 | 0.000 | 0.000 |
| 58 | 0 | 102.00000 | 0.00000 | 0.00000 | 0.00000 |
| | | 0.000 | 0.000 | 0.000 | 0.000 |
| 59 | 0 | 476.00000 | 0.00000 | 0.00000 | 0.00000 |
| | | 0.000 | 0.000 | 0.000 | 0.000 |
| 60 | 0 | 316.00000 | 0.00000 | 0.00000 | 0.00000 |
| | | 0.000 | 0.000 | 0.000 | 0.000 |
| 61 | 0 | 1394.00000 | 0.00000 | 0.00000 | 0.00000 |
| | | 0.000 | 0.000 | 0.000 | 0.000 |
| 62 | 0 | 520.00000 | 0.00000 | 0.00000 | 0.00000 |
| | | 0.000 | 0.000 | 0.000 | 0.000 |

TEATRO LA MEDIA TORTA - ESTRUCTURA ACTUAL

ANALISIS DINAMICO

INPUT AND/OR GENERATED JOINT DIAPHRAGM CONNECTIVITY

| LEVEL | 1 | 2 | 3 | 4 | 5 | 6 | 7 | 8 | 9 | 10 | 11 | 12 | 13 | 14 | 15 |
|-------|---|---|---|---|---|---|---|---|---|----|----|----|----|----|----|
|-------|---|---|---|---|---|---|---|---|---|----|----|----|----|----|----|

| | | | | | | | | | | | | | | | |
|--------|---|---|---|---|---|---|---|---|---|---|---|---|---|---|---|
| N24.90 | 0 | 0 | 0 | 0 | 0 | 0 | 0 | 0 | 1 | 0 | 0 | 0 | 0 | 2 | 1 |
| N22.80 | 0 | 0 | 0 | 0 | 0 | 0 | 0 | 0 | 0 | 0 | 0 | 0 | 0 | 0 | 0 |
| N20.00 | 0 | 0 | 0 | 0 | 0 | 0 | 0 | 0 | 0 | 0 | 0 | 0 | 0 | 0 | 0 |
| N17.20 | 0 | 0 | 0 | 0 | 0 | 0 | 0 | 0 | 0 | 0 | 0 | 0 | 0 | 0 | 0 |
| N14.40 | 0 | 0 | 0 | 0 | 0 | 0 | 0 | 0 | 1 | 0 | 0 | 0 | 0 | 2 | 1 |
| N11.60 | 0 | 0 | 0 | 0 | 0 | 0 | 0 | 0 | 0 | 0 | 0 | 0 | 0 | 0 | 0 |
| N8.80 | 0 | 0 | 0 | 0 | 0 | 0 | 0 | 1 | 0 | 0 | 0 | 0 | 0 | 2 | 1 |
| N6.00 | 1 | 1 | 1 | 1 | 1 | 1 | 1 | 1 | 1 | 1 | 1 | 1 | 1 | 1 | 1 |
| N3.20 | 0 | 0 | 0 | 0 | 0 | 0 | 0 | 1 | 1 | 1 | 1 | 1 | 1 | 1 | 1 |

| LEVEL | 16 | 17 | 18 | 19 | 20 | 21 | 22 | 23 | 24 | 25 | 26 | 27 | 28 | 29 | 30 |
|-------|----|----|----|----|----|----|----|----|----|----|----|----|----|----|----|
|-------|----|----|----|----|----|----|----|----|----|----|----|----|----|----|----|

| | | | | | | | | | | | | | | | |
|--------|---|---|---|---|---|---|---|---|---|---|---|---|---|---|---|
| N24.90 | 2 | 1 | 2 | 0 | 0 | 0 | 0 | 0 | 0 | 0 | 0 | 0 | 0 | 0 | 0 |
| N22.80 | 0 | 0 | 0 | 0 | 0 | 0 | 0 | 0 | 0 | 0 | 0 | 0 | 0 | 0 | 0 |
| N20.00 | 0 | 0 | 0 | 0 | 0 | 0 | 0 | 0 | 0 | 0 | 0 | 0 | 0 | 0 | 0 |
| N17.20 | 0 | 0 | 0 | 0 | 0 | 0 | 0 | 0 | 0 | 0 | 0 | 0 | 0 | 0 | 0 |
| N14.40 | 2 | 1 | 2 | 0 | 0 | 0 | 0 | 0 | 0 | 0 | 0 | 0 | 0 | 0 | 0 |
| N11.60 | 0 | 0 | 0 | 0 | 0 | 0 | 0 | 0 | 0 | 0 | 0 | 0 | 0 | 0 | 0 |
| N8.80 | 2 | 1 | 2 | 1 | 0 | 0 | 2 | 1 | 2 | 1 | 0 | 0 | 2 | 0 | 0 |
| N6.00 | 1 | 1 | 1 | 1 | 1 | 1 | 1 | 1 | 1 | 1 | 1 | 1 | 1 | 1 | 1 |
| N3.20 | 1 | 1 | 1 | 1 | 1 | 1 | 1 | 1 | 1 | 1 | 1 | 1 | 1 | 1 | 1 |

INPUT AND/OR GENERATED JOINT SUPPORT TYPES

| LEVEL | 1 | 2 | 3 | 4 | 5 | 6 | 7 | 8 | 9 | 10 | 11 | 12 | 13 | 14 | 15 |
|-------|---|---|---|---|---|---|---|---|---|----|----|----|----|----|----|
|-------|---|---|---|---|---|---|---|---|---|----|----|----|----|----|----|

| | | | | | | | | | | | | | | | |
|-------|---|---|---|---|---|---|---|---|---|---|---|---|---|---|---|
| N3.20 | 1 | 1 | 1 | 1 | 1 | 1 | 1 | 1 | 0 | 0 | 0 | 0 | 0 | 0 | 0 |
|-------|---|---|---|---|---|---|---|---|---|---|---|---|---|---|---|

| LEVEL | 16 | 17 | 18 | 19 | 20 | 21 | 22 | 23 | 24 | 25 | 26 | 27 | 28 | 29 | 30 |
|-------|----|----|----|----|----|----|----|----|----|----|----|----|----|----|----|
|-------|----|----|----|----|----|----|----|----|----|----|----|----|----|----|----|

| | | | | | | | | | | | | | | | |
|-------|---|---|---|---|---|---|---|---|---|---|---|---|---|---|---|
| N3.20 | 0 | 0 | 0 | 0 | 0 | 0 | 0 | 0 | 0 | 0 | 0 | 0 | 0 | 0 | 0 |
|-------|---|---|---|---|---|---|---|---|---|---|---|---|---|---|---|

INPUT AND/OR GENERATED COLUMN PROPERTY TYPES

| LEVEL | 1 | 2 | 3 | 4 | 5 | 6 | 7 | 8 | 9 | 10 | 11 | 12 | 13 | 14 | 15 |
|-------|---|---|---|---|---|---|---|---|---|----|----|----|----|----|----|
|-------|---|---|---|---|---|---|---|---|---|----|----|----|----|----|----|

| | | | | | | | | | | | | | | | |
|--------|---|---|---|---|---|---|---|---|---|---|---|---|---|---|---|
| N24.90 | 0 | 0 | 0 | 0 | 0 | 0 | 0 | 0 | 7 | 0 | 0 | 0 | 0 | 7 | 7 |
| N22.80 | 0 | 0 | 0 | 0 | 0 | 0 | 0 | 0 | 7 | 0 | 0 | 0 | 0 | 7 | 7 |
| N20.00 | 0 | 0 | 0 | 0 | 0 | 0 | 0 | 0 | 6 | 0 | 0 | 0 | 0 | 6 | 6 |
| N17.20 | 0 | 0 | 0 | 0 | 0 | 0 | 0 | 0 | 5 | 0 | 0 | 0 | 0 | 5 | 5 |
| N14.40 | 0 | 0 | 0 | 0 | 0 | 0 | 0 | 0 | 4 | 0 | 0 | 0 | 0 | 4 | 4 |
| N11.60 | 0 | 0 | 0 | 0 | 0 | 0 | 0 | 0 | 3 | 0 | 0 | 0 | 0 | 3 | 3 |
| N8.80 | 0 | 0 | 0 | 0 | 0 | 0 | 0 | 0 | 3 | 0 | 0 | 0 | 0 | 3 | 3 |
| N6.00 | 1 | 1 | 1 | 1 | 1 | 1 | 1 | 1 | 3 | 1 | 1 | 1 | 1 | 3 | 3 |
| N3.20 | 0 | 0 | 0 | 0 | 0 | 0 | 0 | 0 | 3 | 1 | 1 | 1 | 1 | 3 | 3 |

TEATRO LA MEDIA TORTA - ESTRUCTURA ACTUAL

ANALISIS DINAMICO

| LEVEL | 16 | 17 | 18 | 19 | 20 | 21 | 22 | 23 | 24 | 25 | 26 | 27 | 28 | 29 | 30 |
|--------|----|----|----|----|----|----|----|----|----|----|----|----|----|----|----|
| N24.90 | 7 | 7 | 7 | 0 | 0 | 0 | 0 | 0 | 0 | 0 | 0 | 0 | 0 | 0 | 0 |
| N22.80 | 7 | 7 | 7 | 0 | 0 | 0 | 0 | 0 | 0 | 0 | 0 | 0 | 0 | 0 | * |
| N20.00 | 6 | 6 | 6 | 0 | 0 | 0 | 0 | 0 | 0 | 0 | 0 | 0 | 0 | 0 | 0 |
| N17.20 | 5 | 5 | 5 | 0 | 0 | 0 | 0 | 0 | 0 | 0 | 0 | 0 | 0 | 0 | 0 |
| N14.40 | 4 | 4 | 4 | 0 | 0 | 0 | 0 | 0 | 0 | 0 | 0 | 0 | 0 | 0 | 0 |
| N11.60 | 3 | 3 | 3 | 1 | 0 | 0 | 1 | 2 | 2 | 2 | 0 | 0 | 2 | 0 | 0 |
| N8.80 | 3 | 3 | 3 | 1 | 0 | 0 | 1 | 2 | 2 | 2 | 0 | 0 | 2 | 0 | 0 |
| N6.00 | 3 | 3 | 3 | 1 | 1 | 1 | 1 | 2 | 2 | 2 | 1 | 1 | 2 | 0 | 0 |
| N3.20 | 3 | 3 | 3 | 1 | 1 | 1 | 1 | 2 | 2 | 2 | 1 | 1 | 2 | 0 | 0 |

INPUT AND/OR GENERATED COLUMN PINS (MAJOR/MINOR)

DATA FOR THIS OPTION IS ALL 0

INPUT AND/OR GENERATED BEAM PROPERTY TYPES

| LEVEL | 1 | 2 | 3 | 4 | 5 | 6 | 7 | 8 | 9 | 10 | 11 | 12 | 13 | 14 | 15 |
|--------|---|---|---|---|---|---|---|---|---|----|----|----|----|----|----|
| N24.90 | 0 | 0 | 0 | 0 | 0 | 0 | 0 | 0 | 0 | 0 | 0 | 0 | 0 | 0 | 0 |
| N22.80 | 0 | 0 | 0 | 0 | 0 | 0 | 0 | 0 | 0 | 0 | 0 | 0 | 0 | 0 | 0 |
| N20.00 | 0 | 0 | 0 | 0 | 0 | 0 | 0 | 0 | 0 | 0 | 0 | 0 | 0 | 0 | 0 |
| N17.20 | 0 | 0 | 0 | 0 | 0 | 0 | 0 | 0 | 0 | 0 | 0 | 0 | 0 | 0 | 0 |
| N14.40 | 0 | 0 | 0 | 0 | 0 | 0 | 0 | 0 | 0 | 0 | 0 | 0 | 0 | 0 | 0 |
| N11.60 | 0 | 0 | 0 | 0 | 0 | 0 | 0 | 0 | 0 | 0 | 0 | 0 | 0 | 0 | 0 |
| N8.80 | 0 | 0 | 0 | 0 | 0 | 0 | 0 | 0 | 0 | 0 | 0 | 0 | 0 | 0 | 0 |
| N6.00 | 3 | 3 | 3 | 3 | 3 | 3 | 3 | 3 | 3 | 3 | 3 | 7 | 7 | 7 | 7 |
| N3.20 | 3 | 3 | 3 | 3 | 3 | 3 | 2 | 2 | 2 | 2 | 2 | 0 | 0 | 0 | 0 |

| LEVEL | 16 | 17 | 18 | 19 | 20 | 21 | 22 | 23 | 24 | 25 | 26 | 27 | 28 | 29 | 30 |
|--------|----|----|----|----|----|----|----|----|----|----|----|----|----|----|----|
| N24.90 | 0 | 5 | 0 | 0 | 0 | 0 | 0 | 0 | 0 | 0 | 0 | 0 | 0 | 0 | 0 |
| N22.80 | 0 | 4 | 0 | 0 | 0 | 0 | 0 | 0 | 0 | 0 | 0 | 0 | 0 | 0 | 0 |
| N20.00 | 0 | 4 | 0 | 0 | 0 | 0 | 0 | 0 | 0 | 0 | 0 | 0 | 0 | 0 | 0 |
| N17.20 | 0 | 4 | 0 | 0 | 0 | 0 | 0 | 0 | 0 | 0 | 0 | 0 | 0 | 0 | 0 |
| N14.40 | 0 | 5 | 0 | 0 | 0 | 0 | 0 | 0 | 0 | 0 | 0 | 0 | 0 | 0 | 0 |
| N11.60 | 0 | 6 | 0 | 6 | 0 | 0 | 0 | 0 | 0 | 0 | 0 | 0 | 0 | 0 | 6 |
| N8.80 | 0 | 2 | 0 | 1 | 0 | 0 | 0 | 0 | 0 | 0 | 0 | 0 | 0 | 0 | 1 |
| N6.00 | 7 | 2 | 2 | 1 | 1 | 1 | 1 | 1 | 1 | 1 | 1 | 1 | 1 | 1 | 1 |
| N3.20 | 0 | 2 | 0 | 1 | 1 | 0 | 1 | 1 | 0 | 1 | 1 | 1 | 0 | 1 | 0 |

| LEVEL | 31 | 32 | 33 | 34 | 35 | 36 | 37 | 38 | 39 | 40 | 41 | 42 | 43 | 44 | 45 |
|--------|----|----|----|----|----|----|----|----|----|----|----|----|----|----|----|
| N24.90 | 0 | 0 | 5 | 0 | 0 | 5 | 0 | 0 | 0 | 5 | 0 | 0 | 0 | 0 | 5 |
| N22.80 | 0 | 0 | 4 | 0 | 0 | 4 | 0 | 0 | 0 | 4 | 0 | 0 | 0 | 0 | 4 |
| N20.00 | 0 | 0 | 4 | 0 | 0 | 4 | 0 | 0 | 0 | 4 | 0 | 0 | 0 | 0 | 4 |
| N17.20 | 0 | 0 | 4 | 0 | 0 | 4 | 0 | 0 | 0 | 4 | 0 | 0 | 0 | 0 | 4 |
| N14.40 | 0 | 0 | 5 | 0 | 0 | 5 | 0 | 0 | 0 | 5 | 0 | 0 | 0 | 0 | 5 |
| N11.60 | 0 | 0 | 6 | 0 | 0 | 6 | 6 | 6 | 6 | 6 | 6 | 6 | 6 | 6 | 6 |
| N8.80 | 0 | 0 | 2 | 0 | 0 | 2 | 0 | 2 | 2 | 2 | 1 | 1 | 2 | 2 | 2 |
| N6.00 | 1 | 1 | 2 | 2 | 3 | 1 | 0 | 2 | 2 | 2 | 0 | 0 | 2 | 2 | 2 |

TEATRO LA MEDIA TORTA - ESTRUCTURA ACTUAL

ANALISIS DINAMICO

| LEVEL | 31 | 32 | 33 | 34 | 35 | 36 | 37 | 38 | 39 | 40 | 41 | 42 | 43 | 44 | 45 |
|-------|----|----|----|----|----|----|----|----|----|----|----|----|----|----|----|
|-------|----|----|----|----|----|----|----|----|----|----|----|----|----|----|----|

| | | | | | | | | | | | | | | | |
|-------|---|---|---|---|---|---|---|---|---|---|---|---|---|---|---|
| N3.20 | 1 | 0 | 2 | 0 | 0 | 1 | 0 | 2 | 2 | 2 | 0 | 0 | 2 | 2 | 2 |
|-------|---|---|---|---|---|---|---|---|---|---|---|---|---|---|---|

| LEVEL | 46 | 47 | 48 | 49 |
|-------|----|----|----|----|
|-------|----|----|----|----|

| | | | | |
|--------|---|---|---|---|
| N24.90 | 0 | 5 | 0 | 0 |
|--------|---|---|---|---|

| | | | | |
|--------|---|---|---|---|
| N22.80 | 0 | 4 | 0 | 0 |
|--------|---|---|---|---|

| | | | | |
|--------|---|---|---|---|
| N20.00 | 0 | 4 | 0 | 0 |
|--------|---|---|---|---|

| | | | | |
|--------|---|---|---|---|
| N17.20 | 0 | 4 | 0 | 0 |
|--------|---|---|---|---|

| | | | | |
|--------|---|---|---|---|
| N14.40 | 0 | 5 | 0 | 0 |
|--------|---|---|---|---|

| | | | | |
|--------|---|---|---|---|
| N11.60 | 6 | 6 | 0 | 0 |
|--------|---|---|---|---|

| | | | | |
|-------|---|---|---|---|
| N8.80 | 0 | 2 | 0 | 0 |
|-------|---|---|---|---|

| | | | | |
|-------|---|---|---|---|
| N6.00 | 0 | 1 | 3 | 0 |
|-------|---|---|---|---|

| | | | | |
|-------|---|---|---|---|
| N3.20 | 0 | 1 | 0 | 0 |
|-------|---|---|---|---|

INPUT AND/OR GENERATED BEAM PINS (MAJOR/MINOR)

DATA FOR THIS OPTION IS ALL 0

INPUT AND/OR GENERATED BEAM I-END FLEXIBILITY

DATA FOR THIS OPTION IS ALL 0

INPUT AND/OR GENERATED BEAM J-END FLEXIBILITY

DATA FOR THIS OPTION IS ALL 0

INPUT AND/OR GENERATED BRACING DATA

| BRACE ID | LEVEL AT TOP | COLUMN AT BOT | COLUMN AT TOP | PROP ID | PIN END MAJ/MIN | LEVELS DROPPED | BRACE LENGTH |
|-------------|-----------------|------------------|------------------|------------|--------------------|-------------------|-----------------|
| 1 N14.40 | 16 | 18 | 18 | 1 | 0/0 | 1 | 3.74 |
| 3 N17.20 | 16 | 18 | 18 | 1 | 0/0 | 1 | 3.74 |
| 5 N20.00 | 16 | 18 | 18 | 1 | 0/0 | 1 | 3.74 |
| 7 N22.80 | 16 | 18 | 18 | 1 | 0/0 | 1 | 3.74 |
| 9 N24.90 | 15 | 18 | 18 | 1 | 0/0 | 1 | 3.25 |
| 11 N14.40 | 18 | 14 | 14 | 1 | 0/0 | 1 | 4.48 |
| 13 N17.20 | 18 | 14 | 14 | 1 | 0/0 | 1 | 4.48 |
| 15 N20.00 | 18 | 14 | 14 | 1 | 0/0 | 1 | 4.48 |
| 17 N22.80 | 18 | 14 | 14 | 1 | 0/0 | 1 | 4.48 |
| 19 N24.90 | 18 | 14 | 14 | 1 | 0/0 | 1 | 4.08 |
| 21 N14.40 | 16 | 14 | 14 | 1 | 0/0 | 1 | 3.74 |
| 23 N17.20 | 16 | 14 | 14 | 1 | 0/0 | 1 | 3.74 |
| 25 N20.00 | 16 | 14 | 14 | 1 | 0/0 | 1 | 3.74 |
| 27 N22.80 | 16 | 14 | 14 | 1 | 0/0 | 1 | 3.74 |
| 29 N24.90 | 16 | 14 | 14 | 1 | 0/0 | 1 | 3.25 |
| 31 N14.40 | 17 | 9 | 9 | 1 | 0/0 | 1 | 4.48 |
| 33 N17.20 | 17 | 9 | 9 | 1 | 0/0 | 1 | 4.48 |
| 35 N20.00 | 17 | 9 | 9 | 1 | 0/0 | 1 | 4.48 |

TEATRO LA MEDIA TORTA - ESTRUCTURA ACTUAL

ESTRUTURAS EN REDES Y ANÁLISIS DINAMICO

INPUT AND/OR GENERATED BRACING DATA

| BRACE | LEVEL | COLUMN | COLUMN | FPROP | PIN END | LEVELS | BRACE | |
|-------|--------|--------|--------|-------|---------|---------|--------|------|
| ID | AT TOP | AT BOT | AT TOP | ID | MAJ/MIN | DROPPED | LENGTH | |
| 37 | N22.80 | | 17 | 9 | 1 | 0/0 | 1 | 4.48 |
| 39 | N24.90 | | 17 | 9 | 1 | 0/0 | 1 | 4.08 |
| 41 | N14.40 | | 9 | 15 | 1 | 0/0 | 1 | 3.74 |
| 43 | N17.20 | | 9 | 15 | 1 | 0/0 | 1 | 3.74 |
| 45 | N20.00 | | 9 | 15 | 1 | 0/0 | 1 | 3.74 |
| 47 | N22.80 | | 9 | 15 | 1 | 0/0 | 1 | 3.74 |
| 49 | N24.90 | | 9 | 15 | 1 | 0/0 | 1 | 3.25 |
| 51 | N14.40 | | 15 | 17 | 1 | 0/0 | 1 | 3.74 |
| 53 | N17.20 | | 15 | 17 | 1 | 0/0 | 1 | 3.74 |
| 55 | N20.00 | | 15 | 17 | 1 | 0/0 | 1 | 3.74 |
| 57 | N22.80 | | 15 | 17 | 1 | 0/0 | 1 | 3.74 |
| 59 | N24.90 | | 15 | 17 | 1 | 0/0 | 1 | 3.25 |

INPUT AND/OR GENERATED PANEL DATA

| WALL | LEVEL | COLUMN | COLUMN | PROP | PANEL | PANEL |
|------|--------|--------|--------|------|--------|-------|
| ID | AT TOP | AT I | AT J | ID | LENGTH | ID |
| 1 | N3.20 | 9 | 10 | 1 | 4.50 | 1 |
| 1 | N3.20 | 10 | 11 | 1 | 3.50 | 2 |
| 1 | N3.20 | 11 | 12 | 1 | 3.50 | 3 |
| 1 | N3.20 | 12 | 13 | 1 | 3.50 | 4 |
| 1 | N3.20 | 13 | 14 | 1 | 4.50 | 5 |
| 2 | N3.20 | 17 | 9 | 1 | 3.50 | 6 |
| 3 | N3.20 | 18 | 14 | 1 | 3.50 | 7 |
| 4 | N3.20 | 23 | 17 | 1 | 3.89 | 8 |
| 5 | N3.20 | 24 | 18 | 1 | 3.89 | 9 |

GENERATED WALL ASSEMBLAGE DATA

| WALL | STORY | NUMBER OF PANELS | PANEL ID FOR AXIS | WALL-DS | WALL-CG | WALL AREA |
|------|-------|---------------------|----------------------|---------|---------|--------------|
| 10 | N3.20 | 5 | 1 | 9.750 | 8.000 | 4.875 |
| 2 | N3.20 | 1 | 6 | 0.000 | 6.250 | 0.875 |
| 3 | N3.20 | 1 | 7 | 19.500 | 6.250 | 0.875 |
| 4 | N3.20 | 1 | 8 | 1.375 | 3.125 | 0.972 |
| 5 | N3.20 | 1 | 9 | 18.125 | 3.125 | 0.972 |

INPUT AND/OR GENERATED JOINT LOADS ... LOAD CONDITION I

TEATRO LA MEDIA TORTA - ESTRUCTURA ACTUAL

ANALISIS DINAMICO

LEVEL 16 17 18 19 20 21 22 23 24 25 26 27 28 29 - 30

INPUT AND/OR GENERATED JOINT LOADS ... LOAD CONDITION II

-LEVEL 1 2 3 4 5 6 7 8 9 10 11 12 13 14 15

LEVEL 16 17 18 19 20 21 22 23 24 25 26 27 28 29 30

INPUT AND/OR GENERATED JOINT LOADS ... LOAD CONDITION III

DATA FOR THIS OPTION IS ALL 0

INPUT AND/OR GENERATED JOINT LOADS ... LOAD CONDITION A

*DATA FOR THIS OPTION IS ALL 0

INPUT AND/OR GENERATED JOINT LOADS ... LOAD CONDITION B

DATA FOR THIS OPTION IS ALL 0

INPUT AND/OR GENERATED JOINT LOADS ... LOAD CONDITION C

DATA FOR THIS OPTION IS ALL 0

INPUT AND/OR GENERATED BEAM LOADS ... LOAD CONDITION 1

LEVEL 1 2 3 4 5

N\$24.90 : 0 0 0 0 0 0 0 0 0 0 0 0 0 0

NZ\$1.80

TEATRO LA MEDIA TORTA - ESTRUCTURA ACTUAL

ANALISIS DINAMICO

| LEVEL | 1 | 2 | 3 | 4 | 5 | 6 | 7 | 8 | 9 | 10 | 11 | 12 | 13 | 14 | 15 |
|--------|----|----|----|----|----|----|----|----|----|----|----|----|----|----|----|
| N20.00 | 0 | 0 | 0 | 0 | 0 | 0 | 0 | 0 | 0 | 0 | 0 | 0 | 0 | 0 | 0 |
| N17.29 | 0 | 0 | 0 | 0 | 0 | 0 | 0 | 0 | 0 | 0 | 0 | 0 | 0 | 0 | 0 |
| N14.40 | 0 | 0 | 0 | 0 | 0 | 0 | 0 | 0 | 0 | 0 | 0 | 0 | 0 | 0 | 0 |
| N11.60 | 0 | 0 | 0 | 0 | 0 | 0 | 0 | 0 | 0 | 0 | 0 | 0 | 0 | 0 | 0 |
| N8.80 | 0 | 0 | 0 | 0 | 0 | 0 | 0 | 0 | 0 | 0 | 0 | 0 | 0 | 0 | 0 |
| N6.00 | 30 | 30 | 30 | 29 | 28 | 28 | 26 | 24 | 24 | 24 | 26 | 20 | 20 | 20 | 20 |
| N3.20 | 49 | 49 | 49 | 47 | 47 | 47 | 45 | 43 | 43 | 43 | 45 | 0 | 0 | 0 | 0 |

| LEVEL | 16 | 17 | 18 | 19 | 20 | 21 | 22 | 23 | 24 | 25 | 26 | 27 | 28 | 29 | 30 |
|--------|----|----|----|----|----|----|----|----|----|----|----|----|----|----|----|
| N24.90 | 0 | 1 | 0 | 0 | 0 | 0 | 0 | 0 | 0 | 0 | 0 | 0 | 0 | 0 | 0 |
| N22.80 | 0 | 5 | 0 | 0 | 0 | 0 | 0 | 0 | 0 | 0 | 0 | 0 | 0 | 0 | 0 |
| N20.00 | 0 | 5 | 0 | 0 | 0 | 0 | 0 | 0 | 0 | 0 | 0 | 0 | 0 | 0 | 0 |
| N17.20 | 0 | 5 | 0 | 0 | 0 | 0 | 0 | 0 | 0 | 0 | 0 | 0 | 0 | 0 | 0 |
| N14.40 | 0 | 6 | 0 | 0 | 0 | 0 | 0 | 0 | 0 | 0 | 0 | 0 | 0 | 0 | 0 |
| N11.60 | 0 | 5 | 0 | 5 | 0 | 0 | 0 | 0 | 0 | 0 | 0 | 0 | 0 | 0 | 5 |
| N8.80 | 0 | 16 | 0 | 12 | 0 | 0 | 0 | 0 | 0 | 0 | 0 | 0 | 0 | 0 | 12 |
| N5.00 | 20 | 40 | 42 | 18 | 18 | 18 | 18 | 18 | 18 | 18 | 18 | 18 | 18 | 18 | 18 |
| N3.20 | 0 | 57 | 0 | 51 | 51 | 0 | 51 | 51 | 51 | 0 | 51 | 51 | 51 | 0 | 51 |

| LEVEL | 31 | 32 | 33 | 34 | 35 | 36 | 37 | 38 | 39 | 40 | 41 | 42 | 43 | 44 | 45 |
|--------|----|----|----|----|----|----|----|----|----|----|----|----|----|----|----|
| N34.90 | 0 | 0 | 1 | 0 | 0 | 3 | 0 | 0 | 0 | 3 | 0 | 0 | 0 | 0 | 3 |
| N22.80 | 0 | 0 | 5 | 0 | 0 | 5 | 0 | 0 | 0 | 5 | 0 | 0 | 0 | 0 | 5 |
| N20.00 | 0 | 0 | 5 | 0 | 0 | 5 | 0 | 0 | 0 | 5 | 0 | 0 | 0 | 0 | 5 |
| N17.20 | 0 | 0 | 5 | 0 | 0 | 5 | 0 | 0 | 0 | 5 | 0 | 0 | 0 | 0 | 5 |
| N14.40 | 0 | 0 | 6 | 0 | 0 | 7 | 0 | 0 | 0 | 7 | 0 | 0 | 0 | 0 | 7 |
| N11.60 | 0 | 0 | 5 | 0 | 0 | 0 | 0 | 5 | 5 | 5 | 5 | 5 | 5 | 5 | 5 |
| N8.80 | 0 | 0 | 16 | 0 | 0 | 14 | 0 | 10 | 10 | 8 | 12 | 12 | 10 | 10 | 8 |
| N6.00 | 18 | 18 | 40 | 42 | 22 | 38 | 0 | 36 | 34 | 32 | 0 | 0 | 36 | 34 | 32 |
| N3.20 | 51 | 0 | 52 | 0 | 0 | 59 | 0 | 61 | 55 | 53 | 0 | 0 | 61 | 55 | 53 |

| LEVEL | 46 | 47 | 48 | 49 |
|--------|----|----|----|----|
| N24.90 | 0 | 3 | 0 | 0 |
| N22.80 | 0 | 5 | 0 | 0 |
| N20.00 | 0 | 5 | 0 | 0 |
| N17.20 | 0 | 5 | 0 | 0 |
| N14.40 | 0 | 7 | 0 | 0 |
| N11.60 | 0 | 0 | 0 | 0 |
| N8.80 | 0 | 14 | 0 | 0 |
| N6.00 | 0 | 38 | 22 | 0 |
| N3.20 | 0 | 58 | 0 | 0 |

INPUT AND/OR GENERATED BEAM LOADS ... LOAD CONDITION II

ESTRUCTURA MEDIA TORTA - ESTRUCTURA ACTUAL

ANALISIS DINAMICO

| LEVEL | 1 | 2 | 3 | 4 | 5 | 6 | 7 | 8 | 9 | 10 | 11 | 12 | 13 | 14 | 15 |
|-------|----|----|----|----|----|----|----|----|----|----|----|----|----|----|----|
| 17.20 | 0 | 0 | 0 | 0 | 0 | 0 | 0 | 0 | 0 | 0 | 0 | 0 | 0 | 0 | 0 |
| 14.40 | 0 | 0 | 0 | 0 | 0 | 0 | 0 | 0 | 0 | 0 | 0 | 0 | 0 | 0 | 0 |
| 11.60 | 0 | 0 | 0 | 0 | 0 | 0 | 0 | 0 | 0 | 0 | 0 | 0 | 0 | 0 | 0 |
| 8.80 | 0 | 0 | 0 | 0 | 0 | 0 | 0 | 0 | 0 | 0 | 0 | 0 | 0 | 0 | 0 |
| 6.00 | 31 | 31 | 31 | 29 | 29 | 27 | 25 | 25 | 25 | 27 | 21 | 21 | 21 | 21 | 21 |
| 3.20 | 50 | 50 | 50 | 48 | 48 | 46 | 44 | 44 | 44 | 46 | 0 | 0 | 0 | 0 | 0 |
| .. | | | | | | | | | | | | | | | |
| LEVEL | 16 | 17 | 18 | 19 | 20 | 21 | 22 | 23 | 24 | 25 | 26 | 27 | 28 | 29 | 30 |
| 24.90 | 0 | 2 | 0 | 0 | 0 | 0 | 0 | 0 | 0 | 0 | 0 | 0 | 0 | 0 | 0 |
| 22.80 | 0 | 0 | 0 | 0 | 0 | 0 | 0 | 0 | 0 | 0 | 0 | 0 | 0 | 0 | 0 |
| 20.00 | 0 | 0 | 0 | 0 | 0 | 0 | 0 | 0 | 0 | 0 | 0 | 0 | 0 | 0 | 0 |
| 17.20 | 0 | 0 | 0 | 0 | 0 | 0 | 0 | 0 | 0 | 0 | 0 | 0 | 0 | 0 | 0 |
| 14.40 | 0 | 2 | 0 | 0 | 0 | 0 | 0 | 0 | 0 | 0 | 0 | 0 | 0 | 0 | 0 |
| 11.60 | 0 | 0 | 0 | 0 | 0 | 0 | 0 | 0 | 0 | 0 | 0 | 0 | 0 | 0 | 0 |
| 8.80 | 0 | 17 | 0 | 13 | 0 | 0 | 0 | 0 | 0 | 0 | 0 | 0 | 0 | 0 | 13 |
| 6.00 | 21 | 41 | 19 | 19 | 19 | 19 | 19 | 19 | 19 | 19 | 19 | 19 | 19 | 19 | 19 |
| 3.20 | 0 | 58 | 0 | 52 | 52 | 0 | 52 | 52 | 52 | 0 | 52 | 52 | 52 | 0 | 52 |
| .. | | | | | | | | | | | | | | | |
| LEVEL | 31 | 32 | 33 | 34 | 35 | 36 | 37 | 38 | 39 | 40 | 41 | 42 | 43 | 44 | 45 |
| 24.90 | 0 | 0 | 2 | 0 | 0 | 4 | 0 | 0 | 0 | 4 | 0 | 0 | 0 | 0 | 4 |
| 22.80 | 0 | 0 | 0 | 0 | 0 | 0 | 0 | 0 | 0 | 0 | 0 | 0 | 0 | 0 | 0 |
| 20.00 | 0 | 0 | 0 | 0 | 0 | 0 | 0 | 0 | 0 | 0 | 0 | 0 | 0 | 0 | 0 |
| 17.20 | 0 | 0 | 0 | 0 | 0 | 0 | 0 | 0 | 0 | 0 | 0 | 0 | 0 | 0 | 0 |
| 14.40 | 0 | 0 | 2 | 0 | 0 | 4 | 0 | 0 | 0 | 4 | 0 | 0 | 0 | 0 | 4 |
| 11.60 | 0 | 0 | 0 | 0 | 0 | 0 | 0 | 0 | 0 | 0 | 0 | 0 | 0 | 0 | 0 |
| 8.80 | 0 | 0 | 17 | 0 | 0 | 15 | 0 | 11 | 11 | 9 | 13 | 13 | 11 | 11 | 9 |
| 6.00 | 19 | 19 | 41 | 19 | 23 | 39 | 0 | 37 | 35 | 33 | 0 | 0 | 37 | 35 | 33 |
| 3.20 | 52 | 0 | 58 | 0 | 0 | 60 | 0 | 62 | 56 | 54 | 0 | 0 | 62 | 56 | 54 |
| .. | | | | | | | | | | | | | | | |
| LEVEL | 46 | 47 | 48 | 49 | | | | | | | | | | | |
| 24.90 | 0 | 4 | 0 | 0 | | | | | | | | | | | |
| 22.80 | 0 | 0 | 0 | 0 | | | | | | | | | | | |
| 20.00 | 0 | 0 | 0 | 0 | | | | | | | | | | | |
| 17.20 | 0 | 0 | 0 | 0 | | | | | | | | | | | |
| 14.40 | 0 | 4 | 0 | 0 | | | | | | | | | | | |
| 11.60 | 0 | 0 | 0 | 0 | | | | | | | | | | | |
| 8.80 | 0 | 15 | 0 | 0 | | | | | | | | | | | |
| 6.00 | 0 | 39 | 23 | 0 | | | | | | | | | | | |
| 3.20 | 0 | 60 | 0 | 0 | | | | | | | | | | | |

INPUT AND/OR GENERATED BEAM LOADS ... LOAD CONDITION III

DATA FOR THIS OPTION IS ALL 0

TEATRO LA MEDIA TORTA - ESTRUCTURA ACTUAL

ANALISIS DINAMICO

SUMMATION OF FRAME ELEMENT WEIGHTS

| LEVEL | ELEMENT TYPE-----/ | | | | |
|----------|--------------------|-----------|-----------|-----------|-----------|
| ID | COLUMN | BEAM | BRACE | PANEL | FLOOR |
| N24.90 | 945.000 | 2771.909 | 72.671 | 0.000 | 0.000 |
| N22.80 | 2205.000 | 1385.955 | 154.848 | 0.000 | 0.000 |
| N20.00 | 2520.000 | 1385.955 | 164.353 | 0.000 | 0.000 |
| N17.20 | 2520.000 | 1385.955 | 164.353 | 0.000 | 0.000 |
| N14.40 | 2520.000 | 2771.909 | 164.353 | 0.000 | 0.000 |
| N11.60 | 3780.000 | 9524.621 | 82.177 | 0.000 | 0.000 |
| N8.80 | 5040.000 | 7486.440 | 0.000 | 0.000 | 0.000 |
| N6.00 | 8400.000 | 27257.311 | 0.000 | 0.000 | 0.000 |
| N3.20 | 10230.000 | 18274.193 | 0.000 | 29822.012 | 0.000 |
| BASELINE | 4350.000 | 0.000 | 0.000 | 29822.012 | 0.000 |
| TOTALS | 0.425E+05 | 0.722E+05 | 0.803E+03 | 0.596E+05 | 0.000E+00 |

SUMMATION OF FRAME ELEMENT MASSES

| LEVEL | ELEMENT TYPE-----/ | | | | |
|----------|--------------------|-----------|-----------|-----------|-----------|
| ID | COLUMN | BEAM | BRACE | PANEL | FLOOR |
| N24.90 | 0.000 | 0.000 | 7.404 | 0.000 | 0.000 |
| N22.80 | 0.000 | 138.595 | 15.777 | 0.000 | 0.000 |
| N20.00 | 0.000 | 138.595 | 16.746 | 0.000 | 0.000 |
| N17.20 | 0.000 | 138.595 | 16.746 | 0.000 | 0.000 |
| N14.40 | 0.000 | 0.000 | 16.746 | 0.000 | 0.000 |
| N11.60 | 0.000 | 952.462 | 8.373 | 0.000 | 0.000 |
| N8.80 | 0.000 | 0.000 | 0.000 | 0.000 | 0.000 |
| N6.00 | 0.000 | 0.000 | 0.000 | 0.000 | 0.000 |
| N3.20 | 0.000 | 0.000 | 0.000 | 0.000 | 0.000 |
| BASELINE | 0.000 | 0.000 | 0.000 | 0.000 | 0.000 |
| TOTALS | 0.000E+00 | 0.137E+04 | 0.818E+02 | 0.000E+00 | 0.000E+00 |

ESTRUCTURA LA MEDIA TORTA - ESTRUCTURA ACTUAL

ANALISIS DINAMICO

FRAME POSITION DATA

FRAME FRAME /----FRAME ORIENTATION----/ /-----FRAME HEADING-----/

| NUMBER | ID | X-ORD | Y-ORD | ANGLE |
|--------|----|-------|-------|-------|
| 1 | 1 | 0.00 | 0.00 | 0.000 |

PROYECTISTAS CIVILES ASOCIADOS

PAGE 33

PROGRAM:ETABS\FILE:\2666\ACTUAL\TORTADIS.EKO

TEATRO LA MEDIA TORTA - ESTRUCTURA ACTUAL

ANALISIS DINAMICO

RESPONSE SPECTRUM ALONG INPUT ANGLE

RESPONSE SPECTRUM FILE NAME----- SPBG1011

SPECTRUM SCALE FACTOR----- 9.8100

NUMBER OF SPECTRUM CURVES IN FILE----- 1

SPECTRUM ECHO SUPPRESSION FLAG----- 0

TEATRO LA MEDIA TORTA - ESTRUCTURA ACTUAL

ANALISIS DINAMICO

ACCELERATION RESPONSE SPECTRUM DATA (DAMPING VALUE 0.050)

| POINT | PERIOD | ACCELERATION |
|-------|----------|--------------|
| 1 | 0.000000 | 0.220000 |
| 2 | 0.050000 | 0.275000 |
| 3 | 0.100000 | 0.330000 |
| 4 | 0.150000 | 0.385000 |
| 5 | 0.200000 | 0.440000 |
| 6 | 0.250000 | 0.495000 |
| 7 | 0.300000 | 0.550000 |
| 8 | 0.350000 | 0.550000 |
| 9 | 0.400000 | 0.550000 |
| 10 | 0.450000 | 0.550000 |
| 11 | 0.500000 | 0.528000 |
| 12 | 0.550000 | 0.480000 |
| 13 | 0.600000 | 0.440000 |
| 14 | 0.650000 | 0.406000 |
| 15 | 0.700000 | 0.377000 |
| 16 | 0.750000 | 0.352000 |
| 17 | 0.800000 | 0.330000 |
| 18 | 0.850000 | 0.311000 |
| 19 | 0.900000 | 0.293000 |
| 20 | 0.950000 | 0.278000 |
| 21 | 1.000000 | 0.264000 |
| 22 | 1.050000 | 0.251000 |
| 23 | 1.100000 | 0.240000 |
| 24 | 1.150000 | 0.230000 |
| 25 | 1.200000 | 0.220000 |
| 26 | 1.250000 | 0.211000 |
| 27 | 1.300000 | 0.203000 |
| 28 | 1.350000 | 0.196000 |
| 29 | 1.400000 | 0.189000 |
| 30 | 1.450000 | 0.182000 |
| 31 | 1.500000 | 0.176000 |
| 32 | 1.550000 | 0.170000 |
| 33 | 1.600000 | 0.165000 |
| 34 | 1.650000 | 0.160000 |
| 35 | 1.700000 | 0.155000 |
| 36 | 1.750000 | 0.151000 |
| 37 | 1.800000 | 0.147000 |
| 38 | 1.850000 | 0.143000 |
| 39 | 1.900000 | 0.139000 |
| 40 | 1.950000 | 0.135000 |
| 41 | 2.000000 | 0.132000 |
| 42 | 2.050000 | 0.129000 |
| 43 | 2.100000 | 0.126000 |
| 44 | 2.150000 | 0.123000 |
| 45 | 2.200000 | 0.120000 |
| 46 | 2.250000 | 0.117000 |
| 47 | 2.300000 | 0.115000 |
| 48 | 2.350000 | 0.112000 |
| 49 | 2.400000 | 0.110000 |
| 50 | 2.450000 | 0.110000 |

TEATRO LA MEDIA TORTA - ESTRUCTURA ACTUAL

ANALISIS DINAMICO

ACCELERATION RESPONSE SPECTRUM DATA (DAMPING VALUE 0.050)

| POINT | PERIOD | ACCELERATION |
|-------|----------|--------------|
| 51 | 2.500000 | 0.110000 |
| 52 | 2.550000 | 0.110000 |
| 53 | 2.600000 | 0.110000 |
| 54 | 2.650000 | 0.110000 |
| 55 | 2.700000 | 0.110000 |
| 56 | 2.750000 | 0.110000 |
| 57 | 2.800000 | 0.110000 |
| 58 | 2.850000 | 0.110000 |
| 59 | 2.900000 | 0.110000 |
| 60 | 2.950000 | 0.110000 |
| 61 | 3.000000 | 0.110000 |
| 62 | 3.050000 | 0.110000 |
| 63 | 3.100000 | 0.110000 |
| 64 | 3.150000 | 0.110000 |
| 65 | 3.200000 | 0.110000 |
| 66 | 3.250000 | 0.110000 |
| 67 | 3.300000 | 0.110000 |
| 68 | 3.350000 | 0.110000 |
| 69 | 3.400000 | 0.110000 |
| 70 | 3.450000 | 0.110000 |
| 71 | 3.500000 | 0.110000 |
| 72 | 3.550000 | 0.110000 |
| 73 | 3.600000 | 0.110000 |
| 74 | 3.650000 | 0.110000 |
| 75 | 3.700000 | 0.110000 |
| 76 | 3.750000 | 0.110000 |
| 77 | 3.800000 | 0.110000 |
| 78 | 3.850000 | 0.110000 |
| 79 | 3.900000 | 0.110000 |
| 80 | 3.950000 | 0.110000 |
| 81 | 4.000000 | 0.110000 |
| 82 | 4.050000 | 0.110000 |
| 83 | 4.100000 | 0.110000 |
| 84 | 4.150000 | 0.110000 |
| 85 | 4.200000 | 0.110000 |
| 86 | 4.250000 | 0.110000 |
| 87 | 4.300000 | 0.110000 |
| 88 | 4.350000 | 0.110000 |
| 89 | 4.400000 | 0.110000 |
| 90 | 4.450000 | 0.110000 |
| 91 | 4.500000 | 0.110000 |
| 92 | 4.550000 | 0.110000 |
| 93 | 4.600000 | 0.110000 |
| 94 | 4.650000 | 0.110000 |
| 95 | 4.700000 | 0.110000 |
| 96 | 4.750000 | 0.110000 |
| 97 | 4.800000 | 0.110000 |
| 98 | 4.850000 | 0.110000 |
| 99 | 4.900000 | 0.110000 |
| 100 | 4.950000 | 0.110000 |

PROYECTISTAS CIVILES ASOCIADOS

PAGE 36

PROGRAM:ETABS\FILE:\2666\ACTUAL\TORTADIS.EKO

TEATRO LA MEDIA TORTA - ESTRUCTURA ACTUAL

ANALISIS DINAMICO

ACCELERATION RESPONSE SPECTRUM DATA (DAMPING VALUE 0.050)

| POINT | PERIOD | ACCELERATION |
|-------|---------|--------------|
| 101 | 5.00000 | 0.11000 |

PROYECTISTAS CIVILES ASOCIADOS

PAGE 37

PROGRAM:ETABS\FILE:\2666\ACTUAL\TORTADIS.EKO

TEATRO LA MEDIA TORTA - ESTRUCTURA ACTUAL

ANALISIS DINAMICO

RESPONSE SPECTRUM ALONG INPUT ANGLE + 90 DEGREES

RESPONSE SPECTRUM FILE NAME----- SPBG1011

SPECTRUM SCALE FACTOR----- 9.8100

NUMBER OF SPECTRUM CURVES IN FILE----- 1

SPECTRUM ECHO SUPPRESSION FLAG----- 0

TEATRO LA MEDIA TORTA - ESTRUCTURA ACTUAL

ANALISIS DINAMICO

ACCELERATION RESPONSE SPECTRUM DATA (DAMPING VALUE 0.050)

POINT PERIOD ACCELERATION

| | | |
|----|----------|----------|
| 1 | 0.000000 | 0.220000 |
| 2 | 0.050000 | 0.275000 |
| 3 | 0.100000 | 0.330000 |
| 4 | 0.150000 | 0.385000 |
| 5 | 0.200000 | 0.440000 |
| 6 | 0.250000 | 0.495000 |
| 7 | 0.300000 | 0.550000 |
| 8 | 0.350000 | 0.550000 |
| 9 | 0.400000 | 0.550000 |
| 10 | 0.450000 | 0.550000 |
| 11 | 0.500000 | 0.528000 |
| 12 | 0.550000 | 0.480000 |
| 13 | 0.600000 | 0.440000 |
| 14 | 0.650000 | 0.406000 |
| 15 | 0.700000 | 0.377000 |
| 16 | 0.750000 | 0.352000 |
| 17 | 0.800000 | 0.330000 |
| 18 | 0.850000 | 0.311000 |
| 19 | 0.900000 | 0.293000 |
| 20 | 0.950000 | 0.278000 |
| 21 | 1.000000 | 0.264000 |
| 22 | 1.050000 | 0.251000 |
| 23 | 1.100000 | 0.240000 |
| 24 | 1.150000 | 0.230000 |
| 25 | 1.200000 | 0.220000 |
| 26 | 1.250000 | 0.211000 |
| 27 | 1.300000 | 0.203000 |
| 28 | 1.350000 | 0.196000 |
| 29 | 1.400000 | 0.189000 |
| 30 | 1.450000 | 0.182000 |
| 31 | 1.500000 | 0.176000 |
| 32 | 1.550000 | 0.170000 |
| 33 | 1.600000 | 0.165000 |
| 34 | 1.650000 | 0.160000 |
| 35 | 1.700000 | 0.155000 |
| 36 | 1.750000 | 0.151000 |
| 37 | 1.800000 | 0.147000 |
| 38 | 1.850000 | 0.143000 |
| 39 | 1.900000 | 0.139000 |
| 40 | 1.950000 | 0.135000 |
| 41 | 2.000000 | 0.132000 |
| 42 | 2.050000 | 0.129000 |
| 43 | 2.100000 | 0.126000 |
| 44 | 2.150000 | 0.123000 |
| 45 | 2.200000 | 0.120000 |
| 46 | 2.250000 | 0.117000 |
| 47 | 2.300000 | 0.115000 |
| 48 | 2.350000 | 0.112000 |
| 49 | 2.400000 | 0.110000 |
| 50 | 2.450000 | 0.110000 |

TEATRO LA MEDIA TORTA - ESTRUCTURA ACTUAL

ANALISIS DINAMICO

ACCELERATION RESPONSE SPECTRUM DATA (DAMPING VALUE 0.050)

| POINT | PERIOD | ACCELERATION |
|-------|----------|--------------|
| 51 | 2.500000 | 0.110000 |
| 52 | 2.550000 | 0.110000 |
| 53 | 2.600000 | 0.110000 |
| 54 | 2.650000 | 0.110000 |
| 55 | 2.700000 | 0.110000 |
| 56 | 2.750000 | 0.110000 |
| 57 | 2.800000 | 0.110000 |
| 58 | 2.850000 | 0.110000 |
| 59 | 2.900000 | 0.110000 |
| 60 | 2.950000 | 0.110000 |
| 61 | 3.000000 | 0.110000 |
| 62 | 3.050000 | 0.110000 |
| 63 | 3.100000 | 0.110000 |
| 64 | 3.150000 | 0.110000 |
| 65 | 3.200000 | 0.110000 |
| 66 | 3.250000 | 0.110000 |
| 67 | 3.300000 | 0.110000 |
| 68 | 3.350000 | 0.110000 |
| 69 | 3.400000 | 0.110000 |
| 70 | 3.450000 | 0.110000 |
| 71 | 3.500000 | 0.110000 |
| 72 | 3.550000 | 0.110000 |
| 73 | 3.600000 | 0.110000 |
| 74 | 3.650000 | 0.110000 |
| 75 | 3.700000 | 0.110000 |
| 76 | 3.750000 | 0.110000 |
| 77 | 3.800000 | 0.110000 |
| 78 | 3.850000 | 0.110000 |
| 79 | 3.900000 | 0.110000 |
| 80 | 3.950000 | 0.110000 |
| 81 | 4.000000 | 0.110000 |
| 82 | 4.050000 | 0.110000 |
| 83 | 4.100000 | 0.110000 |
| 84 | 4.150000 | 0.110000 |
| 85 | 4.200000 | 0.110000 |
| 86 | 4.250000 | 0.110000 |
| 87 | 4.300000 | 0.110000 |
| 88 | 4.350000 | 0.110000 |
| 89 | 4.400000 | 0.110000 |
| 90 | 4.450000 | 0.110000 |
| 91 | 4.500000 | 0.110000 |
| 92 | 4.550000 | 0.110000 |
| 93 | 4.600000 | 0.110000 |
| 94 | 4.650000 | 0.110000 |
| 95 | 4.700000 | 0.110000 |
| 96 | 4.750000 | 0.110000 |
| 97 | 4.800000 | 0.110000 |
| 98 | 4.850000 | 0.110000 |
| 99 | 4.900000 | 0.110000 |
| 100 | 4.950000 | 0.110000 |

PROYECTISTAS CIVILES ASOCIADOS

PAGE 40

PROGRAM:ETABS\FILE:\2666\ACTUAL\TORTADIS.EKO

TEATRO LA MEDIA TORTA - ESTRUCTURA ACTUAL

ANALISIS DINAMICO

% ACCELERATION RESPONSE SPECTRUM DATA (DAMPING VALUE 0.050)

| POINT | PERIOD | ACCELERATION |
|-------|---------|--------------|
| 101 | 5.00000 | 0.110000 |

TEATRO LA MEDIA TORTA - ESTRUCTURA ACTUAL

ANALISIS DINAMICO

LOAD CASE DEFINITION DATA

| LOAD | LTYPE | I | II | III | A | B | C | D1 | D2 |
|------|-------|-------|-------|-------|-------|-------|-------|--------|--------|
| 1 | 0 | 1.400 | 1.700 | 0.000 | 0.000 | 0.000 | 0.000 | 0.000 | 0.000 |
| 2 | 0 | 1.050 | 1.280 | 0.000 | 0.000 | 0.000 | 0.000 | 0.810 | 0.220 |
| 3 | 0 | 1.050 | 1.280 | 0.000 | 0.000 | 0.000 | 0.000 | 0.810 | -0.220 |
| 4 | 0 | 1.050 | 1.280 | 0.000 | 0.000 | 0.000 | 0.000 | -0.810 | 0.220 |
| 5 | 0 | 1.050 | 1.280 | 0.000 | 0.000 | 0.000 | 0.000 | -0.810 | -0.220 |
| 6 | 0 | 1.050 | 1.280 | 0.000 | 0.000 | 0.000 | 0.000 | 0.240 | 0.730 |
| 7 | 0 | 1.050 | 1.280 | 0.000 | 0.000 | 0.000 | 0.000 | -0.240 | 0.730 |
| 8 | 0 | 1.050 | 1.280 | 0.000 | 0.000 | 0.000 | 0.000 | 0.240 | -0.730 |
| 9 | 0 | 1.050 | 1.280 | 0.000 | 0.000 | 0.000 | 0.000 | -0.240 | -0.730 |
| 10 | 0 | 0.000 | 0.900 | 0.000 | 0.000 | 0.000 | 0.000 | 0.810 | 0.220 |
| 11 | 0 | 0.000 | 0.900 | 0.000 | 0.000 | 0.000 | 0.000 | 0.810 | -0.220 |
| 12 | 0 | 0.000 | 0.900 | 0.000 | 0.000 | 0.000 | 0.000 | -0.810 | 0.220 |
| 13 | 0 | 0.000 | 0.900 | 0.000 | 0.000 | 0.000 | 0.000 | -0.810 | -0.220 |
| 14 | 0 | 0.000 | 0.900 | 0.000 | 0.000 | 0.000 | 0.000 | 0.240 | 0.730 |
| 15 | 0 | 0.000 | 0.900 | 0.000 | 0.000 | 0.000 | 0.000 | -0.240 | 0.730 |
| 16 | 0 | 0.000 | 0.900 | 0.000 | 0.000 | 0.000 | 0.000 | 0.240 | -0.730 |
| 17 | 0 | 0.000 | 0.900 | 0.000 | 0.000 | 0.000 | 0.000 | -0.240 | -0.730 |

FOR DYNAMICS BY THE RESPONSE SPECTRUM METHOD

DYNAMIC 1 . . . SPECTRAL DIRECTION 1

DYNAMIC 2 . . . SPECTRAL DIRECTION 2

FOR DYNAMICS BY THE TIME HISTORY METHOD

DYNAMIC 1 . . . TIME HISTORY MODAL ANALYSIS

DYNAMIC 2 . . . NOT USED



PROYECTISTAS CIVILES ASOCIADOS

TEATRO DE LA MEDIA TORTA

VERIFICACION ESTRUCTURAL
ESTRUCTURAS METALICAS DE CUBIERTA

MEMORIAS DE CALCULO

PROYECTISTAS CIVILES ASOCIADOS
FEBRERO 7 DE 2001



PROYECTISTAS CIVILES ASOCIADOS

CONCLUSIONES Y RECOMENDACIONES

REFORZAMIENTO:

Después de realizar el análisis de la estructura mediante el programa SAP2000, por el método de Esfuerzos Admisibles con base en la geometría y los perfiles y cargas establecidos; se decidió hacer un reforzamiento en varias cerchas.

El reforzamiento consiste en instalar varias diagonales en las cerchas tipo A correspondientes a los ejes 2 y 5 únicamente.

Las diagonales serán ángulos de $1\frac{1}{2} \times 1\frac{1}{2} \times 3/16$ en acero A36, las cuales estarán soldadas exteriormente a las cartelas según se indica en los planos.

RECOMENDACIONES DE PROTECCIÓN

Proyectistas Civiles Asociados recomienda aplicar a la totalidad de la estructura metálica una pintura epoxica, previa limpieza mecánica, para garantizar una protección optima y duradera. Este procedimiento tendrá las siguientes características:

1. Limpieza mecánica bajo el procedimiento SP.
2. Pintura base: Imprimante Epoxiico Fosfato de Zinc - Referencia SIKA 137057 de 3 a 4 mils
3. Pintura de barrera: Pintura Epoxica Gris - Referencia SIKA 233710 de 3 a 4 mils
4. Pintura de acabado: Esmalte Epoxico color blanco - Referencia SIKA serie 33 de 2 mils.

Ademas se recomienda verificar la utilidad de todos los elementos que se encuentran sobre la cubierta tales como equipos, ya que en las inspecciones realizadas se encontró que muchos de ellos no están funcionando desde hace varios años y simplemente están generando cargas muertas innecesarias.





PROYECTISTAS CIVILES ASOCIADOS

EVALUACION DE CARGAS

Obra Cubierta Media fija.

Nº 2666

Fecha

Item Evaluacion de Cargas.

Calculó

Revisó

Cargas Muertas:

| | |
|--------------------|----------------------|
| - Iluminacion | 10 Kg/m ² |
| - Equipos | 15 Kg/m ² |
| - Cubierta eternit | 18 Kg/m ² |
| - Cielo raso | 5 Kg/m ² |
| | <hr/> |
| | 48 Kg/m ² |

Cargas Vivas:

50 Kg /m²

Carga de Viento:

$$C_p = 0.7 + 1 = 1.7 \text{ succión}$$

$$P = 0.73 \times 1.7 \times 35 \text{ Kg/m}^2$$

$$S_q = 0.73$$

$$P = 43.4 \text{ Kg/m}^2$$

$$q = 35 \text{ kg/m}^2$$

$$\text{Ancho aferente} = 2.625 \text{ m}$$

$$W = 43.4 \frac{\text{Kg}}{\text{m}^2} \times 2.625 \text{ m} = 114 \text{ Kg/m}$$



PROYECTISTAS CIVILES ASOCIADOS

ARCHIVO DE ENTRADA

SAP2000 v7.40 File: MEDIA TORTA 02 Ton-m Units PAGE 1
2/7/01 12:54:57

Personal

STATIC LOAD CASES

| STATIC CASE | CASE TYPE | SELF WT FACTOR |
|-------------|-----------|----------------|
| LOAD1 | DEAD | 1.0000 |
| LOAD2 | LIVE | 0.0000 |
| LOAD3 | WIND | 0.0000 |

SAP2000 v7.40 File: MEDIA TORTA 02 Ton-m Units PAGE 2
2/7/01 12:54:57

Personal

JOINT DATA

| JOINT | GLOBAL-X | GLOBAL-Y | GLOBAL-Z | RESTRAINTS | ANGLE-A | ANGLE-B | ANGLE-C |
|-------|----------|----------|----------|------------|---------|---------|---------|
|-------|----------|----------|----------|------------|---------|---------|---------|

| | | | | | | | |
|----|----------|----------|----------|-----------|-------|-------|-------|
| 1 | 15.88084 | 11.81250 | -3.20262 | 0 0 0 0 0 | 0.000 | 0.000 | 0.000 |
| 2 | 15.88084 | 9.18750 | -3.20262 | 0 0 0 0 0 | 0.000 | 0.000 | 0.000 |
| 3 | 15.88084 | 6.56250 | -3.20262 | 0 0 0 0 0 | 0.000 | 0.000 | 0.000 |
| 4 | 15.88084 | 3.93750 | -3.20262 | 0 0 0 0 0 | 0.000 | 0.000 | 0.000 |
| 5 | 15.88084 | 3.93750 | -4.27838 | 0 0 0 0 0 | 0.000 | 0.000 | 0.000 |
| 6 | 15.88084 | 6.46250 | -4.27838 | 0 0 0 0 0 | 0.000 | 0.000 | 0.000 |
| 7 | 15.88084 | 9.18750 | -4.27838 | 0 0 0 0 0 | 0.000 | 0.000 | 0.000 |
| 8 | 15.88084 | 11.81250 | -4.27838 | 0 0 0 0 0 | 0.000 | 0.000 | 0.000 |
| 9 | 9.63084 | 15.75000 | -1.40358 | 1 1 1 0 0 | 0.000 | 0.000 | 0.000 |
| 11 | 7.88084 | 15.75000 | -0.89959 | 0 0 0 0 0 | 0.000 | 0.000 | 0.000 |
| 12 | 7.88084 | 15.75000 | -3.17959 | 0 0 0 0 0 | 0.000 | 0.000 | 0.000 |
| 13 | 6.13084 | 15.75000 | -0.39580 | 0 0 0 0 0 | 0.000 | 0.000 | 0.000 |
| 14 | 6.13084 | 15.75000 | -2.37580 | 0 0 0 0 0 | 0.000 | 0.000 | 0.000 |
| 15 | 4.38084 | 15.75000 | 0.10799 | 0 0 0 0 0 | 0.000 | 0.000 | 0.000 |
| 16 | 4.38084 | 15.75000 | -1.57201 | 0 0 0 0 0 | 0.000 | 0.000 | 0.000 |
| 22 | 3.70084 | 0.00000 | -1.13728 | 0 0 0 0 0 | 0.000 | 0.000 | 0.000 |
| 23 | 3.70084 | 0.00000 | 0.30375 | 0 0 0 0 0 | 0.000 | 0.000 | 0.000 |
| 26 | 3.70084 | 15.75000 | -1.13728 | 0 0 0 0 0 | 0.000 | 0.000 | 0.000 |
| 27 | 3.70084 | 15.75000 | 0.30375 | 0 0 0 0 0 | 0.000 | 0.000 | 0.000 |
| 30 | 9.63084 | 0.00000 | -1.40358 | 1 1 1 0 0 | 0.000 | 0.000 | 0.000 |
| 31 | 9.63084 | 15.75000 | -3.68358 | 1 1 1 0 0 | 0.000 | 0.000 | 0.000 |
| 32 | 7.88084 | 0.00000 | -0.89959 | 0 0 0 0 0 | 0.000 | 0.000 | 0.000 |
| 33 | 7.88084 | 0.00000 | -3.17959 | 0 0 0 0 0 | 0.000 | 0.000 | 0.000 |
| 34 | 6.13084 | 0.00000 | -0.39580 | 0 0 0 0 0 | 0.000 | 0.000 | 0.000 |
| 35 | 6.13084 | 0.00000 | -2.37580 | 0 0 0 0 0 | 0.000 | 0.000 | 0.000 |
| 36 | 4.38084 | 0.00000 | 0.10799 | 0 0 0 0 0 | 0.000 | 0.000 | 0.000 |
| 37 | 4.38084 | 0.00000 | -1.57201 | 0 0 0 0 0 | 0.000 | 0.000 | 0.000 |
| 38 | 9.63084 | 0.00000 | -3.68358 | 1 1 1 0 0 | 0.000 | 0.000 | 0.000 |
| 39 | 1.75584 | 3.93750 | 0.07928 | 0 0 0 0 0 | 0.000 | 0.000 | 0.000 |
| 40 | 1.75584 | 6.56250 | 0.07928 | 0 0 0 0 0 | 0.000 | 0.000 | 0.000 |
| 41 | 1.75584 | 9.18750 | 0.07928 | 0 0 0 0 0 | 0.000 | 0.000 | 0.000 |
| 42 | 1.75584 | 11.81250 | 0.07928 | 0 0 0 0 0 | 0.000 | 0.000 | 0.000 |
| 43 | 3.50584 | 3.93750 | -1.01262 | 0 0 0 0 0 | 0.000 | 0.000 | 0.000 |
| 44 | 3.50584 | 6.56250 | -1.01262 | 0 0 0 0 0 | 0.000 | 0.000 | 0.000 |
| 45 | 3.50584 | 9.18750 | -1.01262 | 0 0 0 0 0 | 0.000 | 0.000 | 0.000 |
| 46 | 3.50584 | 11.81250 | -1.01262 | 0 0 0 0 0 | 0.000 | 0.000 | 0.000 |
| 47 | 15.88084 | 2.62500 | -3.20262 | 0 0 0 0 0 | 0.000 | 0.000 | 0.000 |
| 48 | 15.88084 | 2.62500 | -4.27838 | 1 1 1 0 0 | 0.000 | 0.000 | 0.000 |
| 49 | 14.13084 | 2.62500 | -2.69883 | 0 0 0 0 0 | 0.000 | 0.000 | 0.000 |
| 50 | 14.13084 | 2.62500 | -4.27838 | 1 1 1 0 0 | 0.000 | 0.000 | 0.000 |
| 51 | 12.38084 | 2.62500 | -2.19504 | 0 0 0 0 0 | 0.000 | 0.000 | 0.000 |
| 52 | 12.38084 | 2.62500 | -4.27838 | 1 1 1 0 0 | 0.000 | 0.000 | 0.000 |
| 53 | 11.38084 | 2.62500 | -1.90717 | 0 0 0 0 0 | 0.000 | 0.000 | 0.000 |
| 54 | 11.38084 | 2.62500 | -4.27838 | 0 0 0 0 0 | 0.000 | 0.000 | 0.000 |
| 55 | 9.63084 | 2.62500 | -1.40358 | 0 0 0 0 0 | 0.000 | 0.000 | 0.000 |
| 56 | 9.63084 | 2.62500 | -3.72893 | 0 0 0 0 0 | 0.000 | 0.000 | 0.000 |
| 57 | 7.88084 | 2.62500 | -0.89959 | 0 0 0 0 0 | 0.000 | 0.000 | 0.000 |
| 58 | 7.88084 | 2.62500 | -3.17959 | 0 0 0 0 0 | 0.000 | 0.000 | 0.000 |
| 59 | 6.13084 | 2.62500 | -0.39580 | 0 0 0 0 0 | 0.000 | 0.000 | 0.000 |
| 60 | 6.13084 | 2.62500 | -2.37580 | 0 0 0 0 0 | 0.000 | 0.000 | 0.000 |
| 61 | 4.38084 | 2.62500 | 0.10799 | 0 0 0 0 0 | 0.000 | 0.000 | 0.000 |

| | | | | | | | |
|-----|----------|----------|----------|-----------|-------|-------|-------|
| 62 | 4.38084 | 2.62500 | -1.57201 | 0 0 0 0 0 | 0.000 | 0.000 | 0.000 |
| 63 | 2.63084 | 2.62500 | 0.61178 | 0 0 0 0 0 | 0.000 | 0.000 | 0.000 |
| 64 | 2.63084 | 2.62500 | -0.45322 | 0 0 0 0 0 | 0.000 | 0.000 | 0.000 |
| 65 | 0.88084 | 2.62500 | 1.11557 | 0 0 0 0 0 | 0.000 | 0.000 | 0.000 |
| 66 | 0.88084 | 2.62500 | 0.61178 | 0 0 0 0 0 | 0.000 | 0.000 | 0.000 |
| 67 | 11.91315 | 2.62500 | -3.16939 | 0 0 0 0 0 | 0.000 | 0.000 | 0.000 |
| 68 | 5.25584 | 1.31250 | -1.97391 | 0 0 0 0 0 | 0.000 | 0.000 | 0.000 |
| 69 | 5.25584 | 3.93750 | -1.97391 | 0 0 0 0 0 | 0.000 | 0.000 | 0.000 |
| 70 | 7.00584 | 6.56250 | -2.77769 | 0 0 0 0 0 | 0.000 | 0.000 | 0.000 |
| 71 | 7.00584 | 3.93750 | -2.77769 | 9 0 0 0 0 | 0.000 | 0.000 | 0.000 |
| 72 | 5.25584 | 6.56250 | -1.97391 | 0 0 0 0 0 | 0.000 | 0.000 | 0.000 |
| 73 | 5.25584 | 9.18750 | -1.97391 | 0 0 0 0 0 | 0.000 | 0.000 | 0.000 |
| 74 | 7.88084 | 17.62500 | -0.89959 | 1 0 1 0 0 | 0.000 | 0.000 | 0.000 |
| 75 | 7.88084 | 17.62500 | -3.17959 | 1 1 1 0 0 | 0.000 | 0.000 | 0.000 |
| 76 | 6.13084 | 17.62500 | -0.39580 | 0 0 0 0 0 | 0.000 | 0.000 | 0.000 |
| 77 | 6.13084 | 17.62500 | -2.37580 | 0 0 0 0 0 | 0.000 | 0.000 | 0.000 |
| 78 | 7.00584 | 11.81250 | -2.77769 | 0 0 0 0 0 | 0.000 | 0.000 | 0.000 |
| 79 | 7.00584 | 9.18750 | -2.77769 | 0 0 0 0 0 | 0.000 | 0.000 | 0.000 |
| 80 | 5.25584 | 11.81250 | -1.97391 | 0 0 0 0 0 | 0.000 | 0.000 | 0.000 |
| 81 | 5.25584 | 14.43750 | -1.97391 | 0 0 0 0 0 | 0.000 | 0.000 | 0.000 |
| 82 | 7.00584 | 14.43750 | -2.77769 | 0 0 0 0 0 | 0.000 | 0.000 | 0.000 |
| 83 | 7.00584 | 1.31250 | -2.77769 | 0 0 0 0 0 | 0.000 | 0.000 | 0.000 |
| 84 | 5.60584 | 17.06250 | -2.13466 | 0 0 0 0 0 | 0.000 | 0.000 | 0.000 |
| 85 | 5.60584 | -1.31250 | -2.13466 | 0 0 0 0 0 | 0.000 | 0.000 | 0.000 |
| 86 | 8.75584 | 3.93750 | -3.45429 | 0 0 0 0 0 | 0.010 | 0.000 | 0.000 |
| 87 | 10.50584 | 6.56250 | -4.00368 | 0 0 0 0 0 | 0.000 | 0.000 | 0.000 |
| 88 | 10.50584 | 3.93750 | -4.00368 | 0 0 0 0 0 | 0.000 | 0.000 | 0.000 |
| 89 | 8.75584 | 6.56250 | -3.45429 | 0 0 0 0 0 | 0.000 | 0.000 | 0.000 |
| 90 | 8.75584 | 9.18750 | -3.45429 | 0 0 0 0 0 | 0.000 | 0.000 | 0.000 |
| 91 | 10.50584 | 11.81250 | -4.00368 | 0 0 0 0 0 | 0.000 | 0.000 | 0.000 |
| 92 | 10.50584 | 9.18750 | -4.00368 | 0 0 0 0 0 | 0.000 | 0.000 | 0.000 |
| 93 | 8.75584 | 11.81250 | -3.45429 | 0 0 0 0 0 | 0.000 | 0.000 | 0.000 |
| 94 | 11.88084 | 3.93750 | -4.27838 | 0 0 0 0 0 | 0.000 | 0.000 | 0.000 |
| 95 | 7.88084 | -1.87500 | -0.89959 | 1 1 1 0 0 | 0.000 | 0.000 | 0.000 |
| 96 | 7.88084 | -1.87500 | -3.17959 | 1 1 1 0 0 | 0.000 | 0.000 | 0.000 |
| 97 | 6.13084 | -1.87500 | -0.39580 | 0 0 0 0 0 | 0.000 | 0.000 | 0.000 |
| 98 | 6.13084 | -1.87500 | -2.37580 | 0 0 0 0 0 | 0.000 | 0.000 | 0.000 |
| 99 | 11.88084 | 6.56250 | -4.27838 | 0 0 0 0 0 | 0.000 | 0.000 | 0.000 |
| 100 | 11.88084 | 9.18750 | -4.27838 | 0 0 0 0 0 | 0.000 | 0.000 | 0.000 |
| 101 | 11.88084 | 11.81250 | -4.27838 | 0 0 0 0 0 | 0.000 | 0.000 | 0.000 |
| 102 | 13.25584 | 3.93750 | -4.27838 | 0 0 0 0 0 | 0.000 | 0.000 | 0.000 |
| 103 | 15.00584 | 6.56250 | -4.27838 | 0 0 0 0 0 | 0.000 | 0.000 | 0.000 |
| 104 | 15.00584 | 3.93750 | -4.27838 | 0 0 0 0 0 | 0.000 | 0.000 | 0.000 |
| 105 | 15.25584 | 6.56250 | -4.27838 | 0 0 0 0 0 | 0.000 | 0.000 | 0.000 |
| 106 | 13.25584 | 9.18750 | -4.27838 | 0 0 0 0 0 | 0.000 | 0.000 | 0.000 |
| 107 | 15.00584 | 11.81250 | -4.27838 | 0 0 0 0 0 | 0.000 | 0.000 | 0.000 |
| 108 | 5.38084 | 17.62500 | -2.03132 | 0 0 0 0 0 | 0.000 | 0.000 | 0.000 |
| 109 | 15.00584 | 9.18750 | -4.27838 | 0 0 0 0 0 | 0.000 | 0.000 | 0.000 |
| 110 | 5.38084 | 17.62500 | -0.17989 | 0 0 0 0 0 | 0.000 | 0.000 | 0.000 |
| 111 | 13.25584 | 11.81250 | -4.27838 | 0 0 0 0 0 | 0.000 | 0.030 | 0.000 |
| 112 | 16.88084 | 6.56250 | -4.27838 | 0 0 0 0 0 | 0.000 | 0.000 | 0.000 |
| 113 | 5.38084 | -1.87500 | -2.03132 | 0 0 0 0 0 | 0.000 | 0.000 | 0.000 |
| 114 | 5.38084 | -1.87500 | -0.17989 | 0 0 0 0 0 | 0.000 | 0.000 | 0.000 |
| 115 | 7.88084 | 1.31250 | -0.89959 | 0 0 0 0 0 | 0.000 | 0.000 | 0.000 |
| 116 | 7.88084 | 3.93750 | -0.89959 | 0 0 0 0 0 | 0.000 | 0.000 | 0.000 |
| 117 | 16.88084 | 9.18750 | -4.27838 | 0 0 0 0 0 | 0.000 | 0.000 | 0.000 |
| 118 | 7.88084 | 6.56250 | -0.89959 | 0 0 0 0 0 | 0.000 | 0.000 | 0.000 |
| 119 | 7.88084 | 9.18750 | -0.89959 | 0 0 0 0 0 | 0.000 | 0.000 | 0.000 |
| 120 | 7.88084 | 11.81250 | -0.89959 | 0 0 0 0 0 | 0.000 | 0.000 | 0.000 |
| 121 | 7.88084 | 14.43750 | -0.89959 | 0 0 0 0 0 | 0.000 | 0.000 | 0.000 |
| 275 | 17.88084 | 5.25000 | -3.77838 | 0 0 0 0 0 | 0.000 | 0.000 | 0.000 |
| 276 | 17.88084 | 5.25000 | -4.27838 | 0 0 0 0 0 | 0.060 | 0.000 | 0.000 |
| 277 | 15.88084 | 5.25000 | -3.20262 | 0 0 0 0 0 | 0.000 | 0.000 | 0.000 |
| 278 | 15.88084 | 5.25000 | -4.27838 | 0 0 0 0 0 | 0.000 | 0.000 | 0.000 |
| 279 | 14.13084 | 5.25000 | -2.69883 | 0 0 0 0 0 | 0.000 | 0.000 | 0.000 |
| 280 | 14.13084 | 5.25000 | -4.27838 | 0 0 0 0 0 | 0.000 | 0.000 | 0.000 |
| 281 | 12.38084 | 5.25000 | -2.19504 | 0 0 0 0 0 | 0.000 | 0.000 | 0.000 |
| 282 | 12.38084 | 5.25000 | -4.27838 | 0 0 0 0 0 | 0.000 | 0.000 | 0.000 |
| 283 | 11.38084 | 5.25000 | -1.90717 | 0 0 0 0 0 | 0.000 | 0.000 | 0.000 |
| 284 | 11.38084 | 5.25000 | -4.27838 | 0 0 0 0 0 | 0.000 | 0.000 | 0.000 |
| 285 | 9.63084 | 5.25000 | -1.40338 | 0 0 0 0 0 | 0.000 | 0.000 | 0.000 |
| 286 | 9.63084 | 5.25000 | -3.72898 | 0 0 0 0 0 | 0.000 | 0.000 | 0.000 |
| 287 | 7.88084 | 5.25000 | -0.89959 | 0 0 0 0 0 | 0.000 | 0.000 | 0.000 |
| 288 | 7.88084 | 5.25000 | -3.17959 | 0 0 0 0 0 | 0.000 | 0.000 | 0.000 |
| 289 | 6.13084 | 5.25000 | -0.39580 | 0 0 0 0 0 | 0.000 | 0.000 | 0.000 |
| 290 | 6.13084 | 5.25000 | -2.37580 | 0 0 0 0 0 | 0.000 | 0.000 | 0.000 |
| 291 | 4.38084 | 5.25000 | 0.10799 | 0 0 0 0 0 | 0.000 | 0.000 | 0.000 |
| 292 | 4.38084 | 5.25000 | -1.57201 | 0 0 0 0 0 | 0.000 | 0.000 | 0.000 |
| 293 | 2.63084 | 5.25000 | 0.61178 | 0 0 0 0 0 | 0.000 | 0.000 | 0.000 |

| | | | | | | | |
|-----|----------|----------|----------|-----------|-------|-------|-------|
| 294 | 2.63084 | 5.25000 | -0.45322 | 0 0 0 0 0 | 0.000 | 0.000 | 0.000 |
| 295 | 0.88084 | 5.25000 | 1.11557 | 0 0 0 0 0 | 0.000 | 0.000 | 0.000 |
| 296 | 0.88084 | 5.25000 | 0.61178 | 0 0 0 0 0 | 0.000 | 0.000 | 0.000 |
| 297 | 11.91315 | 5.25000 | -3.16939 | 0 0 0 0 0 | 0.000 | 0.000 | 0.000 |
| 321 | 17.88084 | 7.87500 | -3.77838 | 0 0 0 0 0 | 0.000 | 0.000 | 0.000 |
| 322 | 17.88084 | 7.87500 | -4.27838 | 0 0 0 0 0 | 0.000 | 0.000 | 0.000 |
| 323 | 15.88084 | 7.87500 | -3.20262 | 0 0 0 0 0 | 0.000 | 0.000 | 0.000 |
| 324 | 15.88084 | 7.87500 | -4.27838 | 0 0 0 0 0 | 0.000 | 0.000 | 0.000 |
| 325 | 14.13084 | 7.87500 | -2.69883 | 0 0 0 0 0 | 0.000 | 0.000 | 0.000 |
| 326 | 14.13084 | 7.87500 | -4.27838 | 0 0 0 0 0 | 0.000 | 0.000 | 0.000 |
| 327 | 12.38084 | 7.87500 | -2.19504 | 0 0 0 0 0 | 0.000 | 0.000 | 0.000 |
| 328 | 12.38084 | 7.87500 | -4.27838 | 0 0 0 0 0 | 0.000 | 0.000 | 0.000 |
| 329 | 11.38084 | 7.87500 | -1.90717 | 0 0 0 0 0 | 0.000 | 0.000 | 0.000 |
| 330 | 11.38084 | 7.87500 | -4.27838 | 0 0 0 0 0 | 0.000 | 0.000 | 0.000 |
| 331 | 9.63084 | 7.87500 | -1.40338 | 0 0 0 0 0 | 0.000 | 0.000 | 0.000 |
| 332 | 9.63084 | 7.87500 | -3.72898 | 0 0 0 0 0 | 0.000 | 0.000 | 0.000 |
| 333 | 7.88084 | 7.87500 | -0.89959 | 0 0 0 0 0 | 0.000 | 0.000 | 0.000 |
| 334 | 7.88084 | 7.87500 | -3.17959 | 0 0 0 0 0 | 0.000 | 0.000 | 0.000 |
| 335 | 6.13084 | 7.87500 | -0.39580 | 0 0 0 0 0 | 0.000 | 0.000 | 0.000 |
| 336 | 6.13084 | 7.87500 | -2.37580 | 0 0 0 0 0 | 0.000 | 0.000 | 0.000 |
| 337 | 4.38084 | 7.87500 | 0.10799 | 0 0 0 0 0 | 0.000 | 0.000 | 0.000 |
| 338 | 4.38084 | 7.87500 | -1.57201 | 0 0 0 0 0 | 0.000 | 0.000 | 0.000 |
| 339 | 2.63084 | 7.87500 | 0.61178 | 0 0 0 0 0 | 0.000 | 0.000 | 0.000 |
| 340 | 2.63084 | 7.87500 | -0.45322 | 0 0 0 0 0 | 0.000 | 0.000 | 0.000 |
| 341 | 0.88084 | 7.87500 | 1.11557 | 0 0 0 0 0 | 0.000 | 0.000 | 0.000 |
| 342 | 0.88084 | 7.87500 | 0.61178 | 0 0 0 0 0 | 0.000 | 0.000 | 0.000 |
| 343 | 11.91315 | 7.87500 | -3.16939 | 0 0 0 0 0 | 0.000 | 0.000 | 0.000 |
| 344 | 17.88084 | 10.50000 | -3.77838 | 0 0 0 0 0 | 0.000 | 0.000 | 0.000 |
| 345 | 17.88084 | 10.50000 | -4.27838 | 0 0 0 0 0 | 0.000 | 0.000 | 0.000 |
| 346 | 15.88084 | 10.50000 | -3.20262 | 0 0 0 0 0 | 0.000 | 0.000 | 0.000 |
| 347 | 15.88084 | 10.50000 | -4.27838 | 0 0 0 0 0 | 0.000 | 0.000 | 0.000 |
| 348 | 14.13084 | 10.50000 | -2.69883 | 0 0 0 0 0 | 0.000 | 0.000 | 0.000 |
| 349 | 14.13084 | 10.50000 | -4.27838 | 0 0 0 0 0 | 0.000 | 0.000 | 0.000 |
| 350 | 12.38084 | 10.50000 | -2.19504 | 0 0 0 0 0 | 0.000 | 0.000 | 0.000 |
| 351 | 12.38084 | 10.50000 | -4.27838 | 0 0 0 0 0 | 0.000 | 0.000 | 0.000 |
| 352 | 11.38084 | 10.50000 | -1.90717 | 0 0 0 0 0 | 0.000 | 0.000 | 0.000 |
| 353 | 11.38084 | 10.50000 | -4.27838 | 0 0 0 0 0 | 0.000 | 0.000 | 0.000 |
| 354 | 9.63084 | 10.50000 | -1.40338 | 0 0 0 0 0 | 0.000 | 0.000 | 0.000 |
| 355 | 9.63084 | 10.50000 | -3.72898 | 0 0 0 0 0 | 0.000 | 0.000 | 0.000 |
| 356 | 7.88084 | 10.50000 | -0.89959 | 0 0 0 0 0 | 0.000 | 0.000 | 0.000 |
| 357 | 7.88084 | 10.50000 | -3.17959 | 0 0 0 0 0 | 0.000 | 0.000 | 0.000 |
| 358 | 6.13084 | 10.50000 | -0.39580 | 0 0 0 0 0 | 0.000 | 0.000 | 0.000 |
| 359 | 6.13084 | 10.50000 | -2.37580 | 0 0 0 0 0 | 0.000 | 0.000 | 0.000 |
| 360 | 4.38084 | 10.50000 | 0.10799 | 0 0 0 0 0 | 0.000 | 0.000 | 0.000 |
| 361 | 4.38084 | 10.50000 | -1.57201 | 0 0 0 0 0 | 0.000 | 0.000 | 0.000 |
| 362 | 2.63084 | 10.50000 | 0.61178 | 0 0 0 0 0 | 0.000 | 0.000 | 0.000 |
| 363 | 2.63084 | 10.50000 | -0.45322 | 0 0 0 0 0 | 0.000 | 0.000 | 0.000 |
| 364 | 0.88084 | 10.50000 | 1.11557 | 0 0 0 0 0 | 0.000 | 0.000 | 0.000 |
| 365 | 0.88084 | 10.50000 | 0.61178 | 0 0 0 0 0 | 0.000 | 0.000 | 0.000 |
| 366 | 11.91315 | 10.50000 | -3.16939 | 0 0 0 0 0 | 0.000 | 0.000 | 0.000 |
| 369 | 15.88084 | 13.12500 | -3.20262 | 0 0 0 0 0 | 0.000 | 0.000 | 0.000 |
| 370 | 15.88084 | 13.12500 | -4.27838 | 1 0 1 0 0 | 0.000 | 0.000 | 0.000 |
| 371 | 14.13084 | 13.12500 | -2.69883 | 0 0 0 0 0 | 0.000 | 0.000 | 0.000 |
| 372 | 14.13084 | 13.12500 | -4.27838 | 1 1 1 0 0 | 0.000 | 0.000 | 0.000 |
| 373 | 12.38084 | 13.12500 | -2.19504 | 0 0 0 0 0 | 0.000 | 0.000 | 0.000 |
| 374 | 12.38084 | 13.12500 | -4.27838 | 1 1 1 0 0 | 0.000 | 0.000 | 0.000 |
| 375 | 11.38084 | 13.12500 | -1.90717 | 0 0 0 0 0 | 0.000 | 0.000 | 0.000 |
| 376 | 11.38084 | 13.12500 | -4.27838 | 0 0 0 0 0 | 0.000 | 0.000 | 0.000 |
| 377 | 9.63084 | 13.12500 | -1.40338 | 0 0 0 0 0 | 0.000 | 0.000 | 0.000 |
| 378 | 9.63084 | 13.12500 | -3.72898 | 0 0 0 0 0 | 0.000 | 0.000 | 0.000 |
| 379 | 7.88084 | 13.12500 | -0.89959 | 0 0 0 0 0 | 0.000 | 0.000 | 0.000 |
| 380 | 7.88084 | 13.12500 | -3.17959 | 0 0 0 0 0 | 0.000 | 0.000 | 0.000 |
| 381 | 6.13084 | 13.12500 | -0.39580 | 0 0 0 0 0 | 0.000 | 0.000 | 0.000 |
| 382 | 6.13084 | 13.12500 | -2.37580 | 0 0 0 0 0 | 0.000 | 0.000 | 0.000 |
| 383 | 4.38084 | 13.12500 | 0.10799 | 0 0 0 0 0 | 0.000 | 0.000 | 0.000 |
| 384 | 4.38084 | 13.12500 | -1.57201 | 0 0 0 0 0 | 0.000 | 0.000 | 0.000 |
| 385 | 2.63084 | 13.12500 | 0.61178 | 0 0 0 0 0 | 0.000 | 0.000 | 0.000 |
| 386 | 2.63084 | 13.12500 | -0.45322 | 0 0 0 0 0 | 0.000 | 0.000 | 0.000 |
| 387 | 0.88084 | 13.12500 | 1.11557 | 0 0 0 0 0 | 0.000 | 0.000 | 0.000 |
| 388 | 0.88084 | 13.12500 | 0.61178 | 0 0 0 0 0 | 0.000 | 0.000 | 0.000 |
| 389 | 11.91315 | 13.12500 | -3.16939 | 0 0 0 0 0 | 0.000 | 0.000 | 0.000 |

| FRAME | JNT-1 | JNT-2 | SECTION | ANGLE | RELEASES | SEGMENTS | R1 | R2 | FACTOR | LENGTH |
|-------|-------|-------|---------|--------|----------|----------|-------|-------|--------|--------|
| 1 | 12 | 31 | 2L50X3 | 90.000 | 000033 | 1 | 0.000 | 0.000 | 0.000 | 1.821 |
| 2 | 33 | 38 | 2L50X3 | 90.000 | 000033 | 1 | 0.000 | 0.000 | 0.000 | 1.821 |
| 3 | 22 | 37 | 2L38X3 | 90.000 | 000033 | 1 | 0.000 | 0.000 | 0.000 | 0.807 |
| 4 | 23 | 36 | 2L32X3 | 90.000 | 000000 | 1 | 0.000 | 0.000 | 0.000 | 0.708 |
| 6 | 11 | 12 | 2L50X3 | 90.000 | 000033 | 1 | 0.000 | 0.000 | 0.000 | 2.280 |
| 7 | 13 | 14 | 2L38X3 | 90.000 | 000033 | 1 | 0.000 | 0.000 | 0.000 | 1.980 |
| 8 | 15 | 16 | 2L32X3 | 90.000 | 000033 | 1 | 0.000 | 0.000 | 0.000 | 1.680 |
| 10 | 379 | 378 | 2L32X3 | 90.000 | 000033 | 1 | 0.000 | 0.000 | 0.000 | 3.327 |
| 12 | 23 | 22 | 2L32X3 | 90.000 | 000033 | 1 | 0.000 | 0.000 | 0.000 | 1.441 |
| 13 | 377 | 376 | 2L32X3 | 90.000 | 000033 | 1 | 0.000 | 0.000 | 0.000 | 3.366 |
| 17 | 14 | 12 | 2L50X3 | 90.000 | 000000 | 1 | 0.000 | 0.000 | 0.000 | 1.926 |
| 18 | 26 | 15 | 2L32X3 | 90.000 | 000033 | 1 | 0.000 | 0.000 | 0.000 | 1.419 |
| 19 | 16 | 13 | 2L32X3 | 90.000 | 000033 | 1 | 0.000 | 0.000 | 0.000 | 2.109 |
| 20 | 14 | 11 | 2L32X3 | 90.000 | 000033 | 1 | 0.000 | 0.000 | 0.000 | 2.289 |
| 26 | 13 | 11 | 2L32X3 | 90.000 | 000000 | 1 | 0.000 | 0.000 | 0.000 | 1.821 |
| 28 | 1 | 346 | 2L50X3 | 90.000 | 000030 | 1 | 0.000 | 0.000 | 0.000 | 1.313 |
| 30 | 2 | 323 | 2L50X5 | 90.000 | 000030 | 1 | 0.000 | 0.000 | 0.000 | 1.313 |
| 32 | 3 | 277 | 2L50X3 | 90.000 | 000030 | 1 | 0.000 | 0.000 | 0.000 | 1.313 |
| 34 | 4 | 47 | 2L50X3 | 90.000 | 000030 | 1 | 0.000 | 0.000 | 0.000 | 1.313 |
| 36 | 5 | 278 | 2L38X3 | 90.000 | 000030 | 1 | 0.000 | 0.000 | 0.000 | 1.313 |
| 38 | 6 | 324 | 2L38X3 | 90.000 | 000030 | 1 | 0.000 | 0.000 | 0.000 | 1.313 |
| 40 | 7 | 347 | 2L38X3 | 90.000 | 000030 | 1 | 0.000 | 0.000 | 0.000 | 1.313 |
| 42 | 8 | 370 | 2L38X3 | 90.000 | 000030 | 1 | 0.000 | 0.000 | 0.000 | 1.313 |
| 43 | 370 | 1 | 2L38X3 | 90.000 | 000033 | 1 | 0.000 | 0.000 | 0.000 | 1.697 |
| 44 | 1 | 347 | 2L32X3 | 90.000 | 000033 | 1 | 0.000 | 0.000 | 0.000 | 1.697 |
| 45 | 347 | 2 | 2L38X3 | 90.000 | 000033 | 1 | 0.000 | 0.000 | 0.000 | 1.697 |
| 46 | 32 | 33 | 2L50X5 | 90.000 | 000033 | 1 | 0.000 | 0.000 | 0.000 | 2.280 |
| 47 | 34 | 35 | 2L38X3 | 90.000 | 000033 | 1 | 0.000 | 0.000 | 0.000 | 1.980 |
| 48 | 36 | 37 | 2L32X3 | 90.000 | 000033 | 1 | 0.000 | 0.000 | 0.000 | 1.680 |
| 49 | 66 | 22 | CORREA1 | 90.000 | 000033 | 1 | 0.000 | 0.000 | 0.000 | 4.231 |
| 50 | 22 | 113 | CORREA1 | 90.000 | 000033 | 1 | 0.000 | 0.000 | 0.000 | 2.672 |
| 51 | 2 | 324 | 2L32X3 | 90.000 | 000033 | 1 | 0.000 | 0.000 | 0.000 | 1.697 |
| 52 | 324 | 3 | 2L32X3 | 90.000 | 000033 | 1 | 0.000 | 0.000 | 0.000 | 1.697 |
| 53 | 65 | 23 | CORREA2 | 90.000 | 000033 | 1 | 0.000 | 0.000 | 0.000 | 3.937 |
| 54 | 23 | 114 | CORREA2 | 90.000 | 000033 | 1 | 0.000 | 0.000 | 0.000 | 2.564 |
| 57 | 35 | 33 | 2L50X3 | 90.000 | 000022 | 1 | 0.000 | 0.000 | 0.000 | 1.926 |
| 58 | 22 | 36 | 2L32X3 | 90.000 | 000033 | 1 | 0.000 | 0.000 | 0.000 | 1.419 |
| 59 | 37 | 34 | 2L32X3 | 90.000 | 000033 | 1 | 0.000 | 0.000 | 0.000 | 2.109 |
| 60 | 35 | 32 | 2L32X3 | 90.000 | 000033 | 1 | 0.000 | 0.000 | 0.000 | 2.289 |
| 61 | 3 | 278 | 2L38X3 | 90.000 | 000033 | 1 | 0.000 | 0.000 | 0.000 | 1.697 |
| 62 | 278 | 4 | 2L32X3 | 90.000 | 000033 | 1 | 0.000 | 0.000 | 0.000 | 1.697 |
| 64 | 26 | 16 | 2L38X3 | 90.000 | 000000 | 1 | 0.000 | 0.000 | 0.000 | 0.807 |
| 65 | 36 | 34 | 2L32X3 | 90.000 | 000000 | 1 | 0.000 | 0.000 | 0.000 | 1.821 |
| 67 | 32 | 30 | 2L32X3 | 90.000 | 000022 | 1 | 0.000 | 0.000 | 0.000 | 1.821 |
| 68 | 4 | 48 | 2L38X3 | 90.000 | 000033 | 1 | 0.000 | 0.000 | 0.000 | 1.697 |
| 69 | 1 | 8 | 2L25X3 | 90.000 | 000033 | 1 | 0.000 | 0.000 | 0.000 | 1.076 |
| 70 | 2 | 7 | 2L25X3 | 90.000 | 000033 | 1 | 0.000 | 0.000 | 0.000 | 1.076 |
| 71 | 3 | 6 | 2L25X3 | 90.000 | 000033 | 1 | 0.000 | 0.000 | 0.000 | 1.076 |
| 72 | 4 | 5 | 2L25X3 | 90.000 | 000033 | 1 | 0.000 | 0.000 | 0.000 | 1.076 |
| 73 | 356 | 355 | 2L32X3 | 90.000 | 000033 | 1 | 0.000 | 0.000 | 0.000 | 3.327 |
| 75 | 296 | 342 | CORREA1 | 90.000 | 000000 | 1 | 0.000 | 0.000 | 0.000 | 2.625 |
| 76 | 27 | 15 | 2L32X3 | 90.000 | 000000 | 1 | 0.000 | 0.000 | 0.000 | 0.708 |
| 78 | 363 | 388 | CORREA1 | 90.000 | 000022 | 1 | 0.000 | 0.000 | 0.000 | 2.625 |
| 80 | 27 | 26 | 2L32X3 | 90.000 | 000033 | 1 | 0.000 | 0.000 | 0.000 | 1.441 |
| 82 | 364 | 341 | CORREA2 | 90.000 | 000000 | 1 | 0.000 | 0.000 | 0.000 | 2.625 |
| 84 | 295 | 65 | CORREA2 | 90.000 | 000022 | 1 | 0.000 | 0.000 | 0.000 | 2.625 |
| 85 | 354 | 353 | 2L32X3 | 90.000 | 000033 | 1 | 0.000 | 0.000 | 0.000 | 3.366 |
| 87 | 76 | 77 | 2L50X3 | 90.000 | 000033 | 1 | 0.000 | 0.000 | 0.000 | 1.980 |
| 88 | 22 | 64 | CORREA1 | 90.000 | 000033 | 1 | 0.000 | 0.000 | 0.000 | 2.916 |
| 89 | 47 | 48 | 2L32X3 | 90.000 | 000033 | 1 | 0.000 | 0.000 | 0.000 | 1.076 |
| 90 | 49 | 50 | 2L32X3 | 90.000 | 000033 | 1 | 0.000 | 0.000 | 0.000 | 1.480 |
| 91 | 51 | 52 | 2L50X3 | 90.000 | 000033 | 1 | 0.000 | 0.000 | 0.000 | 2.083 |
| 92 | 53 | 54 | 2L50X3 | 90.000 | 000033 | 1 | 0.000 | 0.000 | 0.000 | 2.371 |
| 93 | 55 | 56 | 2L50X3 | 90.000 | 000033 | 1 | 0.000 | 0.000 | 0.000 | 2.326 |
| 94 | 57 | 58 | 2L50X3 | 90.000 | 000033 | 1 | 0.000 | 0.000 | 0.000 | 2.280 |
| 95 | 59 | 60 | 2L50X3 | 90.000 | 000033 | 1 | 0.000 | 0.000 | 0.000 | 1.980 |
| 96 | 61 | 62 | 2L32X3 | 90.000 | 000023 | 1 | 0.000 | 0.000 | 0.000 | 1.680 |
| 97 | 63 | 64 | 2L32X3 | 90.000 | 000033 | 1 | 0.000 | 0.000 | 0.000 | 1.063 |
| 98 | 65 | 66 | 2L32X3 | 90.000 | 000033 | 1 | 0.000 | 0.000 | 0.000 | 0.504 |
| 99 | 108 | 26 | CORREA1 | 90.000 | 000033 | 1 | 0.000 | 0.000 | 0.000 | 2.672 |
| 101 | 294 | 340 | CORREA1 | 90.000 | 000000 | 1 | 0.000 | 0.000 | 0.000 | 2.625 |
| 102 | 47 | 50 | 2L32X3 | 90.000 | 000033 | 1 | 0.000 | 0.000 | 0.000 | 2.054 |
| 103 | 49 | 52 | 2L50X3 | 90.000 | 000033 | 1 | 0.000 | 0.000 | 0.000 | 2.357 |
| 105 | 363 | 386 | CORREA1 | 90.000 | 000022 | 1 | 0.000 | 0.000 | 0.000 | 2.625 |
| 106 | 63 | 66 | 2L32X3 | 90.000 | 000033 | 1 | 0.000 | 0.000 | 0.000 | 1.750 |
| 107 | 66 | 64 | 2L50X3 | 90.000 | 000033 | 1 | 0.000 | 0.000 | 0.000 | 2.049 |

| | | | | | | | | | | |
|-----|-----|-----|---------|--------|--------|---|-------|-------|-------|-------|
| 108 | 64 | 62 | 2L50X3 | 90.000 | 000033 | 1 | 0.000 | 0.000 | 0.000 | 2.077 |
| 110 | 60 | 58 | 2L50X3 | 90.000 | 000022 | 1 | 0.000 | 0.000 | 0.000 | 1.926 |
| 111 | 386 | 26 | CORREA1 | 90.000 | 000033 | 1 | 0.000 | 0.000 | 0.000 | 2.916 |
| 112 | 64 | 61 | 2L32X3 | 90.000 | 000033 | 1 | 0.000 | 0.000 | 0.000 | 1.838 |
| 113 | 62 | 59 | 2L32X3 | 90.000 | 000033 | 1 | 0.000 | 0.000 | 0.000 | 2.109 |
| 114 | 60 | 57 | 2L32X3 | 90.000 | 000033 | 1 | 0.000 | 0.000 | 0.000 | 2.289 |
| 118 | 63 | 61 | 2L32X3 | 90.000 | 000000 | 1 | 0.000 | 0.000 | 0.000 | 1.821 |
| 120 | 59 | 57 | 2L32X3 | 90.000 | 000000 | 1 | 0.000 | 0.000 | 0.000 | 1.821 |
| 122 | 55 | 53 | 2L32X3 | 90.000 | 000000 | 1 | 0.000 | 0.000 | 0.000 | 1.821 |
| 124 | 51 | 49 | 2L32X3 | 90.000 | 000000 | 1 | 0.000 | 0.000 | 0.000 | 1.821 |
| 126 | 26 | 388 | CORREA1 | 90.000 | 000033 | 1 | 0.000 | 0.000 | 0.000 | 4.231 |
| 127 | 110 | 27 | CORREA2 | 90.000 | 000033 | 1 | 0.000 | 0.000 | 0.000 | 2.564 |
| 129 | 50 | 52 | 2L50X3 | 90.000 | 000000 | 1 | 0.000 | 0.000 | 0.000 | 1.750 |
| 132 | 67 | 54 | 2L32X3 | 90.000 | 000022 | 1 | 0.000 | 0.000 | 0.000 | 1.230 |
| 134 | 67 | 52 | 2L32X3 | 90.000 | 000022 | 1 | 0.000 | 0.000 | 0.000 | 1.204 |
| 136 | 56 | 58 | 2L50X3 | 90.000 | 000000 | 1 | 0.000 | 0.000 | 0.000 | 1.834 |
| 138 | 27 | 387 | CORREA2 | 90.000 | 000033 | 1 | 0.000 | 0.000 | 0.000 | 3.937 |
| 139 | 95 | 30 | 2L32X3 | 90.000 | 000000 | 1 | 0.000 | 0.000 | 0.000 | 2.614 |
| 140 | 77 | 74 | 2L32X3 | 90.000 | 000033 | 1 | 0.000 | 0.000 | 0.000 | 2.289 |
| 141 | 30 | 47 | 2L32X3 | 90.000 | 000033 | 1 | 0.000 | 0.000 | 0.000 | 7.014 |
| 143 | 62 | 292 | CORREA1 | 90.000 | 000000 | 1 | 0.000 | 0.000 | 0.000 | 2.625 |
| 144 | 74 | 9 | CORREA2 | 90.000 | 000033 | 1 | 0.000 | 0.000 | 0.000 | 2.614 |
| 147 | 9 | 369 | CORREA2 | 90.000 | 000033 | 1 | 0.000 | 0.000 | 0.000 | 7.014 |
| 148 | 344 | 369 | CORREA2 | 90.000 | 000033 | 1 | 0.000 | 0.000 | 0.000 | 3.350 |
| 149 | 338 | 361 | CORREA1 | 90.000 | 000000 | 1 | 0.000 | 0.000 | 0.000 | 2.625 |
| 151 | 384 | 16 | CORREA1 | 90.000 | 000022 | 1 | 0.000 | 0.000 | 0.000 | 2.625 |
| 153 | 337 | 360 | CORREA2 | 90.000 | 000000 | 1 | 0.000 | 0.000 | 0.000 | 2.625 |
| 155 | 383 | 15 | CORREA2 | 90.000 | 000022 | 1 | 0.000 | 0.000 | 0.000 | 2.625 |
| 157 | 336 | 359 | CORREA1 | 90.000 | 000000 | 1 | 0.000 | 0.000 | 0.000 | 2.625 |
| 159 | 382 | 14 | CORREA1 | 90.000 | 000000 | 1 | 0.000 | 0.000 | 0.000 | 2.625 |
| 161 | 345 | 370 | CORREA1 | 90.000 | 000033 | 1 | 0.000 | 0.000 | 0.000 | 3.300 |
| 165 | 13 | 76 | CORREA2 | 90.000 | 000033 | 1 | 0.000 | 0.000 | 0.000 | 1.875 |
| 167 | 97 | 98 | 2L50X3 | 90.000 | 000033 | 1 | 0.000 | 0.000 | 0.000 | 1.980 |
| 169 | 61 | 291 | CORREA2 | 90.000 | 000000 | 1 | 0.000 | 0.000 | 0.000 | 2.625 |
| 171 | 68 | 290 | CORREA1 | 90.000 | 000000 | 1 | 0.000 | 0.000 | 0.000 | 2.625 |
| 174 | 16 | 42 | 2L50X3 | 90.000 | 000000 | 1 | 0.000 | 0.000 | 0.000 | 1.926 |
| 176 | 333 | 332 | 2L32X3 | 90.000 | 000033 | 1 | 0.000 | 0.000 | 0.000 | 3.327 |
| 179 | 113 | 97 | 2L32X3 | 90.000 | 000033 | 1 | 0.000 | 0.000 | 0.000 | 1.799 |
| 180 | 98 | 95 | 2L32X3 | 90.000 | 000033 | 1 | 0.000 | 0.000 | 0.000 | 2.289 |
| 181 | 331 | 330 | 2L32X3 | 90.000 | 000033 | 1 | 0.000 | 0.000 | 0.000 | 3.366 |
| 182 | 377 | 9 | CORREA2 | 90.000 | 000033 | 1 | 0.000 | 0.000 | 0.000 | 2.625 |
| 184 | 286 | 332 | CORREA1 | 90.000 | 000000 | 1 | 0.000 | 0.000 | 0.000 | 2.625 |
| 187 | 355 | 378 | CORREA1 | 90.000 | 000022 | 1 | 0.000 | 0.000 | 0.000 | 2.625 |
| 189 | 284 | 350 | CORREA1 | 90.000 | 000000 | 1 | 0.000 | 0.000 | 0.000 | 2.625 |
| 191 | 353 | 376 | CORREA1 | 90.000 | 000022 | 1 | 0.000 | 0.000 | 0.000 | 2.625 |
| 193 | 283 | 329 | CORREA2 | 90.000 | 000000 | 1 | 0.000 | 0.000 | 0.000 | 2.625 |
| 195 | 352 | 375 | CORREA2 | 90.000 | 000022 | 1 | 0.000 | 0.000 | 0.000 | 2.625 |
| 197 | 282 | 328 | CORREA1 | 90.000 | 000000 | 1 | 0.000 | 0.000 | 0.000 | 2.625 |
| 199 | 351 | 374 | CORREA1 | 90.000 | 000022 | 1 | 0.060 | 0.000 | 0.000 | 2.625 |
| 201 | 281 | 327 | CORREA2 | 90.000 | 000000 | 1 | 0.000 | 0.000 | 0.000 | 2.625 |
| 202 | 12 | 9 | 2L38X3 | 90.000 | 000033 | 1 | 0.000 | 0.000 | 0.000 | 2.493 |
| 203 | 33 | 30 | 2L38X3 | 90.000 | 000033 | 1 | 0.000 | 0.000 | 0.000 | 2.493 |
| 205 | 350 | 373 | CORREA2 | 90.000 | 000022 | 1 | 0.000 | 0.000 | 0.000 | 2.625 |
| 207 | 108 | 77 | 2L50X3 | 90.000 | 000011 | 1 | 0.000 | 0.000 | 0.000 | 0.825 |
| 208 | 280 | 326 | CORREA1 | 90.000 | 000000 | 1 | 0.000 | 0.000 | 0.000 | 2.625 |
| 209 | 108 | 76 | 2L32X3 | 90.000 | 000033 | 1 | 0.000 | 0.000 | 0.000 | 1.799 |
| 211 | 110 | 76 | 2L32X3 | 90.000 | 000000 | 1 | 0.000 | 0.000 | 0.000 | 0.780 |
| 212 | 349 | 372 | CORREA1 | 90.000 | 000022 | 1 | 0.000 | 0.000 | 0.000 | 2.625 |
| 213 | 110 | 108 | 2L38X3 | 90.000 | 000033 | 1 | 0.000 | 0.000 | 0.000 | 1.851 |
| 218 | 113 | 98 | 2L50X3 | 90.000 | 000011 | 1 | 0.000 | 0.000 | 0.000 | 0.825 |
| 220 | 114 | 97 | 2L32X3 | 90.000 | 000000 | 1 | 0.000 | 0.000 | 0.000 | 0.780 |
| 221 | 321 | 344 | CORREA2 | 90.000 | 000022 | 1 | 0.000 | 0.000 | 0.000 | 2.625 |
| 222 | 114 | 113 | 2L38X3 | 90.000 | 000033 | 1 | 0.000 | 0.000 | 0.000 | 1.851 |
| 226 | 322 | 345 | CORREA1 | 90.000 | 000022 | 1 | 0.000 | 0.000 | 0.000 | 2.625 |
| 228 | 275 | 47 | CORREA2 | 90.000 | 000033 | 1 | 0.000 | 0.000 | 0.000 | 3.350 |
| 229 | 58 | 288 | 4L63X6 | 90.000 | 000030 | 1 | 0.000 | 0.000 | 0.000 | 2.625 |
| 230 | 276 | 48 | 2L32X3 | 90.000 | 000033 | 1 | 0.000 | 0.000 | 0.000 | 3.300 |
| 234 | 97 | 34 | CORREA2 | 90.000 | 000033 | 1 | 0.000 | 0.000 | 0.000 | 1.875 |
| 235 | 334 | 357 | -4L63X6 | 90.000 | 000050 | 1 | 0.000 | 0.000 | 0.000 | 2.625 |
| 236 | 98 | 35 | CORREA1 | 90.000 | 000011 | 1 | 0.000 | 0.000 | 0.000 | 1.875 |
| 239 | 380 | 12 | 2L63X6 | 90.000 | 000030 | 1 | 0.000 | 0.000 | 0.000 | 2.625 |
| 240 | 369 | 1 | 2L50X3 | 90.000 | 000030 | 1 | 0.000 | 0.000 | 0.000 | 1.313 |
| 242 | 74 | 12 | 2L63X6 | 90.000 | 000033 | 1 | 0.000 | 0.000 | 0.000 | 2.952 |
| 243 | 287 | 286 | 2L32X3 | 90.000 | 000033 | 1 | 0.000 | 0.000 | 0.000 | 3.327 |
| 245 | 285 | 284 | 2L32X3 | 90.000 | 000033 | 1 | 0.000 | 0.000 | 0.000 | 3.366 |
| 248 | 32 | 113 | 2L76X6 | 90.000 | 000030 | 1 | 0.000 | 0.000 | 0.000 | 1.313 |
| 250 | 57 | 116 | 2L76X8 | 90.000 | 000030 | 1 | 0.000 | 0.000 | 0.000 | 1.313 |
| 252 | 287 | 118 | 4L76X6 | 90.000 | 000030 | 1 | 0.000 | 0.000 | 0.000 | 1.313 |
| 258 | 356 | 120 | 4L76X6 | 90.000 | 000030 | 1 | 0.000 | 0.000 | 0.000 | 1.313 |

| | | | | | | | | | | |
|-----|-----|-----|---------|--------|--------|---|-------|-------|-------|-------|
| 261 | 121 | 11 | 2L76X6 | 90.000 | 000030 | 1 | 0.000 | 0.000 | 0.000 | 1.313 |
| 262 | 95 | 33 | 2L63X6 | 90.000 | 000033 | 1 | 0.000 | 0.000 | 0.000 | 2.952 |
| 263 | 33 | 115 | 2L76X6 | 90.000 | 000033 | 1 | 0.000 | 0.000 | 0.000 | 2.631 |
| 264 | 115 | 58 | 2L63X3 | 90.000 | 000033 | 1 | 0.000 | 0.000 | 0.000 | 2.631 |
| 265 | 58 | 116 | 2L63X6 | 90.000 | 000033 | 1 | 0.000 | 0.000 | 0.000 | 2.631 |
| 266 | 116 | 288 | 2L50X3 | 90.000 | 000033 | 1 | 0.000 | 0.000 | 0.000 | 2.631 |
| 267 | 288 | 118 | 2L50X3 | 90.000 | 000033 | 1 | 0.000 | 0.000 | 0.000 | 2.631 |
| 270 | 118 | 334 | 2L50X3 | 90.000 | 000033 | 1 | 0.000 | 0.000 | 0.000 | 2.631 |
| 271 | 334 | 119 | 2L50X3 | 90.000 | 000033 | 1 | 0.000 | 0.000 | 0.000 | 2.631 |
| 272 | 119 | 357 | 2L50X3 | 90.000 | 000033 | 1 | 0.000 | 0.000 | 0.000 | 2.631 |
| 273 | 357 | 120 | 2L50X3 | 90.000 | 000033 | 1 | 0.000 | 0.000 | 0.000 | 2.631 |
| 274 | 120 | 380 | 2L63X6 | 90.000 | 000033 | 1 | 0.000 | 0.000 | 0.000 | 2.631 |
| 275 | 380 | 121 | 2L63X3 | 90.000 | 000033 | 1 | 0.000 | 0.000 | 0.000 | 2.631 |
| 276 | 121 | 12 | 2L76X6 | 90.000 | 000033 | 1 | 0.000 | 0.000 | 0.000 | 2.631 |
| 278 | 57 | 56 | 2L32X3 | 90.000 | 000033 | 1 | 0.000 | 0.000 | 0.000 | 3.327 |
| 280 | 55 | 54 | 2L32X3 | 90.000 | 000033 | 1 | 0.000 | 0.000 | 0.000 | 3.366 |
| 285 | 13 | 13 | 2L32X3 | 90.000 | 000000 | 1 | 0.000 | 0.000 | 0.000 | 1.821 |
| 290 | 11 | 9 | 2L32X3 | 90.000 | 000022 | 1 | 0.000 | 0.000 | 0.000 | 1.821 |
| 293 | 346 | 2 | 2L50X3 | 90.000 | 000030 | 1 | 0.000 | 0.000 | 0.000 | 1.313 |
| 299 | 323 | 3 | 2L50X3 | 90.000 | 000030 | 1 | 0.000 | 0.000 | 0.000 | 1.313 |
| 307 | 277 | 4 | 2L50X3 | 90.000 | 000030 | 1 | 0.000 | 0.000 | 0.000 | 1.313 |
| 309 | 48 | 5 | 2L38X3 | 90.000 | 000030 | 1 | 0.000 | 0.000 | 0.000 | 1.313 |
| 313 | 278 | 6 | 2L38X3 | 90.000 | 000030 | 1 | 0.000 | 0.000 | 0.000 | 1.313 |
| 319 | 324 | 7 | 2L38X3 | 90.000 | 000030 | 1 | 0.000 | 0.000 | 0.000 | 1.313 |
| 327 | 347 | 8 | 2L38X3 | 90.000 | 000030 | 1 | 0.000 | 0.000 | 0.000 | 1.313 |
| 329 | 37 | 35 | 2L50X3 | 90.000 | 000011 | 1 | 0.000 | 0.000 | 0.000 | 1.926 |
| 335 | 34 | 52 | 2L32X3 | 90.000 | 000000 | 1 | 0.000 | 0.000 | 0.000 | 1.821 |
| 337 | 66 | 296 | CORREA1 | 90.000 | 000011 | 1 | 0.000 | 0.000 | 0.000 | 2.625 |
| 341 | 342 | 365 | CORREA1 | 90.000 | 000000 | 1 | 0.000 | 0.000 | 0.000 | 2.625 |
| 345 | 387 | 364 | CORREA2 | 90.000 | 000011 | 1 | 0.000 | 0.000 | 0.000 | 2.625 |
| 349 | 341 | 295 | CORREA2 | 90.000 | 000000 | 1 | 0.000 | 0.000 | 0.000 | 2.625 |
| 351 | 64 | 294 | CORREA1 | 90.000 | 000011 | 1 | 0.000 | 0.000 | 0.000 | 2.625 |
| 355 | 340 | 363 | CORREA1 | 90.000 | 000000 | 1 | 0.000 | 0.000 | 0.000 | 2.625 |
| 357 | 62 | 60 | 2L50X3 | 90.000 | 000011 | 1 | 0.000 | 0.000 | 0.000 | 1.926 |
| 359 | 65 | 62 | 2L32X3 | 90.000 | 000000 | 1 | 0.000 | 0.000 | 0.000 | 1.821 |
| 363 | 61 | 59 | 2L32X3 | 90.000 | 000000 | 1 | 0.000 | 0.000 | 0.000 | 1.821 |
| 372 | 95 | 34 | CVIENTO | 0.000 | 000033 | 1 | 0.000 | 0.000 | 0.000 | 2.614 |
| 373 | 114 | 34 | CVIENTO | 0.000 | 000033 | 1 | 0.000 | 0.000 | 0.000 | 2.031 |
| 375 | 34 | 61 | CVIENTO | 0.000 | 000011 | 1 | 0.000 | 0.000 | 0.000 | 3.195 |
| 377 | 13 | 110 | CVIENTO | 0.000 | 000033 | 1 | 0.000 | 0.000 | 0.000 | 2.031 |
| 378 | 74 | 13 | CVIENTO | 0.000 | 000033 | 1 | 0.000 | 0.000 | 0.000 | 2.614 |
| 379 | 13 | 383 | CVIENTO | 0.000 | 000011 | 1 | 0.000 | 0.000 | 0.000 | 3.195 |
| 384 | 53 | 30 | CVIENTO | 0.000 | 000033 | 1 | 0.000 | 0.000 | 0.000 | 2.195 |
| 386 | 375 | 9 | CVIENTO | 0.000 | 000033 | 1 | 0.000 | 0.000 | 0.000 | 3.195 |
| 392 | 275 | 323 | CVIENTO | 0.000 | 000053 | 1 | 0.000 | 0.000 | 0.000 | 3.350 |
| 393 | 325 | 344 | CVIENTO | 0.000 | 000033 | 1 | 0.000 | 0.000 | 0.000 | 3.350 |
| 406 | 386 | 16 | CVIENTO | 0.000 | 000033 | 1 | 0.000 | 0.000 | 0.000 | 3.347 |
| 411 | 64 | 37 | CVIENTO | 0.000 | 000033 | 1 | 0.000 | 0.000 | 0.000 | 3.347 |
| 489 | 57 | 55 | 2L32X3 | 90.000 | 000000 | 1 | 0.000 | 0.000 | 0.000 | 1.821 |
| 497 | 53 | 51 | 2L32X3 | 90.000 | 000000 | 1 | 0.000 | 0.000 | 0.000 | 1.041 |
| 507 | 49 | 47 | 2L32X3 | 90.000 | 000000 | 1 | 0.000 | 0.000 | 0.000 | 1.821 |
| 508 | 48 | 50 | 2L50X3 | 90.000 | 000011 | 1 | 0.000 | 0.000 | 0.000 | 1.750 |
| 512 | 52 | 54 | 2L50X3 | 90.000 | 000000 | 1 | 0.000 | 0.000 | 0.000 | 1.000 |
| 513 | 51 | 67 | 2L32X3 | 90.000 | 000011 | 1 | 0.000 | 0.000 | 0.000 | 1.081 |
| 515 | 53 | 67 | 2L52X3 | 90.000 | 000011 | 1 | 0.000 | 0.000 | 0.000 | 1.370 |
| 517 | 54 | 56 | 2L50X3 | 90.000 | 000000 | 1 | 0.000 | 0.000 | 0.000 | 1.834 |
| 520 | 77 | 75 | 2L50X3 | 90.000 | 000022 | 1 | 0.000 | 0.000 | 0.000 | 1.926 |
| 521 | 37 | 62 | CORREA1 | 90.000 | 000011 | 1 | 0.000 | 0.000 | 0.000 | 2.625 |
| 525 | 292 | 538 | CORREA1 | 90.000 | 000000 | 1 | 0.000 | 0.000 | 0.000 | 2.625 |
| 528 | 76 | 74 | 2L32X3 | 90.000 | 000000 | 1 | 0.000 | 0.000 | 0.000 | 1.821 |
| 533 | 275 | 276 | 2L32X3 | 90.000 | 000033 | 1 | 0.000 | 0.000 | 0.000 | 0.500 |
| 534 | 277 | 278 | 2L32X3 | 90.000 | 000033 | 1 | 0.000 | 0.000 | 0.000 | 1.076 |
| 535 | 279 | 280 | 2L32X3 | 90.000 | 000033 | 1 | 0.000 | 0.000 | 0.000 | 1.380 |
| 536 | 281 | 282 | 2L30X3 | 90.000 | 000033 | 1 | 0.000 | 0.000 | 0.000 | 2.083 |
| 537 | 283 | 284 | 2L50X3 | 90.000 | 000033 | 1 | 0.000 | 0.000 | 0.000 | 2.371 |
| 538 | 285 | 286 | 2L50X3 | 90.000 | 000033 | 1 | 0.000 | 0.000 | 0.000 | 2.326 |
| 539 | 287 | 288 | 2L50X3 | 90.000 | 000033 | 1 | 0.000 | 0.000 | 0.000 | 2.280 |
| 540 | 289 | 290 | 2L50X3 | 90.000 | 000033 | 1 | 0.000 | 0.000 | 0.000 | 1.980 |
| 541 | 291 | 292 | 2L32X3 | 90.000 | 000033 | 1 | 0.000 | 0.000 | 0.000 | 1.680 |
| 542 | 293 | 294 | 2L32X3 | 90.000 | 000033 | 1 | 0.000 | 0.000 | 0.000 | 1.063 |
| 543 | 295 | 296 | 2L32X3 | 90.000 | 000033 | 1 | 0.000 | 0.000 | 0.000 | 0.504 |
| 544 | 276 | 277 | 2L32X3 | 90.000 | 000033 | 1 | 0.000 | 0.000 | 0.000 | 2.271 |
| 545 | 277 | 280 | 2L32X3 | 90.000 | 000033 | 1 | 0.000 | 0.000 | 0.000 | 2.054 |
| 546 | 279 | 282 | 2L50X3 | 90.000 | 000033 | 1 | 0.000 | 0.000 | 0.000 | 2.357 |
| 547 | 293 | 296 | 2L32X3 | 90.000 | 000033 | 1 | 0.000 | 0.000 | 0.000 | 1.750 |
| 548 | 296 | 294 | 2L50X3 | 90.000 | 000033 | 1 | 0.000 | 0.000 | 0.000 | 2.049 |
| 549 | 294 | 292 | 2L50X3 | 90.000 | 000033 | 1 | 0.000 | 0.000 | 0.000 | 2.077 |
| 551 | 290 | 288 | 2L50X3 | 90.000 | 000022 | 1 | 0.000 | 0.000 | 0.000 | 1.926 |
| 552 | 294 | 291 | 2L32X3 | 90.000 | 000033 | 1 | 0.000 | 0.000 | 0.000 | 1.838 |

| | | | | | | | | | | |
|-----|-----|-----|---------|--------|--------|---|-------|-------|-------|-------|
| 553 | 292 | 289 | 2L32X3 | 90.000 | 000033 | 1 | 0.000 | 0.000 | 0.000 | 2.109 |
| 554 | 290 | 287 | 2L32X3 | 90.000 | 000033 | 1 | 0.000 | 0.000 | 0.000 | 2.289 |
| 555 | 361 | 384 | CORREA1 | 90.000 | 000009 | 1 | 0.000 | 0.000 | 0.000 | 2.625 |
| 558 | 293 | 291 | 2L32X3 | 90.000 | 000000 | 1 | 0.000 | 0.000 | 0.000 | 1.821 |
| 560 | 289 | 287 | 2L32X3 | 90.000 | 000000 | 1 | 0.000 | 0.000 | 0.000 | 1.821 |
| 562 | 285 | 283 | 2L32X3 | 90.000 | 000000 | 1 | 0.000 | 0.000 | 0.000 | 1.821 |
| 564 | 281 | 279 | 2L32X3 | 90.000 | 000000 | 1 | 0.000 | 0.000 | 0.000 | 1.821 |
| 566 | 277 | 275 | 2L32X3 | 90.000 | 000000 | 1 | 0.000 | 0.000 | 0.000 | 2.031 |
| 568 | 278 | 280 | 2L50X3 | 90.000 | 000000 | 1 | 0.000 | 0.000 | 0.000 | 1.750 |
| 570 | 282 | 284 | 2L50X3 | 90.000 | 000022 | 1 | 0.000 | 0.000 | 0.000 | 1.000 |
| 572 | 297 | 284 | 2L32X3 | 90.000 | 000000 | 1 | 0.000 | 0.000 | 0.000 | 1.230 |
| 574 | 297 | 282 | 2L32X3 | 90.000 | 000000 | 1 | 0.000 | 0.000 | 0.000 | 1.204 |
| 576 | 286 | 288 | 2L50X3 | 90.000 | 000022 | 1 | 0.000 | 0.000 | 0.000 | 1.834 |
| 578 | 291 | 337 | CORREA2 | 90.000 | 000000 | 1 | 0.000 | 0.000 | 0.000 | 2.625 |
| 583 | 360 | 383 | CORREA2 | 90.000 | 000000 | 1 | 0.000 | 0.000 | 0.000 | 2.625 |
| 586 | 290 | 336 | CORREA1 | 90.000 | 000000 | 1 | 0.000 | 0.000 | 0.000 | 2.625 |
| 591 | 359 | 382 | CORREA1 | 90.000 | 000000 | 1 | 0.000 | 0.000 | 0.000 | 2.625 |
| 598 | 14 | 77 | CORREA1 | 90.000 | 000022 | 1 | 0.000 | 0.000 | 0.000 | 1.875 |
| 603 | 36 | 61 | CORREA2 | 90.000 | 000011 | 1 | 0.000 | 0.000 | 0.000 | 2.625 |
| 610 | 35 | 60 | CORREA1 | 90.000 | 000000 | 1 | 0.000 | 0.000 | 0.000 | 2.625 |
| 620 | 98 | 96 | 2L50X3 | 90.000 | 000022 | 1 | 0.000 | 0.000 | 0.000 | 1.926 |
| 621 | 321 | 322 | 2L32X3 | 90.000 | 000033 | 1 | 0.000 | 0.000 | 0.000 | 0.500 |
| 622 | 323 | 324 | 2L32X3 | 90.000 | 000033 | 1 | 0.000 | 0.000 | 0.000 | 1.076 |
| 623 | 325 | 326 | 2L32X3 | 90.000 | 000033 | 1 | 0.000 | 0.000 | 0.000 | 1.580 |
| 624 | 327 | 328 | 2L50X3 | 90.000 | 000033 | 1 | 0.000 | 0.000 | 0.000 | 2.083 |
| 625 | 329 | 330 | 2L50X3 | 90.000 | 000033 | 1 | 0.000 | 0.000 | 0.000 | 2.371 |
| 626 | 331 | 332 | 2L50X3 | 90.000 | 000033 | 1 | 0.000 | 0.000 | 0.000 | 2.326 |
| 627 | 333 | 334 | 2L50X3 | 90.000 | 000033 | 1 | 0.000 | 0.000 | 0.000 | 2.280 |
| 628 | 335 | 336 | 2L50X3 | 90.000 | 000033 | 1 | 0.000 | 0.000 | 0.000 | 1.980 |
| 629 | 337 | 338 | 2L32X3 | 90.000 | 000033 | 1 | 0.000 | 0.000 | 0.000 | 1.680 |
| 630 | 339 | 340 | 2L32X3 | 90.000 | 000033 | 1 | 0.000 | 0.000 | 0.000 | 1.065 |
| 631 | 341 | 342 | 2L32X3 | 90.000 | 000033 | 1 | 0.000 | 0.000 | 0.000 | 0.504 |
| 632 | 323 | 323 | 2L32X3 | 90.000 | 000033 | 1 | 0.000 | 0.000 | 0.000 | 2.271 |
| 633 | 323 | 326 | 2L32X3 | 90.000 | 000033 | 1 | 0.000 | 0.000 | 0.000 | 2.054 |
| 634 | 325 | 328 | 2L50X3 | 90.000 | 000033 | 1 | 0.000 | 0.000 | 0.000 | 2.357 |
| 635 | 339 | 342 | 2L32X3 | 90.000 | 000033 | 1 | 0.000 | 0.000 | 0.000 | 1.750 |
| 636 | 342 | 340 | 2L50X3 | 90.000 | 000033 | 1 | 0.000 | 0.000 | 0.000 | 2.049 |
| 637 | 340 | 338 | 2L50X3 | 90.000 | 000033 | 1 | 0.000 | 0.000 | 0.000 | 2.077 |
| 639 | 336 | 334 | 2L50X3 | 90.000 | 000022 | 1 | 0.000 | 0.000 | 0.000 | 1.926 |
| 640 | 340 | 337 | 2L32X3 | 90.000 | 000033 | 1 | 0.000 | 0.000 | 0.000 | 1.838 |
| 641 | 328 | 335 | 2L32X3 | 90.000 | 000033 | 1 | 0.000 | 0.000 | 0.000 | 2.109 |
| 642 | 336 | 323 | 2L32X3 | 90.000 | 000033 | 1 | 0.000 | 0.000 | 0.000 | 2.289 |
| 646 | 339 | 337 | 2L32X3 | 90.000 | 000000 | 1 | 0.000 | 0.000 | 0.000 | 1.821 |
| 648 | 335 | 333 | 2L32X3 | 90.000 | 000000 | 1 | 0.000 | 0.000 | 0.000 | 1.821 |
| 650 | 331 | 329 | 2L32X3 | 90.000 | 000000 | 1 | 0.000 | 0.000 | 0.000 | 1.821 |
| 652 | 327 | 325 | 2L32X3 | 90.000 | 000000 | 1 | 0.000 | 0.000 | 0.000 | 1.821 |
| 654 | 323 | 321 | 2L32X3 | 90.000 | 000000 | 1 | 0.000 | 0.000 | 0.000 | 2.081 |
| 656 | 324 | 326 | 2L50X3 | 90.000 | 000000 | 1 | 0.000 | 0.000 | 0.000 | 1.750 |
| 658 | 328 | 330 | 2L50X3 | 90.000 | 000022 | 1 | 0.000 | 0.000 | 0.000 | 1.000 |
| 660 | 343 | 330 | 2L32X3 | 90.000 | 000000 | 1 | 0.000 | 0.000 | 0.000 | 1.230 |
| 662 | 343 | 328 | 2L32X3 | 90.000 | 000000 | 1 | 0.000 | 0.000 | 0.000 | 1.204 |
| 664 | 332 | 334 | 2L50X3 | 90.000 | 000022 | 1 | 0.000 | 0.000 | 0.000 | 1.834 |
| 665 | 344 | 345 | 2L32X3 | 90.000 | 000033 | 1 | 0.000 | 0.000 | 0.000 | 0.500 |
| 666 | 346 | 347 | 2L32X3 | 90.000 | 000033 | 1 | 0.000 | 0.000 | 0.000 | 1.076 |
| 667 | 348 | 349 | 2L32X3 | 90.000 | 000033 | 1 | 0.000 | 0.000 | 0.000 | 1.580 |
| 668 | 350 | 351 | 2L50X3 | 90.000 | 000033 | 1 | 0.000 | 0.000 | 0.000 | 2.083 |
| 669 | 352 | 353 | 2L50X3 | 90.000 | 000033 | 1 | 0.000 | 0.000 | 0.000 | 2.371 |
| 670 | 354 | 345 | 2L50X3 | 90.000 | 000033 | 1 | 0.000 | 0.000 | 0.000 | 2.326 |
| 671 | 356 | 357 | 2L50X3 | 90.000 | 000033 | 1 | 0.000 | 0.000 | 0.000 | 2.280 |
| 672 | 358 | 359 | 2L50X3 | 90.000 | 000033 | 1 | 0.000 | 0.000 | 0.000 | 1.980 |
| 673 | 360 | 361 | 2L32X3 | 90.000 | 000033 | 1 | 0.000 | 0.000 | 0.000 | 1.680 |
| 674 | 362 | 363 | 2L32X3 | 90.000 | 000033 | 1 | 0.000 | 0.000 | 0.000 | 1.065 |
| 675 | 364 | 365 | 2L32X3 | 90.000 | 000033 | 1 | 0.000 | 0.000 | 0.000 | 0.504 |
| 676 | 345 | 346 | 2L32X3 | 90.000 | 000033 | 1 | 0.000 | 0.000 | 0.000 | 2.271 |
| 677 | 346 | 349 | 2L32X3 | 90.000 | 000033 | 1 | 0.000 | 0.000 | 0.000 | 2.054 |
| 678 | 348 | 351 | 2L50X3 | 90.000 | 000033 | 1 | 0.000 | 0.000 | 0.000 | 2.357 |
| 679 | 362 | 365 | 2L32X3 | 90.000 | 000033 | 1 | 0.000 | 0.000 | 0.000 | 1.750 |
| 680 | 363 | 363 | 2L50X3 | 90.000 | 000033 | 1 | 0.000 | 0.000 | 0.000 | 2.049 |
| 681 | 363 | 361 | 2L50X3 | 90.000 | 000033 | 1 | 0.000 | 0.000 | 0.000 | 2.077 |
| 683 | 359 | 357 | 2L50X3 | 90.000 | 000022 | 1 | 0.000 | 0.000 | 0.009 | 1.926 |
| 684 | 363 | 360 | 2L32X3 | 90.000 | 000033 | 1 | 0.000 | 0.000 | 0.000 | 1.838 |
| 685 | 361 | 358 | 2L32X3 | 90.000 | 000033 | 1 | 0.000 | 0.000 | 0.000 | 2.109 |
| 686 | 359 | 366 | 2L32X3 | 90.000 | 000033 | 1 | 0.000 | 0.000 | 0.000 | 2.289 |
| 687 | 36 | 386 | CORREA1 | 90.000 | 000011 | 1 | 0.000 | 0.000 | 0.000 | 2.625 |
| 690 | 362 | 360 | 2L32X3 | 90.000 | 000000 | 1 | 0.000 | 0.000 | 0.000 | 1.821 |
| 692 | 358 | 356 | 2L32X3 | 90.000 | 000000 | 1 | 0.000 | 0.000 | 0.000 | 1.821 |
| 694 | 354 | 352 | 2L50X3 | 90.000 | 000000 | 1 | 0.000 | 0.000 | 0.000 | 1.821 |
| 696 | 350 | 348 | 2L32X3 | 90.000 | 000000 | 1 | 0.000 | 0.000 | 0.000 | 1.821 |
| 698 | 346 | 344 | 2L32X3 | 90.000 | 000000 | 1 | 0.000 | 0.000 | 0.000 | 2.081 |

| | | | | | | | | | | |
|-----|-----|-----|---------|--------|--------|---|-------|-------|-------|-------|
| 700 | 347 | 349 | 2L50X3 | 90.000 | 000000 | 1 | 0.000 | 0.000 | 0.000 | 1.750 |
| 702 | 351 | 353 | 2L50X3 | 90.000 | 000022 | 1 | 0.000 | 0.000 | 0.000 | 1.000 |
| 704 | 366 | 353 | 2L32X3 | 90.000 | 000000 | 1 | 0.000 | 0.000 | 0.000 | 1.230 |
| 706 | 366 | 351 | 2L32X3 | 90.000 | 000000 | 1 | 0.000 | 0.000 | 0.000 | 1.204 |
| 708 | 355 | 357 | 2L50X3 | 90.000 | 000022 | 1 | 0.000 | 0.000 | 0.000 | 1.834 |
| 710 | 369 | 370 | 2L32X3 | 90.000 | 000033 | 1 | 0.000 | 0.000 | 0.000 | 1.076 |
| 711 | 371 | 372 | 2L38X3 | 90.000 | 000033 | 1 | 0.000 | 0.000 | 0.000 | 1.580 |
| 712 | 373 | 374 | 2L50X3 | 90.000 | 000033 | 1 | 0.000 | 0.000 | 0.000 | 2.083 |
| 713 | 375 | 376 | 2L50X3 | 90.000 | 000033 | 1 | 0.000 | 0.000 | 0.000 | 2.371 |
| 714 | 377 | 378 | 2L50X3 | 90.000 | 000033 | 1 | 0.000 | 0.000 | 0.000 | 2.326 |
| 715 | 379 | 380 | 2L50X3 | 90.000 | 000033 | 1 | 0.000 | 0.000 | 0.000 | 2.280 |
| 716 | 381 | 382 | 2L50X3 | 90.000 | 000033 | 1 | 0.000 | 0.000 | 0.000 | 1.980 |
| 717 | 383 | 384 | 2L38X3 | 90.000 | 000033 | 1 | 0.000 | 0.000 | 0.000 | 1.680 |
| 718 | 385 | 386 | 2L32X3 | 90.000 | 000033 | 1 | 0.000 | 0.000 | 0.000 | 1.065 |
| 719 | 387 | 388 | 2L32X3 | 90.000 | 000033 | 1 | 0.000 | 0.000 | 0.000 | 0.504 |
| 721 | 369 | 372 | 2L32X3 | 90.000 | 000033 | 1 | 0.000 | 0.000 | 0.000 | 2.054 |
| 722 | 371 | 374 | 2L50X3 | 90.000 | 000033 | 1 | 0.000 | 0.000 | 0.000 | 2.357 |
| 723 | 385 | 388 | 2L32X3 | 90.000 | 000033 | 1 | 0.000 | 0.000 | 0.000 | 1.750 |
| 724 | 388 | 386 | 2L50X3 | 90.000 | 000033 | 1 | 0.000 | 0.000 | 0.000 | 2.049 |
| 725 | 386 | 384 | 2L50X3 | 90.000 | 000033 | 1 | 0.000 | 0.000 | 0.000 | 2.077 |
| 727 | 382 | 380 | 2L50X3 | 90.000 | 000022 | 1 | 0.000 | 0.000 | 0.000 | 1.926 |
| 728 | 386 | 383 | 2L32X3 | 90.000 | 000033 | 1 | 0.000 | 0.000 | 0.000 | 1.838 |
| 729 | 384 | 381 | 2L32X3 | 90.000 | 000033 | 1 | 0.000 | 0.000 | 0.000 | 2.109 |
| 730 | 382 | 379 | 2L32X3 | 90.000 | 000033 | 1 | 0.000 | 0.000 | 0.000 | 2.289 |
| 731 | 332 | 355 | CORREA1 | 90.000 | 000000 | 1 | 0.000 | 0.000 | 0.000 | 2.625 |
| 734 | 385 | 383 | 2L32X3 | 90.000 | 000000 | 1 | 0.000 | 0.000 | 0.000 | 1.821 |
| 736 | 381 | 379 | 2L32X3 | 90.000 | 000000 | 1 | 0.000 | 0.000 | 0.000 | 1.821 |
| 738 | 377 | 375 | 2L32X3 | 90.000 | 000000 | 1 | 0.000 | 0.000 | 0.000 | 1.821 |
| 740 | 373 | 371 | 2L32X3 | 90.000 | 000000 | 1 | 0.000 | 0.000 | 0.000 | 1.821 |
| 743 | 97 | 95 | 2L32X3 | 90.000 | 000000 | 1 | 0.000 | 0.000 | 0.000 | 1.821 |
| 745 | 372 | 374 | 2L50X3 | 90.000 | 000000 | 1 | 0.000 | 0.000 | 0.000 | 1.750 |
| 748 | 389 | 376 | 2L32X3 | 90.000 | 000022 | 1 | 0.000 | 0.000 | 0.000 | 1.230 |
| 750 | 389 | 374 | 2L32X3 | 90.000 | 000022 | 1 | 0.000 | 0.000 | 0.000 | 1.204 |
| 752 | 378 | 380 | 2L50X3 | 90.000 | 000022 | 1 | 0.000 | 0.000 | 0.000 | 1.834 |
| 753 | 54 | 284 | CORREA1 | 90.000 | 000011 | 1 | 0.000 | 0.000 | 0.000 | 2.625 |
| 757 | 330 | 353 | CORREA1 | 90.000 | 000000 | 1 | 0.000 | 0.000 | 0.000 | 2.625 |
| 759 | 53 | 282 | CORREA2 | 90.000 | 000011 | 1 | 0.000 | 0.000 | 0.000 | 2.625 |
| 763 | 329 | 352 | CORREA2 | 90.000 | 000006 | 1 | 0.000 | 0.000 | 0.000 | 2.625 |
| 765 | 52 | 282 | CORREA1 | 90.000 | 000011 | 1 | 0.000 | 0.000 | 0.000 | 2.625 |
| 769 | 328 | 351 | CORREA1 | 90.000 | 000000 | 1 | 0.000 | 0.000 | 0.000 | 2.625 |
| 771 | 51 | 281 | CORREA2 | 90.000 | 000011 | 1 | 0.000 | 0.000 | 0.000 | 2.625 |
| 775 | 327 | 350 | CORREA2 | 90.000 | 000000 | 1 | 0.000 | 0.000 | 0.000 | 2.625 |
| 777 | 50 | 280 | CORREA1 | 90.000 | 000011 | 1 | 0.000 | 0.000 | 0.000 | 2.625 |
| 781 | 326 | 349 | CORREA1 | 90.000 | 000000 | 1 | 0.000 | 0.000 | 0.000 | 2.625 |
| 787 | 275 | 321 | CORREA2 | 90.000 | 000011 | 1 | 0.000 | 0.000 | 0.000 | 2.625 |
| 789 | 276 | 322 | CORREA1 | 90.000 | 000011 | 1 | 0.000 | 0.000 | 0.000 | 2.625 |
| 791 | 95 | 32 | 2L76X6 | 90.000 | 000030 | 1 | 0.000 | 0.000 | 0.000 | 1.875 |
| 793 | 33 | 58 | 2L63X6 | 90.000 | 000030 | 1 | 0.000 | 0.000 | 0.000 | 2.625 |
| 797 | 288 | 334 | 4L63X6 | 90.000 | 000030 | 1 | 0.000 | 0.000 | 0.000 | 2.625 |
| 803 | 357 | 380 | 4L63X6 | 90.000 | 000030 | 1 | 0.000 | 0.000 | 0.000 | 2.625 |
| 808 | 11 | 74 | 2L76X6 | 90.000 | 000030 | 1 | 0.000 | 0.000 | 0.000 | 1.875 |
| 815 | 115 | 57 | 2L76X8 | 90.000 | 000030 | 1 | 0.000 | 0.000 | 0.000 | 1.513 |
| 821 | 116 | 287 | 4L76X6 | 90.000 | 000030 | 1 | 0.000 | 0.000 | 0.000 | 1.513 |
| 831 | 118 | 333 | 4L76X6 | 90.000 | 000030 | 1 | 0.000 | 0.000 | 0.000 | 1.513 |
| 842 | 333 | 119 | 4L76X6 | 90.000 | 000030 | 1 | 0.000 | 0.000 | 0.000 | 1.513 |
| 843 | 119 | 356 | 4L76X6 | 90.000 | 000030 | 1 | 0.000 | 0.000 | 0.000 | 1.513 |
| 855 | 120 | 379 | 2L76X8 | 90.000 | 000030 | 1 | 0.000 | 0.000 | 0.000 | 1.513 |
| 868 | 61 | 293 | CVIENTO | 0.000 | 000000 | 1 | 0.000 | 0.000 | 0.000 | 3.195 |
| 869 | 293 | 341 | CVIENTO | 0.000 | 000022 | 1 | 0.000 | 0.000 | 0.000 | 3.195 |
| 870 | 379 | 358 | CVIENTO | 0.000 | 000000 | 1 | 0.000 | 0.000 | 0.000 | 3.195 |
| 871 | 358 | 357 | CVIENTO | 0.000 | 000000 | 1 | 0.000 | 0.000 | 0.000 | 3.195 |
| 872 | 357 | 293 | CVIENTO | 0.000 | 000000 | 1 | 0.000 | 0.000 | 0.000 | 3.195 |
| 873 | 293 | 65 | CVIENTO | 0.000 | 000022 | 1 | 0.000 | 0.000 | 0.000 | 3.195 |
| 874 | 57 | 289 | CVIENTO | 0.000 | 000000 | 1 | 0.000 | 0.000 | 0.000 | 3.195 |
| 875 | 289 | 337 | CVIENTO | 0.000 | 000000 | 1 | 0.000 | 0.000 | 0.000 | 3.195 |
| 876 | 357 | 362 | CVIENTO | 0.000 | 000000 | 1 | 0.000 | 0.000 | 0.000 | 3.195 |
| 877 | 362 | 387 | CVIENTO | 0.000 | 000022 | 1 | 0.000 | 0.000 | 0.000 | 3.195 |
| 879 | 383 | 362 | CVIENTO | 0.000 | 000000 | 1 | 0.000 | 0.000 | 0.000 | 3.195 |
| 880 | 362 | 341 | CVIENTO | 0.000 | 000022 | 1 | 0.000 | 0.000 | 0.000 | 3.195 |
| 883 | 375 | 354 | CVIENTO | 0.000 | 000011 | 1 | 0.000 | 0.000 | 0.000 | 3.195 |
| 884 | 354 | 333 | CVIENTO | 0.000 | 000022 | 1 | 0.000 | 0.000 | 0.000 | 3.195 |
| 885 | 333 | 289 | CVIENTO | 0.000 | 000000 | 1 | 0.000 | 0.000 | 0.000 | 3.195 |
| 886 | 289 | 61 | CVIENTO | 0.000 | 000022 | 1 | 0.000 | 0.000 | 0.000 | 3.195 |
| 887 | 53 | 285 | CVIENTO | 0.000 | 000022 | 1 | 0.000 | 0.000 | 0.000 | 3.195 |
| 888 | 285 | 333 | CVIENTO | 0.000 | 000011 | 1 | 0.000 | 0.000 | 0.000 | 3.195 |
| 889 | 333 | 358 | CVIENTO | 0.000 | 000000 | 1 | 0.000 | 0.000 | 0.000 | 3.195 |
| 890 | 358 | 383 | CVIENTO | 0.000 | 000022 | 1 | 0.000 | 0.000 | 0.000 | 3.195 |
| 893 | 34 | 57 | CVIENTO | 0.000 | 000011 | 1 | 0.000 | 0.000 | 0.000 | 3.195 |
| 894 | 57 | 285 | CVIENTO | 0.000 | 000022 | 1 | 0.000 | 0.000 | 0.000 | 3.195 |

| | | | | | | | | | | |
|-----|-----|-----|---------|-------|--------|---|-------|-------|-------|-------|
| 895 | 283 | 329 | CVIENTO | 0.000 | 000011 | 1 | 0.000 | 0.000 | 0.000 | 3.195 |
| 896 | 319 | 354 | CVIENTO | 0.000 | 000022 | 1 | 0.000 | 0.000 | 0.000 | 3.195 |
| 897 | 354 | 379 | CVIENTO | 0.000 | 000011 | 1 | 0.000 | 0.000 | 0.000 | 3.195 |
| 898 | 379 | 13 | CVIENTO | 0.000 | 000022 | 1 | 0.000 | 0.000 | 0.000 | 3.195 |
| 907 | 30 | 57 | CVIENTO | 0.000 | 000011 | 1 | 0.000 | 0.000 | 0.000 | 3.195 |
| 912 | 9 | 379 | CVIENTO | 0.000 | 000011 | 1 | 0.000 | 0.000 | 0.000 | 3.195 |
| 917 | 373 | 348 | CVIENTO | 0.000 | 000011 | 1 | 0.000 | 0.000 | 0.000 | 3.195 |
| 918 | 348 | 323 | CVIENTO | 0.000 | 000022 | 1 | 0.000 | 0.000 | 0.000 | 3.195 |
| 919 | 369 | 348 | CVIENTO | 0.000 | 000011 | 1 | 0.000 | 0.000 | 0.000 | 3.195 |
| 920 | 348 | 327 | CVIENTO | 0.000 | 000022 | 1 | 0.000 | 0.000 | 0.000 | 3.195 |
| 921 | 327 | 279 | CVIENTO | 0.000 | 000011 | 1 | 0.000 | 0.000 | 0.000 | 3.195 |
| 922 | 279 | 47 | CVIENTO | 0.000 | 000022 | 1 | 0.000 | 0.000 | 0.000 | 3.195 |
| 923 | 323 | 279 | CVIENTO | 0.000 | 000011 | 1 | 0.000 | 0.000 | 0.000 | 3.195 |
| 924 | 279 | 51 | CVIENTO | 0.000 | 000022 | 1 | 0.000 | 0.000 | 0.000 | 3.195 |
| 925 | 64 | 39 | CVIENTO | 0.000 | 000011 | 1 | 0.000 | 0.000 | 0.000 | 1.665 |
| 926 | 39 | 296 | CVIENTO | 0.000 | 000022 | 1 | 0.000 | 0.000 | 0.000 | 1.665 |
| 927 | 296 | 40 | CVIENTO | 0.000 | 000011 | 1 | 0.000 | 0.000 | 0.000 | 1.665 |
| 928 | 40 | 340 | CVIENTO | 0.000 | 000022 | 1 | 0.000 | 0.000 | 0.000 | 1.665 |
| 929 | 340 | 41 | CVIENTO | 0.000 | 000011 | 1 | 0.000 | 0.000 | 0.000 | 1.665 |
| 930 | 41 | 365 | CVIENTO | 0.000 | 000022 | 1 | 0.000 | 0.000 | 0.000 | 1.665 |
| 931 | 365 | 42 | CVIENTO | 0.000 | 000011 | 1 | 0.000 | 0.000 | 0.000 | 1.665 |
| 932 | 42 | 386 | CVIENTO | 0.000 | 000022 | 1 | 0.000 | 0.000 | 0.000 | 1.665 |
| 933 | 388 | 42 | CVIENTO | 0.000 | 000011 | 1 | 0.000 | 0.000 | 0.000 | 1.665 |
| 934 | 42 | 363 | CVIENTO | 0.000 | 000022 | 1 | 0.000 | 0.000 | 0.000 | 1.665 |
| 935 | 363 | 41 | CVIENTO | 0.000 | 000011 | 1 | 0.000 | 0.000 | 0.000 | 1.665 |
| 936 | 41 | 342 | CVIENTO | 0.000 | 000022 | 1 | 0.000 | 0.000 | 0.000 | 1.665 |
| 937 | 342 | 40 | CVIENTO | 0.000 | 000011 | 1 | 0.000 | 0.000 | 0.000 | 1.665 |
| 938 | 40 | 294 | CVIENTO | 0.000 | 000022 | 1 | 0.000 | 0.000 | 0.000 | 1.665 |
| 939 | 294 | 39 | CVIENTO | 0.000 | 000011 | 1 | 0.000 | 0.000 | 0.000 | 1.665 |
| 940 | 39 | 66 | CVIENTO | 0.000 | 000022 | 1 | 0.000 | 0.000 | 0.000 | 1.665 |
| 941 | 64 | 43 | CVIENTO | 0.000 | 000011 | 1 | 0.000 | 0.000 | 0.000 | 1.674 |
| 942 | 43 | 292 | CVIENTO | 0.000 | 000022 | 1 | 0.000 | 0.000 | 0.000 | 1.674 |
| 943 | 292 | 44 | CVIENTO | 0.000 | 000011 | 1 | 0.000 | 0.000 | 0.000 | 1.674 |
| 944 | 44 | 340 | CVIENTO | 0.000 | 000022 | 1 | 0.000 | 0.000 | 0.000 | 1.674 |
| 945 | 340 | 45 | CVIENTO | 0.000 | 000011 | 1 | 0.000 | 0.000 | 0.000 | 1.674 |
| 946 | 45 | 361 | CVIENTO | 0.000 | 000022 | 1 | 0.000 | 0.000 | 0.000 | 1.674 |
| 947 | 361 | 46 | CVIENTO | 0.000 | 000011 | 1 | 0.000 | 0.000 | 0.000 | 1.674 |
| 948 | 46 | 386 | CVIENTO | 0.000 | 000022 | 1 | 0.000 | 0.000 | 0.000 | 1.674 |
| 949 | 384 | 46 | CVIENTO | 0.000 | 000011 | 1 | 0.000 | 0.000 | 0.000 | 1.674 |
| 950 | 46 | 363 | CVIENTO | 0.000 | 000022 | 1 | 0.000 | 0.000 | 0.000 | 1.674 |
| 951 | 363 | 45 | CVIENTO | 0.000 | 000011 | 1 | 0.000 | 0.000 | 0.000 | 1.674 |
| 952 | 45 | 338 | CVIENTO | 0.000 | 000022 | 1 | 0.000 | 0.000 | 0.000 | 1.674 |
| 953 | 338 | 44 | CVIENTO | 0.000 | 000011 | 1 | 0.000 | 0.000 | 0.000 | 1.674 |
| 954 | 44 | 294 | CVIENTO | 0.000 | 000022 | 1 | 0.000 | 0.000 | 0.000 | 1.674 |
| 955 | 294 | 43 | CVIENTO | 0.000 | 000011 | 1 | 0.000 | 0.000 | 0.000 | 1.674 |
| 956 | 43 | 62 | CVIENTO | 0.000 | 000022 | 1 | 0.000 | 0.000 | 0.000 | 1.674 |
| 957 | 35 | 68 | CVIENTO | 0.000 | 000011 | 1 | 0.000 | 0.000 | 0.000 | 1.628 |
| 958 | 68 | 62 | CVIENTO | 0.000 | 000022 | 1 | 0.000 | 0.000 | 0.000 | 1.628 |
| 959 | 62 | 69 | CVIENTO | 0.000 | 000011 | 1 | 0.000 | 0.000 | 0.000 | 1.628 |
| 960 | 69 | 290 | CVIENTO | 0.000 | 000000 | 1 | 0.000 | 0.000 | 0.000 | 1.628 |
| 961 | 290 | 70 | CVIENTO | 0.000 | 000022 | 1 | 0.000 | 0.000 | 0.000 | 1.628 |
| 962 | 70 | 334 | CVIENTO | 0.000 | 000011 | 1 | 0.000 | 0.000 | 0.000 | 1.628 |
| 963 | 58 | 71 | CVIENTO | 0.000 | 000022 | 1 | 0.000 | 0.000 | 0.000 | 1.628 |
| 964 | 71 | 290 | CVIENTO | 0.000 | 000011 | 1 | 0.000 | 0.000 | 0.030 | 1.628 |
| 965 | 290 | 72 | CVIENTO | 0.000 | 000000 | 1 | 0.000 | 0.000 | 0.000 | 1.628 |
| 966 | 72 | 338 | CVIENTO | 0.000 | 000022 | 1 | 0.000 | 0.000 | 0.000 | 1.628 |
| 967 | 338 | 73 | CVIENTO | 0.000 | 000011 | 1 | 0.000 | 0.000 | 0.000 | 1.628 |
| 968 | 73 | 359 | CVIENTO | 0.000 | 000000 | 1 | 0.000 | 0.000 | 0.000 | 1.628 |
| 969 | 359 | 78 | CVIENTO | 0.000 | 000022 | 1 | 0.000 | 0.000 | 0.000 | 1.628 |
| 970 | 78 | 380 | CVIENTO | 0.000 | 000011 | 1 | 0.000 | 0.000 | 0.000 | 1.628 |
| 971 | 334 | 79 | CVIENTO | 0.000 | 000022 | 1 | 0.000 | 0.000 | 0.000 | 1.628 |
| 972 | 79 | 359 | CVIENTO | 0.000 | 000011 | 1 | 0.000 | 0.000 | 0.000 | 1.628 |
| 973 | 359 | 80 | CVIENTO | 0.000 | 000000 | 1 | 0.000 | 0.000 | 0.000 | 1.628 |
| 974 | 80 | 384 | CVIENTO | 0.000 | 000022 | 1 | 0.000 | 0.000 | 0.000 | 1.628 |
| 975 | 384 | 81 | CVIENTO | 0.000 | 000011 | 1 | 0.000 | 0.000 | 0.000 | 1.628 |
| 976 | 81 | 14 | CVIENTO | 0.000 | 000022 | 1 | 0.000 | 0.000 | 0.000 | 1.628 |
| 977 | 16 | 81 | CVIENTO | 0.000 | 000011 | 1 | 0.000 | 0.000 | 0.000 | 1.628 |
| 978 | 81 | 382 | CVIENTO | 0.000 | 000000 | 1 | 0.000 | 0.000 | 0.000 | 1.628 |
| 979 | 382 | 78 | CVIENTO | 0.000 | 000022 | 1 | 0.000 | 0.000 | 0.000 | 1.628 |
| 980 | 78 | 357 | CVIENTO | 0.000 | 000011 | 1 | 0.000 | 0.000 | 0.000 | 1.628 |
| 981 | 12 | 82 | CVIENTO | 0.000 | 000022 | 1 | 0.000 | 0.000 | 0.000 | 1.628 |
| 982 | 82 | 382 | CVIENTO | 0.000 | 000011 | 1 | 0.000 | 0.000 | 0.000 | 1.628 |
| 983 | 382 | 80 | CVIENTO | 0.000 | 000000 | 1 | 0.000 | 0.000 | 0.000 | 1.628 |
| 984 | 80 | 361 | CVIENTO | 0.000 | 000022 | 1 | 0.000 | 0.000 | 0.000 | 1.628 |
| 985 | 361 | 73 | CVIENTO | 0.000 | 000011 | 1 | 0.000 | 0.000 | 0.000 | 1.628 |
| 986 | 73 | 336 | CVIENTO | 0.000 | 000000 | 1 | 0.000 | 0.000 | 0.000 | 1.628 |
| 987 | 336 | 70 | CVIENTO | 0.000 | 000022 | 1 | 0.000 | 0.000 | 0.000 | 1.628 |
| 988 | 70 | 288 | CVIENTO | 0.000 | 000011 | 1 | 0.000 | 0.000 | 0.000 | 1.628 |
| 989 | 288 | 79 | CVIENTO | 0.000 | 000022 | 1 | 0.000 | 0.000 | 0.000 | 1.628 |

| | | | | | | | | | | |
|------|-----|-----|---------|-------|--------|---|-------|-------|-------|-------|
| 990 | 79 | 336 | CVIENTO | 0.000 | 000011 | 1 | 0.000 | 0.000 | 0.000 | 1.628 |
| 991 | 336 | 72 | CVIENTO | 0.000 | 000000 | 1 | 0.000 | 0.000 | 0.000 | 1.628 |
| 992 | 72 | 292 | CVIENTO | 0.000 | 000022 | 1 | 0.000 | 0.000 | 0.000 | 1.628 |
| 993 | 292 | 69 | CVIENTO | 0.000 | 000011 | 1 | 0.000 | 0.000 | 0.000 | 1.628 |
| 994 | 69 | 60 | CVIENTO | 0.000 | 000000 | 1 | 0.000 | 0.000 | 0.000 | 1.628 |
| 995 | 60 | 83 | CVIENTO | 0.000 | 000022 | 1 | 0.000 | 0.000 | 0.000 | 1.628 |
| 996 | 83 | 33 | CVIENTO | 0.000 | 000011 | 1 | 0.000 | 0.000 | 0.000 | 1.628 |
| 997 | 288 | 71 | CVIENTO | 0.000 | 000022 | 1 | 0.000 | 0.000 | 0.000 | 1.628 |
| 998 | 71 | 60 | CVIENTO | 0.000 | 000011 | 1 | 0.000 | 0.000 | 0.000 | 1.628 |
| 999 | 60 | 68 | CVIENTO | 0.000 | 000000 | 1 | 0.000 | 0.000 | 0.000 | 1.628 |
| 1000 | 68 | 37 | CVIENTO | 0.000 | 000022 | 1 | 0.000 | 0.000 | 0.000 | 1.628 |
| 1001 | 14 | 84 | CVIENTO | 0.000 | 000011 | 1 | 0.000 | 0.000 | 0.000 | 1.434 |
| 1002 | 84 | 108 | CVIENTO | 0.000 | 000022 | 1 | 0.000 | 0.000 | 0.000 | 0.615 |
| 1003 | 77 | 84 | CVIENTO | 0.000 | 000011 | 1 | 0.000 | 0.000 | 0.000 | 0.806 |
| 1004 | 84 | 16 | CVIENTO | 0.000 | 000022 | 1 | 0.000 | 0.000 | 0.000 | 1.881 |
| 1005 | 35 | 85 | CVIENTO | 0.000 | 000011 | 1 | 0.000 | 0.000 | 0.000 | 1.434 |
| 1006 | 63 | 113 | CVIENTO | 0.000 | 000022 | 1 | 0.000 | 0.000 | 0.000 | 0.615 |
| 1007 | 98 | 85 | CVIENTO | 0.000 | 000011 | 1 | 0.000 | 0.000 | 0.000 | 0.806 |
| 1008 | 85 | 37 | CVIENTO | 0.000 | 000022 | 1 | 0.000 | 0.000 | 0.000 | 1.881 |
| 1021 | 14 | 82 | CVIENTO | 0.000 | 000011 | 1 | 0.000 | 0.000 | 0.000 | 1.628 |
| 1022 | 82 | 380 | CVIENTO | 0.000 | 000022 | 1 | 0.000 | 0.000 | 0.000 | 1.628 |
| 1031 | 58 | 83 | CVIENTO | 0.000 | 000011 | 1 | 0.000 | 0.000 | 0.000 | 1.628 |
| 1032 | 83 | 35 | CVIENTO | 0.000 | 000022 | 1 | 0.000 | 0.000 | 0.000 | 1.628 |
| 1033 | 58 | 86 | CVIENTO | 0.000 | 000011 | 1 | 0.000 | 0.000 | 0.000 | 1.601 |
| 1034 | 86 | 286 | CVIENTO | 0.000 | 000000 | 1 | 0.000 | 0.000 | 0.000 | 1.601 |
| 1035 | 286 | 87 | CVIENTO | 0.000 | 000022 | 1 | 0.000 | 0.000 | 0.000 | 1.601 |
| 1036 | 87 | 330 | CVIENTO | 0.000 | 000011 | 1 | 0.000 | 0.000 | 0.000 | 1.601 |
| 1037 | 54 | 88 | CVIENTO | 0.000 | 000022 | 1 | 0.000 | 0.000 | 0.000 | 1.601 |
| 1038 | 88 | 286 | CVIENTO | 0.000 | 000011 | 1 | 0.000 | 0.000 | 0.000 | 1.601 |
| 1039 | 286 | 89 | CVIENTO | 0.000 | 000000 | 1 | 0.000 | 0.000 | 0.000 | 1.601 |
| 1040 | 89 | 334 | CVIENTO | 0.000 | 000022 | 1 | 0.000 | 0.000 | 0.000 | 1.601 |
| 1041 | 334 | 90 | CVIENTO | 0.000 | 000011 | 1 | 0.000 | 0.000 | 0.000 | 1.601 |
| 1042 | 90 | 355 | CVIENTO | 0.000 | 000000 | 1 | 0.000 | 0.000 | 0.000 | 1.601 |
| 1043 | 355 | 91 | CVIENTO | 0.000 | 000022 | 1 | 0.000 | 0.000 | 0.000 | 1.601 |
| 1044 | 91 | 376 | CVIENTO | 0.000 | 000011 | 1 | 0.000 | 0.000 | 0.000 | 1.601 |
| 1045 | 330 | 92 | CVIENTO | 0.000 | 000022 | 1 | 0.000 | 0.000 | 0.000 | 1.601 |
| 1046 | 92 | 355 | CVIENTO | 0.000 | 000011 | 1 | 0.000 | 0.000 | 0.000 | 1.601 |
| 1047 | 355 | 93 | CVIENTO | 0.000 | 000000 | 1 | 0.000 | 0.000 | 0.000 | 1.601 |
| 1048 | 93 | 380 | CVIENTO | 0.000 | 000022 | 1 | 0.000 | 0.000 | 0.000 | 1.601 |
| 1049 | 378 | 93 | CVIENTO | 0.000 | 000011 | 1 | 0.000 | 0.000 | 0.000 | 1.601 |
| 1050 | 93 | 357 | CVIENTO | 0.000 | 000022 | 1 | 0.000 | 0.000 | 0.000 | 1.601 |
| 1051 | 357 | 90 | CVIENTO | 0.000 | 000011 | 1 | 0.000 | 0.000 | 0.000 | 1.601 |
| 1052 | 90 | 332 | CVIENTO | 0.000 | 000000 | 1 | 0.000 | 0.000 | 0.000 | 1.601 |
| 1053 | 332 | 87 | CVIENTO | 0.000 | 000022 | 1 | 0.000 | 0.000 | 0.000 | 1.601 |
| 1054 | 87 | 284 | CVIENTO | 0.000 | 000011 | 1 | 0.000 | 0.000 | 0.000 | 1.601 |
| 1055 | 353 | 92 | CVIENTO | 0.000 | 000022 | 1 | 0.000 | 0.000 | 0.000 | 1.601 |
| 1056 | 92 | 332 | CVIENTO | 0.000 | 000011 | 1 | 0.000 | 0.000 | 0.000 | 1.601 |
| 1057 | 332 | 89 | CVIENTO | 0.000 | 000000 | 1 | 0.000 | 0.000 | 0.000 | 1.601 |
| 1058 | 89 | 288 | CVIENTO | 0.000 | 000022 | 1 | 0.000 | 0.000 | 0.000 | 1.601 |
| 1059 | 288 | 86 | CVIENTO | 0.000 | 000011 | 1 | 0.000 | 0.000 | 0.000 | 1.601 |
| 1060 | 86 | 36 | CVIENTO | 0.000 | 000022 | 1 | 0.000 | 0.000 | 0.000 | 1.601 |
| 1061 | 36 | 88 | CVIENTO | 0.000 | 000011 | 1 | 0.000 | 0.000 | 0.000 | 1.601 |
| 1062 | 88 | 284 | CVIENTO | 0.000 | 000022 | 1 | 0.000 | 0.000 | 0.000 | 1.601 |
| 1067 | 353 | 91 | CVIENTO | 0.000 | 000011 | 1 | 0.000 | 0.000 | 0.000 | 1.601 |
| 1068 | 91 | 378 | CVIENTO | 0.000 | 000022 | 1 | 0.000 | 0.000 | 0.000 | 1.601 |
| 1077 | 52 | 94 | CVIENTO | 0.000 | 000011 | 1 | 0.000 | 0.000 | 0.000 | 1.405 |
| 1078 | 94 | 284 | CVIENTO | 0.000 | 000022 | 1 | 0.000 | 0.000 | 0.000 | 1.405 |
| 1079 | 284 | 99 | CVIENTO | 0.000 | 000011 | 1 | 0.000 | 0.000 | 0.000 | 1.405 |
| 1080 | 99 | 328 | CVIENTO | 0.000 | 000022 | 1 | 0.000 | 0.000 | 0.000 | 1.405 |
| 1081 | 328 | 100 | CVIENTO | 0.000 | 000011 | 1 | 0.000 | 0.000 | 0.000 | 1.405 |
| 1082 | 100 | 353 | CVIENTO | 0.000 | 000022 | 1 | 0.000 | 0.000 | 0.000 | 1.405 |
| 1083 | 353 | 101 | CVIENTO | 0.000 | 000011 | 1 | 0.000 | 0.000 | 0.000 | 1.405 |
| 1084 | 101 | 374 | CVIENTO | 0.000 | 000022 | 1 | 0.000 | 0.000 | 0.000 | 1.405 |
| 1085 | 376 | 101 | CVIENTO | 0.000 | 000011 | 1 | 0.000 | 0.000 | 0.000 | 1.405 |
| 1086 | 101 | 351 | CVIENTO | 0.000 | 000022 | 1 | 0.000 | 0.000 | 0.000 | 1.405 |
| 1087 | 351 | 100 | CVIENTO | 0.000 | 000011 | 1 | 0.000 | 0.000 | 0.000 | 1.405 |
| 1088 | 100 | 330 | CVIENTO | 0.000 | 000022 | 1 | 0.000 | 0.000 | 0.000 | 1.405 |
| 1089 | 330 | 99 | CVIENTO | 0.000 | 000011 | 1 | 0.000 | 0.000 | 0.000 | 1.405 |
| 1090 | 99 | 282 | CVIENTO | 0.000 | 000022 | 1 | 0.000 | 0.000 | 0.000 | 1.405 |
| 1091 | 282 | 94 | CVIENTO | 0.000 | 000011 | 1 | 0.000 | 0.000 | 0.000 | 1.405 |
| 1092 | 94 | 54 | CVIENTO | 0.000 | 000022 | 1 | 0.000 | 0.000 | 0.000 | 1.405 |
| 1093 | 52 | 102 | CVIENTO | 0.000 | 000011 | 1 | 0.000 | 0.000 | 0.000 | 1.577 |
| 1094 | 102 | 280 | CVIENTO | 0.000 | 000000 | 1 | 0.000 | 0.000 | 0.000 | 1.577 |
| 1095 | 280 | 103 | CVIENTO | 0.000 | 000022 | 1 | 0.000 | 0.000 | 0.000 | 1.577 |
| 1096 | 103 | 324 | CVIENTO | 0.000 | 000011 | 1 | 0.000 | 0.000 | 0.000 | 1.577 |
| 1097 | 48 | 104 | CVIENTO | 0.000 | 000022 | 1 | 0.000 | 0.000 | 0.000 | 1.577 |
| 1098 | 104 | 280 | CVIENTO | 0.000 | 000011 | 1 | 0.000 | 0.000 | 0.000 | 1.577 |
| 1099 | 280 | 105 | CVIENTO | 0.000 | 000000 | 1 | 0.000 | 0.000 | 0.000 | 1.577 |
| 1100 | 105 | 328 | CVIENTO | 0.000 | 000022 | 1 | 0.000 | 0.000 | 0.000 | 1.577 |

| | | | | | | | | | | |
|------|-----|-----|---------|--------|--------|---|-------|-------|-------|-------|
| 1101 | 328 | 106 | CVIENTO | 0.000 | 000011 | 1 | 0.000 | 0.000 | 0.000 | 1.577 |
| 1102 | 106 | 349 | CVIENTO | 0.000 | 000000 | 1 | 0.000 | 0.000 | 0.000 | 1.577 |
| 1103 | 349 | 107 | CVIENTO | 0.000 | 000022 | 1 | 0.000 | 0.000 | 0.000 | 1.577 |
| 1104 | 107 | 370 | CVIENTO | 0.000 | 000011 | 1 | 0.000 | 0.000 | 0.000 | 1.577 |
| 1105 | 324 | 109 | CVIENTO | 0.000 | 000022 | 1 | 0.000 | 0.000 | 0.000 | 1.577 |
| 1106 | 109 | 349 | CVIENTO | 0.000 | 000011 | 1 | 0.000 | 0.000 | 0.000 | 1.577 |
| 1107 | 349 | 111 | CVIENTO | 0.000 | 000000 | 1 | 0.000 | 0.000 | 0.000 | 1.577 |
| 1108 | 111 | 374 | CVIENTO | 0.000 | 000022 | 1 | 0.000 | 0.000 | 0.000 | 1.577 |
| 1109 | 372 | 111 | CVIENTO | 0.000 | 000011 | 1 | 0.000 | 0.000 | 0.000 | 1.577 |
| 1110 | 111 | 351 | CVIENTO | 0.000 | 000022 | 1 | 0.000 | 0.000 | 0.000 | 1.577 |
| 1111 | 351 | 106 | CVIENTO | 0.000 | 000011 | 1 | 0.000 | 0.000 | 0.000 | 1.577 |
| 1112 | 106 | 326 | CVIENTO | 0.000 | 000000 | 1 | 0.000 | 0.000 | 0.000 | 1.577 |
| 1113 | 326 | 103 | CVIENTO | 0.000 | 000022 | 1 | 0.000 | 0.000 | 0.000 | 1.577 |
| 1114 | 103 | 278 | CVIENTO | 0.000 | 000011 | 1 | 0.000 | 0.000 | 0.000 | 1.577 |
| 1115 | 347 | 109 | CVIENTO | 0.000 | 000022 | 1 | 0.000 | 0.000 | 0.000 | 1.577 |
| 1116 | 109 | 326 | CVIENTO | 0.000 | 000011 | 1 | 0.000 | 0.000 | 0.000 | 1.577 |
| 1117 | 326 | 105 | CVIENTO | 0.000 | 000000 | 1 | 0.000 | 0.000 | 0.000 | 1.577 |
| 1118 | 105 | 282 | CVIENTO | 0.000 | 000022 | 1 | 0.000 | 0.000 | 0.000 | 1.577 |
| 1119 | 282 | 102 | CVIENTO | 0.000 | 000011 | 1 | 0.000 | 0.000 | 0.000 | 1.577 |
| 1120 | 102 | 50 | CVIENTO | 0.000 | 000022 | 1 | 0.000 | 0.000 | 0.000 | 1.577 |
| 1121 | 50 | 104 | CVIENTO | 0.000 | 000011 | 1 | 0.000 | 0.000 | 0.000 | 1.577 |
| 1122 | 104 | 278 | CVIENTO | 0.000 | 000022 | 1 | 0.000 | 0.000 | 0.000 | 1.577 |
| 1123 | 347 | 107 | CVIENTO | 0.000 | 000011 | 1 | 0.000 | 0.000 | 0.000 | 1.577 |
| 1124 | 107 | 372 | CVIENTO | 0.000 | 000022 | 1 | 0.000 | 0.000 | 0.000 | 1.577 |
| 1125 | 276 | 112 | CVIENTO | 0.000 | 000011 | 1 | 0.000 | 0.000 | 0.000 | 1.650 |
| 1126 | 112 | 324 | CVIENTO | 0.000 | 000022 | 1 | 0.000 | 0.000 | 0.000 | 1.650 |
| 1127 | 324 | 117 | CVIENTO | 0.000 | 000011 | 1 | 0.000 | 0.000 | 0.000 | 1.650 |
| 1128 | 117 | 345 | CVIENTO | 0.000 | 000022 | 1 | 0.000 | 0.000 | 0.000 | 1.650 |
| 1129 | 347 | 117 | CVIENTO | 0.000 | 000011 | 1 | 0.000 | 0.000 | 0.000 | 1.650 |
| 1130 | 117 | 322 | CVIENTO | 0.000 | 000022 | 1 | 0.000 | 0.000 | 0.000 | 1.650 |
| 1131 | 322 | 112 | CVIENTO | 0.000 | 000011 | 1 | 0.000 | 0.000 | 0.000 | 1.650 |
| 1132 | 112 | 278 | CVIENTO | 0.000 | 000022 | 1 | 0.000 | 0.000 | 0.000 | 1.650 |
| 1133 | 292 | 290 | 2L50X3 | 90.000 | 000011 | 1 | 0.000 | 0.000 | 0.000 | 1.926 |
| 1147 | 293 | 293 | 2L32X3 | 90.000 | 000000 | 1 | 0.000 | 0.000 | 0.000 | 1.821 |
| 1151 | 291 | 289 | 2L32X3 | 90.000 | 000000 | 1 | 0.000 | 0.000 | 0.000 | 1.821 |
| 1157 | 287 | 285 | 2L32X3 | 90.000 | 000000 | 1 | 0.000 | 0.000 | 0.000 | 1.821 |
| 1165 | 283 | 281 | 2L32X3 | 90.000 | 000040 | 1 | 0.000 | 0.000 | 0.000 | 1.041 |
| 1173 | 279 | 277 | 2L32X3 | 90.000 | 000000 | 1 | 0.000 | 0.000 | 0.000 | 1.821 |
| 1177 | 276 | 278 | 2L50X3 | 90.000 | 000011 | 1 | 0.000 | 0.000 | 0.000 | 2.000 |
| 1181 | 280 | 282 | 2L50X3 | 90.000 | 000000 | 1 | 0.000 | 0.000 | 0.000 | 1.750 |
| 1183 | 281 | 297 | 2L32X3 | 90.000 | 000000 | 1 | 0.000 | 0.000 | 0.000 | 1.081 |
| 1185 | 283 | 297 | 2L32X3 | 90.000 | 000000 | 1 | 0.000 | 0.000 | 0.000 | 1.370 |
| 1187 | 284 | 286 | 2L50X3 | 90.000 | 000011 | 1 | 0.000 | 0.000 | 0.000 | 1.834 |
| 1189 | 338 | 336 | 2L50X3 | 90.000 | 000011 | 1 | 0.000 | 0.000 | 0.000 | 1.926 |
| 1191 | 341 | 339 | 2L32X3 | 90.000 | 000000 | 1 | 0.000 | 0.000 | 0.000 | 1.821 |
| 1195 | 337 | 335 | 2L32X3 | 90.000 | 000000 | 1 | 0.000 | 0.000 | 0.000 | 1.821 |
| 1201 | 333 | 331 | 2L32X3 | 90.000 | 000000 | 1 | 0.000 | 0.000 | 0.000 | 1.821 |
| 1209 | 329 | 327 | 2L32X3 | 90.000 | 000000 | 1 | 0.000 | 0.000 | 0.000 | 1.041 |
| 1219 | 325 | 323 | 2L32X3 | 90.000 | 000000 | 1 | 0.000 | 0.000 | 0.000 | 1.821 |
| 1221 | 322 | 324 | 2L50X3 | 90.000 | 000011 | 1 | 0.000 | 0.000 | 0.000 | 2.000 |
| 1225 | 326 | 328 | 2L50X3 | 90.000 | 000000 | 1 | 0.000 | 0.000 | 0.000 | 1.750 |
| 1227 | 327 | 343 | 2L32X3 | 90.000 | 000000 | 1 | 0.000 | 0.000 | 0.000 | 1.081 |
| 1229 | 329 | 343 | 2L32X3 | 90.000 | 000000 | 1 | 0.000 | 0.000 | 0.000 | 1.370 |
| 1231 | 330 | 332 | 2L50X3 | 90.000 | 000011 | 1 | 0.000 | 0.000 | 0.000 | 1.834 |
| 1233 | 361 | 359 | 2L50X3 | 90.000 | 000011 | 1 | 0.000 | 0.000 | 0.000 | 1.926 |
| 1235 | 364 | 362 | 2L32X3 | 90.000 | 000000 | 1 | 0.000 | 0.000 | 0.000 | 1.821 |
| 1239 | 360 | 358 | 2L32X3 | 90.000 | 000000 | 1 | 0.000 | 0.000 | 0.000 | 1.821 |
| 1245 | 356 | 354 | 2L32X3 | 90.000 | 000000 | 1 | 0.000 | 0.000 | 0.000 | 1.821 |
| 1253 | 352 | 350 | 2L32X3 | 90.000 | 000000 | 1 | 0.000 | 0.000 | 0.000 | 1.041 |
| 1263 | 348 | 346 | 2L32X3 | 90.000 | 000000 | 1 | 0.000 | 0.000 | 0.000 | 1.821 |
| 1265 | 345 | 347 | 2L50X3 | 90.000 | 000011 | 1 | 0.000 | 0.000 | 0.000 | 2.000 |
| 1269 | 349 | 351 | 2L50X3 | 90.000 | 000000 | 1 | 0.000 | 0.000 | 0.000 | 1.750 |
| 1271 | 350 | 366 | 2L32X3 | 90.000 | 000000 | 1 | 0.000 | 0.000 | 0.000 | 1.081 |
| 1273 | 352 | 366 | 2L32X3 | 90.000 | 000000 | 1 | 0.000 | 0.000 | 0.000 | 1.370 |
| 1275 | 353 | 355 | 2L50X3 | 90.000 | 000011 | 1 | 0.000 | 0.000 | 0.000 | 1.834 |
| 1277 | 384 | 382 | 2L50X3 | 90.000 | 000011 | 1 | 0.000 | 0.000 | 0.000 | 1.926 |
| 1279 | 387 | 385 | 2L32X3 | 90.000 | 000000 | 1 | 0.000 | 0.000 | 0.000 | 1.821 |
| 1283 | 383 | 381 | 2L32X3 | 90.000 | 000000 | 1 | 0.000 | 0.000 | 0.000 | 1.821 |
| 1289 | 379 | 377 | 2L32X3 | 90.000 | 000000 | 1 | 0.000 | 0.000 | 0.000 | 1.821 |
| 1297 | 375 | 373 | 2L32X3 | 90.000 | 000000 | 1 | 0.000 | 0.000 | 0.000 | 1.041 |
| 1307 | 371 | 369 | 2L32X3 | 90.000 | 000000 | 1 | 0.000 | 0.000 | 0.000 | 1.821 |
| 1308 | 370 | 372 | 2L50X3 | 90.000 | 000011 | 1 | 0.000 | 0.000 | 0.000 | 1.750 |
| 1312 | 374 | 376 | 2L50X3 | 90.000 | 000022 | 1 | 0.000 | 0.000 | 0.000 | 1.000 |
| 1313 | 373 | 389 | 2L32X3 | 90.000 | 000011 | 1 | 0.000 | 0.000 | 0.000 | 1.081 |
| 1315 | 375 | 389 | 2L32X3 | 90.000 | 000011 | 1 | 0.000 | 0.000 | 0.000 | 1.370 |
| 1317 | 376 | 378 | 2L50X3 | 90.000 | 000011 | 1 | 0.000 | 0.000 | 0.000 | 1.834 |
| 1319 | 379 | 121 | 2L76X8 | 0.000 | 000030 | 1 | 0.000 | 0.000 | 1.000 | 1.315 |

2/7/01 12:55:00

Personal

MATERIAL PROPERTY DATA

MAT MODULUS OF POISSON'S THERMAL WEIGHT PER MASS PER
LABEL ELASTICITY RATIO COEFF. UNIT VOL. UNIT VOL.

| | | | | | |
|--------|------------|-------|-----------|-------|-------|
| STEEL | 20389020.0 | 0.300 | 1.170E-05 | 7.833 | 0.798 |
| CONC | 2331051.00 | 0.200 | 9.900E-06 | 2.403 | 0.245 |
| OTHER | 2331051.00 | 0.200 | 9.900E-06 | 2.403 | 0.245 |
| STEEL1 | 20390000.0 | 0.300 | 1.170E-05 | 0.000 | 0.798 |

SAP2000 v7.40 File: MEDIA TORTA 02 Ton-m Units PAGE 5
2/7/01 12:55:00

Personal

MATERIAL DESIGN DATA

| | | | | | | |
|--------|--------|-----------|-----------|----------|-----------|-------|
| MAT | DESIGN | STEEL | CONCRETE | REBAR | CONCRETE | REBAR |
| LABEL | CODE | FY | FC | FY | FCS | FYS |
| STEEL | S | 25310.510 | | | | |
| CONC | C | 2100.000 | 42000.000 | 2100.000 | 28000.000 | |
| OTHER | N | | | | | |
| STEEL1 | S | 25310.510 | | | | |

SAP2000 v7.40 File: MEDIA TORTA 02 Ton-m Units PAGE 6
2/7/01 12:55:00

Personal

FRAME SECTION PROPERTY DATA

| SECTION | MAT | SECTION | DEPTH | FLANGE | FLANGE | WEB | FLANGE | FLANGE |
|---------|--------|---------|-----------|-----------|-----------|-----------|--------|--------|
| LABEL | LABEL | TYPE | WIDTH | TOP | TOP | BOTTOM | TOP | BOTTOM |
| CORREA1 | STEEL | | 0.457 | 0.254 | 0.000 | 0.000 | 0.000 | 0.000 |
| CORREA2 | STEEL | | 0.457 | 0.254 | 0.000 | 0.000 | 0.000 | 0.000 |
| 2L76X6 | STEEL | | 0.457 | 0.254 | 0.000 | 0.000 | 0.000 | 0.000 |
| 2L63X6 | STEEL | | 0.457 | 0.254 | 0.000 | 0.000 | 0.000 | 0.000 |
| CVIENTO | STEEL1 | | 9.500E-03 | 9.500E-03 | 0.000 | 0.000 | 0.000 | 0.000 |
| 2L76X8 | STEEL | | 0.457 | 0.254 | 0.000 | 0.000 | 0.000 | 0.000 |
| 4L76X6 | STEEL | | 0.457 | 0.254 | 0.000 | 0.000 | 0.000 | 0.000 |
| 4L63X6 | STEEL | | 0.457 | 0.254 | 0.000 | 0.000 | 0.000 | 0.000 |
| 2L50X3 | STEEL | | 0.457 | 0.254 | 0.000 | 0.000 | 0.000 | 0.000 |
| 2L63X5 | STEEL | | 0.457 | 0.254 | 0.000 | 0.000 | 0.000 | 0.000 |
| 2L38X5 | STEEL | | 3.810E-02 | 0.283 | 4.760E-03 | 4.760E-03 | 0.000 | 0.000 |
| 2L50X3 | STEEL | | 0.457 | 0.254 | 0.000 | 0.000 | 0.000 | 0.000 |
| 2L34X3 | STEEL | | 0.457 | 0.254 | 0.000 | 0.000 | 0.000 | 0.000 |
| 2L32X3 | STEEL | | 0.457 | 0.254 | 0.000 | 0.000 | 0.000 | 0.000 |
| 2L25X3 | STEEL | | 0.457 | 0.254 | 0.000 | 0.000 | 0.000 | 0.000 |

SAP2000 v7.40 File: MEDIA TORTA 02 Ton-m Units PAGE 7
2/7/01 12:55:00

Personal

FRAME SECTION PROPERTY DATA

| SECTION | AREA | TORSIONAL | MOMENTS OF INERTIA | SHEAR AREAS | | |
|---------|-----------|-----------|--------------------|-------------|-----------|-----------|
| LABEL | INERTIA | I33 | I22 | A2 | A3 | |
| CORREA1 | 4.110E-04 | 0.000 | 1.323E-06 | 1.519E-06 | 2.050E-04 | 2.050E-04 |
| CORREA2 | 4.110E-04 | 0.000 | 1.322E-06 | 2.864E-06 | 2.050E-04 | 2.050E-04 |
| 2L76X6 | 1.858E-03 | 0.000 | 2.097E-05 | 1.032E-06 | 9.290E-04 | 9.290E-04 |
| 2L63X6 | 1.535E-03 | 0.000 | 1.806E-05 | 0.000 | 7.670E-04 | 7.670E-04 |
| CVIENTO | 7.038E-05 | 0.000 | 0.000 | 0.000 | 6.379E-03 | 6.379E-03 |
| 2L76X8 | 2.297E-03 | 1.000 | 2.563E-05 | 1.250E-06 | 1.148E-03 | 1.148E-03 |
| 4L76X6 | 3.713E-03 | 1.000 | 3.017E-05 | 3.087E-06 | 1.858E-03 | 1.858E-03 |
| 4L63X6 | 3.068E-03 | 1.000 | 2.771E-05 | 1.755E-06 | 1.535E-03 | 1.535E-03 |
| 2L50X3 | 9.220E-04 | 1.000 | 1.157E-05 | 0.000 | 4.610E-04 | 4.610E-04 |
| 2L63X3 | 1.187E-03 | 1.000 | 1.412E-05 | 0.000 | 5.930E-04 | 5.930E-04 |

| | | | | | | |
|--------|-----------|-------|-----------|-----------|-----------|-----------|
| 2L38X3 | 6.801E-04 | 0.000 | 0.000 | 9.066E-06 | 5.627E-04 | 3.627E-04 |
| 2L50X3 | 6.250E-04 | 1.000 | 7.876E-06 | 0.000 | 3.125E-04 | 3.125E-04 |
| 2L38X3 | 4.800E-04 | 1.000 | 6.170E-06 | 0.000 | 2.420E-04 | 2.420E-04 |
| 2L32X3 | 3.830E-04 | 1.000 | 5.170E-06 | 0.000 | 2.020E-04 | 2.020E-04 |
| 2L25X3 | 3.020E-04 | 1.000 | 4.190E-06 | 0.000 | 1.610E-04 | 1.610E-04 |

SAP2000 v7.40 File: MEDIA TORTA 02 Ton-m Units PAGE 8
2/7/01 12:55:01

Personal

FRAME SECTION PROPERTY DATA

| SECTION | SECTION MODULUS | PLASTIC MODULUS | RADIUS OF GYRATION | | | |
|---------|-----------------|-----------------|--------------------|-----------|-----------|-----------|
| LABEL | S33 | S22 | Z33 | Z22 | R33 | R22 |
| CORREA1 | 1.764E-05 | 1.510E-05 | 0.000 | 0.000 | 5.673E-02 | 6.080E-02 |
| CORREA2 | 1.764E-05 | 2.088E-05 | 0.000 | 0.000 | 5.673E-02 | 8.347E-02 |
| 2L76X6 | 1.678E-04 | 9.500E-06 | 0.000 | 0.000 | 0.106 | 2.360E-02 |
| 2L63X6 | 1.445E-04 | 6.450E-06 | 0.000 | 0.000 | 0.169 | 1.950E-02 |
| CVIENTO | 0.000 | 0.000 | 0.000 | 0.000 | 2.375E-03 | 2.375E-03 |
| 2L76X8 | 2.050E-04 | 1.160E-05 | 1.000 | 1.000 | 0.106 | 2.340E-02 |
| 4L76X6 | 2.414E-04 | 8.124E-05 | 1.000 | 1.000 | 9.010E-02 | 2.380E-02 |
| 4L63X6 | 2.216E-04 | 5.480E-05 | 1.000 | 1.000 | 9.500E-02 | 2.390E-02 |
| 2L50X5 | 9.260E-05 | 3.110E-06 | 1.000 | 1.000 | 0.112 | 1.570E-02 |
| 2L63X5 | 1.130E-04 | 4.960E-06 | 1.000 | 1.000 | 0.109 | 1.960E-02 |
| 2L38X5 | 3.411E-06 | 6.398E-05 | 6.148E-06 | 7.812E-05 | 1.160E-02 | 0.115 |
| 2L50X3 | 5.320E-05 | 4.280E-06 | 1.000 | 1.000 | 0.112 | 1.590E-02 |
| 2L38X3 | 4.350E-05 | 2.380E-06 | 1.000 | 1.000 | 0.113 | 1.170E-02 |
| 2L32X3 | 3.740E-05 | 1.610E-06 | 1.000 | 1.000 | 0.116 | 9.800E-03 |
| 2L25X3 | 3.096E-05 | 1.010E-06 | 1.000 | 1.000 | 0.118 | 7.700E-03 |

SAP2000 v7.40 File: MEDIA TORTA 02 Ton-m Units PAGE 9
2/7/01 12:55:01

Personal

FRAME SECTION PROPERTY DATA

| SECTION | TOTAL WEIGHT | TOTAL MASS |
|---------|--------------|------------|
| CORREA1 | 0.407 | 4.147E-02 |
| CORREA2 | 0.284 | 2.893E-02 |
| 2L76X6 | 0.169 | 1.726E-02 |
| 2L63X6 | 0.197 | 2.011E-02 |
| CVIENTO | 0.000 | 2.426E-02 |
| 2L76X8 | 9.446E-02 | 9.624E-03 |
| 4L76X6 | 0.229 | 2.354E-02 |
| 4L63X6 | 0.252 | 2.571E-02 |
| 2L50X5 | 0.248 | 2.529E-02 |
| 2L63X5 | 4.893E-02 | 4.985E-03 |
| 2L38X5 | 0.000 | 0.000 |
| 2L50X3 | 0.837 | 8.550E-02 |
| 2L38X3 | 0.131 | 1.334E-02 |
| 2L32X3 | 0.868 | 8.840E-02 |
| 2L25X3 | 1.272E-02 | 1.296E-03 |

SAP2000 v7.40 File: MEDIA TORTA 02 Ton-m Units PAGE 10
2/7/01 12:55:01

Personal

SHELL SECTION PROPERTY DATA

| SECTION | NAT | SHELL MEMBRANE BENDING MATERIAL | | | |
|---------|-------|---------------------------------|-------|-------|-------|
| LABEL | LABEL | TYPE | THICK | THICK | ANGLE |
| SSEC1 | CONC | 4 | 1.000 | 1.000 | 0.000 |

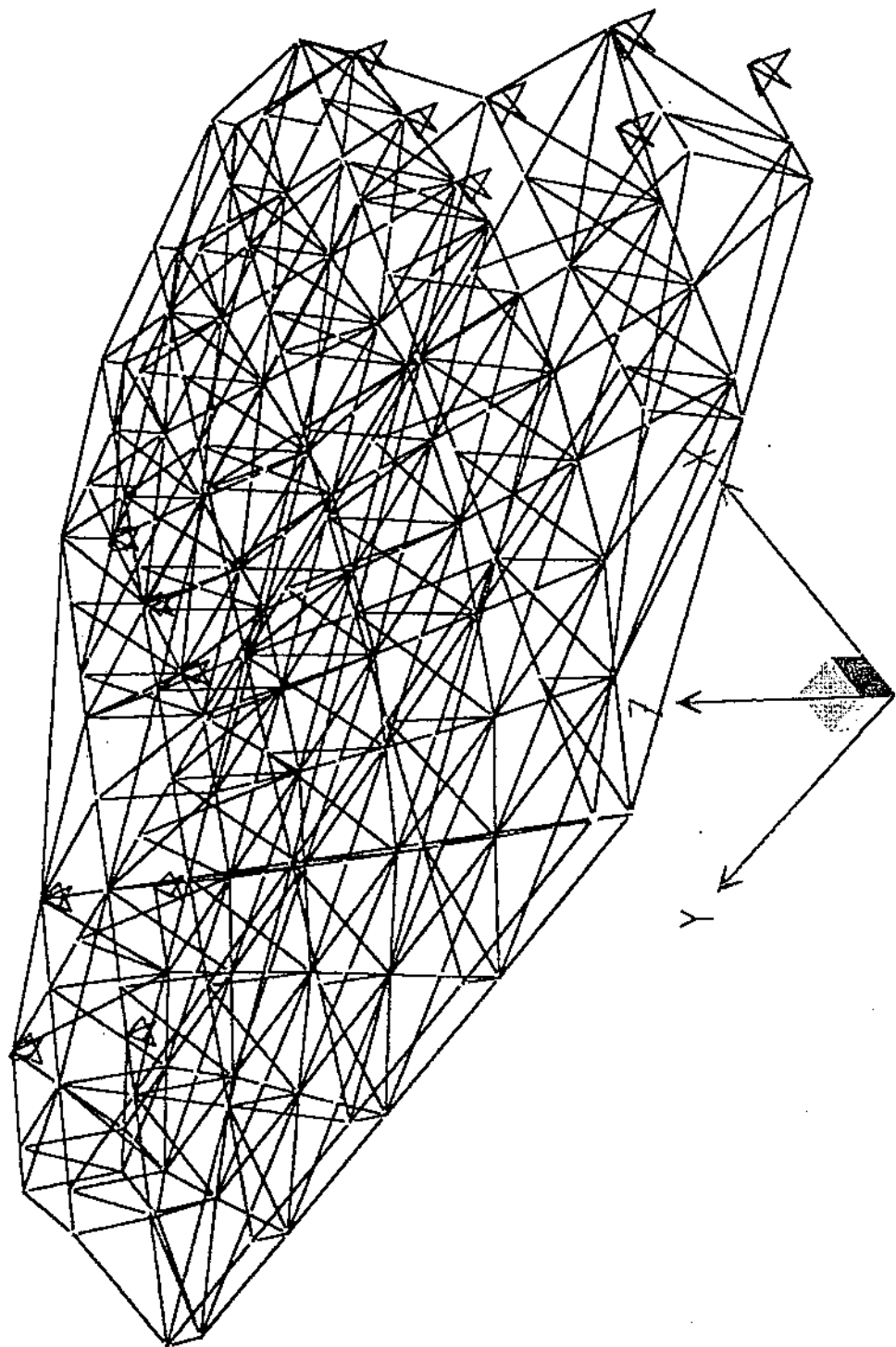
SAP2000 v7.40 File: MEDIA TORTA 02 Ton-m Units PAGE 11
2/7/01 12:55:01

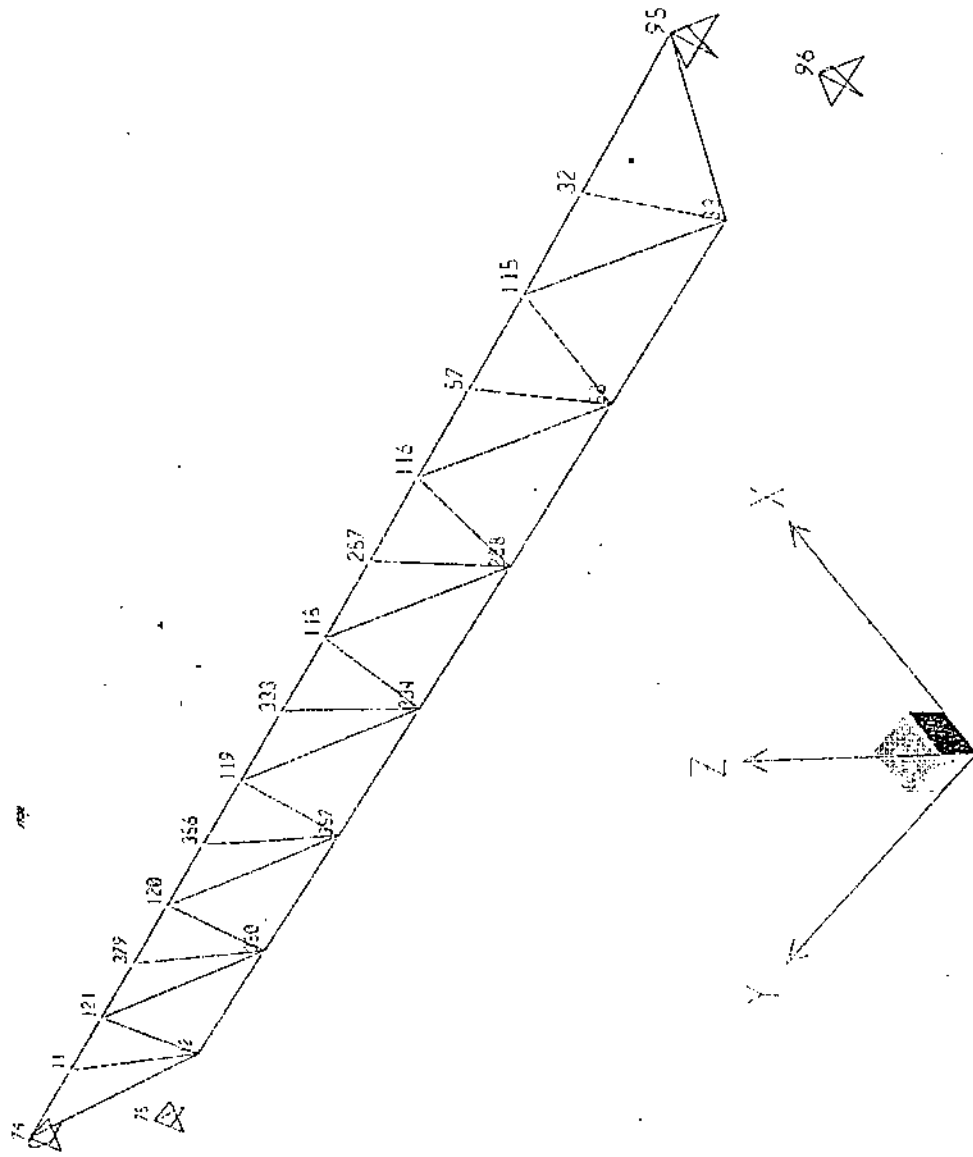
Personal

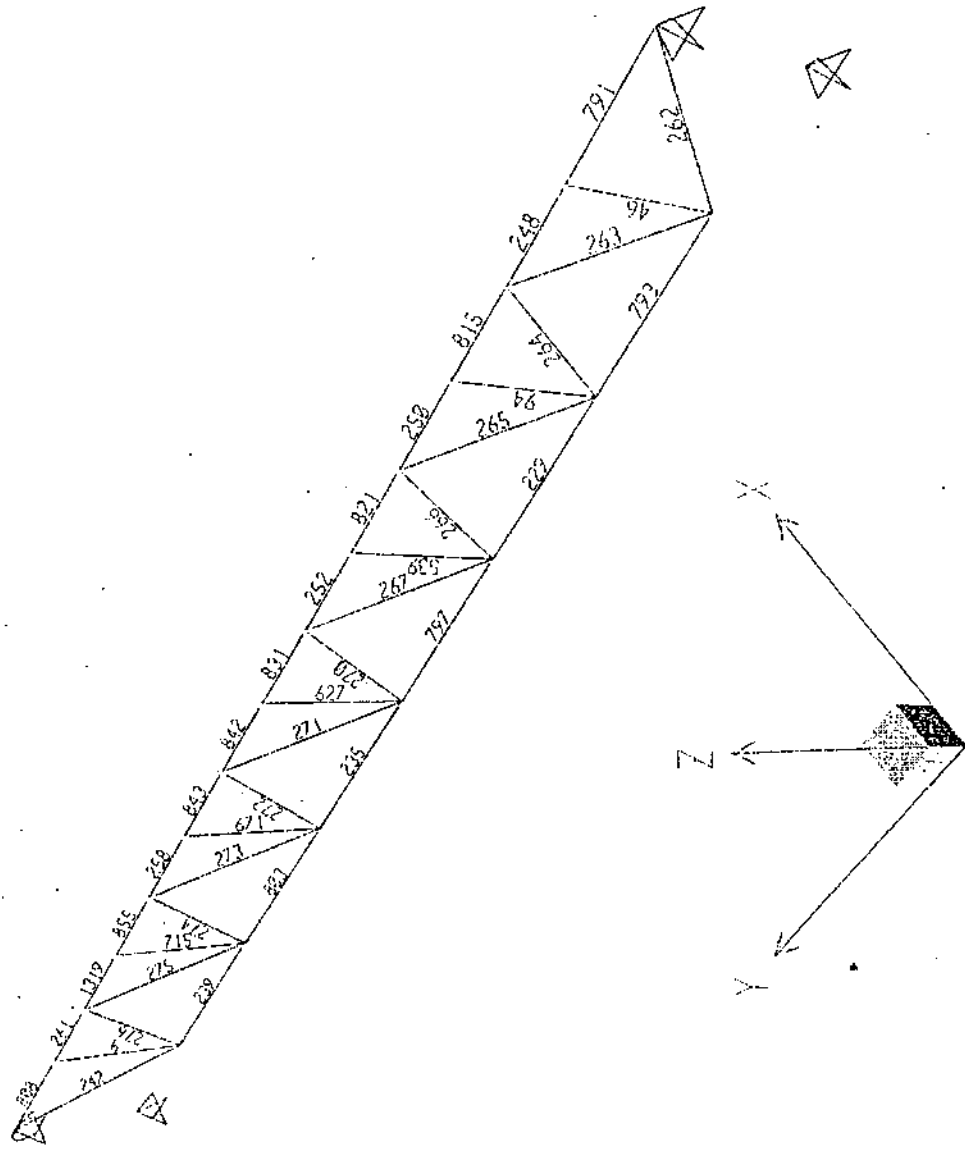


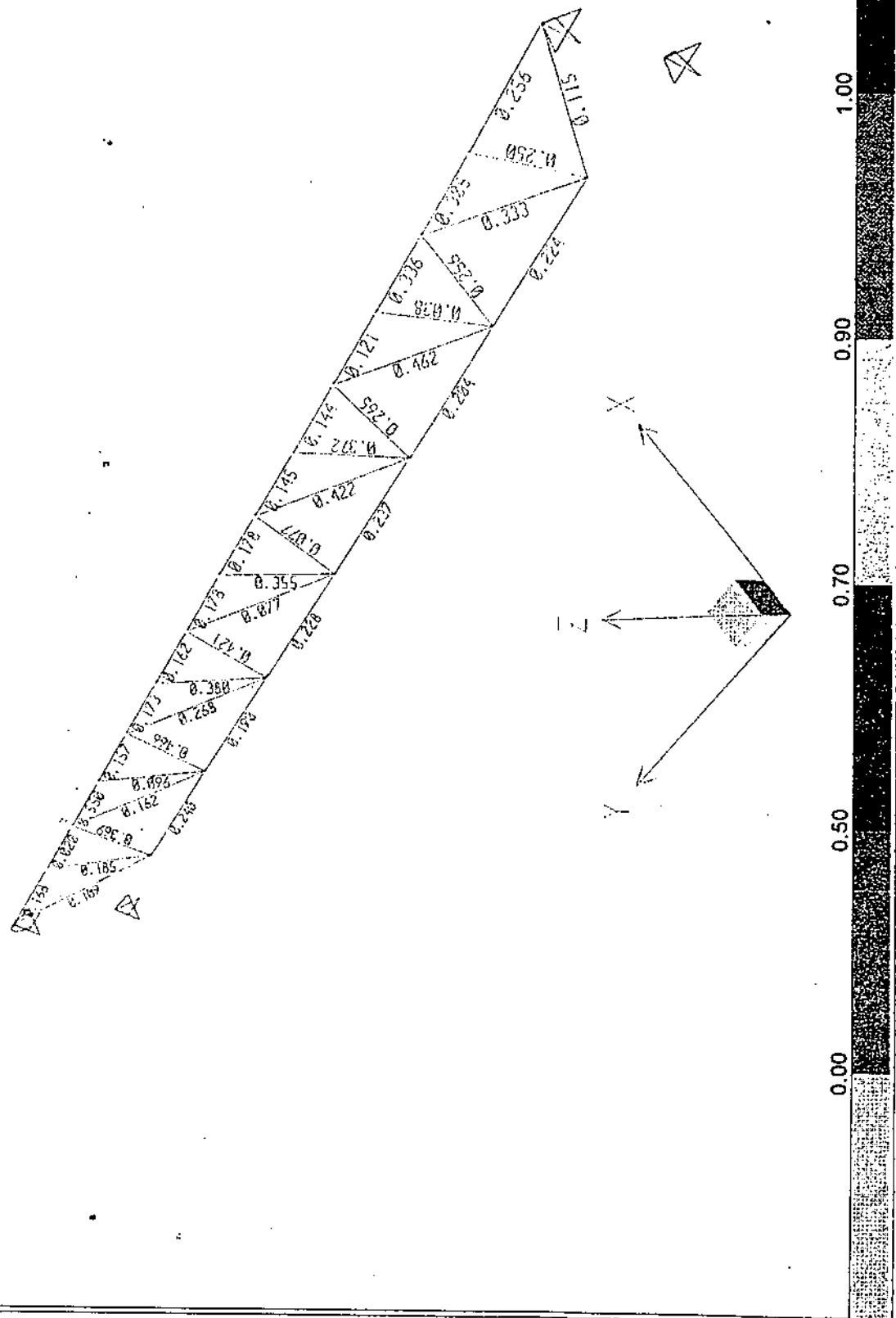
PROYECTISTAS CIVILES ASOCIADOS

VERIFICACION DE ESFUERZOS



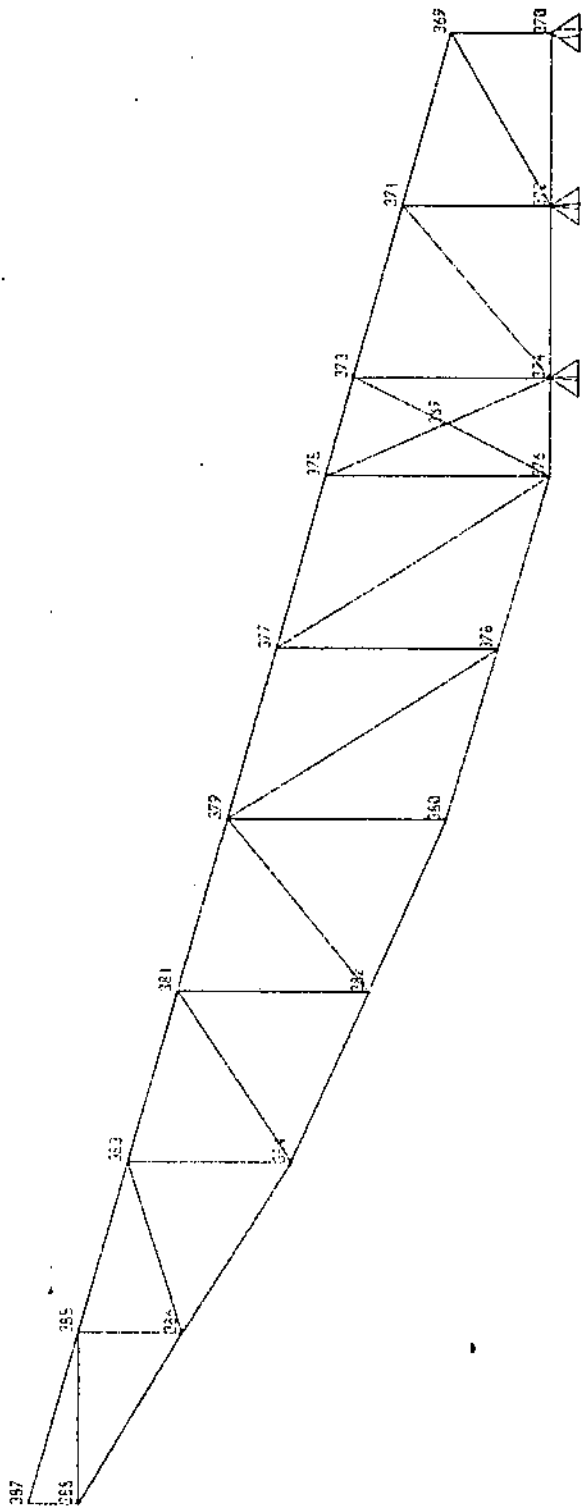






SAP2000

2/7/01 12:50:23



SAP2000 v7.40 - File:media.torta 02 - 3-D View - Kg/m Units

